

دانشگاه صنعتی شهرود

دانشکده علوم زمین

پایان نامه کارشناسی ارشد زمین‌شناسی-گرایش پترولوزی

پترولوزی و ژئوشیمی سنگهای دگرگونی جنوب شرق فریمان

اساتید راهنما:

دکتر حسین مهدیزاده

دکتر سید احمد مظاہری

استاد مشاور:

مهندس محمد علی اکرمی

نگارش:

سمیه صفرائی

بهار ۱۳۸۶

بسمه تعالي



تاریخ :
شماره :
پیوست :
کد : FR/EA/15
شماره
ویرایش: صفر

فرم شماره ۱۲ - فرم تاییدیه اعضاي هيات داوران حاضر در جلسه دفاع از پایان نامه کارشناسی ارشد (به فارسي)

اعضاي هیئت داوران نسخه نهائی پایان نامه خانم / آقای
تحت عنوان : شهرداری شهرستان سلاسل شهرستان شهرستان (عنوان)

را از نظر فرم و محتوي بررسی نموده و پذيرش آنرا برای تكميل درجه کارشناسی ارشد پيشنهاد ميكنند.

اعضاي هيات داوران	نام و نام خانوادگی	رتبه علمي	امضاء
۱- استاد راهنمای	دکتر مسیدی ارد دستیار		
۲- استاد مشاور	مسنون امیر		
۳- فاینده شورای تحصیلات تكميلي	دکتر مجید افروزش		
۴- استاد متحن	دکتر هاشمی علیان	استاد	
۵- استاد متحن	دکتر تبریزی	استاد	

لُقْدِيْمَه

مَدْرَوْ مَادْرَه بَامْ

بَهْ پَاسْ عَاطِفَه سَرْسَارْ وَ كَرْمَاهِيْ اَمِيدْ بَحْشْ وَ جَوْدَشَانْ

كَهْ دَرَاهِينْ سَرْدَتَرِينْ رُوزْ كَارَانْ بَهْتَرِينْ پَشْتَيَانْ اَسْتْ

و

آهَانْ كَهْ يَارِيْمَه نَوْدَه

تشکر و قدردانی:

من لم یشکرالمخلوق لم یشکرالخالق

سپاس و ستایش مخصوص خالق بی‌همتایی است که الطاف بیکرانش لحظه لحظه زندگیم را دربرگرفته و فضل بی‌قیاسش در مراحل سخت و دشوار زندگانی شامل حالم گشته و اگر عنایت بی‌منت او نبود رساندن این بار به سرمنزل مقصود غیر ممکن می‌نمود.

بدون تردید به پایان رسانیدن رساله حاضر جز با مساعدت و راهنمایی‌های اساتید گرامی و دوستان ارجمندی که مرا در تمامی مراحل کار همراهی نمودند، ممکن نبود. اینک برخود لازم می‌دانم از این سروزان عزیز تشکر و قدردانی نمایم.

از جناب آقای دکتر مهدی‌زاده استاد راهنمای بزرگوار و دلسوزم، به دلیل تمامی الطافشان تشکر و قدردانی می‌نمایم. از جناب آقای دکتر مظاہری استاد محترم گروه زمین‌شناسی دانشگاه فردوسی مشهد نیز که راهنمایی این رساله را عهده‌دار بودند و همواره از محض ایشان استفاده نمودم کمال تشکر و قدردانی را دارم.

از جناب آقای دکتر صادقیان که با سعه صدر و همفری‌های فراوان من را در انجام مراحل مختلف پایان نامه همراهی کردند و آنچه انجام دادند فراتر از حد وظیفه بوده، کمال تشکر و قدردانی را دارم. از استاد مشاور جناب آقای مهندس اکرمی در سازمان زمین‌شناسی و اکتشافاتمعدنی شرق کشور که در تمامی مراحل کار صحرایی از مساعدتهای بی‌دریغ ایشان برخوردار بودم، نهایت تشکر و قدردانی خوبیش را ابراز می‌دارم. از جناب آقای دکتر قاسمی که از محض استادی ایشان فیض بردم و آقای دکتر همام به دلیل راهنمایی‌های مفیدشان، تشکر و سپاسگذاری می‌نمایم.

از دوستان عزیزم زهره مقصودی، سمیه عابدپور، مهسا محمودی، اکرم نادمی و آقایان مرتضی درخشی، مصطفی مشکین، علیرضا خانعلی زاده که هر یک به نوعی در انجام پایان نامه همراه من بوده‌اند سپاسگذارم.

از آقای حمید حافظی در دانشگاه فردوسی مشهد که کار تهیه مقاطع نازک را به انجام رسانیده‌اند، صمیمانه تشکر و قدردانی می‌کنم.

در پایان تقدیر و تشکر می‌کنم از خانواده عزیز و بزرگوار خود و همسرم که همواره با صبر و حوصله و فراهم کردن شرایط مناسب و تحمل زحمات، مرا در این راه یاری نموده‌اند و آرزوی سلامتی و توفیقات روزافزون برای آنان دارم.

سمیه صفرایی

بهار

چکیده:

منطقه مورد مطالعه در محدوده بین طولهای جغرافیایی 50° و 59° شرقی و عرضهای جغرافیایی 35° تا $35^{\circ} 25'$ شمالی واقع شده است. این منطقه در جنوب شرقی مشهد و شرق شهرستان فریمان قرار دارد و بخشی از زون ایران مرکزی به شمار می‌رود. در این منطقه، مجموعه‌های دگرگونی و توده‌های گرانیتی‌وئیدی رخنمون دارد. توده‌های گرانیتی‌وئیدی این منطقه شامل دو توده اصلی با ترکیب گرانیتی و تعدادی توده‌های کوچکتر می‌باشد که ترکیب آنها از گرانوپوریت تا آلکالی گرانیت متغیر است. تمامی این توده‌ها از نوع کوهزایی بوده و جزء گرانیتی‌وئیدهای همزمان با برخورد می‌باشند.

سنگ‌های دگرگونی این منطقه دارای ترکیب کانی شناسی متنوعی است و نشان می‌دهد که سنگ اولیه آنها شامل ترکیبات پلیتی، کربناتی و کوارتز-فلدسپاتی بوده است. مجموعه‌های کانی و روابط ماتریکس-پورفیروبلاست نشان می‌دهد که این سنگ‌ها علاوه بر دگرگونی مجاورتی حاصل از تزریق توده‌های نفوذی تحت تأثیر دگرگونی ناحیه‌ای نیز واقع شده‌اند. در سنگ‌های پلیتی، کانی‌های گارنت، بیوتیت، موسکویت، آندالوزیت، کوردیریت و سیلیمانیت قابل مشاهده هستند. بر مبنای این کانی‌ها، زون‌های دگرگونی در منطقه مورد مطالعه تفکیک شده‌اند و واکنش‌هایی برای ظهرور و گسترش آنها پیشنهاد گردیده است. حداکثر درجه دگرگونی ناحیه‌ای در حد رخساره آمفیبولیت (زون آندالوزیت در سنگ‌های پلیتی) بوده است. دگرگونی مجاورتی از گروه حدواسط فشار پایین بوده و شدت این دگرگونی در حد رخساره هورنبلند هورنفلس و پیروکسن هورنفلس می‌باشد.

نفوذ توده باعث محو آثار دگرگونی ناحیه‌ای در سنگ‌های مجاور این توده و تشکیل هاله دگرگونی شده است، که زونهای آن شامل آندالوزیت، کوردیریت، سیلیمانیت و سیلیمانیت فوقانی می‌باشد. فشار در طی دگرگونی مجاورتی این توده نفوذی کمتر از ۴ کیلوبار و دما بین ۴۰۰ تا ۶۰۰ درجه سانتی‌گراد بوده است.

فهرست مطالب

صفحه	عنوان
ج	چکیده
	فصل اول- کلیات
۱	۱-۱) مقدمه
۱	۲-۱) موقعیت جغرافیایی منطقه مورد مطالعه
۲	۳-۱) راههای ارتباطی منطقه
۲	۴-۱) شاخص های اجتماعی و اقلیمی محدوده مورد مطالعه
۴	۵-۱) وضعیت آب و هوایی
۵	۶-۱) ژئومورفولوژی
۵	۷-۱) تاریخچه مطالعات قبلی
۶	۸-۱) هدف کلی از مطالعه
۶	۹-۱) روش های مطالعاتی
	فصل دوم- زمین‌شناسی عمومی منطقه
۸	۱-۲) مقدمه
۸	۱-۱-۲) بلوک لوت
۹	۲-۱-۲) زون تکنار
۹	۳-۱-۲) زون سبرزوار
۱۴	۲-۲) پیکره‌های سنگی منطقه مورد مطالعه
۱۴	۱-۲-۲) پرتوزوئیک
۱۵	۲-۲-۲) پالئوزوئیک
۱۵	۳-۲-۲) مزوزوئیک
۱۶	۴-۲-۲) سنوزوئیک
۱۸	۳-۲) پیکره آذرین منطقه

۱۸.....	۱-۳-۲) دیوریت
۲۰.....	۴-۲) پیکرۀ دگرگونی
۲۳.....	۵-۲) تکتونیک منطقه
۲۶.....	۶-۲) منابع معدنی ناحیه مورد مطالعه
۲۷.....	۷-۲) خلاصه

فصل سوم - پتروگرافی سنگهای آذرین

۲۸.....	۱-۳- مقدمه
۳۰.....	۲-۳- اختصاصات سنگ شناسی دیوریت‌ها
۳۳.....	۳-۳- اختصاصات سنگ شناسی گرانودیوریت‌ها
۳۴.....	۴-۳- اختصاصات سنگ شناسی گرانیت‌ها
۳۷.....	۵-۳- اختصاصات سنگ شناسی آلکالی فلدسپارگرانیت‌ها
۳۸.....	۶-۳- اختصاصات سنگ شناسی میلو نیت‌ها و سنگ‌های کاتاکلاستیکی
۴۱.....	۷-۳- اختصاصات سنگ شناسی پگماتیت‌ها
۴۱.....	۸-۳- بافت پرتیتی
۴۶.....	۹-۳- خلاصه

فصل چهارم - ژئوشیمی

۴۷.....	۱-۴- مقدمه
۵۲.....	۲-۴- آماده سازی و تصحیح داده‌های تجزیه‌های شیمیایی
۵۴.....	۳-۴- کاربرد داده‌های تجزیه‌های شیمیایی
۵۶.....	۴-۴- کاربرد نتایج تجزیه‌های شیمیایی عناصر اصلی در رده‌بندی سنگها
۵۶.....	۴-۱- طبقه‌بندی بر اساس ترکیب نورماتیو
۶۲.....	۴-۲- طبقه‌بندی شیمیایی

۴-۵- استفاده از نتایج تجزیه‌های شیمیایی نمونه‌های مورد مطالعه برای بررسی روندهای تغییرات آنها	۶۷
۴-۶- استفاده از عناصر کمیاب در بررسی روندهای تحولات توده نفوذی	۷۰
۷-۴- پترولوزی	۷۴
۱-۷-۴- سری ماگمایی	۷۴
۲-۷-۴- درجه اشباع از آلومین (ASI)	۷۷
۸-۴- پتروژنر سنگهای گرانیتی	۸۰
۱-۸-۴- خاستگاه ماگمایی سنگهای گرانیتوئیدی منطقه	۸۱
۹-۴- محیط تکتونیکی توده‌های گرانیتوئیدی	۸۳
۱-۹-۴- تقسیم‌بندی مانیار و پیکولی	۸۴
۲-۹-۴- تقسیم‌بندی باچور و بودن	۹۰
۳-۹-۴- تعیین جایگاه تکتونیکی گرانیتوئیدها با استفاده از نمودارهای عناصر کمیاب	۹۲
۱۰-۴- خلاصه	۹۴

فصل پنجم- پتروگرافی سنگهای دگرگونی

۱-۵- مقدمه	۹۵
۲-۵- مرمرها	۹۷
۳-۵- سنگهای حاصل از دگرگونی ترکیبات کوارتز و فلدسپاتی	۹۸
۱-۳-۵- کوارتزیت‌ها یا کوارتز هورنفلس‌های گارنت دار	۹۸
۲-۳-۵- میکا- کوارتزیت گارنت- سیلیمانیت دار	۹۸
۴-۵- سنگهای حاصل از دگرگونی ترکیبات پلیتی	۱۰۰
۱-۴-۵- اسلیت‌های هورنفلسی	۱۰۰
۲-۴-۵- کوارتز- میکاشیست‌های گارنت- سیلیمانیت دار	۱۰۳

۱۰۴	۳-۴-۵-گارنت- آندالوزیت میکا شیست
۱۱۲	۴-۵-گارنت- کوردیریت- آندالوزیت هورنفلس
۱۱۳	۴-۵-۵-گارنت- سیلیمانیت- آندالوزیت- بیوتیت هورنفلس

فصل ششم- دگرگونی

۱۲۲	۱-۶- مقدمه
۱۲۳	۲-۶- دگرگونی ناحیه‌ای
۱۲۴	۳-۶- دگرگونی مجاورتی
۱۲۴	۴-۶- سنگ منشأ
۱۲۶	۴-۶- ۱- پلیتها
۱۲۸	۵-۶- بررسی ویژگیهای متاپلیت‌ها در دگرگونی ناحیه‌ای
۱۲۸	۵-۶- ۱- دگرگونی پلیتها در فشارهای پایین
۱۳۰	۵-۶- ۲- دگرگونی پلیتها در فشار کم تا متوسط
۱۳۱	۵-۶- ۳- دگرگونی ناحیه‌ای فشار متوسط
۱۳۴	۵-۶- ۴- دگرگونی ناحیه‌ای فشار متوسط تا بالا
۱۳۵	۵-۶- ۵- دگرگونی ناحیه‌ای فشار بالا
۱۳۶	۶- حوادث دگرگونی رخ داده در منطقه مورد مطالعه
۱۳۷	۷-۶- زون‌های دگرگونی
۱۳۸	۷-۶- ۱- زون‌های دگرگونی مجاورتی
۱۳۹	۷-۶- ۱- ۱- مجموعه‌های کانی و روابط آنها در زون آندالوزیت
۱۴۱	۷-۶- ۱- ۲- زون کوردیریت
۱۴۲	۷-۶- ۱- ۳- زون سیلیمانیت
۱۴۳	۷-۶- ۱- ۴- زون سیلیمانیت فوقانی
۱۴۳	۸-۶- رخساره دگرگونی

۱۴۴.....	۱-۸-۶ - رخساره آلبیت - اپیدوت هورنفلس
۱۴۵.....	۲-۸-۶ - رخساره هورنبلند هورنفلس
۱۴۶.....	۳-۸-۶ - رخساره پیروکسن هورنفلس
۱۴۶.....	۹-۶ - شرایط دگرگونی
۱۴۹.....	۱۰-۶ - موقعیت تکتونیکی دگرگونی فشار پایین

فصل هفتم- نتیجه گیری و پیشنهادات

۱۵۰.....	۱-۷ - نتیجه گیری
۱۵۲.....	۲-۷ - پیشنهادات

منابع و مراجع

۱۵۳.....	منابع فارسی
۱۵۶.....	منابع لاتین

فهرست اشکال

عنوان	صفحه
شکل ۱-۱- موقعیت منطقه مورد مطالعه	۳
شکل ۱-۲- کروکی راههای دسترسی به منطقه	۴
شکل ۱-۳- تصویر بخشی از نقشه زمین شناسی کاریزنو	۱۱
شکل ۲-۱- واحدهای ساختمانی- رسوبی ایران	۱۲
شکل ۲-۲- واحدهای ساختمانی و گسترش حوضه های رسوبی ایران	۱۳
شکل ۲-۳- شمایی از توده گرانیتی منطقه	۱۹
شکل ۲-۴- شمایی از توده دیوریتی منطقه	۱۹
شکل ۲-۵- شمایی از توده دیوریتی منطقه	۱۹
شکل ۲-۶- دایک دیوریتی در منطقه	۱۹
شکل ۲-۷- نمایی نزدیک از مرز شرقی زون آندالوزیتدار- رودخانه بردو	۲۱
شکل ۲-۸- تصویری از راندگی آندالوزیت هورنفلس بر روی کنگلومرای ائوسن	۲۱
شکل ۲-۹- مرز جنوبی زون آندالوزیتدار با آهکهای متبلور دگرگون شده	۲۱
شکل ۲-۱۰- رگه های کوارتزی ایجاد شده در اثر دگرگونی	۲۲
شکل ۲-۱۱- پراکندگی گسلهای منطقه در ورقه کاریزنو	۲۶
شکل ۳-۱- رخنمون دیوریت ها در منطقه	۳۱
شکل ۳-۲- ترکیب کانی شناسی دیوریت ها در منطقه	۳۲
شکل ۳-۳- تصویر صحرایی گرانیت	۳۵
شکل ۳-۴- تصویر میکروسکوپی بافت پرتیتی در گرانیت	۳۶
شکل ۳-۵- تصویر میکروسکوپی میکروکلین و دگرسانی فلدسپات به سریسیت	۳۶
شکل ۳-۶- بلور زیرکن در گرانیت و دگرسانی پلازیوکلاز و تبدیل شدن بیوتیت به کلریت	۳۷
شکل ۳-۷- نمایی از یک نمونه دستی آلکالی فلدسپار گرانیت	۳۷
شکل ۳-۸- کوارترهای نواری با خاموشی موجی	۴۰
شکل ۳-۹- ماکل مکانیکی پلازیوکلاز و دگرسانی شدید در آن	۴۰
شکل ۳-۱۰- تصویر صحرایی توده های پگماتیتی موجود در منطقه	۴۲
شکل ۳-۱۱- سیستم دوتایی ارتوز -آلبیت و تغییرات آن در فشارهای مختلف آب	۴۵
شکل ۴-۱- طبقه‌بندی An-Ab-Or نورماتیو اکونز(۱۹۶۵) برای سنگهای گرانیت‌وئیدی	۵۸

شکل ۴-۲- رده‌بندی نورماتیو اشتريکایزن و لی مایتره(۱۹۷۹) برای سنگ‌های گرانیتوئیدی ۵۹
شکل ۴-۳- نمودار مولر و براون(۱۹۷۷)، برای مشخص کردن درصد فلدسپاهای آلکالن سنگ مورد نظر نسبت به کل فلدسپاهای سازنده آن سنگ ۶۱
شکل ۴-۴- دیاگرام QAP مودال اشتريکایزن ۶۱
شکل ۴-۵- طبقه‌بندی شیمیایی میدلموست(۱۹۹۴) ۶۴
شکل ۴-۶- نمودار دلارش و همکاران(۱۹۸۰) ۶۵
شکل ۴-۷- دیاگرام مجموع درصد وزنی آلکالن (Na_2O+K_2O) در مقابل درصد وزنی SiO_2 (ویلسون، ۱۹۸۹) ۶۵
شکل ۴-۸- نمودار فروست و همکاران(۲۰۰۱) ۶۶
شکل ۴-۹- نمودارهای تغییرات اکسیدهای عناصر اصلی در برابر سیلیس ۶۹
شکل ۴-۱۰- نمودار Zr/Y (اقتباس از عبدالله و همکاران) ۷۳
شکل ۴-۱۱- نمودار تغییرات بعضی از عناصر کمیاب نسبت به سیلیس ۷۴
شکل ۴-۱۲- نمودارهای تعیین سری ماگمای سنگ‌های گرانیتی ۷۶
شکل ۴-۱۳- نمودارهای تعیین درجه اشباع آلومین(ASI) سنگ‌های آذرین ۷۹
شکل ۴-۱۴- موقعیت نمونه‌های مورد مطالعه در نمودار درصد وزنی K_2O در مقابل Na_2O برای تمایز گرانیتوئیدهای نوع S و I (چاپل و وايت، ۱۹۷۴) ۸۲
شکل ۴-۱۵- موقعیت نمونه‌های مورد مطالعه در نمودار درصد وزنی Na_2O در مقابل K_2O برای تمایز گرانیتوئیدهای نوع S و I (چاپل و وايت، ۲۰۰۱) ۸۲
شکل ۴-۱۶- نمودار تغییرات درصد وزنی SiO_2 برای تفکیک پلاژیوگرانیت های اقیانوسی از سایر گرانیتوئیدها ۸۸
شکل ۴-۱۷- نمودار Al_2O_3 در مقابل SiO_2 جهت تمایز بین گروههای I، II و III ۸۸
شکل ۴-۱۸- نمودار تغییرات درصد وزنی $[FeO(T)]/[FeO(T)+MgO]$ در مقابل SiO_2 جهت تفکیک گرانیتوئیدهای گروه I، II و III ۸۹
شکل ۴-۱۹- نمودار تغییرات درصد وزنی $[Al_2O_3-Na_2O-K_2O]-(CaO)-[MgO+FeO(T)]$ جهت تفکیک تکتونیکی گرانیتوئیدها ۸۹
شکل ۴-۲۰- نمودار تغییرات درصد وزنی $[Al_2O_3-Na_2O-K_2O]-(MgO)-[FeO(T)]$ جهت تفکیک تکتونیکی گرانیتوئیدها ۹۰

شکل ۴ - ۲۱ - موقعیت نمونه‌های مورد مطالعه در نمودار R1-R2 برای تمایز تکتونیکی سنگهای گرانیتوئیدی (باچلور و بودن، ۱۹۸۵).....	۹۱
شکل ۴ - ۲۲ - نمودار Y در مقابل SiO_2	۹۲
شکل ۴ - ۲۳ - نمودار Rb در مقابل SiO_2	۹۳
شکل ۴ - ۲۴ - نمودار Rb در مقابل $\text{Y}+\text{Nb}$ برای تمایز محیط تکتونیکی گرانیتوئیدهای منطقه ...	۹۳
شکل ۱-۵ - تصویر میکروسکوپی از بلورهای کلسیت که دارای دو جهت رخ می‌باشند.....	۹۹
شکل ۲-۵ - تصویر میکروسکوپی کوارتزیت.....	۹۹
شکل ۳-۵ تصویر میکروسکوپی میکا-کوارتزیت گارنت-سیلیمانیت دار.....	۹۹
شکل ۴-۵ تصویر میکروسکوپی پورفیرهای آندالوزیت در اسلیت‌های هورنفلسی.....	۱۰۲
شکل ۵-۵ - تصویر میکروسکوپی گارنت‌های موجود در اسلیت‌های هورنفلسی.....	۱۰۲
شکل ۵-۶ - تصویر میکروسکوپی تجمعات بیوتیتی که تحت Deformation قرار گرفته است.....	۱۰۳
شکل ۵-۷ - کوارنز-میکاشیست‌های گارنت-سیلیمانیت دار.....	۱۰۵
شکل ۵-۸ - تصویر صحرائی گارنت-آندالوزیت شیست.....	۱۰۵
شکل ۹-۵-الف - نمونه SFB4 که بر اساس آنالیز XRD انجام شده دارای کانی آندالوزیت بوده و یک نمونه گارنت آندالوزیت شیست می‌باشد.....	۱۰۸
شکل ۹-۵-ب - نمونه SFB9 که بر اساس آنالیز XRD انجام شده دارای کانی آندالوزیت بوده و یک نمونه گارنت آندالوزیت شیست می‌باشد.....	۱۰۹
شکل ۱۰-۵ - تصویر میکروسکوپی از مقطع عرضی کیاستولیت.....	۱۱۰
شکل ۱۱-۵ - تصویر میکروسکوپی گارنت‌های موجود در غده‌های بیوتیتی.....	۱۱۰
شکل ۱۲-۵ - نمونه SFB5 که بر اساس آنالیز XRD انجام شده دارای گارنت بوده و از نوع آلماندین است.....	۱۱۱
شکل ۱۳-۵ - تصویر میکروسکوپی پوئی کیلوبلاست کوردیریت.....	۱۱۳
شکل ۱۴-۵ - نمونه SFG7 که بر اساس آنالیز XRD انجام شده دارای کانیهای گارنت و سیلیمانیت بوده و یک نمونه گارنت-سیلیمانیت-آندالوزیت هورنفلس است.....	۱۱۶

..... شکل ۱۵-۵ - نمونه MZ3 که بر اساس آنالیز XRD انجام شده دارای بیوتیت، کلریت و سیلیمانیت بوده و یک نمونه گارنت-سیلیمانیت-آندالوزیت هورنفلس است.....	۱۱۷
..... شکل ۱۶-۵ - نمونه GL1-6 که بر اساس آنالیز XRD انجام شده دارای گارنت و سیلیمانیت بوده و یک نمونه گارنت-سیلیمانیت-آندالوزیت هورنفلس است.....	۱۱۸
..... شکل ۱۷-۵ - تصویر میکروسکوپی پورفیروبلاست گارنت.....	۱۱۹
..... شکل ۱۸-۵ - تصویر میکروسکوپی فیبرولیت.....	۱۱۹
..... شکل ۱۹-۵ - تصویر میکروسکوپی بلورهای سیلیمانیت.....	۱۱۹
..... شکل ۲۰-۵ - تصویر میکروسکوپی پرتیت.....	۱۲۰
..... شکل ۲۱-۵ - تصویر میکروسکوپی هورنفلس های میلیونیتی شده.....	۱۲۰
..... شکل ۲۲-۵ - نمونه MZ5 که بر اساس آنالیز XRD انجام شده دارای گارنت و سیلیمانیت بوده و یک نمونه گارنت-سیلیمانیت-آندالوزیت هورنفلس میلیونیتی است.....	۱۲۱
..... شکل ۱-۶ - تصویر فولیاسیون غالب در شیستهای گارنت دار.....	۱۳۸
..... شکل ۲-۶ - تصویر میکروسکوپی پورفیروبلاست آندالوزیت.....	۱۴۱
..... شکل ۳-۶ - تصویر میکروسکوپی پورفیروبلاست آندالوزیت.....	۱۴۱
..... شکل ۴-۶ - رخساره آلبیت - اپیدوت هورنفلس.....	۱۴۵
..... شکل ۵-۶ - رخساره هورنبلند هورنفلس.....	۱۴۵
..... شکل ۶-۶ - رخساره پیروکسن هورنفلس.....	۱۴۶

صلوٰن

کتابت

فصل اول

کلیات

۱-۱) مقدمه

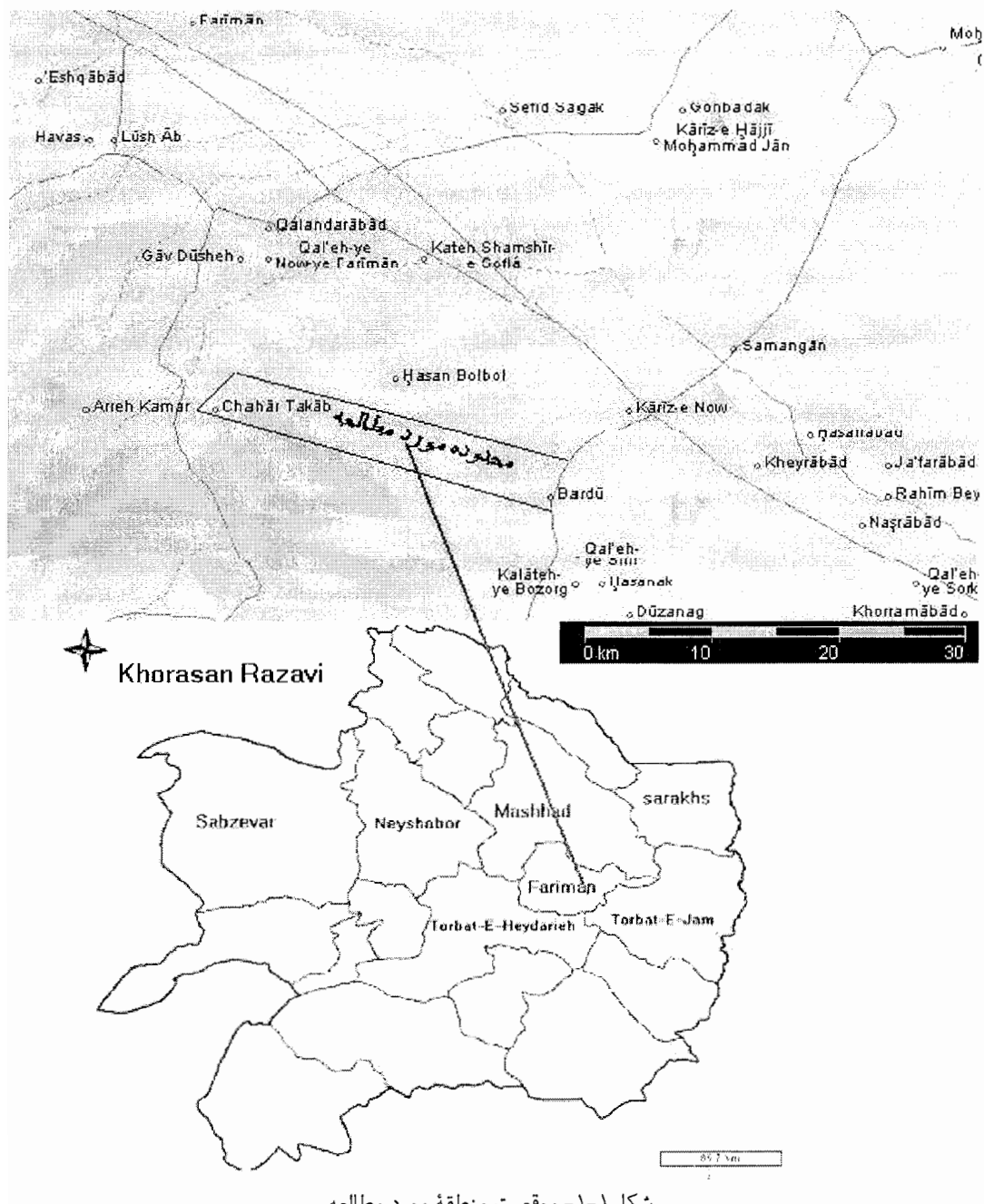
موضوع مورد مطالعه این پایان نامه «بررسی پترولوزی و ژئوشیمی سنگ‌های دگرگونی جنوب شرق فریمان» می‌باشد. با توجه به این که در مورد سری دگرگونی مذکور، به جز نقشه‌های زمین‌شناسی تربت‌جام و تربت‌حیدریه با مقیاس ۱:۲۵۰۰۰ و نقشه زمین‌شناسی کاریزنو با مقیاس ۱:۱۰۰۰۰ و یک پایان نامه اقتصادی در مورد اکتشاف مقدماتی آندالوزیت، گزارش جامع و کاملی از سنگ‌های دگرگونی منطقه موجود نیست، لذا لازم به نظر رسد که این سری دگرگونی از نقطه نظر پترولوزی و ژئوشیمی مورد مطالعه دقیق قرار گیرد.

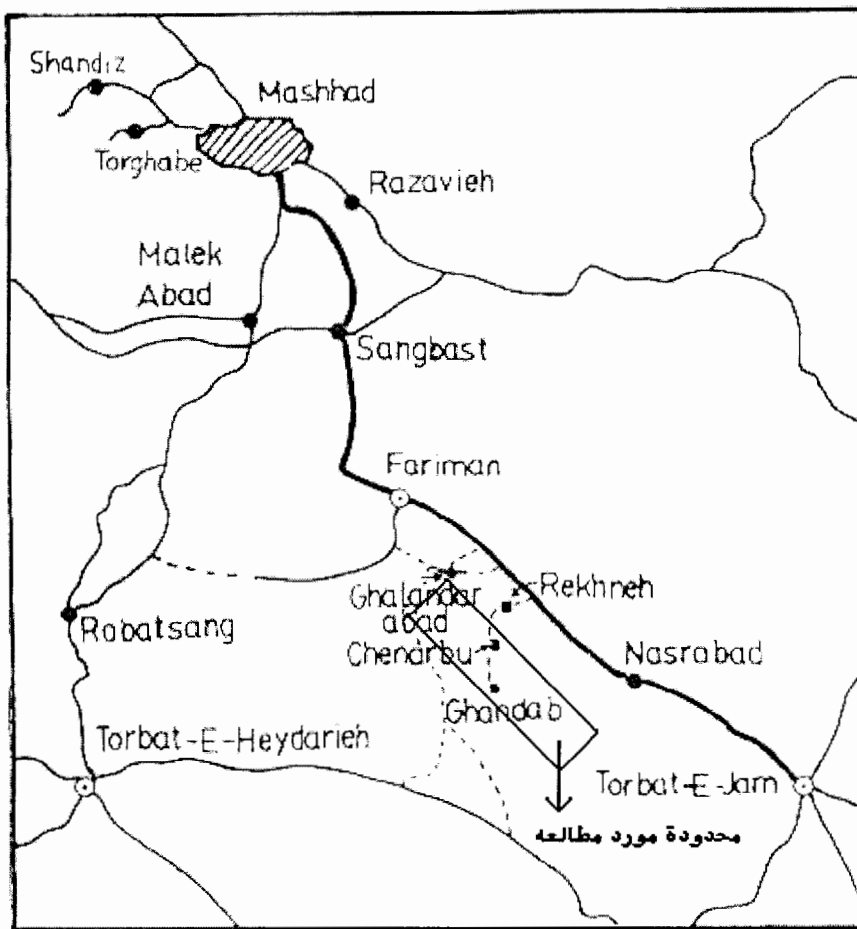
امید است نتایج حاصل از این پژوهش، در کنار نتایج مطالعات قبلی، در حل مسائل زمین‌شناسی این بخش از کشورمان مفید و مؤثر واقع شود.

این سری دگرگونی در زون ساختاری ایران مرکزی با روند تقریبی شمال‌غرب-جنوب‌شرق، در گوشه سمت چپ نقشه ۱/۱۰۰۰۰ کاریزنو قرار دارد. در این بخش موقعیت جغرافیایی، راههای ارتباطی، آب و هوا، ژئومورفولوزی و ویژگیهای انسانی و اقتصادی منطقه، مورد بررسی قرار گرفته و در انتهای مطالعات قبلی انجام شده در منطقه و هدف از مطالعه آورده شده است.

۲-۱) موقعیت جغرافیایی منطقه مورد مطالعه

منطقه مورد مطالعه در ۱۱۰ کیلومتری جنوب شرقی مشهد و ۳۵ کیلومتری شرق شهرستان فریمان، به مختصات $59^{\circ}, 5^{\prime}$ تا $60^{\circ}, 5^{\prime}$ شرقی و $35^{\circ}, 25^{\prime}$ تا $35^{\circ}, 35^{\prime}$ شمالی قرار گرفته است. این منطقه در شمال شرقی خرده قاره ایران مرکزی و شمال گسل درونه (گسل کویر) قرار دارد. از نظر تقسیمات کشوری در جنوب شرقی شهرستان فریمان واقع شده است (شکل ۱-۱).





شکل ۱-۲- کروکی راههای دسترسی به منطقه مورد نظر را نمایش می دهد.

۱-۵) وضعیت آب و هوایی

آب و هوای منطقه خشک، با تابستانهای گرم و زمستانهای سرد می باشد. میزان بارندگی در نقاط مختلف یکسان نبوده و در منطقه فریمان بیشتر از تربت جام است، به طوری که متوسط ده ساله بارندگی در ایستگاه هواشناسی فریمان ۲۲۳ میلی متر و در ایستگاه تربت جام ۱۷۶ میلی متر گزارش شده است. میانگین دما در این منطقه 15°C درجه سانتی گراد می باشد (واعظی پور و همکاران، ۱۳۶۲).

۱- اکتشاف مقدماتی آندالوزیت در جنوب شرق فریمان(شیرزاد، ۱۳۸۱)

۶-۱) ژئومورفولوژی

با توجه به نقشه های توپوگرافی موجود، مشاهده می شود که اختلاف توپوگرافی در منطقه نسبتاً زیاد است. حداکثر ارتفاع منطقه، قله کلیلاق با ارتفاع ۲۹۶۵ متر از سطح دریا و حداقل ارتفاع منطقه، در محل خروجی دشت با ارتفاع ۷۴۰ متر از سطح دریا می باشد. مهمترین رودخانه منطقه، جام رود است که پس از مشروب کردن دشت فریمان و تربت جام به هربرود می ریزد. از دیگر رودخانه های منطقه می توان به رودخانه فریمان، قلندرآباد و بردو اشاره کرد که دو رودخانه قلندرآباد و بردو به ترتیب مرز غربی و شرقی محدوده مورد مطالعه را تشکیل می دهند. رودخانه قلندرآباد از ارتفاعات کله منار سرچشم می گیرد و حداکثر و حدائق حجم جریان آب این رودخانه در محل کلاته رحمان به ترتیب ۳۱ و ۹ میلیون متر مکعب گزارش شده است. رودخانه بردو از ارتفاعات کلیلاق واقع در غرب شهرستان تربت جام سرچشم می گیرد. وسعت حوضه آبریز این رودخانه تا محل ایستگاه بردو ۶۸ کیلومتر مربع و حجم آب سالانه آن به طور متوسط ۱۵ میلیون متر مکعب است (واعظی پور و همکاران، ۱۳۶۲).

۷-۱) تاریخچه مطالعات قبلی

بررسیها نشان می دهد که مطالعات نسبتاً کمی از گذشته تا حال در منطقه انجام گرفته است. این مطالعات بسیار محدود و در حد یک توصیف ساده از زمین شناسی منطقه است. البته گزارشات کاملتری در زمینه اقتصادی منطقه موجود می باشد که به صورت گذرا به آنها اشاره می گردد. قدیمی ترین مطالعات منطقه مربوط به واعظی پور، م. ج؛ خلقی، م. ج و علوی نائینی (۱۳۶۲) تحت عنوان زمین شناسی ناحیه فریمان- ژرف و مروری بر سنگ های دگرگونی بخشهایی از شمال-شرق ایران می باشد. نامبردگان در گزارش خود، در جنوب شرقی روستای قلندرآباد واقع در ۱۴ کیلومتری جنوب شرقی فریمان مقطع تقریباً کاملی از سنگ های دگرگون شده در یک امتداد شمال-غربی - جنوب شرقی را معرفی نمودند که منطقه مورد مطالعه در همین سری های دگرگونی واقع است.

بهمن شیرزاده (۱۳۸۱)، اکتشاف مقدماتی آندالوزیت در جنوب شرق فریمان را در چهار چوب رساله کارشناسی ارشد دانشگاه فردوسی مشهد مورد بررسی قرار داد.

دو مقاله تحت عنوان «اکتشاف مقدماتی آندالوزیت شرق فریمان^۱» و «نگرشی بر کانی‌شناسی صنعتی آندالوزیت شرق فریمان^۲» منتشر شده که به بررسی ویژگی‌های اقتصادی منطقه می‌پردازد.

۸-۱) هدف کلی از مطالعه

هدف از این مطالعه، بررسی پترولوزی و ژئوشیمی سنگ‌های دگرگونی جنوب‌شرق فریمان می‌باشد. وجود توده‌های نفوذی در منطقه مورد مطالعه و سنگ‌های دگرگونی که هم در مجاورت این توده‌ها و هم در فواصل دورتر از آن دیده می‌شوند، نشان دهنده آن است که هم دگرگونی ناحیه‌ای و هم دگرگونی مجاورتی، سنگ‌های این منطقه را تحت تأثیر قرار داده است. بررسی پتروگرافی و پترولوزی این سنگ‌ها می‌تواند تاثیرات حاصل از تزریق توده‌های نفوذی در این منطقه را مشخص سازد، که بر اساس آن، رابطه بین دگرگونی ناحیه‌ای و نفوذ توده‌ها، شرایط دگرگونی، دما و عمق توده‌های نفوذی تعیین می‌شود.

۹-۱) روش‌های مطالعاتی

انجام این تحقیق با گردآوری اطلاعات قبلی شروع، با برداشت‌های صحرایی و مطالعات آزمایشگاهی ادامه یافته و در پایان، نتیجه‌گیری براساس تجزیه و تحلیل داده‌ها، انجام شده است. جزئیات مراحل انجام شده به شرح زیراست:

الف) گردآوری اطلاعات، شامل مطالعات انجام شده قبلی و به منظور مطالعات صحرایی از عکس‌های هوایی با مقیاس ۱:۲۰۰۰۰ سازمان نقشه‌برداری کشور و نقشه‌های توپوگرافی با مقیاس ۱:۲۵۰۰۰ و ۱:۵۰۰۰۰ سازمان زمین‌شناسی و نقشه‌های زمین‌شناسی چهارگوش تربت‌جام و تربت‌حیدریه با مقیاس ۱:۲۵۰۰۰ و نقشه کاریزنو با مقیاس ۱:۱۰۰۰۰ چاپ سازمان زمین‌شناسی کشور استفاده شد.

۱- مجموعه مقالات پنجمین همایش انجمن زمین‌شناسی ایران

۲- چکیده مقالات نوزدهمین گردهمایی علوم زمین

ب) برداشت‌های صحرایی در طی چند مرحله عملیات صحرایی به دفعات مکرر در شهریور، آبان و اسفند ۱۳۸۴ انجام و حدود ۱۶۰ نمونه از واحدهای مختلف سنگی برداشت شد. نمونه‌برداری از توده نفوذی به صورت اختیاری و از سنگهای دگرگون به طور سیستماتیک صورت گرفته است.

ج) تهیه ۱۰۰ مقطع نازک

د) مطالعه مقاطع نازک.

ه) آنالیز ۶ نمونه آذرین در آزمایشگاه سازمان زمین شناسی و اکتشافاتمعدنی کشور به روش XRF و ۸ نمونه دگرگونی به روش XRD.

و) تجزیه و تحلیل داده‌های خام حاصل از آنالیز توسط نرم‌افزارهای Excel و Igpet

.Minpet

فصل دوم

زن‌شناسی عمومی هنر

فصل دوم

زمین‌شناسی عمومی منطقه

۱-۲) مقدمه

منطقه مورد مطالعه از نظر تقسیمات زمین‌شناسی و ساختمانی ایران و نقشه‌ای که در همین زمینه توسط م. ح. نبوی (۱۳۵۵) ارائه شده است، تقریباً در بخش مرزی ایران مرکزی و زون بینالود (بخشی از البرز) قرار دارد (شکل ۱-۲)، اما در نقشه‌ای که توسط افتخارنژاد (۱۳۵۹)، و آقانباتی (۱۳۷۹) ارائه شده، منطقه مورد پژوهش جزو ایران مرکزی به شمار می‌رود (شکل ۲-۲). ایران مرکزی یکی از واحدهای اصلی و عمدی است که در مرکز ایران قرار دارد و جزو بزرگترین و پیچیده‌ترین واحد زمین‌شناسی به شمار می‌رود. در این واحد، قدیمی‌ترین سنگ‌های دگرگون شده تا آتشفشار-های فعال و نیمه فعال امروزی وجود دارد. در واقع این منطقه را می‌توان محل قدیمی‌ترین قاره در ایران محسوب نمود که حوادث زمین‌شناسی فراوانی به خود دیده است. منطقه مورد مطالعه در شمال شرقی خرده قاره ایران مرکزی و شمال گسل درونه (کویر بزرگ) قرار دارد.

بر اساس نقشه زیر پهنه‌های ایران از نگاه علوی (۱۹۹۱)، منطقه مورد مطالعه در زون سبزوار واقع شده است.

بر اساس نوشته لیدنبرگ و جاکوبس هاگن (۱۹۸۳) سه واحد ژئوتکتونیکی در ناحیه کاشمر (شمال شرقی ایران مرکزی) قابل تشخیص است، که به ایران مرکزی وابسته است.

۱-۱-۲) بلوک لوت: در جنوب که بخشی از خرده قاره ایران مرکزی بوده و طبق نظر داودزاده و همکاران (۱۹۸۱)، در طول مژوزوئیک چرخش‌های چندی را نسبت به نواحی مجاور متحمل شده و گسل درونه به عنوان مرز شمالی آن پذیرفته شده است.

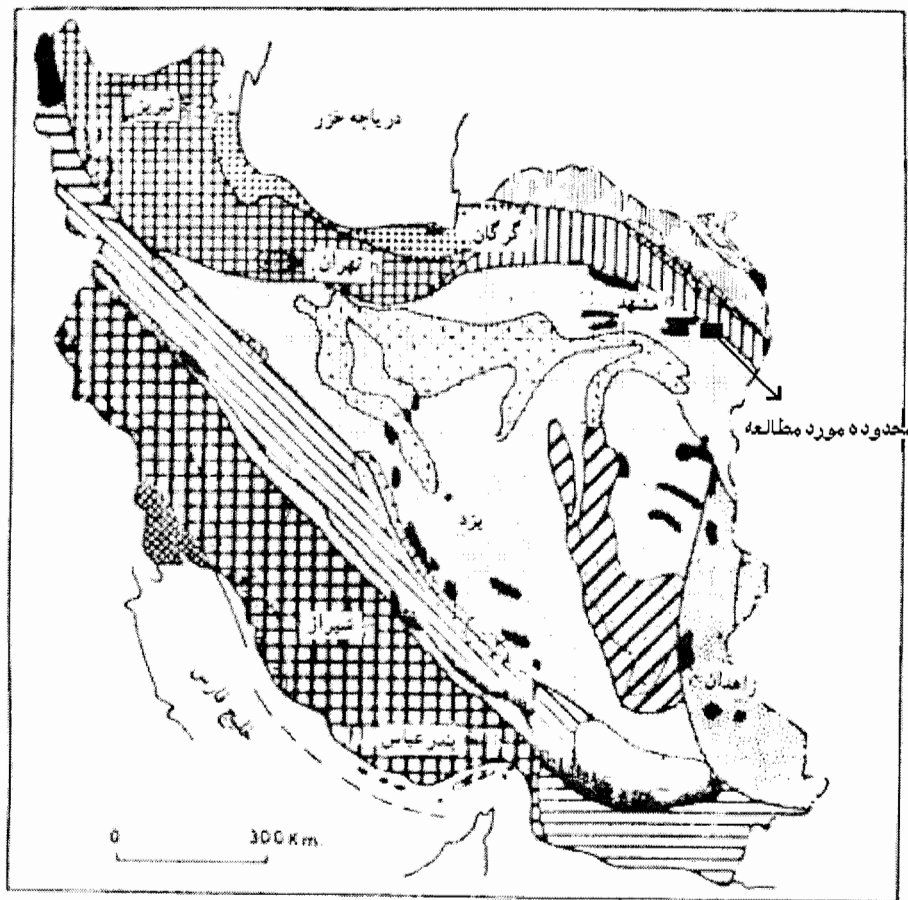
۲-۱-۲) زون تکنار: در شمال گسل درونه، به صورت یک بلوک گومای شکل و بالا آمده می‌باشد که پی‌سنگ کامبرین و پالئوزوئیک را به همراه پوشش مزوژوئیک و پالئوزوئیک به نمایش گذاشته است. همه واحدهای سنگی در این زون تفاوت رخسارهای و ساختمانی را نسبت به نواحی مجاور نشان می‌دهند، بنابراین شکل‌گیری آن با موقعیت کنونی‌اش مرتبط نیست. سازند تکنار که نام خود را از معدنی به همین نام واقع در حدود ۶۵ کیلومتری شمال غرب کاشمر، (جنوب‌غربی مشهد) گرفته است، در حقیقت شامل مجموعه‌ای از سنگ‌های آتشفسانی شامل ریولیت، ریوداسیت و داسیت و سنگ‌های آتشفسانی رسوی، مشتمل بر توفهای غنی از بلور با ترکیب اسیدی می‌باشد. سن این سازند توسط محققینی که تاکنون آن را مورد بررسی قرار داده‌اند پرکامبرین تعیین شده است (رزا منش ۱۹۶۸، فورستر ۱۹۶۸، افتخارنژاد ۱۹۷۶، مولر و والتر ۱۹۸۲)، با این وجود مطالعات پالینولوژی دو نمونه از شیلهای فیلیتی شده سازند تکنار سن دونین-کربنیفر را برای آن مشخص کرده است، همچنین سن مجموعه کربناته، ماسه‌سنگی و توفی جنوب‌شرقی زون تکنار، شرق روستای کبودان که توسط مولر و والتر ۱۹۸۲ اینفراکامبرین در نظر گرفته شده، با استفاده از همین روش اردوبیسین تعیین گردیده است. کلیه سازندهای پالئوزوئیک در زون تکنار متحمل یک دگرگونی حرارت پائین گردیده‌اند، درجه دگرگونی سازندهای مذکور با استفاده از تکنیک تعیین کریستالینیتۀ ایلیت به روش اندکس، در حد رخسارۀ پامپلیت - اکتینولیت تا اوائل شیستهای سبز تعیین شده است. زمان دگرگونی سازند تکنار و همچنین سایر سازندهای پالئوزوئیک با توجه به نبود رسوبات تریاس و تغییر درجه دگرگونی در سنگ‌های ژوراسیک نسبت به سنگ‌های قدیمی‌تر، تریاس در نظر گرفته شده است. زون تکنار به وسیله دو گسل اصلی محدود شده است: گسل درونه در جنوب و گسل تکنار در شمال که هر دو دارای روندی تقریباً شرقی- غربی می‌باشند. گسل تکنار در غرب روستای درونه با گسل درونه یکی شده و حد غربی زون تکنار را مشخص می‌نماید. گسترش شرقی زون تکنار مشخص نیست. نقشه زمین‌شناسی ایران با مقیاس ۱:۱۰۰۰۰۰، برگۀ شماره ۳، حد شرقی این زون را حداقل تا جنوب‌غربی تربت‌جام ادامه داده است.

۳-۱-۲) زون سبزوار: همسایه شمالی زون تکنار بوده و مرز بین زون تکنار و زون سبزوار، گسل تکنار می‌باشد. وجود رسوبات ولکانوپلازیک و سنگ‌های افیولیتی در زون سبزوار حاکی از یک فاز اقیانوس‌زایی در کرتاسه‌بالایی است. زون سبزوار بیانگر یک حاشیه قاره‌ای فعال در ترشیاری می‌باشد.

زون سبزوار از لحاظ کانی‌سازی طلا اهمیت فوق العاده‌ای دارد، به عنوان مثال ناحیه معدنی ارغش، کوه زر تربت‌حیدریه، کلاته تیمور کاشمر و تکنار بردسکن در این زون قرار دارند. بخشی از زون سبزوار را افیولیت‌های نابرجای کرتاسه و بخشی دیگر را نوار آتشفسانی بعد از کرتاسه تشکیل می‌دهد، که به موازات مجموعه افیولیتی کشیده شده‌اند، علاوه بر سنگ‌های آتشفسانی تعدادی توده‌های نفوذی نیز بطور پراکنده در داخل این واحد تزریق شده‌اند. رسوبات قبل از کرتاسه که به صورت بلوک‌های بیگانه در داخل آمیزه‌های افیولیتی رخنمون دارند، مشابه گونه‌های سنگی واقع در زون تکنار هستند. منطقه مورد مطالعه با توجه به مختصات جغرافیایی، و قرارگیری در بالای گسل تکنار، در زون سبزوار قرار گرفته است. لازم به ذکر است که منطقه مورد مطالعه در محدوده نقشه‌های زمین‌شناسی ۱:۲۵۰۰۰۰ تربت جام و تربت حیدریه و نقشه زمین‌شناسی ۱:۱۰۰۰۰ کاریزنو قرار گرفته است.

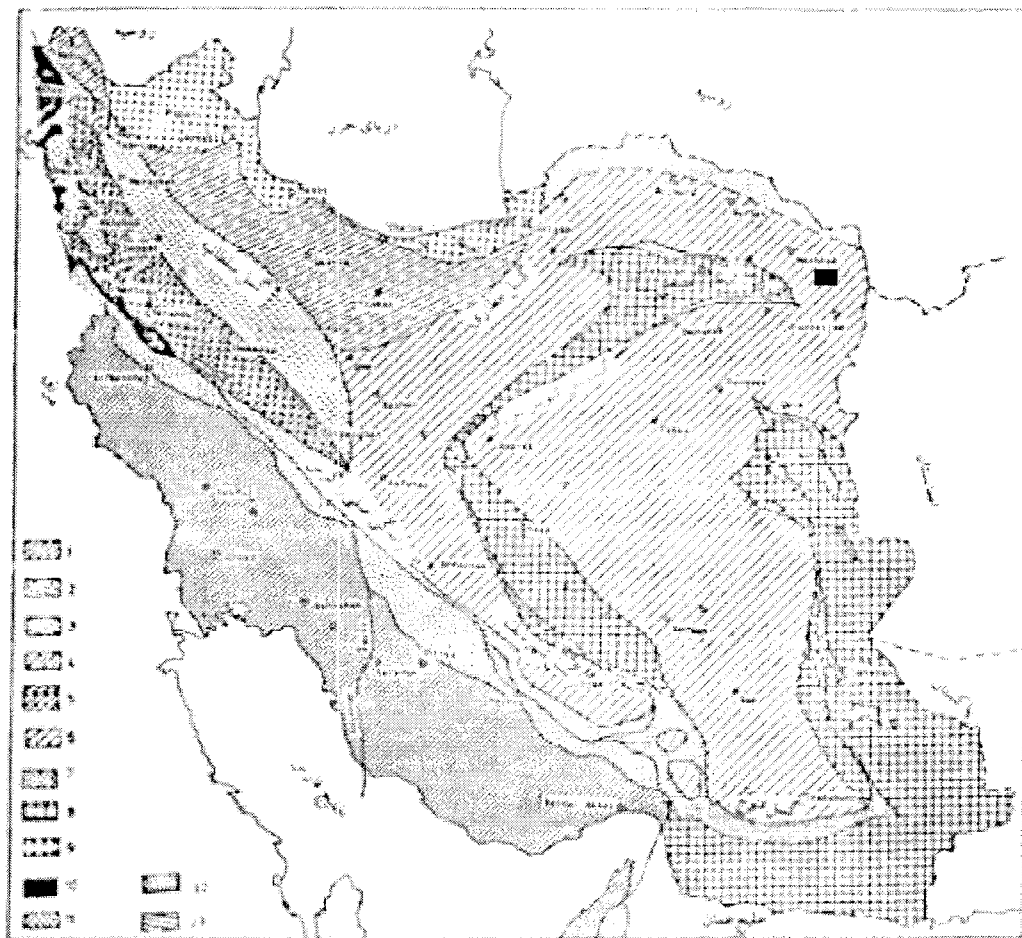


شکل 1-2- تصویر بخشی از نفشه زمین شناسی کاریزنو با مقیاس 1:100000 و موقعیت تشكیلات دکرگونی در آن (چاپ سازمان زمین شناسی کشور)



	زون آمزه رانگین		خوی - مهیاد		گرگان - رست
	بلوک هلسند		مکران		بلوک لوت
	بلانگرم خرس		گودالها		ایران مرکزی
	هزار مسجد - کبه داغ		سندج - سیرجان		نهندان - خاش
	زاگرس جم خورده		بلطف توران		زاگرس مراغه
	منطقه مورد مطالعه				

شکل ۲-۲- واحدهای ساختمانی- رسوبی ایران، (نبوی، ۱۳۵۵)



شکل ۲-۳- واحدهای ساختمانی و گسترش حوضه های رسوی ایران (افتخار نژاد، ۱۳۵۹)

الف: مناطقی با پوسته قاره ای؛ پی سنگ پر کامبرین با پوشش پلاتفرمی پالئوزوئیک.

- ۱) نوار زاگرس چین خورده؛ ۲) زون زاگرس رورانده؛ ۳) زون سلطانیه- میشو؛
۴) البرز غربی؛ ۵) زون همدان- ارومیه؛ ۶) ایران مرکزی و شمال شرق؛ ۷) کپه داغ

ب: منطقه ریفتی (یا باقیمانده پوسته اقیانوسی قدیمی)

- ۸) زون فلیش؛ ۹) گودال خزر جنوبی؛

پ: زون افیولیتی

- ۱۰) نوار آمیزه رنگی و افیولیت ملانژ در شمال غرب روراندگی اصلی زاگرس؛

- ۱۱) نوار آمیزه رنگی و افیولیت ملانژ در جنوب شرقی روراندگی اصلی زاگرس؛

- ۱۲) نوار افیولیتی و ملانژ حلقوی؛ ۱۳) زون اسفنده- حاجی آباد.

۲-۲) پیکره‌های سنگی منطقه مورد مطالعه

واعظی‌پور و همکاران (۱۳۶۲)، در جنوب شرقی روستای قلندرآباد واقع در ۱۴ کیلومتری جنوب‌شرقی فریمان مقطع تقریباً کاملی از سنگ‌های دگرگون شده در یک امتداد شمال‌غربی-جنوب‌شرقی را معرفی نموده‌اند، که منطقه مورد مطالعه در همین سری‌های دگرگونی واقع شده است. رخساره‌های مشاهده شده در این مقطع عبارتند از:

۲-۲-۱) پروتروزوئیک

❖ تشکیلات ضخیمی از میکاشیست‌های حاوی آندالوزیت (به صورت درشت‌بلور)، سیلیمانیت و گارنت وجود دارد. در این تشکیلات لنزهای کوچکی از توده‌های شبه پگماتیتی با بلورهای درشت تورمالین می‌تواند به صورت محلی مشاهده شود، همچنین افقهایی از آهک‌های متبلور شده به صورت بین لایه‌ای در میکاشیست‌ها دیده می‌شود. امتداد طبقات در این تشکیلات شمال‌غربی-جنوب‌شرقی بوده و لایه‌ها تقریباً عمودی هستند. این تشکیلات دگرگونی در شمال به واسطه گسلی با امتداد شمال‌غرب-جنوب‌شرق در مجاورت کنگلومرا و سنگ‌های آتشفسانی پالتوسن-ائوسن قرار گرفته و در سمت جنوب به نظر می‌رسد توسط گنایس پوشیده شده است.

❖ سنگ‌های گنیس‌واره، با رنگ روشن و دانه‌ریز که با میکاشیست‌ها تقریباً ترکیب مینرالی یکسانی را نشان می‌دهند (بیوتیت، موسکوویت، سیلیمانیت، گارنت)، اما از کوارتز غنی‌تر هستند.

❖ کمپلکس سیبک، یک مجموعه رسوی-آتشفسانی دگرگون شده، شامل شیسته‌های حاوی کلریت و آندالوزیت، سنگ‌های کربناته با تبلور مجدد، متالاوا (اسیدی و بازیک)، متاگابرو و گرانیت‌وئید می‌باشد. این واحد به صورت نواری با عرض حدوداً یک کیلومتر و در امتداد شمال‌غرب-جنوب‌شرق رخنمون دارد. ارتباط این تشکیلات با گنایس‌ها و میکاشیست‌های ذکر شده در بالا مشخص نبوده و در تمامی منطقه مرز میان آنها گسلی است.

❖ دولومیت‌های تیره رنگ و به شدت دگرگون شده که به صورت یک واحد تکتونیکی رورانده بر روی تشکیلات کرتاسه قرار می‌گیرند و از لحاظ خواص فیزیکی می‌توانند مشابه با دولومیت سلطانیه در نظر گرفته شوند.

با توجه به مطالب فوق، مشاهده می‌گردد که از ارتباط میان لایه‌های مطالعه شده هیچ سنی را نمی‌توان برای این واحد دگرگونی در نظر گرفت، ولی تعیین سن مطلق انجام گرفته بر روی یک نمونه

زیرکن از گرانیت‌هایی که در قسمت جنوب شرقی کمپلکس سیبک نفوذ کرده است، سن ۶۵۰-۶۳۰ میلیون سال را نشان می‌دهد. بنابراین می‌توان نتیجه گرفت که تمام واحدهای متامورفیک، مربوط به پرکامبرین و آغاز پروتوزوئیک و در ارتباط با فرایند دگرگونی و تکتونیکی، کوهزایی آسنیک می‌باشد. با توجه به لیتلولژی و نتایج بررسی‌های ایزوتوپی کمپلکس سیبک، ارتباط بخش رسوبی-آتشفسانی کمپلکس و توده‌های گرانیتی نفوذی را با سنگ‌های اینفراکامبرین سری ریزو و گرانیت نریگان در مرکز ایران و بخش دولومیتی کمپلکس سیبک را با دولومیت سلطانیه در شمال غرب ایران نمی‌توان رد کرد.

۲-۲-۲) پالئوزوئیک

❖ کامبرین

رسوبات کامبرین شامل دولومیت خاکستری تبلور مجدد یافته با تداخل‌هایی از شیل در بخش زیرین است که به سمت بالا شامل تناوب دولومیت خاکستری متراکم و شیل رسی می‌شود و معادل سازند دولومیت سلطانیه درنظر گرفته شده است. استروماتولیت‌های چرتی شده و دولومیتی شده در سکانس فوق گزارش شده است. روی این واحد سنگی شیلهای میکادار قرار گرفته است و معادل سازند باروت درنظر گرفته شده است.

❖ پرمین

به روی تشکیلات سلطانیه و باروت در ناحیه مورد مطالعه آهک سیاه رنگ پرمین که احتمالاً می‌تواند معادل تشکیلات جمال باشد با واسطه ماسه‌سنگ کوارتزیتی سفید رنگ قرار می‌گیرد (سکانس فوق با ماسه‌سنگ کوارتزیتی شروع شده و با سنگ آهک دولومیتی شده ادامه پیدا کرده است). این واحدها صخره‌ساز بوده و ارتفاعات منفردى را ایجاد کرده‌اند. ارتباط این تشکیلات با هم به صورت کاملاً هم‌شیب بوده و نبود رسوبات متعلق به اردوویسین، سیلورین، دونین و کربونیfer بین آنها را می‌توان نتیجه حرکات خشکی‌زائی در پالئوزوئیک دانست.

۳-۲-۲) مزووزوئیک

❖ تریاس

بر روی آهک‌های سیاه رنگ تشکیلات جمال، واحدهای سنگی شامل دولومیت و دیاباز قرار می‌گیرد که معادل سازند شتری می‌باشد، که حدفاصل این دو، گاهی سنگ‌های بازیک مانند گابرو و

دیاباز قرار دارند. تشکیلات نای‌بند و شمشک با رخساره‌های دریایی و قاره‌ای روی تشکیلات شتری را به صورت هم‌شیب می‌پوشانند. واحدهای سنگی که معادل نای‌بند درنظر گرفته شده شامل شیل سیاه، ماسه‌سنگ و تداخل‌هایی از سنگ آهک است.

❖ ژوراسیک ❖

واحد سنگی ژوراسیک شامل شیلهای سیاه، ماسه‌سنگ کوارتزیتی، ماسه‌سنگ آهکی و سنگ آهک است (سازند شمشک). افق زیرین آن شامل سنگ‌های کربناته و خردنهای گیاهی است. فاز عمده کوهزایی در حدفاصل تشکیلات نای‌بند و شمشک در ناحیه به وقوع نپیوسته، ولی این فاز که به صورت خشکی‌زایی عمل نموده و در ارتباط با فاز کوهزایی سیمرین پیشین است، منحصراً باعث تبدیل رخساره‌های دریایی (تشکیلات شتری) به رخساره‌های دریایی کم‌عمق (دریایی-قاره‌ای، تشکیلات نای‌بند و شمشک) شده است.

❖ کرتاسه ❖

این تشکیلات را از نظر زمانی می‌توان به واحدهای کرتاسه تحتانی و فوقانی تقسیم نمود. کرتاسه زیرین (آبین-آپسین) با رخساره‌های آهکی و با واسطه کنگلومرای قاعده‌ای، تشکیلات قدیمی‌تر را به صورت دگرشیبی زاویدار می‌پوشاند. کرتاسه میانی از آهک‌های ندولار و نازک لایه که در پاره‌ای از موارد با یک دگرشیبی بسیار ملایم به روی آهک‌های کرتاسه زیرین قرار گرفته است، تشکیل شده است، و توسط ماسه‌سنگ‌های آهکی و آهک ماسه‌ای گلاکونیت‌دار کرتاسه بالایی پوشیده می‌شود، برش، ماسه‌سنگ و کنگلومرای درشت دانه به طور بین انگشتی در واحد سنگی کرتاسه فوقانی مشاهده می‌شود. تشکیلات کرتاسه در کوههای کلاغ‌پر و چشمه پادشاه رخنمون دارند.

(۴-۲-۲) سنوزوئیک

❖ پالئوسن ❖

توالی‌های پالئوسن-ائوسن به دو کمپلکس رسوی-آتشفسانی تقسیم می‌شوند و تنها بخش بالایی کمپلکس فوقانی تعیین سن شده که واجد سن اائوسن میانی تا بالایی است. کمپلکس تحتانی شامل سنگ‌های آتشفسانی و عمدتاً دگرسان شده مانند آندزیت پوروفیری می‌باشد. در بعضی از مناطق، این کمپلکس آتشفسانی در زیر یک سازند رسوی، با ضخامت متغیر قرار می‌گیرد. این سازند، شامل کنگلومرایی است که رنگی متمایل به قرمز داشته و در مجاورت روتای باغک رخنمون دارد و

عناصر سازنده آن را خرده‌های شیست، آهک، سنگ‌های ولکانیکی و ماسه‌سنگ‌های آهکی در اندازه‌های مختلف تشکیل می‌دهد.

❖ ائوسن

کمپلکس فوقانی عمدتاً از سنگ‌های رسوبی و رسوبی-آتشفسانی تشکیل شده است و با یک کنگلومرا قاعده‌ای ضخیم شروع می‌شود. اجزای تشکیل‌دهنده این کنگلومرا عمدتاً بسیار درشت بوده و از قطعات آندزیتی که اغلب زاویدار بوده و جورشدگی ضعیفی دارند، تشکیل شده است. کنگلومرا مذکور به صورت جانبی و قائم، ارتباط بین انگشتی با کنگلومراها قرمز تیره، دانه ریز و ماسه‌سنگ‌هایی که دارای همان ترکیب هستند، نشان می‌دهد. همچنین یک توالی ضخیم رسوبی-آتشفسانی با ضخامتی بالغ بر ۲۰۰۰ متر شامل سنگ‌های مختلفی نظیر ماسه‌سنگ‌های توفی قرمزنگ، شیل، لایه‌های نازک آندزیتی، مارن به همراه ژیپس، کنگلومرا و ماسه‌سنگ‌های گریوکی در حوالی روستاهای چnarبو و چnarبید (شمال‌غرب ورقه کاریزنو) واقع در شمال منطقه مورد مطالعه رخنمون دارد.

❖ الیگوسن

این واحد سنگی شامل کنگلومرا قرمزنگ با قطعات جور نشده و زاویدار از سنگ‌های آندزیتی آلتره شده است که به سمت بالا ریزدانه‌تر شده و از کنگلومرا، ماسه‌سنگ و شیل ماسه‌ای تشکیل شده است.

❖ نئوزن

واحدهای این بازه سنی با ضخامت زیاد و رخنمون وسیع در سراسر منطقه دیده می‌شوند. مرز این واحدها با تشکیلات قدیمی‌تر معمولاً گسلی است. مجموعه فوق شامل کنگلومرا است که به طور تدریجی به توالی ضخیمی از ماسه‌سنگ قرمز، سیلت و مارن به همراه افقهایی از ژیپس تغییر می‌کند. کنگلومرا نئوزن با دگرشیبی زاویدار به روی آخرین واحد ائوسن قرار گرفته و خود توسط رسوبات پلیو-پلیوستوسن پوشیده شده است. بالاخره کواترنر ناحیه را آبرفت‌های قدیمی که اغلب توسط گسل‌های بعد از نئوزن محدود شده اند، آبرفت‌های جدید، رسوبات رودخانه‌ای و ... تشکیل می‌دهند (واعظی‌پور و همکاران، ۱۳۶۲).

۳-۲) پیکره آذرین منطقه

سنگ‌های نفوذی منطقه فریمان به صورت یک کمربند باریک گرانیتی در امتداد شمال‌غرب-جنوب‌شرق از قلندرآباد تا اولنگ مرغی مشاهده می‌شود. این توده‌ها غالباً در اطراف خود یک هاله دگرگونی مجاورتی به وجود آورده‌اند که همبrij این توده‌ها با سنگ‌های دربرگیرنده کاملاً مشخص است.

بر اساس بررسی‌های انجام گرفته و استفاده از مبنای‌های مختلف برای طبقه‌بندی آنها، این سنگ‌ها را می‌توان به انواع گرانیت، آلکالی‌گرانیت، گرانو‌دیوریت و دیوریت طبقه‌بندی کرد. مطالعات صحرایی نشان می‌دهد که سنگ‌های متن توده با ترکیب گرانیتی است و سنگ‌های دیوریتی حجم کمی را تشکیل می‌دهند.

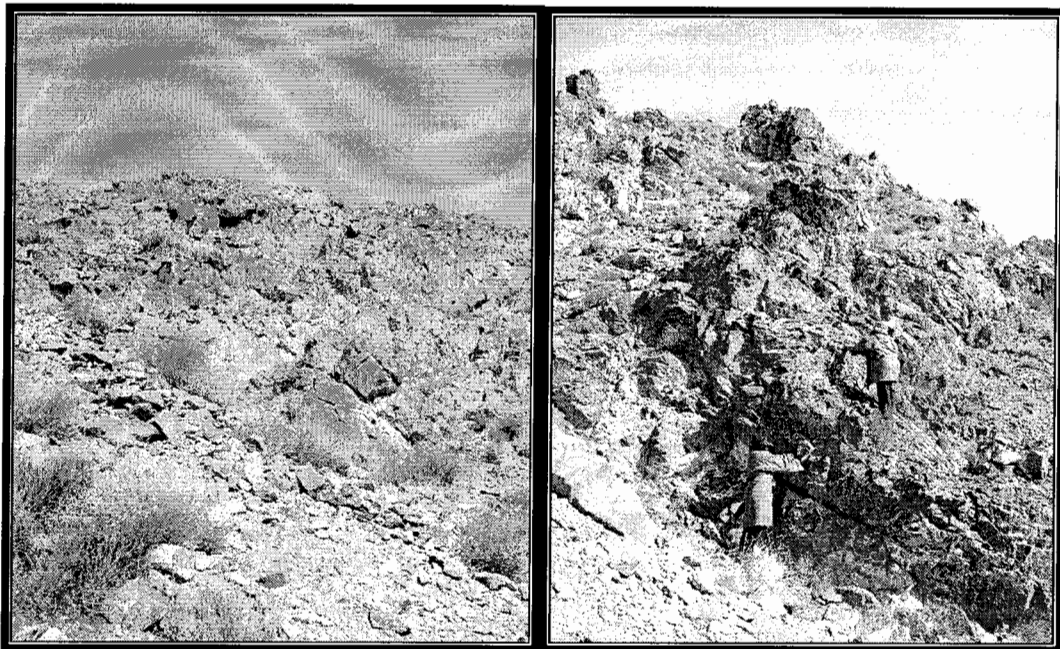
بطور کلی رنگ سنگ‌های گرانیت‌وئیدی منطقه که بیشترین حجم را به خود اختصاص می‌دهند سفید تا صورتی بوده و به راحتی از سنگ‌های مجاور قابل تشخیص است. در بعضی موارد لایه‌ای از ورنی صحرایی بر روی سنگ‌ها تشکیل شده است؛ در نتیجه رخنمون به رنگ قهوه‌ای تیره دیده می‌شود. در اثر فرآیندهای مکانیکی، توده به صورت بلوک‌های خرد شده درآمده است و دارای درز و شکاف‌های فراوان می‌باشد (شکل ۴-۲).

بافت توده گرانیتی منطقه در نمونه دستی از نوع گرانولار است. در اطراف توده، رگه‌های پگماتیتی، آپلتی و همچنین رگه‌های کوارتز به صورت محدود قابل مشاهده است. توده گرانیتی دارای کانی‌های آلکالی فلدسپار بیشتر و کانی‌های مافیک کمتر است. فرآیندهای دگرسانی هم اغلب به صورت سریستیزاسیون، کائولینیتیزاسیون، کلریتیزاسیون و پروپیلتیزاسیون هستند.

۳-۱) دیوریت

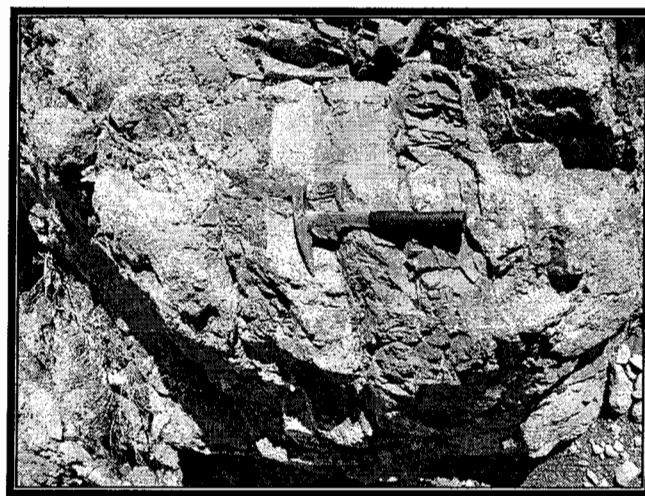
دیوریتها سنگ‌های هولوکریستالین، نسبتاً تیره رنگ و دانه‌ریزی هستند که کانی‌های فرومینیزین آنها هورنبلاند و بیوتیت می‌باشند (شکل ۲-۵). علاوه بر این دیوریتها به صورت توده‌های کوچکتر و گاهی به صورت دایک مشاهده می‌شوند (شکل ۲-۶). بافت میکروسکوپی غالب در این سنگها هیپیدیومورف دانه‌ای است. کانی‌های اصلی این سنگ‌ها شامل پلاژیوکلاز، بیوتیت و آمفیبول می‌باشد.

دایک‌های دیوریتی منطقه از نظر کانی‌شناسی کاملاً مشابه با دیوریت‌های توده نفوذی می‌باشند. رنگ آنها تیره می‌باشد. ضخامت این دایک‌ها، به ۵ تا ۲۰ سانتی‌متر می‌رسد.



شکل ۲-۵- شمایی از توده دیوریتی منطقه

شکل ۲-۴- شمایی از توده گرانیتی منطقه



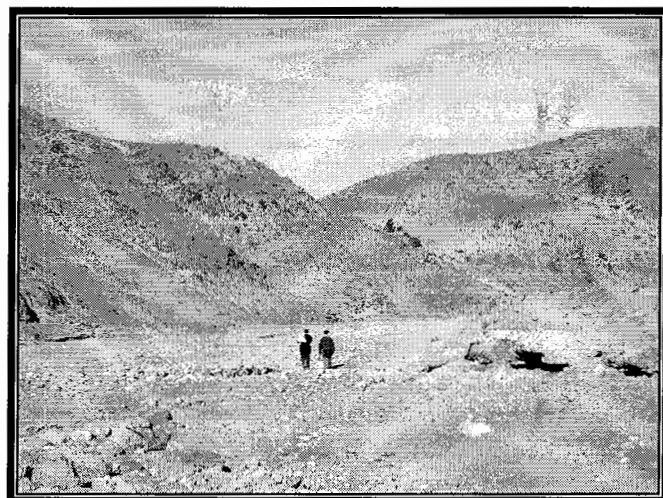
شکل ۲-۶- دایک دیوریتی در منطقه

۴-۲) پیکره دگرگونی

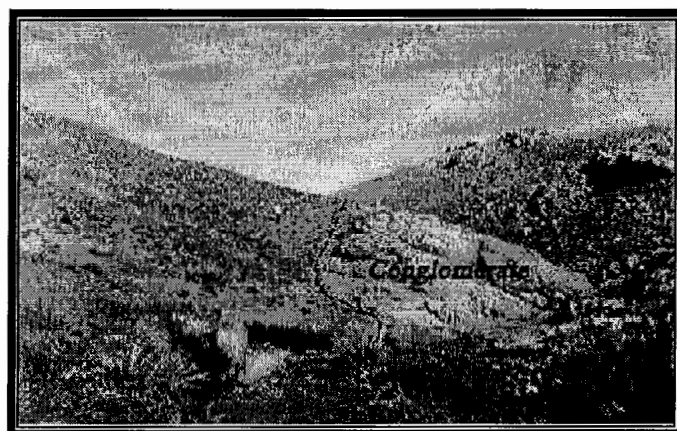
همان‌گونه که در زمین‌شناسی منطقه فریمان عنوان گردید، قدیمی‌ترین رسوبات موجود در ناحیه که تحت تاثیر دگرگونی ناحیه‌ای با حرارت متوسط تا بالا قرار گرفته‌اند، به اختصار از آن به عنوان زون آندالوزیت‌دار نام بده می‌شود و مساحتی در حدود ۴۰ کیلومتر مربع را شامل می‌شود. گسترش طولی زون آندالوزیت‌دار در حدود ۱۲ کیلومتر با امتداد شمال‌غربی، جنوب‌شرقی بوده و عرض آن حدود ۳ تا ۴ کیلومتر می‌باشد.

مرز شرقی ناحیه مورد مطالعه، رودخانه فصلی بردو(شکل ۷-۲) و مرز غربی آن رودخانه فصلی قلندرآباد می‌باشد. مرز شمالی منطقه به صورت گسلی بوده و در غرب روستای سماقچه کنگلومراي قرمزنگ پالئوسن با واسطه گسلی در مجاورت سنگ‌های دگرگونی قرار می‌گیرد(شکل ۸-۲). در شرق روستای سماقچه تشکیلات دگرگونی با واسطه گسلی در مجاورت با آندزیت‌های پورفیری به سن پالئوسن قرار گرفته که ادامه مرز شمالی را تشکیل می‌دهد، در غرب روستای مزار بی‌آیه ماسه‌سنگ‌های قرمزنگ با واسطه گسلی در مجاورت مرز شمالی آندالوزیت‌ها قرار گرفته است. گسل موجود در شمال منطقه اکتشافی، ادامه گسل بندفریمان است که در بخش تکتونیک منطقه درباره عملکرد آن بحث گردیده است. مرز جنوبی زون آندالوزیت‌دار توسط مرز گسله با آهک‌ها و دولومیت‌های دگرگون-شده و تبلور مجدد یافته که ارتفاعات منطقه را تشکیل می‌دهند، مشخص می‌شود و آهک‌های دگرگون‌شده با یک مرز گسله در مجاورت با آهک‌های کرتاسه قرار دارند(شکل ۹-۲).

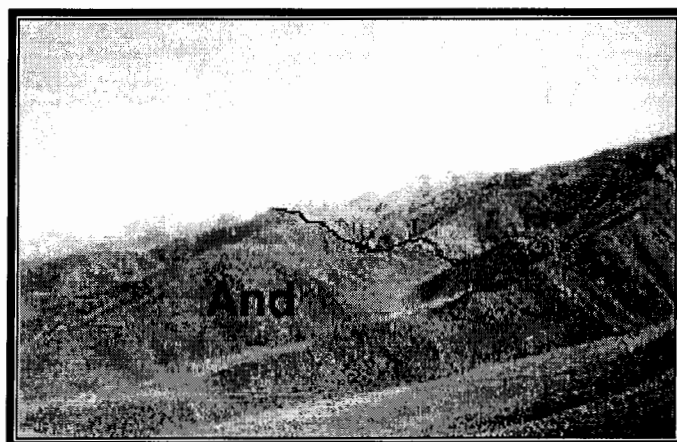
بلورهای آندالوزیت در منطقه، واجد ادخالهای کربن بوده و به رنگ صورتی روشن دیده می-شوند(کیاستولیت). اندازه بلورهای آندالوزیت در منطقه در مجاورت مرز شمالی کوچک و به طور کلی مقدار آندالوزیت پایین می‌باشد. به سمت جنوب زون آندالوزیت‌دار به تدریج مقدار آندالوزیت و اندازه بلورهای آن افزایش می‌یابد، به طوری که در حوالی روستای قنداب که تقریباً در قسمت میانی زون آندالوزیت واقع گردیده، آندالوزیت با مقدار بالا و بلورهای درشت، دیده می‌شود. در ادامه به سمت مرز جنوبی تغییر چندانی در مقدار و اندازه بلورهای آندالوزیت به چشم نمی‌خورد و فقط در محل همبrij تشکیلات دگرگونی با آهک‌ها و دولومیت‌های متبلور و دگرگون‌شده در جنوب منطقه مقدار آندالوزیت اندکی کاهش پیدا می‌کند. به سمت نواحی شرقی (به طرف رودخانه بردو) علاوه بر کاهش عرض زون آندالوزیت‌دار، مقدار آن نیز کاهش چشمگیری دارد و همچنین در مجاورت رودخانه بردو، بلورهای



شکل ۲-۷- نمای نزدیک از مرز شرقی زون آندالوزیت‌دار- رودخانه بردو



شکل ۲-۸- تصویری از راندگی آندالوزیت هورنفلس بر روی کنگلومرات ایوسن



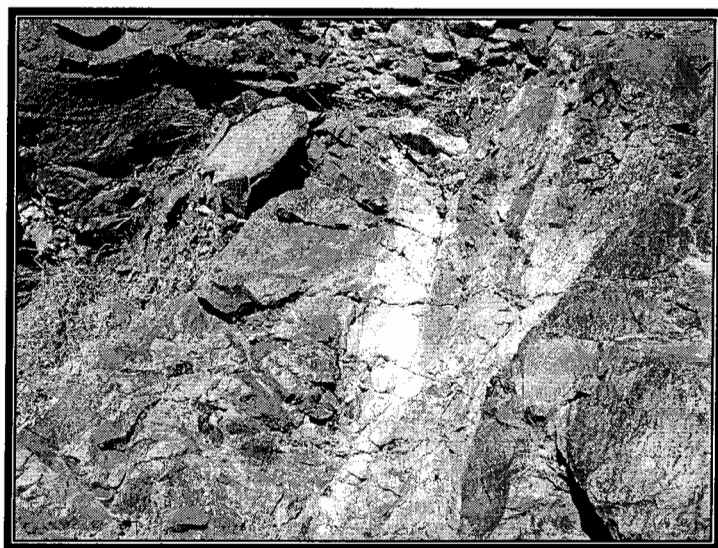
شکل ۲-۹- مرز جنوبی زون آندالوزیت‌دار با آهک‌های متبلور دگرگون شده

آنالوژیت به شدت هوازده و دگرسان شده‌اند، علاوه بر این در بین سنگ‌های دگرگونی به صورت بین لایه‌ای کوارتزیت به چشم می‌خورد. به سمت نواحی غربی (به طرف رودخانه قلندرآباد) گارنت فراوان‌تر از نواحی شرقی است، در نواحی غربی و در اطراف روستای مزار بی‌آیه سنگ‌های دگرگونی میلیونیتی هم شده است، به طور کل آندالوژیتها تحت فشار قرار گرفته اند به طوری که در همین منطقه آندالوژیتها ماکل مکانیکی (pressure shadow) نشان می‌دهند.

در قسمت‌های مختلف میگماتیت مشاهده می‌شود به خصوص در قسمت غربی، که به طور کل نشان‌دهنده این است که ذوب صورت گرفته است (آثار ذوب شدگی موضعی در رخنمون‌ها به وضوح دیده می‌شود) و مواد ذوب‌شده، توده‌ها و یا رگه‌هایی از پگماتیت‌های حاوی تورمالین با ابعاد چند دسیمتری تا چند متری تشکیل داده است.

نکته قابل توجه در منطقه، وجود رگه‌های سیلیسی و لیتولوژی ناهمسان در زون آندالوژیت است. ضخامت رگه‌های مذکور متغیر بوده و از چند سانتی‌متر تا حدود یک متر در تغییر می‌باشد(شکل ۲-

.۱۰)



شکل ۲- رگه‌های کوارتزی ایجاد شده در اثر دگرگونی

توده‌های نفوذی منطقه به صورت چندین بروزند در مرز جنوبی سنگ‌های دگرگونی، رخنمون دارد، که البته به سمت نواحی شرقی (رودخانه بردو) رخنمون توده‌ها، کاهش می‌یابد. براساس شواهد صحرایی و آزمایشگاهی توده‌ها دارای ترکیب سنگ‌شناسی از نوع گرانیت-گرانوودیوریت تا دیوریت

می‌باشد، که البته دیوریت‌ها به صورت توده‌های کوچکتر و گاهی به صورت دایک مشاهده می‌شود. این توده‌ها باعث تبلور مجدد آهکها گردیده است، البته این توده‌ها بر روی زون آندالوزیت هم تاثیر گذاشته است. اکثر این توده‌ها را گرانیت تشکیل می‌دهد و دیوریت به نظر می‌رسد در داخل گرانیت نفوذ کرده است. گرانیت‌ها در مراحل آخر میلیونیتی شده و تحت تاثیر هجوم سیالات حاوی SiO_2 و اکسید آهن قرار گرفته است، که رگه‌های اولیه‌ست و رگه‌های کوارتزی شاهد این قضیه است، و گرانیت میلیونیتی به طور مثال در انتهای مرز شرقی (رودخانه بردو)، در مرز جنوبی زون آندالوزیت مشاهده می‌گردد.

در محل تماس توده با دگرگونه‌های میزبان و بسته به ترکیب توده، ترکیب سنگ میزبان و فاصله گرفتن از توده، درجات مختلفی از دگرگونی مجاورتی بوجود آمده است. بیشترین کنتاکت توده با سنگهای درونگیر در قسمت جنوبی و غربی منطقه می‌باشد که جنس سنگ درونگیر از نوع رسی، نیمه رسی بوده و باعث تشکیل هورنفلس گردیده است.

در اثر دگرگونی مجاورتی متأثر از تزریق توده، هورنفلس‌هایی با ترکیب کانی شناسی متنوع شامل آندالوزیت، سیلیمانیت بوجود آمده است.

در بعضی از نواحی آبرفت‌های دوران چهارم روی آندالوزیت شیست‌ها قرار گرفته، که ضخامت آنها به چندین متر می‌رسد.

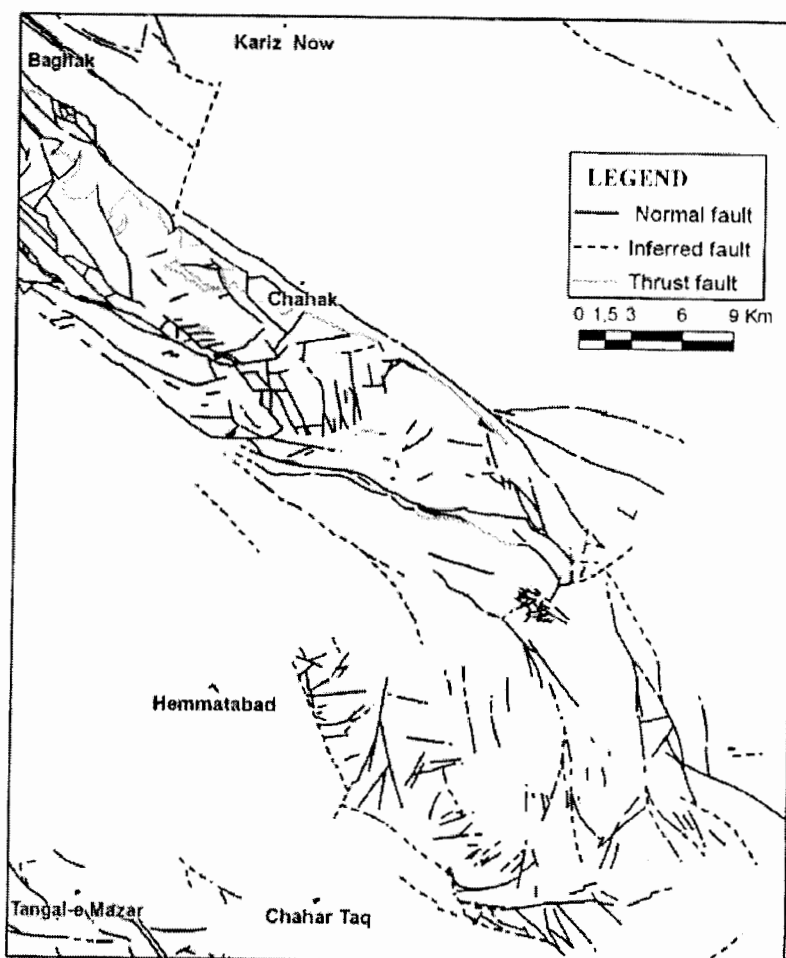
همچنین در شمال‌غربی منطقه مورد مطالعه میان‌لایه‌های آهکی بین آندالوزیت‌شیست‌ها مشاهده می‌شود.

۵-۲) نکتونیک منطقه

ورقه فریمان در مرز بروخورد و رقه‌های ایران و توران واقع شده است. گسل بزرگ و اصلی بند-فریمان با امتداد شمال‌غرب-جنوب‌شرق، نقش اساسی در وضعیت زمین‌شناسی و پالئوژئوگرافی ناحیه فریمان دارد. این گسل که از روستای اسلامقلعه واقع در نقشه ۱:۱۰۰۰۰۰ ریاط سفید شروع شده، پس از گذشتن از بندفریمان تا حدود ۶۰ کیلومتری جنوب‌شرق فریمان و سپس تا تربت‌جام ادامه می‌یابد. علاوه بر تغییرات رخسارهای در دو سمت این گسل (بخش شمال‌شرقی و جنوب‌غربی)، در بعضی از نقاط حرکات خشکی‌زایی به جنبش‌های کوهزایی مبدل شده است. اکثر گسل‌های اصلی و فرعی ناحیه فریمان در منطقه مورد مطالعه به موازات همین گسل قرار دارند و تعداد بسیار اندکی از

گسل‌های فرعی با جهات مختلف در ناحیه مشاهده می‌گردند، شکل ۱۱-۲ روند عمومی گسل‌های منطقه را در ورقه کاریزنو نشان می‌دهد. قدیمی‌ترین رسوبات موجود در ناحیه که تحت تاثیر دگرگونی ناحیه‌ای با حرارت متوسط تا بالا قرار گرفته‌اند، در ارتباط با فاز کوه‌زایی قبل از کامبرین (احتمالاً تاشکین و مرادین) می‌باشد. این حرکات همراه با چین‌خوردگی بوده، بطوریکه رسوبات متعلق به تشکیلات سلطانیه را با دگرشیبی بر روی مجموعه دگرگون شده پرکامبرین، می‌توان مشاهده کرد. حرکات کوه‌زایی پرکامبرین (بایکالین یا کاتانگایی) در دو سمت گسل بندفریمان، یکسان عمل نکرده، بطوریکه در قسمت شمال‌شرقی این گسل، مجموعه پرکامبرین به شدت دگرگون شده و شیسته‌های حاوی آندالوزیت و سیلیمانیت‌دار مربوط به رخساره آمفیبولیت را مشخص می‌نماید و در این قسمت است که تشکیلات سلطانیه در بعضی مناطق با دگرشیبی زاویه‌دار بر روی تشکیلات دگرگونی قرار می‌گیرد، در صورتی که در جنوب‌غربی این گسل، پرکامبرین با رخساره شیلی مشخص شده و در اغلب مناطق، تشکیلات سلطانیه و باروت به صورت هم‌شیب روی تشکیلات شیلی کهر را می‌پوشاند. در جنوب‌غربی این گسل، رخساره پرمین بیشتر از رسوبات کربناتی درست شده، که بخش زیرین آن بیشتر با رسوبات آواری همراه است، همانند بخش‌های گسترده‌ای از ایران مرکزی، البرز و زاگرس که در شرایط محیط دریائی کم‌زرفا پدیدار شده است. در شمال‌شرقی این گسله نهشته‌های آذرآواری و توربیدیات با ضخامت زیاد، در پرمین نهشته شده است. تفاوت عمدۀ دیگر، بین دوبخش واقع در دو سمت این گسل، آن است که در بخش شمال‌شرقی، تشکیلات قدیمی‌تر از شمشک دگرگون شده‌اند، در صورتی که در بخش جنوب‌غربی این گسل، پدیدۀ دگرگونی مشابه آنچه ذکر گردید، مشاهده نمی‌شود. در تمام زمان رسوب‌گذاری پالئوزوئیک هیچ‌گونه رویداد کوه‌زایی همراه با چین‌خوردگی در ناحیه وجود ندارد، بطوریکه سری‌های پالئوزوئیک به صورت هم‌شیب و تنها با نبود چینه شناسی که نتیجه حرکات خشکی‌زایی است، روی یکدیگر قرار می‌گیرند. این پدیده در جنوب‌غربی گسل بندفریمان به خوبی روی زمین قابل مشاهده است، به صورتیکه تشکیلات کهر، سلطانیه، باروت و احتمالاً زاگون به صورت هم‌شیب روی یکدیگر قرار دارند. همچنین مطالعات صورت گرفته بر روی رسوبات دگرگون شده پالئوزوئیک، واقع در شمال‌شرقی گسل بندفریمان، هیچ گونه دگرشیبی زاویه‌دار، بین سنگ‌های دگرگونی پالئوزوئیک را نشان نمی‌دهد. حرکات خشکی‌زایی در هر دو بخش شمال‌شرقی و جنوب‌غربی گسل بندفریمان وجود دارد، که در ارتباط با فاز کوه‌زایی سیمرین پیشین بوده و در بخش

شمال‌شرقی دگرگونی سنگ‌های پالئوزوئیک را سبب گردیده است؛ ولی در بخش جنوب‌غربی دگرگونی با شدت آنچه در بخش شمال‌شرقی مشاهده می‌شود، وجود ندارد. فاز کوهزایی سیمیرین پیشین در ناحیه مورد مطالعه، با دگرشیبی زاویه‌دار موجود بین تشکیلات شمشک، در دو طرف گسل بندفریمان، بر روی تشکیلات قدیمی‌تر، مشخص می‌شود. فاز کوهزایی سیمیرین پسین در ناحیه فریمان، با دگرشیبی بین تشکیلات کرتاسه زیرین و واحدهای قدیمی‌تر مشخص می‌شود و اغلب در حد این دگرشیبی کنگلومرای قاعده‌ای نیز مشاهده می‌گردد. کرتاسه بالایی در پاره‌ای از موارد، در ناحیه مورد مطالعه، با دگرشیبی زاویه‌ای ملایمی بر روی تشکیلات قدیمی‌تر از جمله آهک‌های کرتاسه زیرین قرار گرفته که این دگرشیبی می‌تواند در ارتباط با فاز کوهزایی اتریشین باشد. فاز کوهزایی لارامید در ناحیه فریمان، با قرار گرفتن کنگلومرای اوسن با دگرشیبی زاویه‌دار بر روی کنگلومرای کرتاسه بالایی مشخص می‌گردد و بالاخره دگرشیبی‌های موجود در تشکیلات پائوژن و نئوژن ناحیه مورد مطالعه در ارتباط با فاز کوهزایی آلپین میانی و پسین می‌باشند) واعظی‌بور و همکاران، ۱۳۶۲).



شکل ۱۱-۲ - پراکندگی گسلهای منطقه در ورقه کاریزنو^۱

۶-۲) منابع معدنی ناحیه مورد مطالعه

براساس آمار و اطلاعات گردآوری شده از وزارت صنایع و معادن تاکنون (۱۳۸۴) علی‌رغم پتانسیل‌های بالارزش منطقه هیچ‌گونه معدن فعال فلزی در محدوده ورقه فریمان گزارش نشده است. رخمنون‌های آندالوزیت در منطقه می‌تواند دارای ارزش اقتصادی باشند. عیارسنجدی نمونه‌های منطقه فریمان حاکی از وجود عیار متوسط ۱۱,۹ درصد آندالوزیت در ماده معدنی است. نتایج

^۱ - طرح پژوهشی سازمان صنایع و معادن استان خراسان رضوی در محدوده نقشه ۱:۱۰۰۰۰۰ فریمان

مطالعات ژئوشیمی ببروی بیش از ۵ نمونه برداشت شده از منطقه، قبل و بعد از فرآوری مقدماتی نشان از افزایش مقدار اکسید آلمینیوم از حدود ۱۳ درصد در کانسنگ اولیه تا حدود ۵۱ درصد در نمونه فرآوری شده (نمونه بلوری) و همچنین کاهش اکسید سیلیسیم از ۶۶ درصد در نمونه‌های کلی به حدود ۴۷ درصد در نمونه‌های فرآوری شده دارد) اکتشاف مقدماتی آندالوزیت در جنوب‌شرق فریمان، شیرازاده،^۱)

۷-۲ خلاصه

منطقه مورد مطالعه از نظر تقسیمات زمین‌شناسی و ساختمانی ایران جزو ایران مرکزی به شمار می‌رود و شامل تشکیلات ضخیمی حاوی آندالوزیت (به صورت درشت بلور)، سیلیمانیت، و گارنت می‌باشد. در این تشکیلات لنزهای کوچکی از توده‌های پگماتیتی با بلورهای درشت تورمالین می‌تواند به صورت محلی در این سری مشاهده شود، همچنین افقهایی از آهک‌های متبلور شده به صورت بین لایه‌ای در میکاشیست‌ها دیده می‌شود. امتداد طبقات در این تشکیلات شمال‌غربی-جنوب‌شرقی بوده و لایه‌ها تقریباً عمودی است.

نفوذ توده‌های آذرین به سن پرکامبرین در داخل رسوبات پلیتی که قبلاً به صورت ناحیه‌ای دگرگون شده‌اند موجب بروز دگرگونی مجاورتی شده است. سنگ‌های توده نفوذی که عامل دگرگونی هستند، بر اساس شواهد صحرابی و آزمایشگاهی از نوع گرانیت تا دیوریت می‌باشد. وجود توده‌ها و یا رگه‌های پگماتیتی حاوی تورمالین، بیانگر ذوب بخشی در مراحل پایانی است. حضور فابریک‌های ساختاری که به عنوان شاخص تعیین کننده نوع برش مطرح می‌شود در بخش‌های غربی و جنوب‌شرقی منطقه نشانگر تاثیر دگریختی برشی در شرایط شکل‌پذیر است.

۱- پایان‌نامه کارشناسی ارشد اقتصادی (دانشگاه فردوسی مشهد)

فصل سوم

شروعی سکھائی آزین

فصل سوم

پتروگرافی سنگهای آذرین

۱-۳- مقدمه

توده‌های نفوذی زیادی در منطقه فریمان رخنمون دارد که مجموعه آنها به صورت نواری در امتداد شمال‌غرب-جنوب‌شرق از قلندرآباد تا اولنگ مرغی واقع شده است.

بخش عمده این توده‌ها را دو توده اصلی تشکیل می‌دهد، که در قسمت جنوبی از منطقه رونج تا اولنگ مرغی به طور پیوسته رخنمون دارد و توده شمالی هم در منطقه قلندرآباد واقع شده است. علاوه بر این دو توده اصلی، توده‌های کوچک دیگری نیز در همین راستا رخنمون دارند که نسبت به توده‌های اصلی، حجم کمی از توده‌های نفوذی منطقه را تشکیل می‌دهند.

به دلیل آنکه موضوع اصلی پژوهه مورد مطالعه بررسی پetroloژیکی سنگ‌های دگرگونی منطقه بوده است، قسمت عمده حجم کار نیز به این موضوع اختصاص یافته است، ولی از آنجا که دگرگونی حاصل از تزریق توده‌های نفوذی ارتباط مستقیم با ویژگیهای مختلف توده‌های نفوذی از جمله ترکیب کانی‌شناسی، حجم توده و دمای

آن در هنگام جایگیری، عمق و نحوه جایگیری و ارتباط آن با حوادث تکتونیکی دارد، لذا علاوه بر مطالعات صحرایی، مطالعات تفضیلی هم در مورد توده‌های نفوذی صورت گرفت.

با توجه به مطالعه توده‌های نفوذی و استفاده از میناهای مختلف برای طبقه‌بندی آنها، این سنگ‌ها را می‌توان به انواع گرانیت، آلکالی‌گرانیت، گرانودیوریت و دیوریت طبقه‌بندی کرد. مطالعات صحرایی نشان می‌دهد که سنگ‌های دیوریتی حجم کمی را تشکیل می‌دهند. تمام سنگ‌ها به جز

دیوریت در زمرة سنگهای گرانیتوئیدی هستند و واجد ۲۰ تا ۶۰ درصد کوارتز مدار (در مثلث اشتريکایزن) می‌باشند.

از نظر دانه‌بندی سنگهای توده دانه‌ریز تا متوسط هستند. بافت میکروسکوپی سنگهای مشکله توده گرانیتوئیدی بیشتر هیپیدیومورف دانه‌ای است.

کانی‌های اصلی اغلب شامل کوارتز، ارتوز (پرتیت)، میکروکلین، پلاژیوکلاز، بیوتیت، هورنبلاند و کانی‌های فرعی شامل آپاتیت، زیرکن، اسفن و کانی‌های اوپاک (اکسید آهن) می‌باشند. فرایندهای دگرسانی اغلب به صورت سریسيتیزاسیون، کائولینیتیزاسیون، کلریتیزاسیون و پروپیلیتیزاسیون هستند.

در این فصل به شرح و تفسیر اختصاصات پتروگرافی و بافتی ماکروسکوپی و میکروسکوپی سنگها به ترتیب از دیوریت تا گرانیت می‌پردازیم.

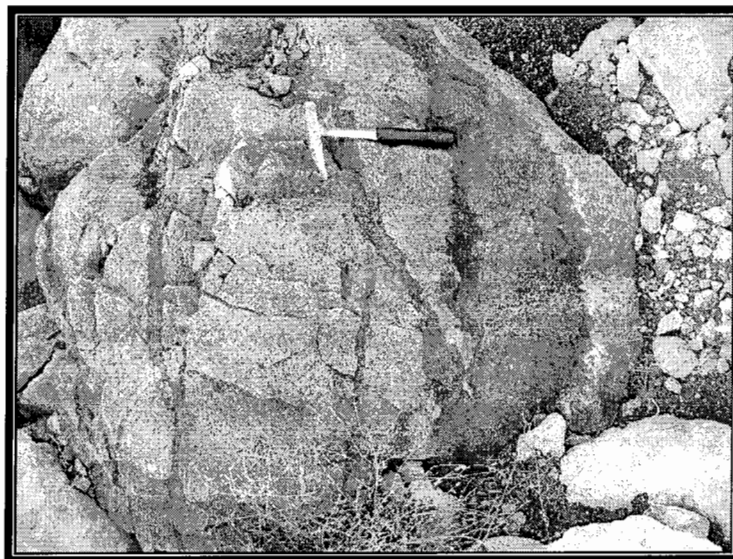
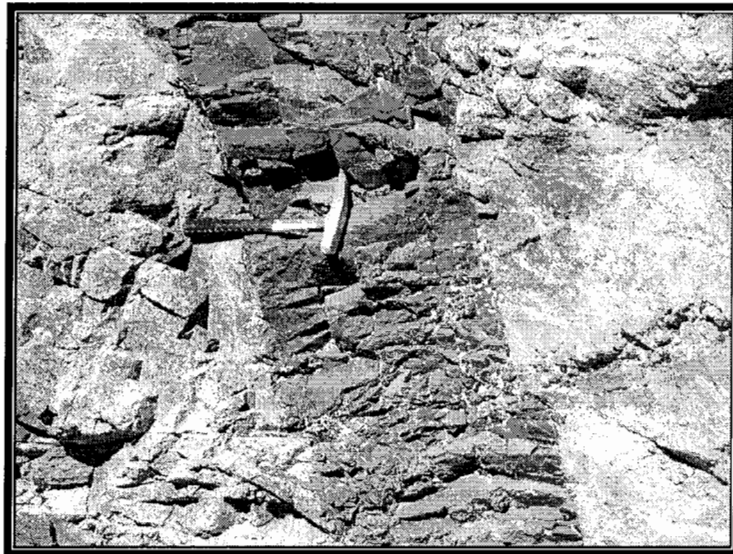
۳-۲- اختصاصات سنگ شناسی دیوریت‌ها

دیوریت‌ها سنگهای هولوکریستالین، نسبتاً تیره رنگ و دانه‌ریزی هستند که کانی‌های فرومینیزین آنها هورنبلاند، بیوتیت و پیروکسن می‌باشد. محل این سنگ‌ها در حاشیهٔ تودهٔ شمالی در منطقهٔ قلندرآباد است. علاوه بر این دیوریت‌ها به صورت توده‌های کوچک‌تر و گاهی به صورت دایک مشاهده می‌شوند (شکل ۱-۳). بافت میکروسکوپی غالب در این سنگ‌ها هیپیدیومورف دانه‌ای است. کانی‌های اصلی این سنگ‌ها شامل پلاژیوکلاز، بیوتیت و آمفیبیول می‌باشد.

پلاژیوکلاز به صورت بلورهای اتومورف تا ساب‌اتومورف و دانه‌ریز تا متوسط می‌باشد، که ماکل پلی‌سنتیک و حالت منطقه‌ای در آن قابل مشاهده است. محصول دگرسانی پلاژیوکلازها سرسیت می‌باشد.

بیوتیت به صورت اتومورف تا ساب‌اتومورف است، مقدارش در این سنگ‌ها نسبتاً زیاد می‌باشد. غالباً بیوتیت‌ها توسط پلاژیوکلازها احاطه شده‌اند و این می‌تواند به دلیل رشد بیوتیت پس از پلاژیوکلاز یا همزمان با هم باشد، چرا که در فضای خالی بین آنها متبلور شده است و بافت اینترگرانولار را می‌بینیم. معمولاً بیوتیت به کلریت دگرسان شده است. آمفیبیول به صورت ساب‌اتومورف می‌باشد. نوع آمفیبیول، هورنبلاند سبز بوده و در بیشتر موارد به بیوتیت و کلریت دگرسان شده است.

کانی‌های فرعی این سنگ‌ها پیروکسن، ارتوز، آپاتیت، زیرکن می‌باشد. پیروکسن به صورت ساب‌اتومورف می‌باشد و دگرسانی آن به آمفیبیول نیز دیده می‌شود. ارتوز به صورت ساب‌اتومورف بوده و دگرسانی به کانی‌های رسی را در آن می‌توان دید. آپاتیت به صورت بلورهای ریز و طویل، با بر جستگی نسبتاً بالا به صورت انکلوزیون در کانی‌های دیگر دیده می‌شود. زیرکن به صورت ساب‌اتومورف تا اتومورف دیده می‌شود، دارای هالهٔ پلی‌کروئیک بوده و با بر جستگی بالا و بی‌رفرازنس نسبتاً زیاد مشخص می‌شود. معمولاً به صورت انکلوزیون در بیوتیت مشاهده می‌شود. شکل ۲-۳(الف و ب) تصویر میکروسکوپی این سنگ را نشان می‌دهد.



شکل ۱-۳- رخنمون دیوریت ها در منطقه



شکل ۳-۲-۳- ترکیب کانی شناسی دیوریت ها، $Px =$ پیروکسن، $Pl =$ پلازیوکلаз، $Bt =$ بیوتیت و ... (XPL).

۳-۳- اختصاصات سنگ شناسی گرانودیوریت‌ها

گرانودیوریت‌ها سنگ‌های هولوکریستالین، فلزیک، روشن و دانه متوسطی هستند که کانی‌های روشن آنها فلدسپات پتاسیک، پلاژیوکلاز و کوارتز می‌باشد.

سنگ‌های گرانودیوریتی حجم زیادی را به خود اختصاص نمی‌دهند.

در گرانودیوریت‌ها بافت‌های هیپیدیومورف دانه‌ای، میکروپرتیت و میرمکیتی مشاهده می‌شود. کانی‌های اصلی این سنگ‌ها شامل کوارتز، پلاژیوکلاز و فلدسپات‌پتاسیک می‌باشد.

پلاژیوکلاز به صورت اتمورف تا ساباتومورف است. ماکل پلی‌سنتیک و حالت منطقه‌ای نیز نشان می‌دهد. از نظر دانه‌بندی متوسط و محصول دگرسانی آن سرسیت می‌باشد.

کوارتز به صورت آنهدرال با خاموشی موجی و دارای شکستگی است.

فلدسپات‌پتاسیک به صورت اتمورف تا ساباتومورف با اندازه‌های متفاوت دیده می‌شود. در بعضی از آنها ماکل کارلسbad و بافت میکروپرتیتی و در دسته‌ای دیگر بافت مشبك دیده می‌شود. در حواشی بعضی از بلورهای فلدسپات‌پتاسیک هم‌رشدی با کوارتز نیز مشاهده می‌شود. بعضی از آنها در اثر آلتراسیون به کائولینیت تبدیل شده‌اند.

کانی‌های فرعی این سنگ‌ها شامل بیوتیت، آمفیبول، آپاتیت و زیرکن می‌باشد.

بیوتیت به صورت اتمورف تا ساباتومورف، دارای پلی‌کروئیسم فهوهای روشن تا فهوهای تیره می‌باشد. دگرسانی آن بیشتر به کلریت و موسکویت است، انکلوزیون‌هایی از زیرکن و آپاتیت در آن دیده می‌شود. آپاتیت به صورت بلورهای سوزنی اتمورف به صورت انکلوزیون یافت می‌شود. مقدارش در گرانودیوریت‌ها زیاد نیست. زیرکن به صورت بلورهای ساباتومورف تا اتمورف می‌باشد. این کانی هم به صورت انکلوزیون حضور دارد.

کانی‌های ثانویه این سنگ‌ها نیز شامل سرسیت، موسکویت، کائولینیت و کلریت می‌باشد.

۴-۳- اختصاصات سنگ شناسی گرانیت‌ها

حجم قابل توجهی از توده آذرین منطقه را گرانیت تشکیل می‌دهد(شکل ۳-۳).

گرانیت‌ها سنگ‌های هولوکریستالین، فلسيک و روشن ، دانه متوسط تا درشت هستند. کانی‌های روشن آنها شامل فلدسپات‌پتاسيک، پلاژيوکلاز و کوارتز می‌باشد. بيوتیت و مقدار جزئی هورنبلاند، کانی‌های تیره آنها را تشکیل می‌دهند.

در گرانیت‌های مورد مطالعه همچون سایر سنگ‌های مشکله این توده آذرین، موسکویت اولیه حضور ندارد.

این سنگ‌ها بافت هیپیدیومورف دانه‌ای و پرتیت نشان می‌دهند(شکل ۴-۳).

کوارتز مهمترین کانی مشکله گرانیت‌هاست، ساباتومورف تا آنهدرال، و اندازه آنها متوسط تا درشت است، شکستگی و خاموشی موجی نشان می‌دهد.

پلاژيوکلاز به صورت اتمومورف تا ساباتومورف و دانه متوسط است، ماکل پلی‌منتیک و گاهی حالت منطقه‌ای نشان می‌دهد. در محل تماس با فلدسپات‌پتاسيک بافت میرمکیتی (هم رشدی پلاژيوکلاز با کوارتز به صورت کرمی شکل) دارد. محصول دگرسانی آن سرسیت می‌باشد.

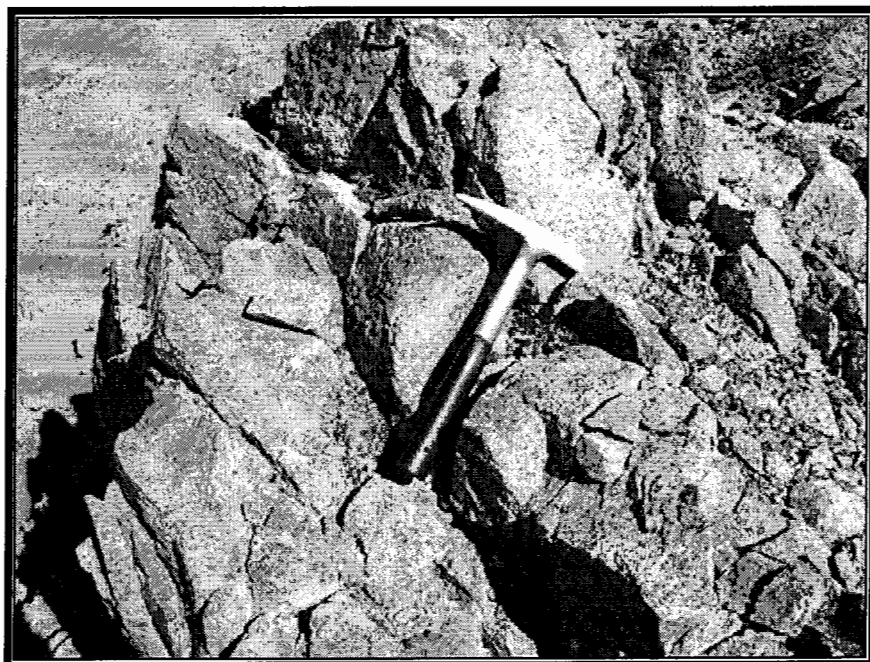
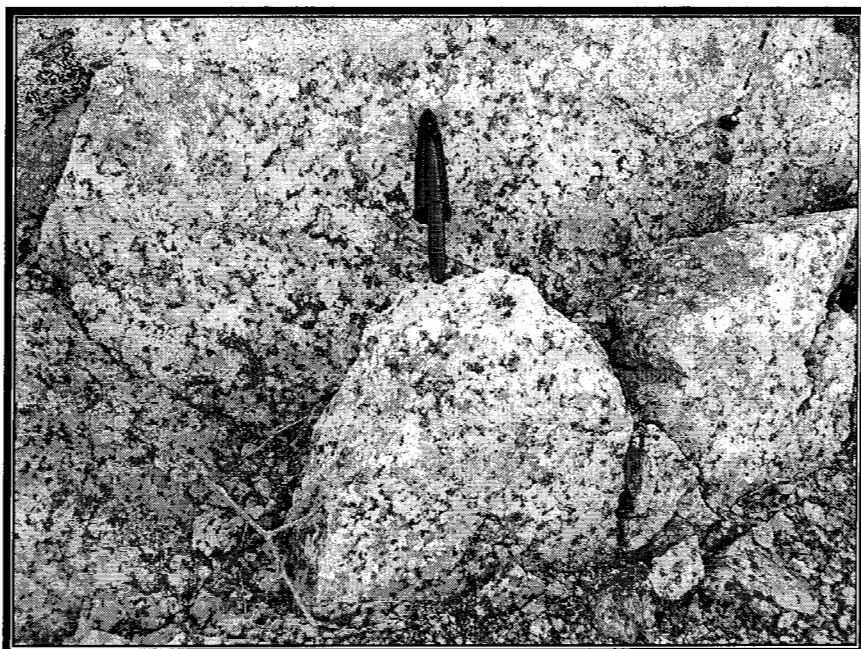
فلدسپات‌پتاسيک به صورت اتمومورف تا ساباتومورف دیده می‌شود، در گروهی از آنها بافت میکروپرتیتی با ماکل کارلسbad (ارتوز) و در دسته‌ای دیگر بافت مشبک (میکروکلین) قابل مشاهده است(شکل ۵-۵). مقدار میکروکلین به مرتب کمتر از ارتوز است. محصول دگرسانی آن سرسیت، کائولینیت است. شایان ذکر است که بلورهای فلدسپات‌پتاسيک از نظر اندازه دو دست، هستند، گروهی دانه ریز تا متوسط و گروهی درشت بلور هستند، که می‌تواند حاکی از تبلور دوگانه آنها در شرایط متفاوت باشد.

کانی‌های فرعی این سنگها شامل بیوتیت، آمفیبول، آپاتیت و زیرکن است.

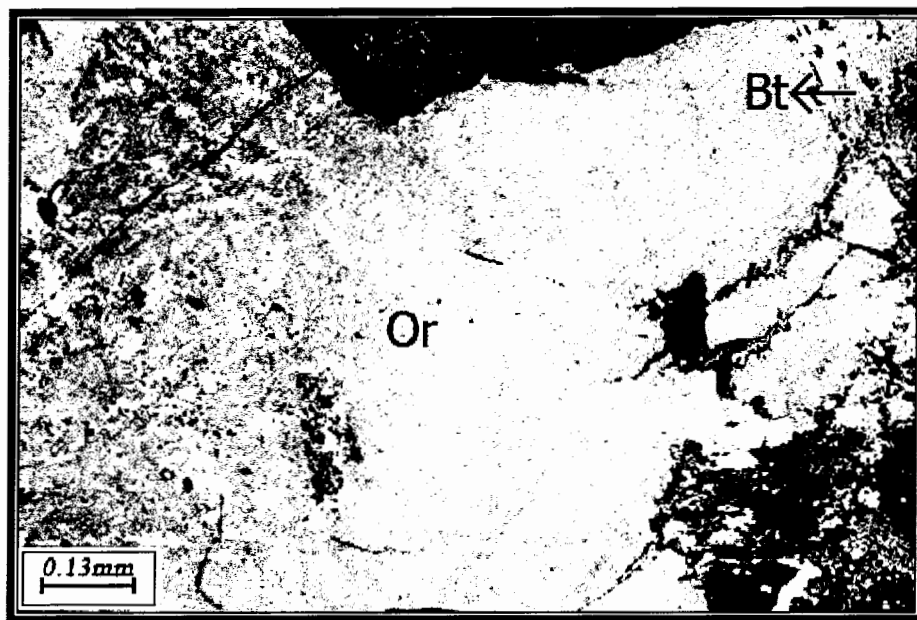
بیوتیت به صورت ساباتومورف است، در مقاطع طولی به موسکویت و کلریت دگرسان شده است.

انکلوزیون‌های زیرکن را هم به صورت ناچیز می‌توان در آن مشاهده کرد (شکل ۶-۳). آمفیبول در گرانیت‌ها اکثراً به صورت هورنبلاند سبز است که این کانی معمولاً به کلریت دگرسان شده است. آپاتیت به صورت بلورهای اتمومورف سوزنی شکل و به صورت انکلوزیون دیده می‌شود. زیرکن به صورت

اتومورف تا ساباتومورف با هاله پلیکروئیک مشخص است، غالباً به صورت انکلوزیون در بیوتیت مشاهده می‌شود.



شکل ۳-۳- تصویر صحرا ای گرانیت



شکل ۳-۴- تصویر میکروسکوپی بافت پرتیتی در گرانیت (XPL).



شکل ۳-۵- تصویر میکروسکوپی میکروکلین و دگرسانی فلدسپات به سریسیت (XPL).



شکل ۳-۶- بلور زیرکن در گرانیت و دگرسانی پلاژیوکلاز به سریسیت و تبدیل شدن بیوتیت به کلریت (XPL).

۳-۵- اختصاصات سنگ شناسی آلکالی فلدسپار گرانیت‌ها

بخشی از گرانیت منطقه ترکیب آلکالن دارد که به توصیف آن می‌پردازیم.
آلکالی گرانیت‌ها سنگ‌های هولوکریستالین، روشن رنگ و دانه متوسط هستند(شکل ۳-۷).



شکل ۳-۷- نمایی از یک نمونه دستی آلکالی فلدسپار گرانیت

کانی‌های اصلی آن کوارتز و فلدسپات‌پتاسیک و مقدار کمی پلاژیوکلاز می‌باشد. بیوتیت و مقدار جزئی هورنبلاند کانی‌های تیره آن را تشکیل می‌دهد.

این سنگ‌ها بافت هیپیدیومورف دانه‌ای و میکروپریتیت نشان می‌دهند.

کوارتز جزء مهمترین کانی متشکله آنهاست که شکستگی و خاموشی موجی نشان می‌دهند. دانه‌های کوارتز متوسط و آنهدرال است.

فلدسپات‌پتاسیک به صورت اтомورف تا ساب اтомورف دیده می‌شود و در آنها هم همانند دیگر سنگ‌های گرانیت‌وئیدی بافت میکروپریتی با ماکل کارلسbad و در دسته‌ای دیگر بافت مشبک دیده می‌شود. مقدار میکروکلین از ارتوز کمتر است.

پلاژیوکلاز به صورت اتمورف، دانه ریز تا متوسط است، ماکل پلی‌سنتیک نشان می‌دهد. محصول دگرسانی آن سریسیت می‌باشد. بیوتیت به صورت اتمورف دیده می‌شود و به کلریت دگرسان شده است و انکلوزیون‌های زیرکن غالباً در آن حضور دارد. آمفیبول به صورت اتمورف تا ساب اتمورف دیده می‌شود و اغلب به کلریت دگرسان شده است. آپاتیت و زیرکن هم به صورت انکلوزیون دیده می‌شوند.

۳-۶- اختصاصات سنگ شناسی میلو نیت‌ها و سنگ‌های کاتاکلاستیکی

گسل بزرگ و اصلی بند فریمان با امتداد شمال‌غرب-جنوب‌شرق، نقش اساسی در وضعیت زمین شناسی و پالئوگرافی ناحیه فریمان دارد. اکثر گسل‌های اصلی و فرعی ناحیه فریمان در منطقه مورد مطالعه به موازات همین گسل قرار دارند و تعداد بسیار اندکی از گسل‌های فرعی با جهات مختلف در ناحیه مشاهده می‌گردند. وجود همین گسل‌ها در منطقه، حضور سنگ‌های میلونیتی را که فابریک ساختاری متنوعی دارند فراهم آورده است.

این سنگ‌ها در زون‌های گسلی تشکیل شده‌اند و به دلیل خردشدن قطعات کوارتز و فلدسپات، محلولهای هیدروترمالی بهتر می‌توانند در آن رسوخ کنند و لذا دگرسانی زیادی از خود نشان می‌دهند.

بافت این سنگ‌ها در زیر میکروسکوپ میلونیتی است، کانی‌های اصلی و فرعی میلونیتها همانهایی هستند که در گرانیت‌ها دیده می‌شوند.

دانه‌های کوارتز بر حسب اندازه دانه به سه دسته بزرگ، متوسط تا ریز و خیلی دانه ریز تقسیم می‌شوند. گذر از اندازه بزرگ به سمت دانه‌های بسیار ریز به علت افزایش دگرشکلی و تبلور مجدد

دینامیکی می‌باشد. بعضی از بلورهای کوارتز به صورت پورفیروکلاست بوده و دارای خاموشی موجی شدید می‌باشند، که به علت تغییر شبکه بلوری در اثر اعمال استرس‌های حاکم بر منطقه می‌باشد. در اطراف بعضی از پورفیروکلاست‌های کوارتز، سایه‌های فشاری تشکیل شده و در این مناطق به علت کم بودن مقدار استرس، کانی‌های کوارتز متوسط تا ریز دانه متبلور شده‌اند. بلورهای کوارتز با اندازه متوسط تا دانه‌ریز در مناطق سایه‌های فشاری اطراف بعضی از پورفیروکلاست‌ها و یا به صورت کوارتز پلی‌کریستالین دیده می‌شوند. کوارتزهای بسیار دانه‌ریز که در اثر تبلور مجدد دینامیکی تحت تاثیر استرس‌های بالا تشکیل شده‌اند، همراه با سایر کانی‌های دانه‌ریز، کانی‌های زمینه را تشکیل داده و همچنین پورفیروکلاست‌ها را احاطه کرده‌اند.

کوارتزهای نواری، وجود ماکل‌های مکانیکی (چین خورده) نشان‌دهنده این است که محیط گرم و تحت فشارش بوده است (شکل ۳-۸).

فلدسبات‌های پتاسیک و پلاژیوکلازها خرد شده‌اند، ماکل آنها دگرشکل شده و به دلیل تسهیل مهاجرت محلولها و تاثیر استرس‌های حاکم بر منطقه، دگرسانی شدیدی را در فلدسبات‌ها می‌توان دید (شکل ۹-۳). این کانی‌ها به سرسیت و کلریت دگرسان شده‌اند. بیوتیت در اثر تبلور مجدد دینامیکی به طور کامل یا کمتر به کلریت تبدیل شده است، که کلریت‌های حاصل بی‌شکل بوده و طویل‌شدگی زیادی از خود نشان می‌دهند. گرانیت‌ها در مراحل آخر برشی شده‌اند و تحت تأثیر هجوم سیالات حاوی SiO_2 و اکسید آهن قرار گرفته است. رگه‌های اولیژیست و کوارتزی شاهد این قضیه است.



شکل ۳-۸- کوارتزهای نواری با خاموشی موجی (XPL).



شکل ۳-۹- ماکل مکانیکی پلازیوکلاز و دگرسانی شدید در آن (XPL).

۷-۳- اختصاصات سنگ شناسی پگماتیت‌ها

پگماتیت‌ها در مراحل پایانی فعالیت‌های دگرگونی، به صورت رگه‌هایی گسترش دارند (شکل ۳-۱۰). این سنگها حاوی کوارتز، ارتوز و میکروکلین می‌باشند و از کانیهای فرعی به تورمالین و موسکویت می‌توان اشاره کرد.

بافت پگماتیت‌ها هیپیدیومورف دانه‌ای درشت است و کانی‌های آن عبارتند از:

کوارتز به صورت آنهدرال و درشت دیده می‌شود. گاهی انکلوژون‌های بسیار ریزی از موسکویت و سایر کانیها در آن وجود دارد. فلدسپات‌پتاسیک به صورت ساباتومورف و دارای ماکل کارلسیاد، میکروپرتریت و مشبك (میکروکلین) می‌باشد. پلازیوکلاز به صورت بلورهای ساباتومورف دیده می‌شود و مقدارش در پگماتیت زیاد نیست. موسکویت به صورت فلسها و پولکهایی در پگماتیت دیده می‌شود. تورمالین مقدارش در پگماتیت زیاد نیست ولی با این وجود گاهی بلورهای درشتی از آن یافت می‌شود که این بلورها اтомورف تا ساباتومورف هستند.

۸-۳- بافت پرتیتی

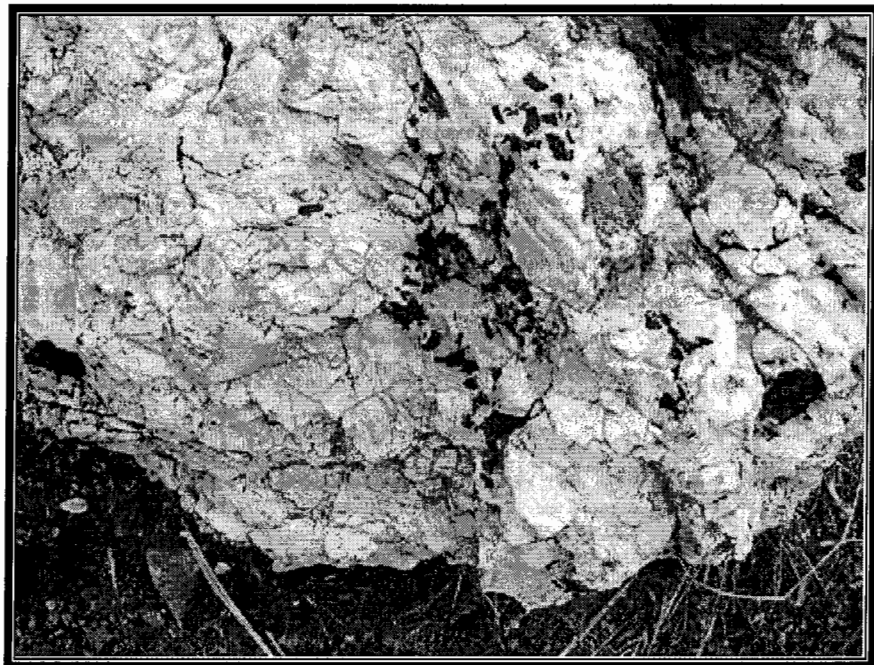
همان طور که اشاره شد، در سنگهای گرانیت‌وئیدی اکسلوشن فلدسپات‌های سدیک و پتاسیک معمول است، که غالباً به صورت اشکال تیغه‌ای آلبیت در زمینه‌ای از ارتوز مشاهده می‌شود، لذا لازم به نظر می‌رسید که در این مطالبی ذکر شود.

یکی از شاخص‌های گرانیت‌های منطقه مورد مطالعه حضور بافت پرتیت است. این بافت حاصل اخلاق ناپذیری فازهای سرشار از سدیم و پتاسیم در فلدسپات آلکالن می‌باشد.

کلمه پرتیت از نمونه‌ای مربوط به ناحیه پرت کانتی شهر انتاریو کانادا اخذ شده است. تامپسون (Thompson, ۱۸۴۳) نمونه‌ای واجد تیغه‌های آلبیت و ارتوز را به این نام توصیف نمود.

با توجه به اندازه پرتیت آن را به انواع کریپتوپرتریت، میکروپرتریت و پرتیت تقسیم‌بندی می‌کنند.

تئوریهایی برای منشأ پرتیت ارائه شده‌اند، یکی از این تئوریها توسط لمان (Lehmann, ۱۸۸۵) عنوان گردید. وی پیشنهاد کرد که شکافهای حاصل از انقباض فلدسپات‌پتاسیک اجازه می‌دهند که فلدسپات سدیک از خارج به این شکافها وارد شود. وی همچنین اظهار داشت که همیافتی نزدیک بین میکروکلین با رگه‌های پرتیتی وجود دارد و می‌توان نتیجه گرفت که ماکل مشبك موجود در میکروکلین نتیجه منظم شدن مجدد ارتوز تحت تأثیر نیروهای مکانیکی است.



شکل ۱۰-۳ - تصویر صحرایی توده های پگماتیتی موجود در منطقه

تئوری جدایش در فاز جامد (exsolution) توسط وگت (Vogt, ۱۹۰۶) ارائه شد. وی و محققین بعد از او با ارائه نمودارهایی این تئوری را قوت بخشیدند. آنها تحقیقات وسیعی را با روش‌های اشعه X همگن‌سازی و تجدید جدایش (re-exsolution) در دماهای مناسب به انجام رسانیده‌اند. سومین تئوری در مورد چگونگی تشکیل پرتیت‌ها، رشد همزمان است که توسط وگت عنوان شد. تبلور مواد مذاب با ترکیب نقطه انتکتیک یکی از راههایی است که برای تشکیل پرتیت به نظر می‌رسد.

سری محلول‌جامد آلبیت - ارتوز (فلدسبات آلکالن) یک سیستم دوتایی با نقطه مینیمم حرارتی را تشکیل می‌دهد. در این سیستم علاوه بر منحنی سولیدوس و لیکوئیدوس، منحنی سومی تحت عنوان منحنی سولووس یا منحنی تفکیک آلکالی فلدسبات‌ها وجود دارد. علت تفکیک، به اختلاف در شعاع و باریونی عناصر سازنده کانیها مربوط بوده و اندازه و شکل کانی‌های تفکیک شده، به زمان و چگونگی سرد شدن بستگی دارد. در درجه حرارت‌های بالا، بونهای سدیم و پتاسیم می‌توانند به صورت نامنظم، در زنجیره فلدسبات‌ها جایگزین یکدیگر شوند به همین جهت تنها یک فلدسبات هموزن پدید می‌آید. در درجه حرارت‌های پایین‌تر به دلیل اختلاف در شعاع بونی پتاسیم و سدیم که بیش از ۱۵ درصد است، جابجایی بونهای Na^+ و K^+ در شبکه فلدسبات‌ها محدود می‌شود و این بونها هر کدام جایگاه خاصی را اشغال می‌کنند. بنابراین در درجه حرارت‌های پایین محدوده‌هایی از ساختمان آلکالی فلدسبات را بونهای پتاسیم و محدوده‌های دیگر را بونهای سدیم اشغال می‌کنند و همین امر موجب تفکیک این دو فاز می‌شود.

سرد شدن آرام ماقما فرست لازم را جهت جدایش فازی فراهم می‌کند. برخی از عوامل فیزیکی و شیمیایی در تشکیل پرتیت مؤثر هستند. از جمله این عوامل فشار سیالات (بخارآب، دی‌اکسید کربن و ...)، درجه حرارت و عمق ماقما است (کاکس و همکاران، ۱۹۷۹).

شکل ۳-۱۰ سیستم دوتایی آلکالن فلدسبارها را در فشارهای مختلف آب نشان داده است. همان‌طور که در شکل مشاهده می‌شود، با افزایش فشار بخارآب منحنی‌های لیکوئیدوس و سولیدوس به درجه حرارت‌های پایین‌تر انتقال پیدا می‌کنند. به‌طوری‌که در حالت خشک، درجه حرارت نقطه مینیمم از ۱۰۸۳ درجه سانتیگراد، در فشار آب ۱ کیلوبار، به ۸۴۳ درجه سانتیگراد می‌رسد. با افزایش بیشتر فشار، نقطه مینیمم به کندی کاهش می‌یابد به‌طوری‌که با افزایش هر ۱ کیلو بار فشار بخارآب، میزان کاهش درجه حرارت ۷۳ درجه سانتیگراد است (اقتباس از درویش‌زاده، ۱۳۷۶)،

در عرض، منحنی سولووس به درجه حرارت‌های بالاتر می‌رود به‌طوری‌که در فشار بخارآب ۱ کیلوبار قله منحنی سولووس به ۶۵۶ درجه سانتیگراد، در فشار ۲ کیلوبار این قله به ۶۷۲ درجه سانتیگراد و بالاخره در فشار ۵ کیلوبار به ۷۰۳ درجه سانتیگراد می‌رسد. در این فشار منحنی‌های سولووس و سولیدوس یکدیگر را قطع می‌کنند. در فشارهای کمتر از ۵ کیلوبار، از کلیه ترکیبات آلبیت و ارتوز، ابتدا یک فلدسپات هموزن به وجود خواهد آمد. فلدسپاتهای به وجود آمده با کاهش درجه حرارت و رسیدن به درجه حرارت‌های منحنی سولووس ناپایدار شده و در حالت جامد تفکیک می‌شوند. در این صورت تنها پرتیت و یا آنتی پرتیت را خواهیم داشت.

تاتل و باون (۱۹۵۸) گرانیت‌ها را براساس تعداد آلکالی فلدسپات‌ها به دو دسته ساب سولووس و هیپرسولووس تقسیم کردند. گرانیت‌هایی که حاوی یک نوع فلدسپات آکالن هستند، هیپرسولووس و گرانیت‌هایی که دو نوع فلدسپات آکالن دارند، ساب سولووس نامیده می‌شوند. گرانیت‌های منطقه مورد مطالعه، از نوع ساب سولووس بوده و مagma‌ای تشکیل‌دهنده این گرانیت‌ها دارای فشار بخارآب بالای ۵ کیلوبار است. افزایش فشار بخارآب، در مagma‌ای تشکیل‌دهنده این دسته از گرانیت‌ها می‌تواند در اثر نفوذ سیالات خارجی به داخل magma و تاثیر موضعی این سیالات به وجود آمده باشد.

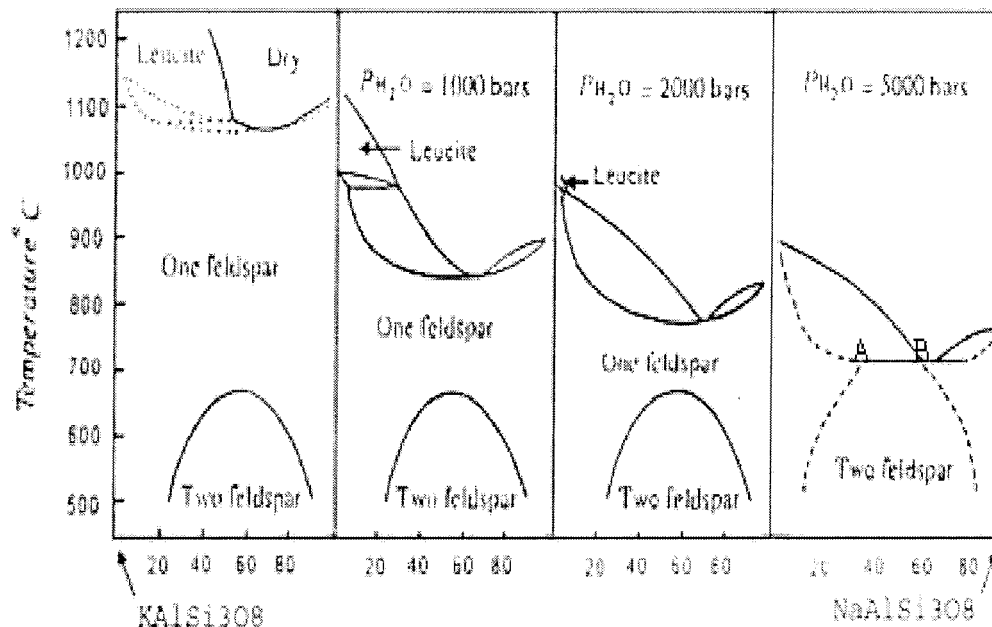
اندرسون (Anderson, ۱۹۸۲) پیشنهاد کرد که پرتیت حاصل تبلور از محلولهایی است که به طور متناوب از نظر فلدسپات پتاسیک و پلاژیوکلاز غنی می‌شوند.

همان طور که اشاره شد فرایندهای گوناگونی برای تشکیل پرتیت (و آنتی پرتیت) پیشنهاد شده است. اسمیت در سال ۱۹۷۴ این فرایندها را بازنگری کرد و نتیجه گرفت که اهمیت نسبی اکسلوشن و جانشینی در تشکیل پرتیت و آنتی پرتیت تا اندازه زیادی تابع سنگ میزان و ویژگیهای کریستالوگرافی و شیمیایی خود فلدسپار است.

با در نظر گرفتن تئوریهای فوق الذکر، می‌توان اظهار داشت که حرکات اتمها در طی هسته‌زایی و رشد واحدهای پرتیتی اهمیت دارند. بطوریکه روزنکوویست (Rosenqvist) ایراد کرد که پراکندگی غیریکنواخت اتمها، اشکال جدایش پرتیتها را کنترل می‌کند.

مطالعات اخیر نشان می‌دهد که هر دو فلدسپات سدیک و پتاسیک، چندشکلی پیچیده‌ای را از نظر موقعیت اتمهای Al و Si نشان می‌دهند که این موضوع در تشکیل بافت‌ها و ساختهای مهم

دست‌اندرکارند، زیرا نرسیدن به حالت تعادل کامل موجب می‌شود پرتیت‌ها با چندشکلی‌های پیچیده‌ای در فلدسپات‌ها همراه باشند.



شکل ۱۱-۳- سیستم دوتایی ارتوز - آلبیت و تغییرات آن در فشارهای مختلف آب (اقتباس از تاتل و باون، ۱۹۵۸)

۹-۳ - خلاصه

در توده‌های گرانیتوبئیدی فریمان طیف نسبتاً کوچکی از سنگهای آذرین وجود دارد که به طور تدریجی به یکدیگر تبدیل می‌شوند. حجم اصلی توده، گرانیتی است. کانی‌های اصلی موجود در سنگهای دیوریتی شامل پلازیوکلаз، فلدسپات آلکالن، بیوتیت و آمفیبول هستند. کانی‌های اصلی گرانودیوریت و گرانیت نیز مشابه سنگهای دیوریتی است با این تفاوت که مقدار کوارتز و فلدسپات آلکالن زیادی دارند. روند تدریجی در آنها مشاهده می‌شود. شایان ذکر است که موسکویت اولیه در آنها وجود ندارد. کانی‌های فرعی شامل آپاتیت، زیرکن و اکسیدهای آهن است. بیوتیت در تمام سنگها به کلریت و موسکویت دگرسان شده است. کانی دگرسانی موسکویت در محل رخها دیده می‌شود.

بافت سنگهای دیوریتی هیپیدیومورف دانه‌ای است. در حالیکه سنگهای گرانیتوبئیدی علاوه بر این بافت، بافتهای میکروپریت و میرمکیت نیز نشان می‌دهند.

فصل حامم

رتوشی پوست و پوست را
پوشیدن

فصل چهارم

ژئوشیمی و پتروژئن سنگهای آذرین

۱-۴- مقدمه

مطالعات ژئوشیمی یکی از مهمترین روش‌های بررسی خصوصیات سنگ‌های آذرین می‌باشد. بطوری که بررسی دقیق سنگ‌های آذرین بدون این مطالعات امکان پذیر نمی‌باشد. برای استفاده از علم ژئوشیمی، اولین قدم درک دقیق اصول آن و رفتار ژئوشیمیابی عناصر در مagmaهای سیلیکاته و سیالات وابسته به آن می‌باشد(هندرسون^۱، ۱۹۸۲).

کلارک^۲(در ترکیان، ۱۳۸۰) دلایل کاربری علم ژئوشیمی را در سنگ‌های آذرین این‌گونه عنوان می‌کند:

الف: طبقه بندی گرانیتوئیدها(اشتریکایزن و لی مایتره^۳، ۱۹۷۹)

ب: تعیین روابط ژنتیکی پایدار بین مجموعه سنگ‌های گرانیتوئیدی که از نظر موقعیت مکانی در

یک جا دیده می‌شوند؛

ج: بدست آوردن اطلاعاتی درباره ماهیت نواحی منشأ و محیط تکتونیکی؛

1- Henderson
2- Clarke
3- Streckeisen and Le Maitre

د: برقراری تطابق، مانند آنچه که دیرینه شناسان از فسیلها استفاده می‌نمایند(ریچارد و کلارک^۱،

۱۹۸۹؛

ه: تبیین فرایندهای تفریق ماگمایی؛

و: تعیین درجات و شیوه‌های دگرسانی؛

ز: پیجوبی و اکتشاف کانسارهای جدید؛

یک سری توده‌های نفوذی در منطقه مورد مطالعه رخنمون دارد که مجموعه آنها، به صورت تقریباً نواری در امتداد شمال‌غرب-جنوب‌شرق از روختانه قلندرآباد تا چاهک واقع شده است. بدليل آنکه موضوع اصلی پژوهش مطالعه بررسی پترولوزیکی سنگ‌های دگرگونی منطقه بوده است، قسمت عمده حجم کار نیز به این موضوع اختصاص یافته است، ولی از آنجا که بخشی از این دگرگونی‌ها حاصل تزریق توده‌های نفوذی می‌باشد و دگرگونی حاصل از آن ارتباط مستقیم با ویژگیهای مختلف توده‌های نفوذی از جمله ترکیب کانی‌شناسی، حجم توده و دمای آن در هنگام جایگیری، عمق و نحوه جایگیری و ارتباط آن با حوادث تکتونیکی دارد، لذا علاوه بر مطالعات صحرایی که در مورد توده‌های نفوذی انجام گرفت، نمونه‌برداری از این توده‌ها نیز انجام شد و علاوه بر مطالعه مقاطع نازک آن، برای مطالعات ژئوشیمیایی، رده بندی و بررسی سیر تحولات عناصر اصلی و کمیاب سنگ‌های منطقه مورد مطالعه، ۱۰ نمونه از این سنگ‌ها با توجه به تنوع و حداقل هوازدگی آنها، جهت انجام آنالیز شیمیایی سنگ انتخاب و در کارگاه کانه آرایی دانشکده معدن دانشگاه صنعتی شاهروod آماده‌سازی شد و به آزمایشگاه سازمان زمین‌شناسی کشور جهت آنالیز به روش XRF ارسال گردید.

محل دقیق برداشت نمونه‌ها به کمک GPS تعیین و در جدول(۴-۱) به نمایش درآمده است.

موضوعاتی که در این فصل به آن پرداخته می‌شود شامل طبقه‌بندی و نامگذاری سنگ‌های آذرین، ژئوشیمی عناصر اصلی، سری ماگمایی، خاستگاه ماگمایی و جایگاه تکتونیکی سنگ‌های گرانیتوئیدی منطقه است. لازم به ذکر است که جهت پردازش نتایج آنالیز شیمیایی سنگ‌های منطقه از نرم‌افزارهای Igpet, Minpet, Excle است.

جدول ۱-۴ : موقعیت دقیق نمونه های برداشت شده توسط GPS

شماره نمونه	موقعیت	نام سنگ
SFA4	35° 20' 35" N, 60° 11' 17" E	گرانیت
GR1	35° 31' 33.1" N, 59° 54' 23" E	تونالیت
GR6	35° 31' 42" N, 59° 55' 18" E	گرانیت
GR7	35° 33' 9" N, 59° 56' 20" E	گرانودیوریت
1E	35° 21' 12.6" N, 60° 10' 51" E	گرانیت
E3	35° 23' 15" N, 60° 10 51.2" E	گرانیت
SFM2	35° 30' 44" N, 59° 55' 32" E	دیوریت
SK7	35° 25' 50" N, 60° 03' 08" E	دیوریت
SK8	35° 25' 30" N, 60° 02' 59" E	دیوریت
E3-5	35° 23' 50" N, 60° 12' 2" E	دیوریت

جدول ۲-۴ - نتایج آنالیز ژئوشیمی عناصر اصلی و مقادیر نورماتیو کانیهای سازنده نمونه های توده نفوذی

شماره نمونه ها اکسیدها	SFA4	GR1	GR6	GR7	1E	E3	SFM2	SK7	SK8	E3-5
Name	GR	TO	GR	G.D	GR	GR	DI	DI	DI	DI
SiO ₂] (wt%)	74.25	71.9	73.55	74.4	72.86	72.4	46.90	45.01	45.00	46.84
Al[2]O[3] "	13.56	15.37	14.92	12.56	13.18	13.22	15.38	15.00	14.00	12.44
Fe[2]O[3] "	0.43	0.42	0.34	0.25	0.60	0.63	2.60	2.81	2.93	2.73
FeO "	1.99	1.81	1.50	1.12	2.67	2.82	10.72	10.79	11.20	11.54
MnO "	0	0	0	0	0	0	0.10	0.16	0.17	0.20
MgO "	0.27	0.53	0.21	0.21	0.46	0.64	4.73	6.37	6.57	5.50
CaO "	1.33	1.66	0.70	2.70	1.65	1.62	3.18	6.41	6.29	9.26
Na[2]O "	3.34	4.74	3.73	4.25	3.21	3.15	6.71	3.87	3.42	4.41
K[2]O "	3.14	1.08	3.27	1.41	3.46	3.57	1.71	2.23	2.34	0.43
TiO[2] "	0.23	0.34	0.25	0.15	0.42	0.44	2.68	3.79	4.00	2.52
P[2]O[5] "	0	0.10	0	0	0.10	0.11	1.06	0.49	0.54	0.50
%AN	18.03	15.12	9.39	22.42	20.72	20.55	14.58	41.11	38.22	28.61
Q	36.50	33.25	34.74	36.61	33.77	32.99	0	0	0	0
or	19.13	6.541	19.80	8.674	21.10	21.77	10.42	13.68	14.51	2.665
ab	30.92	43.63	34.34	39.73	29.75	29.19	41.08	25.25	27.05	33.71
an	6.805	7.774	3.561	11.48	7.778	7.556	7.018	17.63	16.73	13.51
C	2.531	4.056	4.446	0	1.571	1.681	0	0	0	0
hy	3.308	3.588	2.376	1.026	4.545	5.247	0	0	0	0
mt	0.463	0.450	0.364	0.272	0.647	0.679	2.805	3.051	3.216	2.994
il	0.330	0.485	0.357	0.217	0.604	0.632	3.853	5.484	5.850	3.683
hem	0	0	0	0	0	0	0	0	0	0
ap	0	0.214	0	0	0.215	0.237	2.287	1.064	1.185	1.096
ne	0	0	0	0	0	0	12.66	6.504	3.112	4.695
di	0	0	0	1.969	0	0	1.695	9.663	9.862	25.01
ol	0	0	0	0	0	0	18.15	17.65	18.46	12.62

GR: گرانیت D : دیبوریت G.D : گراناتو دیبوریت TO: تونالیت

ادامه جدول ۴-۲ نتایج آنالیز ژئوشیمی عناصر کمیاب و کمیاب خاکی (مقادیر بر حسب ppm می باشد).

شماره نمونه آکسیدها	SFA4	GR1	GR6	GR7	1E	E3	SFM2	SK7	SK8	E3-5
Name	GR	TO	GR	G.D	GR	GR	DI	DI	DI	DI
Cs(ppm)	5	19	<4	<4	21	24	2	3	3	2
Cu "	25	16	32	48	8	12	32	85	56	48
Ni "	6	4	2	7	4	3	17	74	82	35
Rb "	69	44	111	36	101	94	5	20	24	<1
Sr "	94	118	66	94	96	118	161	622	657	219
Y "	26	23	27	22	27	26	45	24	25	57
Cr "	6	6	<1	<1	9	9	11	36	39	114
Zr "	169	245	180	162	177	202	-	-	-	-
Tb "	<1	<1	<1	<1	1	1	-	-	-	-
Yb "	4	6	3	8	9	1	3	5	3	5
Ta "	17	16	14	3	20	19	-	-	-	-
Eu "	1	1	1	1	2	2	<1	3	4	10
Sc "	15	10	6	11	9	19	18	21	19	32
Ga "	19	19	20	16	18	19	23	25	24	22
Co "	<1	<1	<1	<1	<1	<1	75	89	95	80
Zn "	23	23	23	22	46	44	47	146	141	119
Mo "	48	12	37	17	23	31	-	-	-	-
Sn "	114	<1	101	2	91	116	-	-	-	-
Th "	17	10	30	19	17	16	-	-	-	-
V "	14	28	17	15	30	30	274	338	350	367
Ba "	777	336	421	388	610	723	637	561	669	349
La "	50	31	50	39	20	38	-	-	-	-
Hf "	7	9	7	9	5	5	-	-	-	-
Pb "	24	4	4	92	11	8	24	15	17	20
Nb "	-	-	-	-	-	-	71	29	31	7
Sm "	-	-	-	-	-	-	29	2	10	<1

۲-۴- آماده سازی و تصحیح داده های تجزیه های شیمیابی

برای بحث و بررسی در مورد روابط ژئوشیمیابی سنگها، که بر پایه نتایج تجزیه شیمیابی آنها استوار است، ابتدا فرایندهایی را که نتایج تجزیه شیمیابی سنگها را تحت تأثیر قرار می دهد به اختصار شرح می دهیم. مهمترین این فرایندها به نقل از رولینسون^۱ (۱۹۹۳)، عبارتند از:

آلایش

آلایش در طول آماده سازی نمونه، یک منبع مهم خطا در تجزیه ژئوشیمی است و به احتمال زیاد در طول خرد کردن و پودر کردن نمونه رخ می دهد. آلایش با بقایای ناشی از نمونه های قبلی را می توان با تمیز کردن دقیق دستگاه، برطرف کرد. آلایش در طول آسیاب نمونه را نیز می توان به وسیله کیفیت سطح آسیاب کننده کنترل کرد. برای تجزیه هایی با بیشترین دقت، آسیاب باید در آگات صورت گیرد. کاربید تنگستن، یک ماده پودر کننده رایج هم در هاون خرد کننده و هم در آسیاب حلقه ای بوده و آلوگی قابل ملاحظه W, Co, Ta, Sc و مقدار جزئی Nb را سبب می شود (Nisbet و Hemkaran, ۱۹۷۹؛ Hickson و Juras, ۱۹۸۶؛ Norgren و Hemkaran, ۱۹۸۹ و Jochum et al., ۱۹۹۲). علاوه بر این، خطوط طیفی W روی خطوط عناصر دیگر می افتد و سبب افزایش ظاهری غلظت می شود مگر اینکه این مورد تشخیص داده شود. فولاد کروم دار مقادیر قابل ملاحظه ای Cr, Fe، مقادیر متوسطی Mn و مقدار جزئی Dy و مقادیر جزئی نیکل و ایتریوم وارد نمونه می کند (Hickson و Juras, ۱۹۸۶ در Rullinson, ۱۹۹۳).

آلایش در طبیعت

منابع دیگر آلایش، در طبیعت قرار دارند و آن زمانی است که نمونه به وسیله پوشش نازکی از رسوبات حاصل از محلولهای آبهای زیرزمینی یا آب دریا پوشیده می شود. این مورد به وسیله شستشوی تکه های سنگ بعد از بریدن و قبل از پودر کردن با HCl یک مولار، برطرف می شود.

-
- 1- Rollinson
 - 2- Nisbet et al.
 - 3- Hickson and Juras
 - 4- Jochum et al.

آلایش به وسیله معرفه‌های ناخالصی که در طول انحلال و آماده‌سازی نمونه، استفاده می‌شوند نیز حتی با وجود استفاده از مواد شیمیایی فوق العاده خالص می‌تواند مهم باشد. علاوه بر آن اگر مدت زمان بین نمونه‌برداری و پودرکردن طولانی باشد در این مدت در معرض عوامل جوی قرار می‌گیرند و ممکن است متحمل آلودگی شوند.

خطاهای ناشی از کالیبراسیون

تمامی روش‌های تجزیه شیمیایی بجز روش طیف سنجی جرمی غلظتها را نسبت به استانداردی با غلظت مشخص یا نسبت به یک منحنی کالیبره می‌کنند. این منحنی نیز بر اساس استانداردهایی با غلظت مشخص رسم شده است. استانداردهای مورد استفاده در ترسیم منحنی‌های کالیبراسیون، معرفه‌های بسیار خالص شیمیایی و یا نمونه‌های بین‌المللی مرجع، به عنوان استاندارد هستند(گوین داراجو^۱، ابی^۲، ۱۹۸۴؛ ابی^۳، ۱۹۸۹ در روپلینسون، ۱۹۹۲).

خطاهای ناشی از پوشش پیکها

در اکثر روش‌های تجزیه‌ای مورد استفاده در ژئوشیمی، سعی اندکی در جدایش عنصر مورد تجزیه از بقیه سنگ یا کانی‌های نمونه صورت می‌گیرد که تنها مورد استثناء، در طیفسنجی جرمی است. بنابراین امکان تداخل خطوط طیفی یا پیک‌ها وجود دارد و در نتیجه مقادیر اندازه‌گیری شده، در اثر همپوشی پیکهای اضافی عنصر دیگر موجود در سنگ بطور مجازی بالا خواهد بود. تأثیر این تداخلات باید محاسبه و رفع شود.

بنابراین برای دستیابی به یک نتیجه دقیق‌تر باید:

الف: از تعداد تجزیه‌های شیمیایی زیادتری استفاده کرد.

ب: بررسی‌های صحرایی و میکروسکوپی کاملتری صورت گیرد تا نتایج با هم مطابقت داشته باشند و همچنین با الگوهای شناخته شده توزیع عناصر در سنگها و محیط‌های تکتونیکی سازگار باشد.
ج: انحرافات را نمی‌توان با صراحت تمام دلیل وقوع یک فرایند خاص دانست(قاسمی، ۱۳۷۹).

1- Govindaraju
2- Abbey

قبل از استفاده از تجزیه‌های شیمیایی لازم است، تصحیحاتی در آنها صورت گیرد. از جمله این تصحیحات می‌توان به حذف مواد فرار و تصحیح نسبت $\text{Fe}_2\text{O}_3/\text{FeO}$ اشاره کرد. در تجزیه‌های شیمیایی مقدار اکسید آهن به صورت Fe_2O_3 کل ارائه شده است. در تعیین مقدار آهن فریک و فرو ممکن است مقادیر محاسبه شده به دور از مقدار واقعی موجود در نمونه‌های تجزیه شده باشد که در نتیجه تأثیر زیادی بر کانی‌هایی که از طریق نورم به دست می‌آیند می‌گذارد. در این مورد جهت تعديل این نسبت روش‌های متعددی ارائه شده که در اینجا از روش ایروین-باراگار^۱ استفاده شده است و سپس داده‌ها به کمک نرم افزار Igpet پردازش گردیده است.

۴-۳- کاربرد داده‌های تجزیه‌های شیمیایی

پس از اینکه بر روی نتایج حاصل از تجزیه‌های شیمیایی تصحیحاتی به عمل آمد، داده‌ها قابل پردازش و تفسیر می‌گردند. از این داده‌ها می‌توان برای طبقه‌بندی، نامگذاری، ترسیم نمودارهای هارکر، تعیین سریهای ماگمایی، جایگاه تکتونیکی و در پایان شناسایی خصوصیات محل منشأ سنگها استفاده نمود. ارائه این نتایج بصورت عناصر اصلی و کمیاب می‌باشد که در ابتدا بطور مختصر به معروفی این عناصر و اهمیت و کاربرد آنها در ژئوشیمی می‌پردازیم.

الف- عناصر اصلی

عناصری هستند که در هر تجزیه سنگی غالب‌اند. این عناصر شامل K, Na, Ca, Mg, Fe, Al, Si, Ti, Mn, P می‌باشند. غلظت آنها به صورت درصد وزنی (Wt%) اکسید بیان می‌شود. مهمترین کاربرد داده‌های عناصر اصلی شامل موارد زیر می‌باشد (رولینسون، ۱۹۹۳):

- ۱) طبقه‌بندی و نامگذاری سنگها
 - ۲) استفاده در نمودار تغییرات و نمایش داده‌ها بصورت نمودارهای دو متغیره و یا سه متغیره
 - ۳) به عنوان ابزاری جهت مقایسه با ترکیبات سنگی تجربی و پی بردن به شرایط تشکیل سنگها
 - ۴) استفاده از این عناصر به همراه عناصر کمیاب جهت تعیین جایگاه تکتونیکی تشکیل سنگ-
- های آذرین

ب- عناصر کمیاب

میزان فراوانی عناصر کمیاب کمتر از ۱/۰ درصد وزنی تا کمتر از ۱۰۰۰ ppm می‌باشد و غلظتشان به صورت قسمت در میلیون (ppm) بیان می‌گردد. این عناصر بnderت کانی مستقلی تشکیل می‌دهند ولی گاهی اوقات، کانی مخصوص به خود را می‌سازند، ولی در اغلب موارد جایگزین عناصر اصلی در ساختار کانیها می‌شوند. عناصر کمیاب در متمایز کردن فرآیندهای پترولوزیکی دارای کارایی بهتری نسبت به عناصر اصلی بوده و بوسیله آنها می‌توان فرضیه‌های پترولوزیکی را به طور کمی مورد بررسی قرار داد.

عناصر کمیاب در جدول تناوبی به چند گروه تقسیم بندی می‌شوند:

عناصری با اعداد اتمی ۵۷ تا ۷۱ (La تا Lu) که به عناصر کمیاب خاکی یا لانتانیدها معروف هستند. این عناصر خود به سه گروه، عناصر کمیاب خاکی سبک (LREE)، عناصر کمیاب خاکی سنگین (HREE) و عناصر کمیاب خاکی متوسط (MREE) تقسیم بندی می‌شوند.

تمامی عناصر کمیاب خاکی دارای خصوصیات ژئوشیمیایی و فیزیکی مشابهی هستند و تنها اختلافات کوچکی در رفتارهای شیمیایی از خود بروز می‌دهند. این اختلافات کوچک موجود از نظر رفتار و اندازه در بین عناصر کمیاب خاکی، باعث می‌شود که این عناصر توسط برخی فرآیندهای زمین‌شناسی از یکدیگر تفکیک شوند. در ژئوشیمی با استفاده از این خصوصیت می‌توان به ژنز مجموعه‌های سنگی و ماهیت فرآیندهای زمین‌شناسی پی برد. از آنجاییکه عناصر کمیاب خاکی جزء عناصر با کمترین قابلیت احلال بوده و در اثر عملکرد فرآیندهایی نظیر هوازدگی، دگرگونی درجه پائین و دگرسانی هیدروترمال نسبتاً غیر متحرکند، نقش این عناصر در تمایز فرآیندهای پترولوزیکی از اهمیت بسیار زیادی برخوردار می‌باشد.

یکی از روش‌های تقسیم‌بندی عناصر کمیاب، بر اساس رفتار آنها در سیستمهای ماگمایی است که بر این مبنای عناصر کمیاب به دو گروه عناصر سازگار و ناسازگار تقسیم می‌شوند. این عناصر به هنگام ذوب گوشتۀ زمین یک رفتار ترجیحی نسبت به فاز مذاب یا جامد نشان می‌دهند. عناصری که ترجیح می‌دهند در فاز جامد باقی بمانند عناصر سازگار و عناصری که ترجیحاً وارد فاز مذاب می‌شوند را ناسازگار گویند. منظور از ناسازگار بودن یک عنصر کمیاب این است که این عنصر با ساختار کانی، ناسازگار بوده و در اولین فرصت آن را ترک خواهد کرد. تقسیم بندی عناصر ناسازگار بر اساس نسبت

بار به شعاع نیز می‌تواند مفید باشد، این نسبت را شدت میدان یا پتانسیل یونی یک عنصر گویند. بر طبق این تقسیم‌بندی، کاتیون‌های کوچک با بار بزرگ را عناصر با شدت میدان بالا (HFSE) گویند (پتانسیل یونی بالاتر از ۲) و شامل لantanیدها، $\text{Ta}, \text{Nb}, \text{Pb}$, $\text{Zr}, \text{Hf}, \text{Ti}$, $\text{Sc}, \text{Y}, \text{Th}$ بوده و غیر متحرک‌کند. کاتیون‌های بزرگ با بار کوچک را عناصر با شدت میدان پایین (LFS) گویند (پتانسیل یونی کمتر از ۲) و شامل $\text{Cs}, \text{Rb}, \text{K}, \text{Ba}, \text{Sr}, \text{Pb}, \text{Eu}$ می‌باشند. این عناصر را عناصر لیتوفیل بزرگ یون (LILE) نیز می‌گویند. این عناصر متحرک‌کند، همچنین فلزات واسطه $\text{Mn}, \text{Zn}, \text{Cu}$ نیز مخصوصاً در دماهای بالا میل به تحرک دارند (Seewald و Seyfried¹, ۱۹۹۰). در صورتی که $\text{Co}, \text{Ni}, \text{V}, \text{Cr}$ غیر متحرک‌کند.

۴-۴- کاربرد نتایج تجزیه‌های شیمیایی عناصر اصلی در رده‌بندی سنگ‌های سیلیکاتی
از رده‌بندی‌های شیمیایی مختلفی برای نامگذاری سنگ‌های آذرین منطقه مورد مطالعه استفاده شده است که عبارتند از:

الف- رده‌بندی نورماتیو: (روش اصلاحی مولر و براون (۱۹۷۷) و اشتريکایزن و لی‌مایتره (۱۹۷۹))
ب- رده‌بندی شیمیایی C-Kاکس و همکاران (۱۹۷۹)، دلارش و همکاران (۱۹۸۰)، میدل موست (۱۹۸۵) و فروست و همکاران (۲۰۰۰) B که هر کدام را جداگانه مورد بررسی قرار می‌دهیم.

۴-۱- طبقه‌بندی بر اساس ترکیب نورماتیو

در اوایل قرن بیستم سه پترولوجیست به نامهای کراس، ایدینگر و پیرسون و یک ژئوشیمیست به نام واشنگتن بر مبنای تشکیل کانیهای مجازی روشی برای نامگذاری سنگها ابداع کردند که با توجه به حرف اول اسمی این محققین به طور مخفف نورم CIPW^2 نامیده می‌شود. محاسبه نورم روشی است که تشخیص کانی را از طریق تجزیه شیمیایی میسر ساخته و در زمینه طبقه‌بندی سنگ‌ها، یک روش مجازی است. نورم CIPW روش خیلی معمول محاسباتی است. نورم سنگ ممکن است اساساً با کانی-شناسی مodal مشاهده شده در سنگ متفاوت باشد. کانی‌شناسی نورماتیو کلاً بر اساس شیمی است،

1- Seewald and Seyfried

2- Cross; Iddings; Pirson; Washington

بنابراین سنگهای آذرین ریزدانه، درشتدانه و دگرگون شده با ترکیب شیمیایی مشابه، ترکیب نورماتیو یکسانی خواهند داشت (رولینسون، ۱۹۴۹).

در این طبقه‌بندی، نورم سنگها که بر اساس نتایج آنالیزهای شیمیایی محاسبه می‌گردد، مبنای رده‌بندی قرار می‌گیرند. نتایج آنالیز شیمیایی و محاسبات نورم نمونه‌های منطقه مورد مطالعه در جدول (۲-۴) آورده شده است.

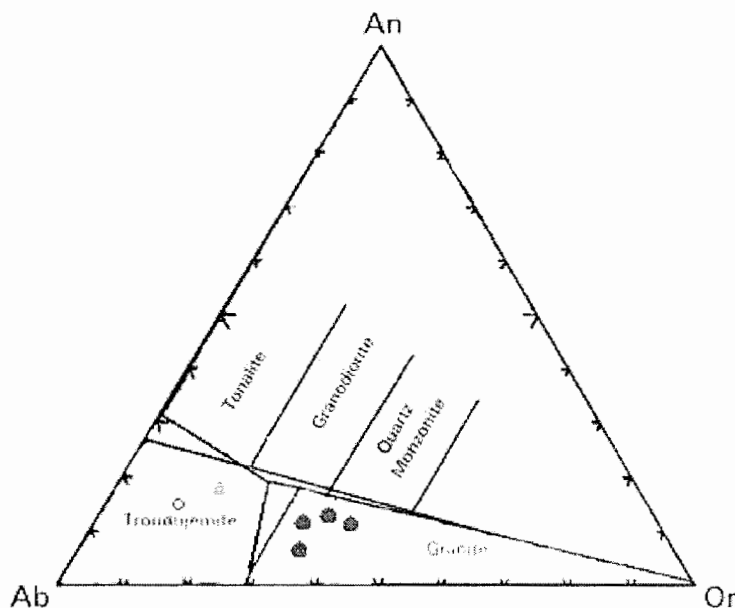
- رده‌بندی نورماتیو اکونر^۱ (۱۹۶۵)

اکونر (۱۹۶۵)، بارکر^۲ (۱۹۷۹) و عبدالرحمن (۱۹۹۰) گرانیتوئیدها را با استفاده از دیاگرام مثلثی آلبیت - ارتوز - آنورتیت نورماتیو طبقه‌بندی نموده‌اند (شکل ۱-۴). این طبقه‌بندی در مورد سنگ‌هایی که بیش از ۱۰ درصد کوارتز نورماتیو دارند، به کار برده می‌شود. مطابق این رده‌بندی سنگ‌های گرانیتوئیدی مورد مطالعه در محدوده گرانیت و ترانجمیت قرار می‌گیرند (نتایج نورماتیو نمونه‌های سنگی منطقه مورد مطالعه، برای چهار کانی کوارتز، آلبیت، آنورتیت و ارتوز در جدول ۴-۳) آورده شده است).

جدول ۴-۳- نتایج آنالیز نورماتیو کانی‌های کوارتز، آلبیت، ارتوز و آنورتیت در منطقه مورد مطالعه

Sample No	Q	Ab	Or	An
SFA4	36.5046	30.92584	19.1302	6.805411
GR1	33.25884	43.63031	6.541065	7.774083
GR6	34.74395	34.34077	19.80905	3.56145
GR7	36.6133	39.73736	8.67449	11.48892
1E	33.77047	29.75951	21.10627	7.778735
E3	32.99294	29.19802	21.77337	7.55621

1- O' Connor
2- Barker



شکل ۱-۴ - طبقه‌بندی An-Ab-Or نورماتیو اکونر(۱۹۶۵) برای سنگهای گرانیت‌وئیدی و موقعیت نمونه‌های مورد مطالعه بر روی آن

● تونالیت ○ آبراندیبوریت

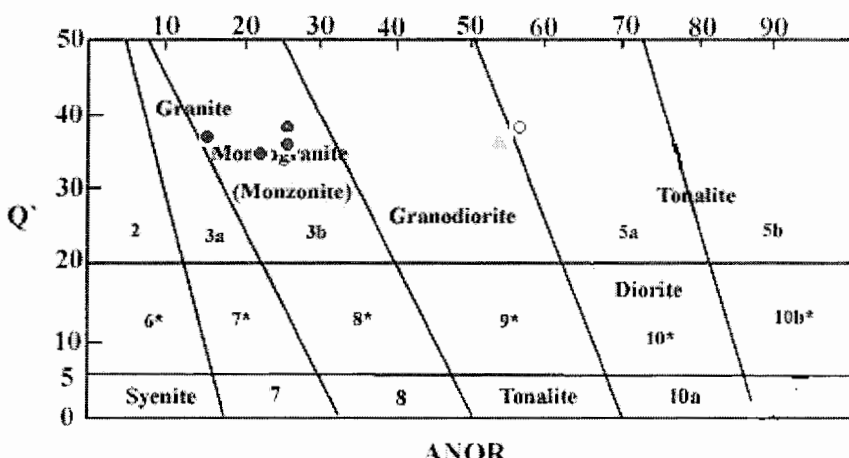
- رده‌بندی نورماتیو اشتربیکایزن و لی مایتره^۱ (۱۹۷۹)

در این رده‌بندی مقادیر نورم کوارتز، آلبیت، ارتوز و آنورتیت بر اساس نتایج آنالیز شیمیایی و به کمک نرم افزار Igpet محاسبه شده‌اند. در دو معادله زیر پارامترهای ANOR و Q' که به طریق زیر تعریف می‌شوند، محاسبه و برای ترسیم نمودار Q' - ANOR استفاده می‌گردند. این نمودار برای تعیین موقعیت ترکیبی سنگ‌های گرانیت‌وئیدی استفاده می‌شود. موقعیت ترکیبی نمونه‌های مورد مطالعه در شکل ۲-۴ نشان داده شده است.

$$ANOR = 100 * (An/An + Or)$$

$$Q' = [Q/Q + Or + Ab + An] * 100$$

1- Streckeisen and Le Maitre



شکل ۴-۲-۴- ردیفهای نورماتیو اشتريکاizen و Li مایتره (۱۹۷۹) برای سنگهای گرانیتی و موقعیت نمونه‌های مورد مطالعه بر روی آن. محدوده‌های به کار برده شده به ترتیب معرف سنگهای زیر می‌باشند:
 -۱- آلکالی‌فلدسپار گرانیت، -۳- گرانیت، -۴- گرانودیبوریت، -۵- تونالیت، -۶- سینیت، -۷- مونزونیت، -۸- مونزونودیبوریت، -۹- دیبوریت. برای شماره‌هایی که با ستاره مشخص شده به اول نامشان واژه کوارتز اضافه می‌شود.

مقادیر پارامترهای ANOR و Q' را برای تمام نمونه‌های مورد مطالعه محاسبه و در جدول (۴-۴) آورده شده است.

جدول ۴-۴- مقادیر پارامترهای ANOR و Q' برای نمونه‌های مورد مطالعه

شماره نمونه	نام سنگ	Q'	ANOR
SFA4	گرانیت	39.10	26.22
GR1	گرانودیبوریت	36.46	54.29
GR6	گرانیت	37.58	15.24
GR7	تونالیت	37.94	56.98
1E	گرانیت	36.55	26.91
E3	گرانیت	36.05	25.76

مطابق این طبقه‌بندی نمونه‌های مورد مطالعه در محدوده‌های گرانیت، گرانودیبوریت، تونالیت قرار می-گیرند.

- ردهبندی نورماتیو با استفاده از روش اصلاحی مولر و براون^۱ (۱۹۷۷) و با کمک نمودار

اشتریکایزن و لی مایتره (۱۹۷۹)

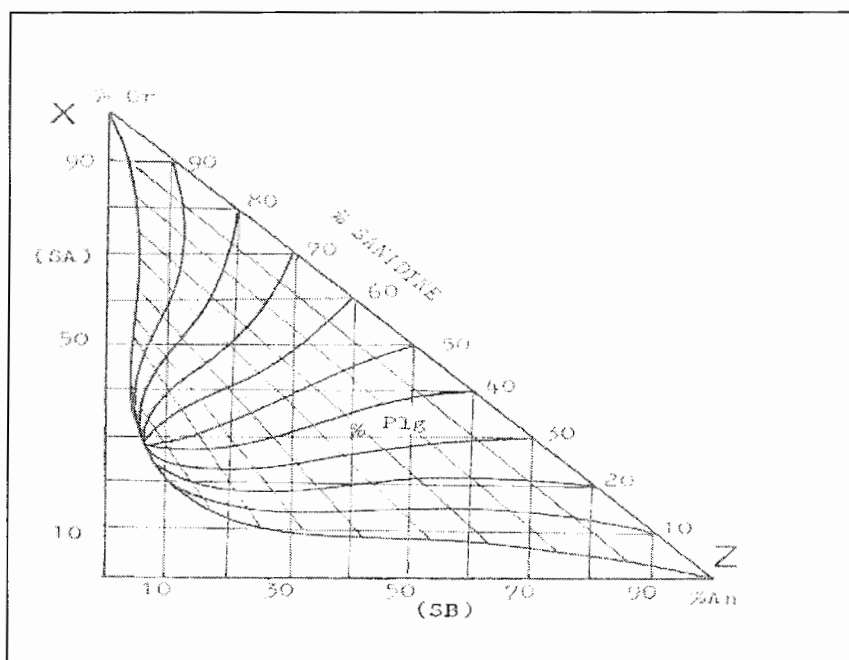
در این روش از مقادیر نورماتیو کوارتز، ارتوز، آنورتیت و آلبیت استفاده می‌شود. از این میان مقادیر نورماتیو ارتوز، آنورتیت و آلبیت را انتخاب می‌نماییم و درصد آنها را نسبت به مجموع آنها محاسبه می‌کنیم، سپس درصد ارتوز و آنورتیت نورماتیو را به ترتیب بر روی محورهای X و Z نمودار مولر و براون (۱۹۷۷) منتقل می‌نماییم (شکل ۳-۴).

با انجام این عمل نقطه‌ای بر روی نمودار مولر و براون بدست خواهد آمد، منحنی که به موازات سایر منحنی‌ها از این نقطه می‌گذرد، وتر نمودار مثلثی را در نقطه‌ای قطع می‌نماید که مشخصه فلدسپاتهای آلکالن سنگ مورد نظر نسبت به کل فلدسپاتهای سازنده آن سنگ است.

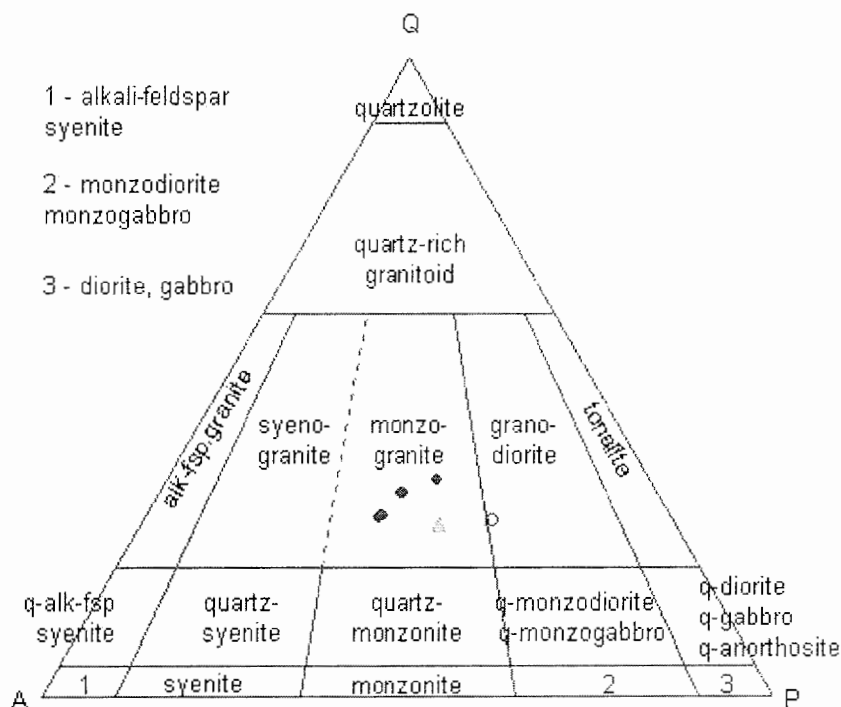
بعد از بدست آوردن درصد فلدسپاتهای آلکالن و پلاژیوکلаз از روی نمودار مولر و براون، درصد کل فلدسپاتها را با کم کردن درصد نورماتیو کوارتز از ۱۰۰ بدست می‌آوریم و سپس درصد آلکالی فلدسپار و پلاژیوکلاز را با توجه به درصد کل فلدسپات محاسبه می‌نماییم.

درصد نورماتیو کوارتز = $100 - \text{درصد کل فلدسپاتها}$

به این ترتیب مقادیر P, A, Q را برای نمونه‌های مورد مطالعه محاسبه می‌نماییم و بر روی نمودار مثلثی QAP اشتريکایزن (۱۹۷۶) ترسیم می‌کنیم، که با توجه به این، سنگ‌های مورد مطالعه در محدوده‌های گرانیت، گرانودیوریت، قرار می‌گیرند. نتایج محاسبات در شکل (۴-۴) نشان داده شده است.



شکل ۴-۳-۴- نمودار مولر و براون(۱۹۷۷)، برای مشخص کردن درصد فلدسپاتهای آلکالن سنگ مورد نظر نسبت به کل فلدسپاتهای سازنده آن سنگ.



شکل ۴-۴- دیاگرام QAPF مودال اشتريکايزن(۱۹۷۶) و موقعیت نمونههای مورد مطالعه بر روی آن بر پایه روش اصلاحی مولر و براون. تمام علامت شبیه شکل ۱-۴ است

۲-۴-۴- طبقه‌بندی شیمیایی

در اغلب طبقه‌بندی‌های شیمیایی درصد تعدادی از اکسیدها که در ساختمان کانی‌های اصلی سنگ نقش اساسی دارند، مورد توجه قرار می‌گیرد. در برخی دیگر نیز با استفاده از نتایج آنالیز شیمیایی اکسیدهای اصلی سنگ، میزان میلی‌کاتیون عناصر خاص را محاسبه کرده و سپس نسبتهاي کاتیونی ویژه‌ای را در رده‌بندی سنگ‌های آذرین به کار می‌برند. با توجه به مطالب ذکر شده، سنگ‌های نفوذی منطقه مورد مطالعه به چند روش زیر نامگذاری شده‌اند.

- طبقه‌بندی شیمیایی میدل موست^۱ (۱۹۸۵)

در دیاگرام میدل موست همانند دیاگرام کاکس و همکاران^۲ از نمودار مجموع آلکالن در مقابل سیلیس استفاده می‌شود. لیکن تقسیمات داخلی آن متفاوت است. نمونه‌های مورد مطالعه در این دیاگرام در محدوده‌های گرانیت و گرانودیوریت واقع شده‌اند(شکل ۴-۵).

- طبقه‌بندی دلاوش و همکاران^۳ (۱۹۸۰)

در این طبقه‌بندی شیمی سنگ کل به صورت پارامترهای کاتیونی R_1 و R_2 نمایش داده شده است. پارامترها بر مبنای مقادیر کاتیونی(میلی‌کاتیونی) عناصر Si, Na, Ca, Ti, Fe, Mg و Al و با توجه به معادلات زیر محاسبه می‌شوند:

$$R_1 = 4\text{Si} - 11(\text{Na} + \text{k}) - 2(\text{Fe} + \text{Ti})$$

$$R_2 = 6\text{Ca} + 2\text{Mg} + \text{Al}$$

در جدول (۴-۵) این پارامترها برای تمام نمونه‌ها محاسبه شده است.

* تعداد کاتیون * (وزن مولکولی/ادرصد وزنی) = عنصر بر حسب میلی‌کاتیون در ۱۰۰ گرم

طبقه‌بندی دلاوش مزایایی دارد که عبارتند از :

- نسبت به محاسبه نورم، محاسبه پارامترهای R_1 و R_2 آسانتر است.

- کل شیمی عناصر اصلی سنگ به استثنای اکسیژن در طبقه‌بندی بکار می‌رود.

1-Middlemost

2- Cox et al.

3- De la Roche et al.

- در این روش درجه اشباع از سیلیس و تغییرات ترکیب فلدسپاتها مشخص می‌شود.
 - این رده‌بندی با دقت و سهولت یکسان قابل استفاده برای طبقه‌بندی سنگ‌های درونی و بیرونی است.
 - مقایسه وسیعی را بین داده‌های شیمیایی و مودال ممکن می‌سازد.
- با توجه به این دیاگرام نمونه‌های مورد مطالعه با بیش از ۷۰ درصد SiO_2 در محدوده‌های گرانووپوریت، مونزوگرانیت و سینوگرانیت قرار می‌گیرد (شکل ۶-۴).

جدول ۶-۵- مقادیر میلی‌کاتیون عناصر اصلی انتخابی و پارامترهای R_1 , R_2 نمونه‌های منطقه مورد مطالعه

شماره نمونه	نام سنگ	Si	Al	Fe_t	Mg	Ca	Na	K	Ti	R_1	R_2
SFA4	گرانیت	1235.6	265.99	33.08	6.699	23.71	107.7	66.67	2.87	2951.7	421.65
GR1	گرانوپوریت	1196.5	301.49	30.45	13.15	29.60	152.9	22.93	4.255	2782.0	505.39
GR6	گرانیت	1223.9	292.66	25.12	5.21	12.48	120.3	69.42	3.129	2751.8	377.96
GR7	تونالیت	1238.1	246.37	18.71	5.21	48.14	137.1	29.94	1.592	3074.0	545.63
IE	گرانیت	1212.5	258.53	44.67	11.41	29.42	103.5	73.46	4.458	2804.3	457.87
E3	گرانیت	1204.8	259.32	47.13	15.88	28.89	101.6	75.80	5.507	2762.3	464.42
SFM2	دبوریت	780.49	301.69	181.7	117.3	56.70	216.5	36.30	33.54	517.32	876.63
SK7	دبوریت	749.04	294.23	185.3	158.0	114.3	124.8	47.35	47.43	636.05	1296.15
SK8	دبوریت	748.88	274.62	192.57	163.0	112.1	110.3	49.68	50.06	749.82	1273.64
E3-5	دبوریت	779.50	244.02	194.80	136.4	165.1	142.3	9.129	31.54	999.61	1507.7

– طبقه‌بندی ویلسون¹ (۱۹۸۹)

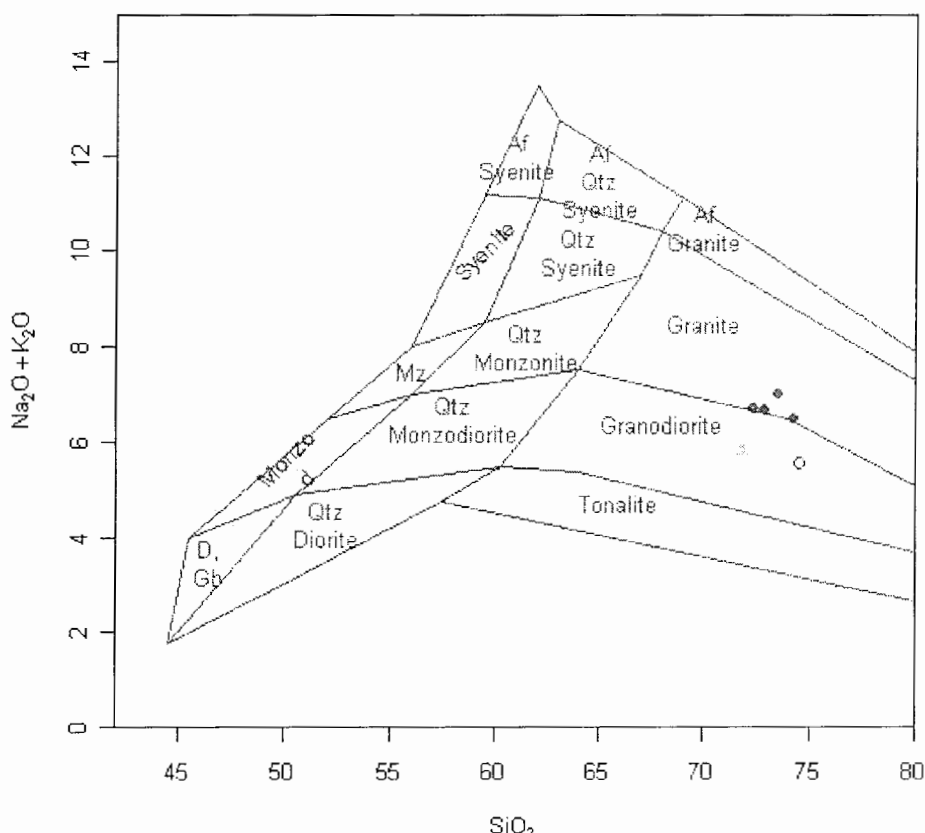
در دیاگرام ویلسون همانند دیاگرام کاکس و همکاران (۱۹۷۹)² مجموع آلکالان در محور قائم و سیلیس در محور افقی آورده شده است. در این دیاگرام، محدوده سنگ‌های مختلف مشخص شده و

¹- Wilson

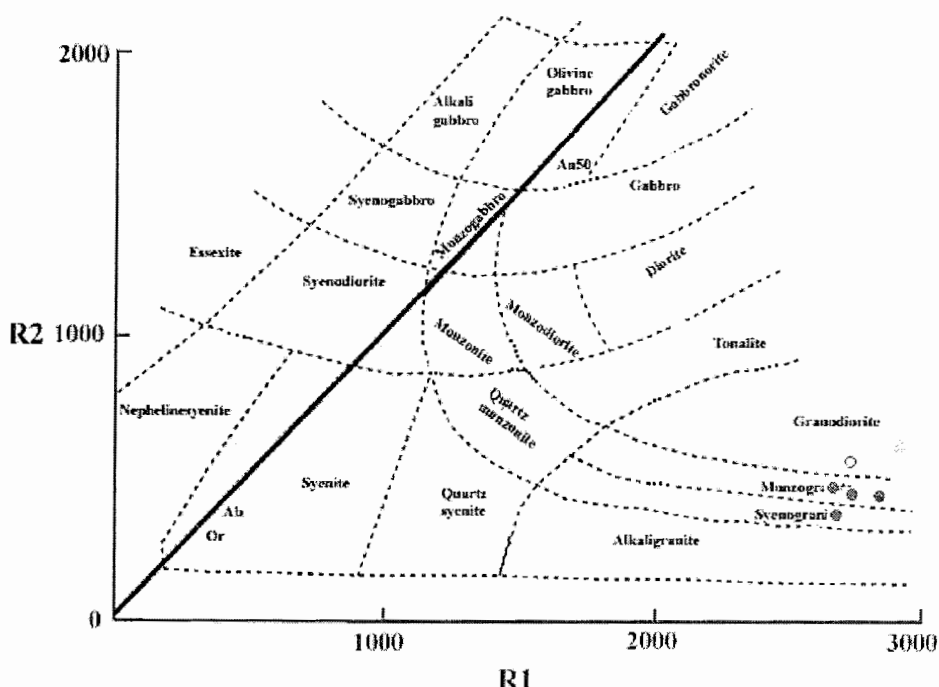
2- Cox et al.

قلمره سنگهای سابآلکالن از آلکالن مجزا گردیده است. با توجه به این دیاگرام سنگهای گرانیتوئیدی مورد مطالعه در محدوده گرانیت قرار می‌گیرند (شکل ۴-۷).

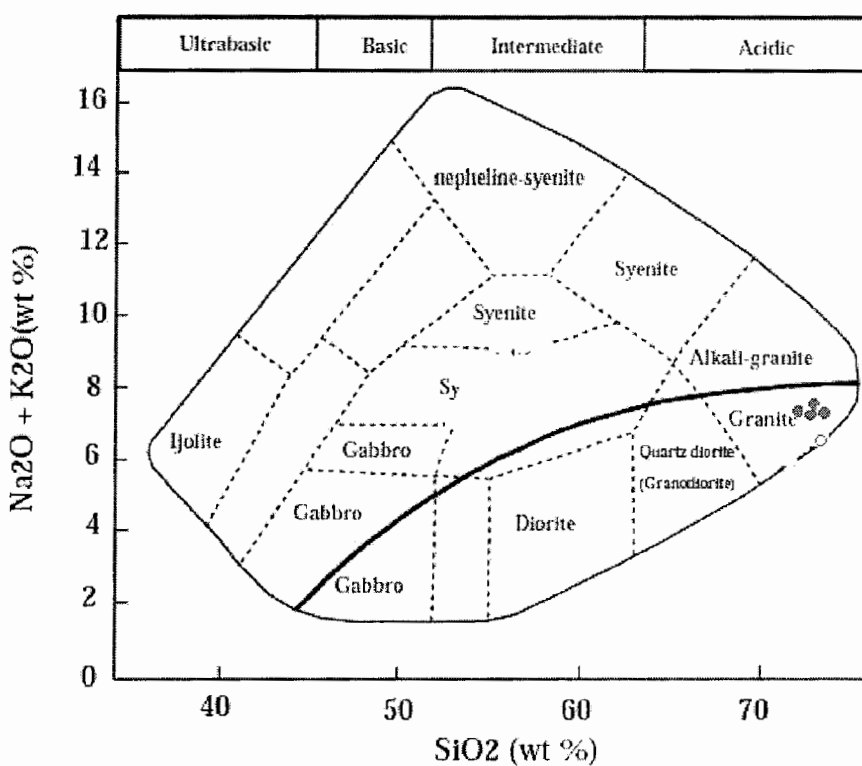
TAS (Middlemost 1994)



شکل ۴-۵- طبقه‌بندی شیمیایی میدلموست (1994) برای سنگ‌های گرانیتوئیدی و موقعیت نمونه‌های مورد مطالعه بر روی آن. (تمام علامت شبیه شکل ۴-۱ است).



شکل ۴-۶- نمودار دلارش و همکاران (۱۹۸۰) و موقعیت نمونه‌های مورد مطالعه بر روی آن. تمام علائم شبیه شکل ۴-۱ است.

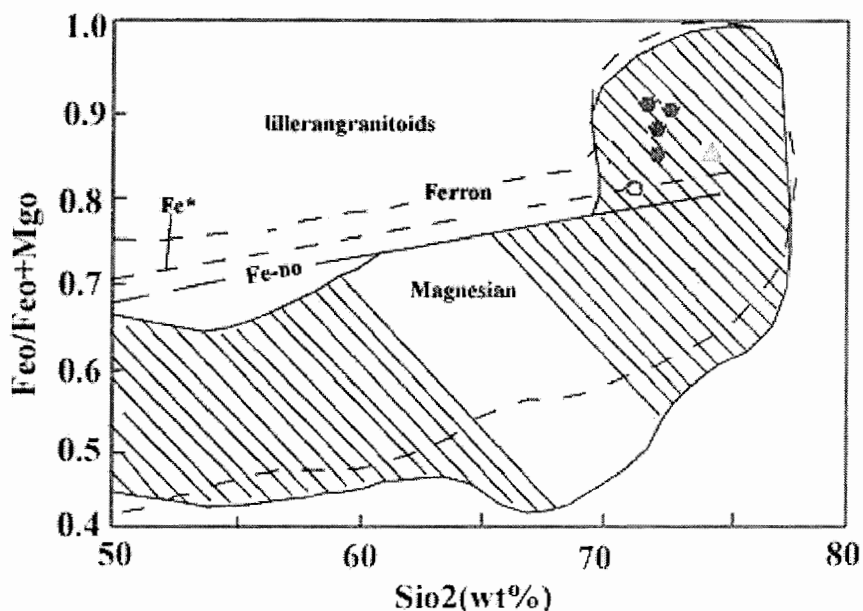


شکل ۴-۷- دیاگرام مجموع درصد وزنی آلکالان ($\text{Na}_2\text{O}+\text{K}_2\text{O}$) در مقابل درصد وزنی SiO_2 (ویلسون، ۱۹۸۹) و موقعیت نمونه‌های مورد مطالعه بر روی آن (تمام علائم شبیه شکل ۴-۱ است).

- طبقه‌بندی فروست و همکاران (۲۰۰۱)

فروست و همکاران (۲۰۰۱) با توجه به دیاگرام‌های قبلی یک تقسیم‌بندی جدیدی را بر پایهٔ پارامتر عدد آهن ارائه نمودند.

مقدار این پارامتر از فرمول $Fe^* = FeO/(FeO + MgO)$ محاسبه می‌گردد. این پارامتر در محور قائم و درصد سیلیس در محور افقی قرار می‌گیرد و بر اساس این نمودار سنگ‌های گرانیتوئیدی به دو دسته آهن‌دار و منیزیم‌دار طبقه‌بندی می‌شوند. نمونه‌های مورد مطالعه در محدوده گرانیتوئیدهای آهن‌دار واقع می‌شوند (شکل ۴-۸).



شکل ۴-۸- نمودار فروست و همکاران (۲۰۰۱)، به موقعیت نمونه‌های مورد مطالعه توجه نمائید.
تمام علائم شبیه شکل ۱-۴ است.

۴-۵- استفاده از نتایج تجزیه‌های شیمیایی نمونه‌های مورد مطالعه برای بررسی روندهای

تغییرات آنها

دیاگرامهای تغییرات شیمیایی ابزارهای سودمندی هستند که به سادگی اختلافات و روندهای تغییرات ترکیب شیمیایی موجود در سنگها را که ناشی از تبلور، ذوب بخشی و تحولات ماقمایی است، نشان می‌دهند.

از مهمترین این دیاگرامها می‌توان به دیاگرامهای درصد اکسید Al_2O_3 درصد سیلیس(هارکر^۱، ۱۹۰۹)، درصد اکسید - ضرب تفریق(Thornton و Tuttle^۲، ۱۹۶۰) و درصد اکسید - ضرب انجاماد(Kuno^۳، ۱۹۵۹) اشاره نمود. در محور X این نمودارها باید اکسید عنصری بکار رود که دارای دامنه تغییرات زیادی باشد و یا یک فرایند خاص ژئوشیمیایی را نمایش دهد. در اغلب موارد این اکسید SiO_2 است، اما در سنگ‌های بازیک MgO و در رسوبات رس‌دار Al_2O_3 نیز بکار می‌رود.

با توجه به روند تغییرات می‌توان به فرایندهای ذوب بخشی، تبلور تفریقی، اختلاط ماقمایی و بالاخره آلودگی پوسته‌ای دست یافت (Wilson^۴، ۱۹۸۹).

نشان دادن روند معین و تغییرات تدریجی مبین خویشاوندی احتمالی بین سنگ‌های مورد مطالعه می‌باشد ولی عدم پیوستگی نقاط در نمودارها و انقطاع روندها می‌تواند نشانه عدم خویشاوندی بین آنها باشد.

نمودار درصد اکسید - درصد سیلیس(هارکر، ۱۹۰۹)

با توجه به روندهای موجود در آن می‌توان به فرایندها و تحولاتی نظیر ذوب بخشی، تبلور تفریقی، اختلاط ماقمایی، آلایش پوسته‌ای، فرایند هضم و تبلور همزمان(AFC) که در تشکیل یا تبلور ماقمایها دخیل هستند، پی بردن(Wilson، ۱۹۸۹).

1- Harker

2- Thornton & Tuttle

3- Kuno

4- Wilson

حال تغییرات هر کدام از اکسیدهای اصلی نمونه‌های مورد مطالعه در مقابل SiO_2 را شرح می-دهیم(شکل ۹-۴).

SiO_2 در مقابل Al_2O_3

همانگونه که در دیاگرام مشخص است با افزایش SiO_2 مقدار Al_2O_3 کاهش می‌یابد، این امر با کاهش پلازیوکلازها و گرایش کانیهای روشن به سمت تشکیل فلدسپارهای سدیک و پتاسیک سازگار است. همچنین قابل ذکر است میزان این اکسید طی تبلور ماغما در مایع باقیمانده کاهش می‌یابد که ناشی از تبلور پلازیوکلازها می‌باشد.

SiO_2 در مقابل FeO_t

نمودار تغییرات FeO_t در برابر SiO_2 روندی تقریباً نزولی نشان می‌دهد که این با تشکیل کانی-های فرومیزین در جریان تبلور ماغما قابل توجیه می‌باشد.

SiO_2 در مقابل CaO

روندهای تغییرات این اکسید نزولی است این امر به دلیل مشارکت آن در ساختمان پلازیوکلازها و کاهش مقدارش در جریان عمل تفریق می‌باشد.

SiO_2 در مقابل MgO

روندهای تغییرات این اکسید مشابه CaO نزولی است این امر به دلیل مشارکت این اکسید در ساختمان کانی‌هایی چون آمفیبول و بیوتیت است.

SiO_2 در مقابل Na_2O

با افزایش SiO_2 مقدار Na_2O افزایش اندکی را نشان می‌دهد. این پدیده با حضور فلدسپاتهای سدی - پتاسیک و پلازیوکلازهای سدیک سازگار است. این اکسید در مراحل ابتدایی تفریق ماغمایی به مقدار کم در ساختمان پلازیوکلازها وارد می‌شود، بنابراین در جریان تفریق مقدار آن در ماغمای باقیمانده افزایش می‌یابد.

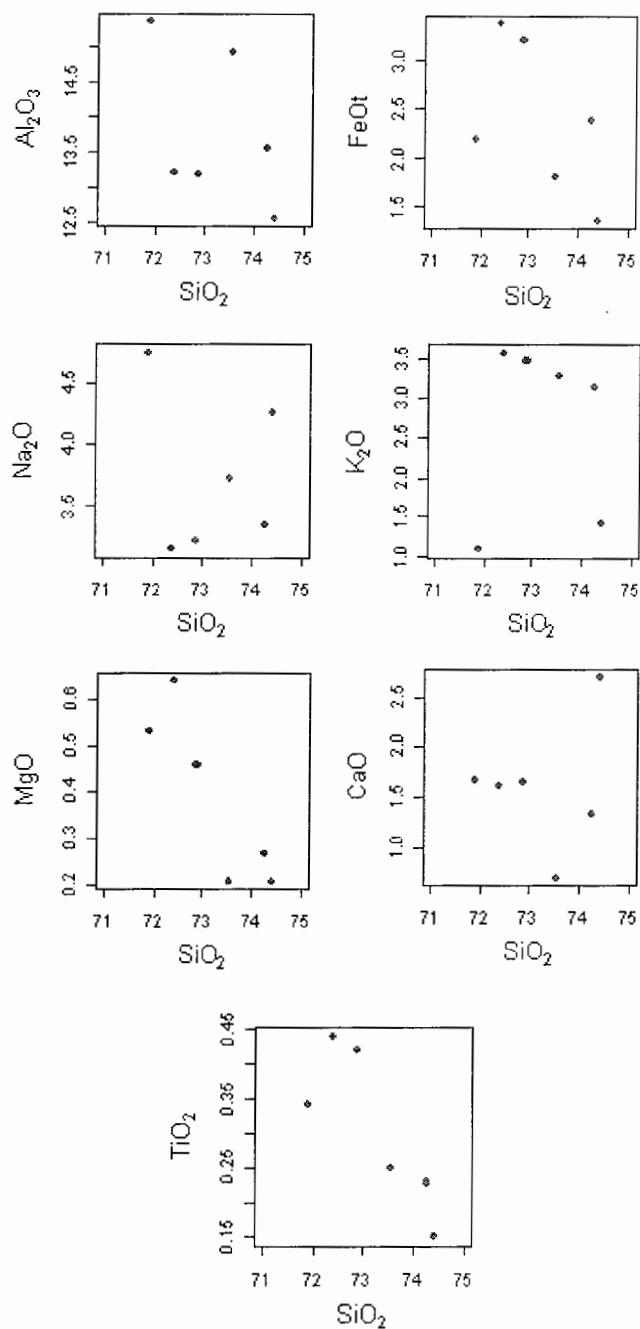
SiO_2 در مقابل K_2O

روندهای تغییرات این اکسید نزولی است که با روند عادی تفریق ماغمایی ناسازگار است که این امر می‌تواند به دلیل تأثیرات دگرسانی هیدروترمال فلدسپاتها و هوازدگی نمونه‌های سنگی باشد(اپیو و

همکاران، ۲۰۰۰)، ولی در قسمتی پراکندگی دارد که این پراکندگی می‌تواند ناشی از مقدادیر متغیر بیوتیت و فلدوپاتهای آلکالن سنگها باشد.

SiO₂ در مقابل TiO₂

روند کاهشی محسوسی در مقدار TiO₂ مشاهده می‌شود.



شکل ۴-۹- نمودارهای تغییرات اکسیدهای عناصر اصلی در برابر سیلیس.

۶-۴- استفاده از عناصر کمیاب در بررسی روندهای تحولات توده نفوذی

عنصر کمیاب عنصری است که غلظت آن در سنگ کمتر از ۱٪ ppm یا کمتر از ۱۰۰۰ باشد. مطالعات عناصر کمیاب بخش اصلی از پترولوزی مدرن بوده و نسبت به عناصر اصلی کارایی بهتری در متمایز کردن فرآیند پترولوزی دارند. عناصر کمیاب را اغلب به صورت گروهی مطالعه کرده و تغییر در رفتار اعضای گروه و یا تغییرات سیستماتیک در رفتار عناصر یک گروه را به عنوان شاخص فرآیندهای پترولوزی به کار می‌برند (رولینسون، ۱۹۹۳).

عناصر کمیاب به ندرت کانی خاصی را تشکیل می‌دهند و غالباً جانشین عناصر اصلی در شبکه بلورها می‌شوند. یک عنصر کمیاب به یکی از سه حالت زیر می‌تواند جانشین یک عنصر اصلی در شبکه بلوری گردد (میسون، ۱۹۸۲).

- وقتی که یک عنصر کمیاب دارای بار الکتریکی مساوی و شعاع یونی نزدیک به عنصر اصلی باشد، معمولاً می‌گوییم که این عنصر کمیاب در شبکه بلوری دارنده عنصر اصلی، استثمار شده است. مثلًاً گالیوم در کانیهای آلومینیوم دار.

- اگر یک عنصر کمیاب دارای شعاع یونی مشابه و بار الکتریکی بزرگتر از عنصر اصلی باشد (یا بار یکسان اما شعاع کوچکتر) می‌گوییم که این عنصر در شبکه بلوری دربردارنده عنصر اصلی، تسخیر شده است. مانند جانشینی باریم به جای پتابسیم در سیلیکاتهای پتابسیم دار.

- اگر یک عنصر کمیاب دارای شعاع یونی مشابه اما بار الکتریکی کوچکتر از عنصر اصلی باشد (یا بار مشابه اما شعاع بزرگتر) می‌گوییم این عنصر در شبکه بلوری در بر دارنده عنصر اصلی، پذیرفته شده است. مانند روپیدیم در کانیهای پتابسیم دار.

در این قسمت ابتدا روند تغییرات تعدادی از عناصر کمیاب در نمونه‌های مورد مطالعه را در دیاگرام‌های ذوب و تفریق مورد بررسی قرار می‌دهیم. سپس روند تغییرات تعدادی از عناصر سازگار نسبت به هم و نسبت به عناصر سازگار حاصل از تجزیه شیمیایی نمونه‌های منطقه مورد مطالعه با همدیگر مورد بررسی قرار می‌دهیم (شکل ۴-۱۰).

الف- مقایسه بین پدیده‌های تبلور تفریقی و ذوب بخشی در توده گرانیتی

عناصر کمیاب، Sr، Rb و Ba قابل استفاده‌ترین عناصر کمیاب برای ارزیابی پدیده تبلور تفریقی در گرانیتوئیدها هستند. زیرا رفتار این عناصر در این سنگ‌ها شدیداً وابسته به فازهای کانیایی اصلی همچون فلدسپاتها و میکاهاست (Niva¹ و همکاران، ۱۹۸۷).

غلهطت عناصر سازگار در هنگام تفریق بلوری شدیداً تغییر می‌کند. در صورتی که عناصر ناسازگار، از نظر غلهطت در هنگام ذوب بخشی بیشتر دچار تغییر می‌شوند (Rolinsson، ۱۹۴۹).

در اینجا برای مقایسه پدیده ذوب بخشی با تفریق بلوری از نمودار Y در مقابل Zr استفاده کرده-

ایم.

- نمودار Y در مقابل Zr

در این نمودار که از میزان Y در برابر Zr (عبدال... و همکاران²، ۱۹۹۷) استفاده شده است. دو محدوده مربوط به ذوب بخشی (P.M) و تفریق بلوری (F.C) از هم تفکیک شده‌اند. نمونه‌های گرانیتوئیدی منطقه در محدوده تفریق بلوری واقع شده‌اند و به دلیل اینکه Zr یک عنصر شدیداً ناسازگار است، بنابراین تا مراحل انتهایی تفریق مagmaی در بخش مایع باقی می‌ماند و در گرانیت‌های آلکالن بسیار غنی شده‌تر است (شکل ۱۰-۴). روند تغییرات نمونه‌های گرانیتی منطقه بیشتر با امتداد مربوط به پدیده تبلور تفریقی هماهنگ است.

نمودارهای تغییرات عناصر کمیاب در برابر یکدیگر

تحرک عناصر کمیاب توسط تغییرات کانی شناسی که در طی دگرسانی صورت می‌گیرد و ماهیت فاز سیال کنترل می‌شود (Rolinsson، ۱۹۹۳). عناصر کمیابی مانند Zr, Ba, Sr, Rb, K, Th عناصر کمیابی مانند Zn, Cu, Ni, Co, V, Cr سازگار می‌باشند. فلزات واسطه REE, Ta, Nb, Hf, Zr, Th, Y HFS مانند Ba, Rb, Sr متحرک‌کنند. البته در صورتی که ارائه گردید، ممکن است یک سری استثنایات نیز وجود

داشته باشد. این موضوع در مورد عناصر REE که معمولاً غیرمتحرک درنظر گرفته می‌شوند صادق است. هامفریز^۱ (۱۹۸۴) نشان داد که رابطه ساده‌ای بین درجه تحرک REE و نوع سنگ یا درجه دگرگونی وجود ندارد و تایید کرد که مهمترین عوامل کنترل کننده تحرک این عناصر، کانی‌شناسی سنگ و ماهیت فاز سیال است.

(زیرکونیوم) Zr

این عنصر با عدد اتمی ۴۰، عنصری لیتوفیل و کم تحرک است که کانی مستقل تشکیل می‌دهد(کانی زیرکن). زیرکونیوم عنصری ناسازگار بوده و به شدت وارد مذاب سیلیکاته می‌گردد، در سیال آبکی نسبتاً غیر متحرک است و از اینرو می‌تواند اطلاعاتی در مورد منشأ گوشه ارائه دهد(کارن و پبل، ۲۰۰۰).

زیرکونیوم در محصولات نهایی تفرق ماقمایی به وفور یافت می‌شود زیرا غلظت اولیه زیرکونیوم در ماقما معمولاً کمتر از مقدار مورد نیاز برای اشباع شدن آن است. میانگین مقدار این عنصر در سنگ‌های اولترامافیک ppm ۴۵، در سنگ‌های مافیک ppm ۱۴۰ و در گرانیتها ppm ۱۷۵ می‌باشد. مقدار زیرکونیوم معمولاً با پیشرفت روند تفرق افزایش می‌یابد.

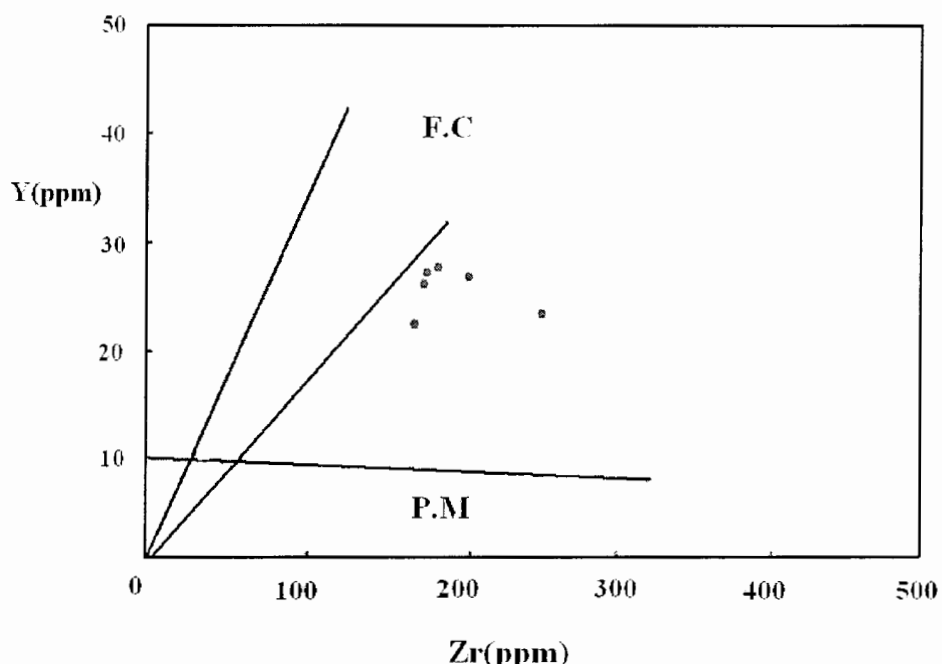
اما در نمونه‌های منطقه مورد مطالعه مقدار زیرکن همراه با افزایش SiO_2 یا ضریب تفرق کاهش می‌یابد(شکل ۱۱-۴).

(باریم) Ba

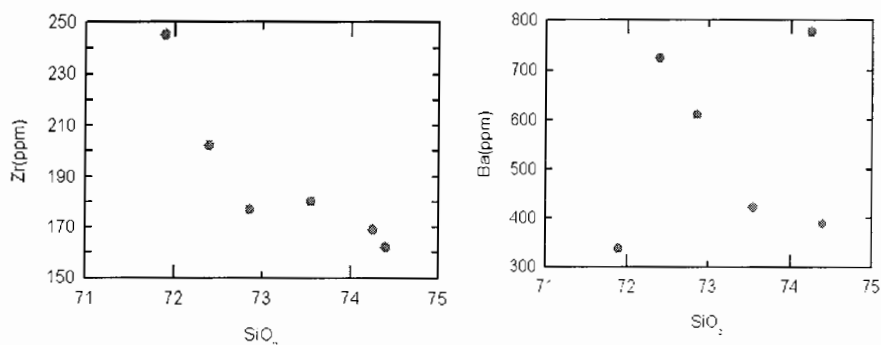
این عنصر هم با عدد اتمی ۵۶ عنصری لیتوفیل است که در سنگ‌های آذرین کانی مستقلی تشکیل نمی‌دهد. پتانسیم تنها عنصر دارای اندازه یونی قابل مقایسه با باریم است، بنابراین باریم بیشتر در بیوتیت و پتانسیم فلدسپارها یافت می‌شود. باریم نسبت به اکثر کانیهایی که ابتدا متبلور می‌شوند، ناسازگار است ولی نسبت به پتانسیم فلدسپار عنصری سازگار است و همانطور که باریم وارد این کانی می‌شود، مقدار آن کاهش می‌یابد(اهارا و همکاران، ۲۰۰۰). میانگین مقدار باریم در سنگ‌های اولترامافیک ppm ۰/۴، در سنگ‌های مافیک ppm ۳۳۰ و در گرانیتها ppm ۸۴۰ می‌باشد. باریم به

خاطر بار بیشتر باید در ترکیبات پتاسیم به صورت عنصری اسیر یا گرفتار شده حضور داشته باشد. این عنصر بجای کلسیم با شاعع یونی ($1/0.8A$) و بار الکتریکی مشابه در ساختمان پلازیوکلазها به صورت عنصری پذیرفته شده، جانشین می‌شود. باریم در شبکه سیلیکاتهای حرارت بالا شرکت نمی‌کند و بنابراین مقدار آن همواره در طی تفریق ماقمایی افزایش می‌یابد و به همراه پتاسیم در فازهای پایانی وارد ساختمان فلدسپاتهای آلکالن و بیوتیت می‌شود و یا در فازهای هیدروترمالی به صورت رگه و رگچه‌های باریت ظاهر می‌شود.

در نمودار SiO_2 - Ba - Y نمونه‌های منطقه مورد مطالعه با افزایش SiO_2 و ضریب تفریق مقدار باریم کاهش می‌یابد(شکل ۱۱-۴) که این با روند تفریق سازگار نیست.



شکل ۱۱-۴ - نمودار Zr/Y (اقتباس از عبدالله و همکاران (۲۰۰۱) (F.C: Fractional crystallisation & P.M: Partial melting)



شکل ۱۱-۴- نمودار تغییرات بعضی از عناصر کمیاب نسبت به سیلیس

۷-۴- پترولوزی

بعد از بررسی ژئوشیمی نمونه‌های مورد مطالعه در این بخش ابتدا نوع و سری ماقمای سازنده سنگ‌های این منطقه و سپس درجه اشباع از آلومین آنها را مورد بررسی قرار می‌دهیم.

۷-۱- سری ماقمایی

در ابتدا به نظر می‌رسید که تنها دو سری تولئیتی و آلکالن وجود دارد اما امروزه مشخص گردیده که پنج سری ماقمایی قابل تشخیص است:

۱- سری تولئیتی ۲- سری کالکوآلکالن ۳- سری آلکالن ۴- سری شوشونیتی ۵- سری تحولی

قابل توجه اینکه دو سری آخری در سری آلکالن نهفته هستند. برای نشان دادن این سری‌ها دیاگرامهای مختلفی توسط پترولوزیستها ارائه شده است، با استفاده از این دیاگرامها می‌توان ماقمای سازنده سنگ‌های منطقه مورد مطالعه را مشخص نمود. جهت تعیین سری ماقمایی توده نفوذی منطقه از نمودارهای مختلفی استفاده شده است. این نمودارها شامل نمودار مجموع آلکالن به سیلیس و نمودار مثلثی AFM (ایروین و باراگار^۱، ۱۹۷۱، ۱۹۷۴) و نمودار $K_2O - SiO_2 -$ لومتر و ریکوود، و نمودار مثلثی AFM (۱۹۸۹) است.

الف) دیاگرام مجموع آلکالن در مقابل سیلیس(ایروین و باراگار، ۱۹۷۱)

این نمودار برای تفکیک سری‌های مagmaی ساب آلکالن از سری‌های آلکالن به کار می‌رود. در این نمودار مقادیر $\text{Na}_2\text{O} + \text{K}_2\text{O}$ در محور قائم و درصد سیلیس بر روی محور افقی قرار گرفته است. مطابق این دیاگرام(شکل ۱۲-۴ الف) نمونه‌های مورد مطالعه در محدوده ساب آلکالن واقع شده‌اند. سنگ‌های ساب آلکالن، سیلیس بیشتری نسبت به سنگ‌های آلکالن دارند و فلدوپاتوئید در آنها وجود ندارد.

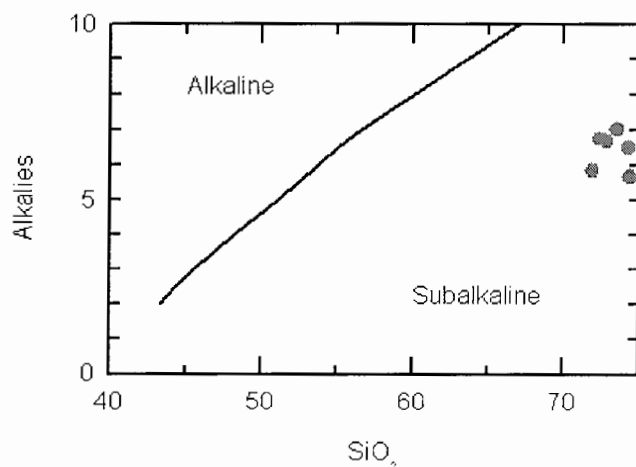
ب) دیاگرام AFM(ایروین و باراگار، ۱۹۷۴)

این نمودار، تغییرات مقدار آهن مagma را در طول تفریق نشان می‌دهد. و از آن، جهت تفکیک سری تولئیتی از سری کالکوآلکالن استفاده می‌شود. در نمودار مثلثی AFM رئوس آن با Na_2O , $\text{M} = \text{MgO} + \text{K}_2\text{O}$, $\text{F} = \text{FeO} + \text{Fe}_2\text{O}_3$ مطابقت می‌کند.

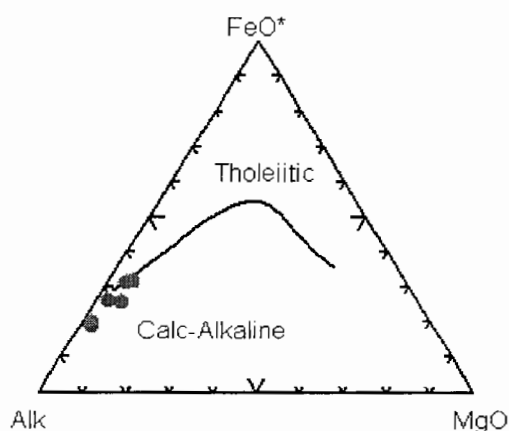
براساس این نمودار(شکل ۱۲-۴ - ب) تمام نمونه‌های مورد مطالعه در محدوده کالکآلکالن واقع شده‌اند. این مسئله مبین بالا بودن فشار بخشی اکسیژن در هنگام تفریق magma می‌باشد که وجود کانی‌های تیره مانند مگنتیت، این مسئله را تایید می‌کند.

ج) نمودار $\text{K}_2\text{O} - \text{SiO}_2 - \text{Al}_2\text{O}_3$ (لومتر و ریکوود، ۱۹۸۹)

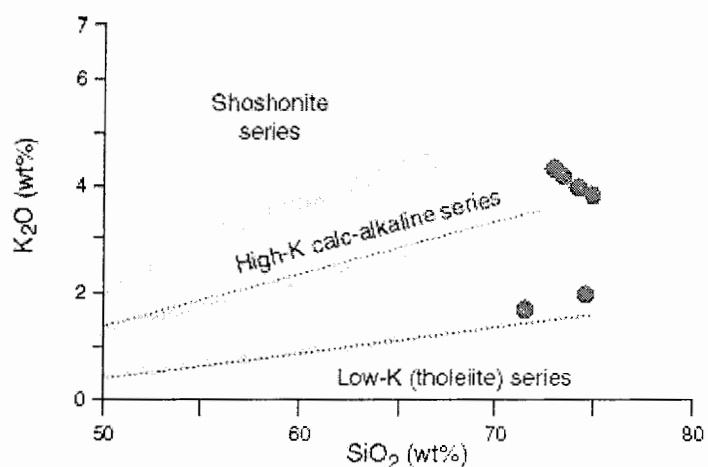
در این نمودار ۴ سری شوشنیتی، کالکوآلکالن با پتاسیم بالا، کالکوآلکالن (پتاسیم متوسط) و سری تولئیتی (پتاسیم پایین) از یکدیگر متمایز شده‌اند. با توجه به شکل (۱۲-۴ - ج)، نمونه‌های منطقه مورد مطالعه، به طور عمده در محدوده سری کالکوآلکالن با پتاسیم بالا قرار گرفته‌اند. زیرا مقادیر K_2O سنگ‌های آذرین منطقه بالا می‌باشد.



الف



ب



ج

۷۹

- شکل ۴-۱۲- نمودارهای تعیین سری ماقمایی سنگهای گرانیتی منطقه فریمان.
- شکل الف- نمودار تعیین سری ماقمایی سنگهای آذرین و موقعیت نمونه‌ها بر روی آن.
- شکل ب- نمودار AFM ویلسون(۱۹۸۹) و موقعیت نمونه های مورد مطالعه بر روی آن.
- شکل ج- نمودار K₂O – SiO₂ ریکوود(۱۹۸۹) و موقعیت نمونه های مورد مطالعه بر روی آن.

با توجه به دیاگرامهای فوق نمونه‌های مورد مطالعه در محدوده گرانیتهای کالک‌آلکالن واقع می-

شوند. این نوع گرانیتها در محیطهای تکتونیکی زیر یافت می‌شوند:

در مناطق در حال فرورانش که از آن جمله می‌توان به فرورانش بین یک پوسته اقیانوسی و یک پوسته قاره‌ای اشاره کرد، حاشیه جوان قاره‌ها و نوارهای کوه‌زایی قدیمی نیز از جمله این محیطها است. با توجه به سن توده نفوذی مورد نظر(پرکامبرین) و موقعیت زمین‌ساختی ایران در آن زمان، و ویژگیهای ژئوشیمیایی ارائه شده در ارتباط با این توده و توده‌های مشابه آن، آنها حاصل ماقماتیسمی هستند که در یک منطقه فرورانش به وقوع پیوسته است.

۴-۷-۲- درجه اشباع از آلومین(ASI)

سنگهای آذرین را از نظر درجه اشباع از آلومین به چهار گروه پرآلومین، متاآلومین، پرآلکالن(شاند^۱، ۱۹۵۱) و ساب آلومین(هایندمن^۲، ۱۹۸۵) تقسیم می‌نمایند. مبنای این طبقه‌بندی بر اساس مقادیر مولکولی CaO, K₂O, Na₂O, Al₂O₃ استوار بوده و به شرح زیر است:

- پر آلومین O_{Al₂O₃>CaO+Na₂O+K₂O}^۳(۱۹۸۱) به دو گروه پر آلومین نرمال(A/CNK<۱/۲) و هیپرآلومین (A/CNK>۱/۲) تقسیم می‌شوند.

- متا آلومین O_{CaO+Na₂O+K₂O>Al₂O₃}

- ساب آلومین O_{Al₂O₃=Na₂O+K₂O}

- پر آلکالن O_{Al₂O₃<Na₂O+K₂O}

بر اساس این رده بندی بیشتر سنگهای منطقه مورد مطالعه در گروه پر آلومین قرار می‌گیرند.

1- Shand
2- Hyndman
3- Clarke

دیاگرامهایی که سنگها را بر اساس درجه اشباع آلومین تفکیک می‌کند در زیر معرفی گردیده‌اند.

- دیاگرام A/CNK-A/NK (مانیار و پیکولی^۱، ۱۹۸۹)

نمودار تغییرات نسبت مولکولی $\text{Al}_2\text{O}_3/\text{CaO}+\text{Na}_2\text{O}+\text{K}_2\text{O}$ در مقابل تغییرات نسبت مولکولی $\text{Al}_2\text{O}_3/\text{Na}_2\text{O}+\text{K}_2\text{O}$ (مانیار و پیکولی، ۱۹۸۹)، یکی از نمودارهایی است که برای تمایز سه محدوده پرآلومین، متاآلومین و پرآلکالن به کاربرده می‌شود. همانطور که در شکل ۴-۱۳-الف مشاهده می‌گردد نمونه‌های مورد مطالعه در محدوده پرآلومین قرار می‌گیرند.

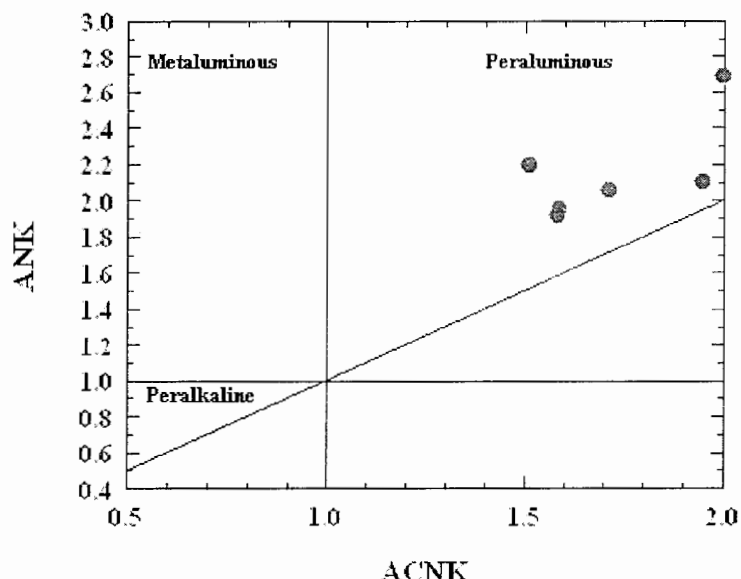
- دیاگرام A/CNK-SiO₂ (عبدالرحمن، ۱۹۹۰)

نمودار تغییرات مولکولی $(\text{Na}_2\text{O} + \text{K}_2\text{O} + \text{CaO}) / \text{Al}_2\text{O}_3$ در مقابل درصد وزنی SiO₂ (اقتباس از عبدالرحمن، ۱۹۹۰) نیز برای تمایز سنگهای متاآلومین از پرآلومین به کاربرده شده است. همانطور که در شکل ۴-۱۳-ب مشاهده می‌گردد نمونه‌ها در محدوده پرآلومین قرار می‌گیرند.

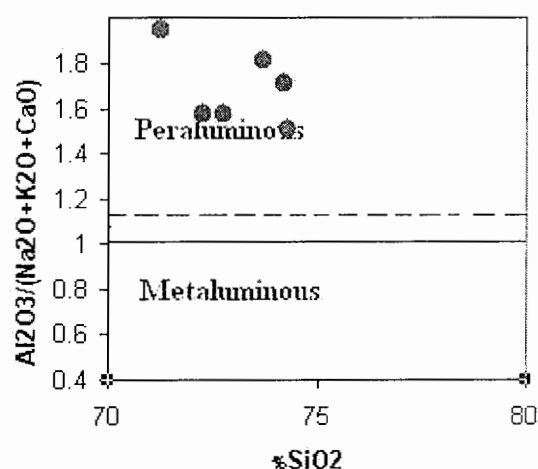
- دیاگرام A/CNK-SiO₂ (وایت و چپل^۲، ۱۹۷۴)

در این نمودار نسبت مولکولی $\text{Al}_2\text{O}_3/\text{CaO}+\text{Na}_2\text{O}+\text{K}_2\text{O}$ در برابر درصد وزنی SiO₂ رسم شده است. تمام نمونه‌های مورد مطالعه در این دیاگرام در محدوده پرآلومین قرار می‌گیرند (شکل ۴-۱۳-ج).

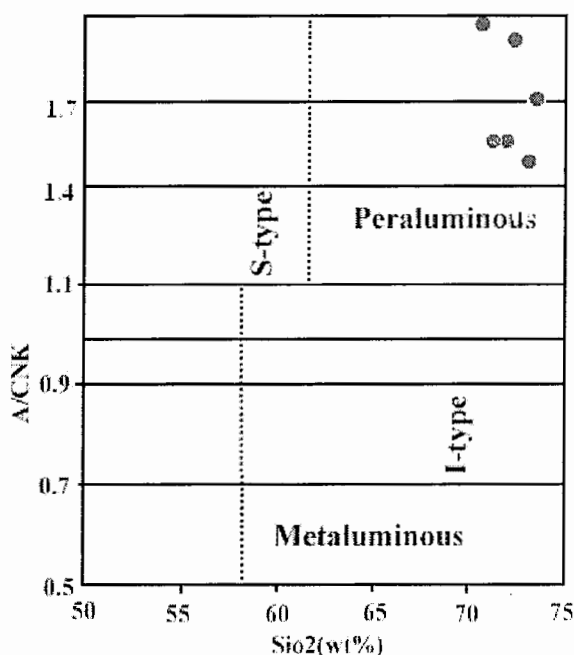
1- Maniar & Piccol
2- White & Chappell



شکل الف



شکل ب



شکل ج

شکل ۴-۱۳-نمودارهای تعیین درجه اشباع آلومین (ASI) سنگهای آذرین منطقه مورد مطالعه شکل الف-نمودار A/CNK-A/NK مانیار و پیکولی (۱۹۸۹) جهت تعیین درجه اشباع از آلومین سنگهای آذرین منطقه مورد مطالعه.

شکل ب-نمودار A/CNK-SiO₂ عبدالرحمن (۱۹۹۰) جهت تعیین درجه اشباع از آلومین سنگهای آذرین منطقه مورد مطالعه.

شکل ج-نمودار A/CNK-SiO₂ وايت و چپل (۱۹۷۴) جهت تعیین درجه اشباع از آلومین سنگهای آذرین منطقه مورد مطالعه.

۴-۸-پتروژنز سنگهای گرانیتی

به طور کلی سنگ‌های گرانیتی می‌توانند منشاً متفاوتی داشته و مagma‌های مادر آنها نیز در محیط‌های تکتونیکی مختلفی به وجود آمده باشد. در این بخش خاستگاه magma‌های و جایگاه تکتونیکی سنگ‌های منطقه، مورد بحث و بررسی قرار خواهد گرفت. در بخش خاستگاه magma‌های به منشاء سنگ‌های گرانیتی‌بودی و در بخش جایگاه تکتونیکی به جایگاه تشکیل و قرارگیری توده نفوذی گرانیتی در موقعیت‌های مختلف صفحات تکتونیکی پرداخته شده است.

۴-۸-۱- خاستگاه ماقمایی سنگهای گرانیتیوئیدی منطقه

رده بندیهای مختلفی در مورد منشأ گرانیت‌ها ارائه شده است. رید^۱ در سال ۱۹۵۷ به منشاء گوشه‌ای بعضی از گرانیتها پی برد. در سال ۱۹۷۴ چاپل و وايت پس از مطالعه با تولیتهای گرانیتی بزرگ کمریند کوهزایی تاسمانی در شرق استرالیا، گرانیتها را از نظر منشاء به دو دسته S و I تقسیم-بندی کردند. ولی از آنجا که رده بندی گرانیتها به انواع S (حاصل ذوب سنگ‌های پوسته قاره‌ای) و I (حاصل ذوب پوسته اقیانوسی یا تفريق ماقمای بازیکی مشتق شده از گوشه) (چاپل و وايت، ۱۹۷۴) جامع‌تر از سایر تقسیم‌بندیها می‌باشد در اینجا گرانیتهای منطقه مورد مطالعه بر اساس این نوع طبقه‌بندی مورد بحث قرار می‌گیرند.

سنگ‌های گرانیتیوئیدی نوع I (چاپل و وايت، ۱۹۸۸):

دارای نسبت K/Na پایین، کلسیم بالا و حالت اکسیداسیون شدید هستند. بنابراین مگنتیت در آنها فراوان می‌باشد. گردهمایی کانیایی در آنها شامل بیوتیت قرمز یا قهوه‌ای، هورنبلند (با انکلوزیون‌های آپاتیت)، تیتانیت، آلانیت و گاهی ایلمنیت می‌باشد. اکثر اوقات متالومینوس و تا کمی ضعیف پرآلومینوس هستند. در آنها فلدوپارپاتاسیم به رنگ صورتی هستند.

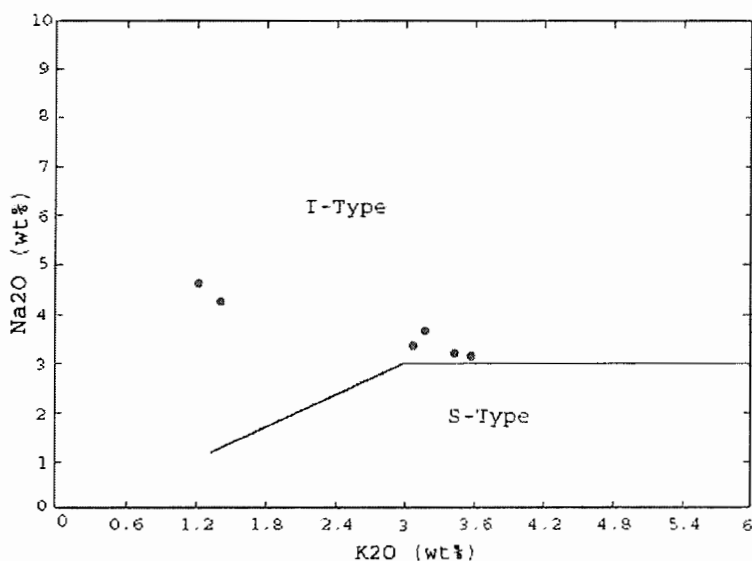
سنگ‌های گرانیتیوئیدی نوع S (چاپل و وايت، ۱۹۸۸):

دارای نسبت K/Na بالا، کلسیم، استرانسیوم و سدیم پایین (به واسطه هوازدگی خارج شده‌اند)، الومینیوم بالا و حالت اکسیداسیون ضعیف هستند. گردهمایی کانیایی در آنها شامل بیوتیت قرمز - قهوه‌ای، مونازیت، تیتانیت، موسکویت و احتمالاً کرديبریت، گارنت و ایلمنیت هستند. پرآلومینوس هستند و توپاز و تورمالین نیز دارند. دارای انکلاوهای پلیتی بوده و کانی‌های دگرگونی در آنها فراوان است.

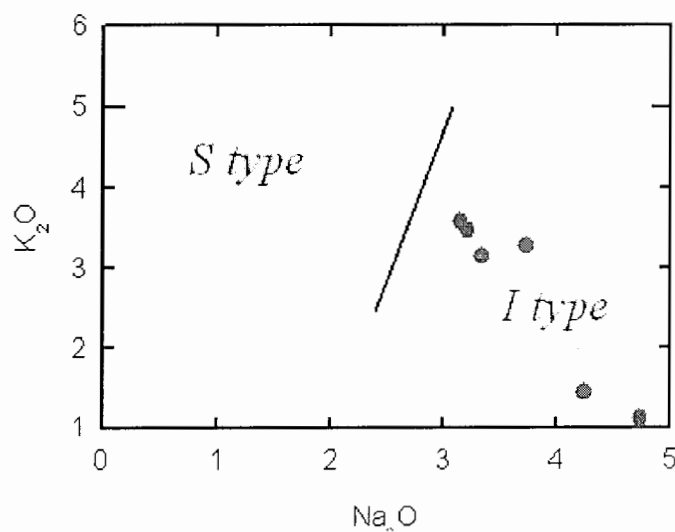
در شکل (۴-۱۴) نمودار چاپل و وايت (۱۹۷۴)، برای تفکیک گرانیتیوئیدهای نوع S و I نشان داده شده است. همان‌طور که در این نمودار مشاهده می‌شود، گرانیتیوئیدهای نوع S از پاتاسیم غنی و از

سدیم فقیر هستند. براساس این نمودار سنگهای منطقه مورد مطالعه، تماماً در محدوده نوع I قرار گرفته‌اند.

بر اساس نمودار Na_2O در برابر K_2O جهت تفکیک گرانیت‌های S و I از چاپل و وايت (۲۰۰۱)، تمام نمونه‌ها در محدوده گرانیت‌های نوع I واقع می‌شوند (شکل ۱۵-۴).



شکل ۱۵-۴ - موقعیت نمونه‌های مورد مطالعه در نمودار درصد وزنی Na_2O در مقابل K_2O برای تمایز گرانیت‌وئیدهای نوع S و I (چاپل و وايت، ۱۹۷۴).



شکل ۱۵-۴ - موقعیت نمونه‌های مورد مطالعه در نمودار درصد وزنی Na_2O در مقابل K_2O برای تمایز گرانیت‌وئیدهای نوع S و I (چاپل و وايت، ۲۰۰۱).

شواهد دال بر نوع I بودن توده های مورد مطالعه

۱- اختصاصات کانی شناسی

حضور کانیهای تیره آمفیبول و بیوتیت در سنگهای متسلکله توده و حضور اسفن.

عدم حضور موسکویت اولیه و کانیهای رستیت از قبیل گارنت و آندالوزیت

۲- اختصاصات ژئوشیمیایی

دامنه تغییرات SiO_2 ۷۱,۹ تا ۷۴,۵ درصد است.

میانگین مقدار $\text{Fe}_{2\text{O}}_3 + \text{FeO} + \text{MgO} + \text{MnO} + \text{TiO}_2$ معادل ۵,۶۷ می باشد که قابل مقایسه با

گرانیت های نوع I می باشد.

مقدار درصد Na_2O بیشتر از ۳,۲ می باشد.

تمامی خصوصیت های گرانیت ها با گرانیت های نوع I مطابقت دارد و تنها نسبت مولکولی $\text{Al}_2\text{O}_3/\text{CaO} + \text{Na}_2\text{O} + \text{K}_2\text{O}$ در این سنگها بالا می باشد و با گرانیت های نوع I مطابقت ندارد که آن هم نمی تواند دلیلی بر منشأ S آنها باشد.

۴- محیط تکتونیکی توده های گرانیتوئیدی

پس از گسترش نظریه تکتونیک ورقه ای، محققان با مطالعه بر روی خصوصیات کانی شناسی، ژئوشیمیایی و شواهد صحرایی به این نتیجه رسیدند که میان توده های گرانیتوئیدی و موقعیت تکتونیکی آنها رابطه خاصی مشاهده می شود. توصیف محیط تکتونیکی گرانیتوئیدها توسط افراد مختلفی مانند پیچر^۱، ۱۹۸۲؛ پیرس^۲ و همکاران، ۱۹۸۴؛ وایلی^۳، ۱۹۸۴؛ ویتنی^۴، ۱۹۸۸؛ مانیار و پیکولی^۵، ۱۹۸۹؛ باربارن^۶، ۱۹۹۰؛ پیرس، ۱۹۹۶) انجام شده و نمودارهای مختلفی بر اساس عناصر اصلی، فرعی و کمیاب ارائه شده است. اما اکثر نمودارهایی که استفاده می شوند بر پایه عناصر کمیاب غیر متحرک بوده و این نمودارها برای سنگهای دگرسان شده و دگرگون شده نیز به کار می روند. به-

1-Peache

2-Pearce

3-Wiley

4-Vitni

5-Barbarn

طور خلاصه، یک نمودار خوب متمایز کننده محیط تکتونیکی، باید با عناصری تشکیل شود که نسبت به فرآیندهای ثانویه غیرحساس بوده و نیز اندازه‌گیری آنها، حتی در سطح غلظت پایین به وسیله روش‌های تجزیه‌ای نسبتاً ساده و سریع، با دقت بالا امکان پذیر باشد (رولینسون، ۱۹۹۳).

قبل از آنکه به بررسی محیط تکتونیکی گرانیتوئیدهای منطقه مورد مطالعه بپردازیم، ابتدا لازم است انواع مختلف گرانیتوئیدها از نظر محیط تکتونیکی معرفی گردند. جدیدترین این تقسیم‌بندی‌ها، توسط پیرس (۱۹۹۶) انجام گرفته است. در این قسمت جایگاه تکتونیکی گرانیتوئیدهای منطقه مورد مطالعه، با استفاده از تقسیم‌بندی مانیار و پیکولی (۱۹۸۹) و باچلور و بودن^۱ (۱۹۸۵) مورد بررسی قرار گرفته است.

۴-۹-۱- تقسیم‌بندی مانیار و پیکولی (۱۹۸۹)

مانیار و پیکولی با استفاده از کانیها و عناصر اصلی نمودارهایی را جهت تعیین محیط تکتونیکی گرانیتها ابداع نمودند.

بر اساس طرح مانیار و پیکولی (۱۹۸۹) گرانیتوئیدها از نظر محیط تکتونیکی به هفت گروه تقسیم می‌شوند که عبارتند از:

- ۱- پلازیوگرانیت‌های اقیانوسی (OP);
- ۲- گرانیتوئیدهای همرا با بالاً‌آمدگی خشکی‌زایی قاره‌ای (CEUG);
- ۳- گرانیتوئیدهای مرتبط با ریفت (RRG);
- ۴- گرانیتوئیدهای جزایر قوسی (IAG);
- ۵- گرانیتوئیدهای قوس قاره‌ای (CAG);
- ۶- گرانیتوئیدهای برخورد قاره‌ای (CCG);
- ۷- گرانیتوئیدهای پس از کوه‌زایی (POG);

در این ردۀ بندی سنگ‌های گرانیتوئیدی را به دو گروه بزرگ کوه‌زایی و غیرکوه‌زایی تقسیم می‌کنند، سه گروه اول از این گرانیتوئیدها را گرانیتوئیدهای غیرکوه‌زایی (A) و چهار گروه بعدی را

گرانیتوئیدهای کوهزایی (O) می‌دانند. مانیار و پیکولی (۱۹۸۹) به جز پلاژیوگرانیتهای اقیانوسی شش گروه دیگر را به صورت زیر گروه بندی می‌کنند.

III CCG+RRG به عنوان گروه I ، CEUG+RRG را در گروه II و POG را در گروه III طبقه بندی می‌کنند.

مشخصات این هفت نوع گرانیت در ادامه آمده است:

الف) گرانیتوئیدهای کوهزایی

► گرانیتوئیدهای جزایر قوسی (IAG)^۱

این نوع گرانیتوئیدها در اثر فرورانش یک صفحه اقیانوسی به زیر صفحه دیگر به وجود می‌آیند و می‌توانند شامل مجموعه سنگی گرانودیوریت، تونالیت، کوارتزدیوریت و مونزودیوریت باشند. براساس شاخص شند سنگهای این گروه به شدت متآلومین ($A/NK > 1/4$) بوده و به سری ماگمای کالکوآلکالن تعلق دارند.

► گرانیتوئیدهای قوس قاره‌ای (CAG)^۲

این نوع سنگها در نتیجه فرورانش یک پوسته اقیانوسی به زیر پوسته قاره‌ای به وجود می‌آیند و می‌توانند شامل مجموعه سنگی گرانیت، گرانودیوریت و تونالیت باشند. سنگهای این گروه به شدت متآلومین بوده و کالکوآلکالن هستند.

► گرانیتوئیدهای حاصل برخورد قاره‌ای (CCG)^۳

این گرانیتوئیدها در طی برخورد دو قاره و هنگام کوهزایی حاصل از این برخورد تشکیل می‌شوند. تنها سنگ تشکیل دهنده این گروه گرانیت است. سنگهای گروه مذکور به شدت پرآلومین بوده ($A/CNK > 1/15$) و کالکوآلکالن هستند.

1- Island Arc Granitoid

2- Continental Arc Granitoid

3-Continental Collision Granitoid

► گرانیتوئیدهای پس از کوهزایی (POG)^۱:

این گرانیتوئیدها در طی مرحله پایانی یک حادثه کوهزایی و عمدتاً پس از خاتمه دگرشکلی‌ها تشکیل می‌شوند. گروه مذکور از نظر زمانی و مکانی با کوهزایی همراه بوده و مرحله انتقالی پایدار شدن پوسته قاره‌ای را پس از کوهزایی نشان می‌دهند (رودگرز و گرین برگ، ۱۹۹۰). سنگهای تشکیل دهنده این گروه گرانیت بوده و به سری کالکوالکالن تعلق دارند.

ب) گرانیتوئیدهای غیرکوهزایی

► گرانیتوئیدهای مرتبط با ریفت (RRG)^۲:

سنگهای این گروه، در طی ایجاد ریفت در پوسته ایجاد می‌شوند و می‌توانند شامل مجموعه سنگی آلکالی گرانیتها، آلکالی کوارتز سینیت و کوارتزمونزونیت باشند. براساس شاخص شند، این گروه پرآلکالن بوده و به سری ماقمایی آلکالن تعلق دارند.

► گرانیتوئیدهای ناشی از بالآمدگی خشکی‌زایی قاره‌ای (CEUG)^۳:

گرانیتوئیدهای این گروه در مناطق قاره‌ای، که مرحله خشکی‌زایی را پشت سرگذاشته یا ریفت ناقصی در آنها پدید آمده، مشاهده شده‌اند. گروه مذکور احتمالاً دراثر فعالیت نقاط داغ به وجودمی‌آیند (مانیار و پیکولی، ۱۹۸۹). سنگهای تشکیل‌دهنده این گروه، شامل گرانیت، آلکالی‌گرانیت، کوارتز-سینیت و آلکالی‌سینیت هستند. براساس شاخص شاند این گروه پرآلکالن بوده و به سری ماقمایی آلکالن تعلق دارند.

► پلاژیوگرانیتوئیدهای اقیانوسی (OP)^۴:

این گرانیتوئیدها عمدتاً در جزایر اقیانوسی و پشته‌های میان اقیانوسی تشکیل می‌شوند، تنها سنگ وابسته به این گروه تونالیت است. گروه مذکور متألومین بوده و به سری ماقمایی کالکوالکالن تعلق دارند.

1-Post - Organic Granitoid

2-Rift Related Granitoid

3-Continental Epriogenic Uplift Granitoid

4- Oceanic Plagiogranites

همچنین بر اساس مطالعه عناصر کمیاب، گرانیتوئیدها از نظر محیط تکتونیکی به چهار گروه تقسیم می شوند (پیرس و همکاران، ۱۹۸۴) که عبارتند از:

- ۱- گرانیتوئیدهای پشته های میان اقیانوسی (ORG)؛
- ۲- گرانیتوئیدهای قوس آتشفسانی (VAG)؛^۱
- ۳- گرانیتوئیدهای داخل ورقه ای (WPG)؛^۲
- ۴- گرانیتوئیدهای مناطق برخوردی (COLG)؛^۳

که هر یک از این گروهها نیز دارای زیر گروههایی می باشند.

نحوه استفاده از نمودارهای توصیفی محیط تکتونیکی بر اساس عناصر اصلی گرانیتوئیدها به قرار

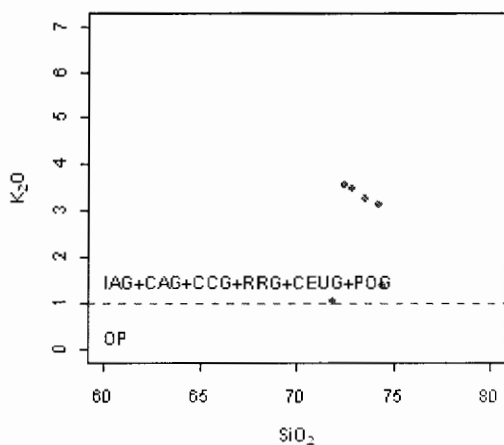
زیر می باشد:

► با استفاده از نمودار درصد وزنی K_2O در مقابل درصد وزنی SiO_2 ، پلازیو گرانیتها اقیانوسی از سایر گرانیتوئیدها جدا می شوند. همان طور که در شکل (۱۶-۴) مشاهده می شود، میزان درصدوزنی K_2O در تمام نمونه های منطقه بالاتر از ۱ بوده و بنابراین در محدوده پلازیو گرانیتوئیدها قرار نمی گیرند.

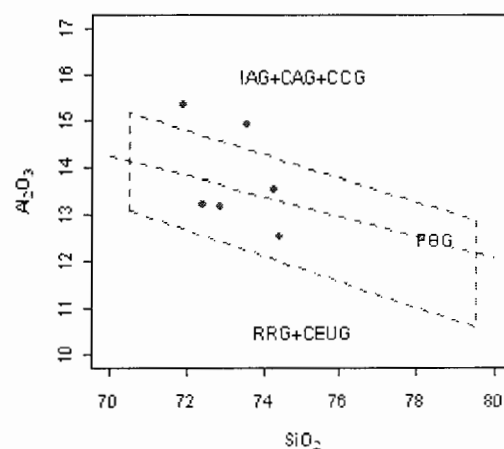
► با استفاده از نمودار درصد وزنی Al_2O_3 در مقابل SiO_2 گرانیتوئیدهای گروه I (CCG+IAG+CAG)، گروه II (GEUG+RRG) و گروه III (POG) از یکدیگر تفکیک می شوند. در این نمودار، گروه I و II محدوده های مجزایی دارند ولی گروه III دارای خصوصیات هر دو محدوده است. همان طور که در شکل (۱۷-۴) مشاهده می شود، این نمودار به خوبی موقعیت تکتونیکی گرانیتوئیدها را مشخص نمی کند.

1- Oceanic Ridge Granitoid
2- Volcanic Arc Granitoid

3-

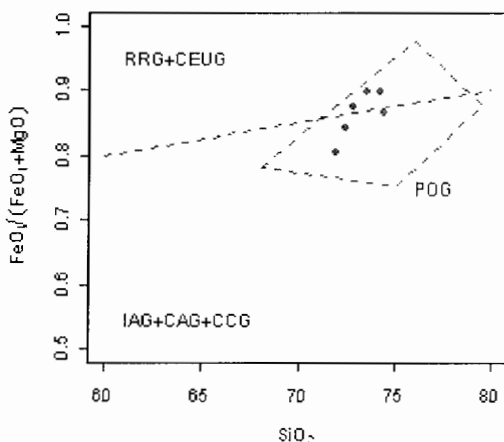


شکل ۴-۱۶ - نمودار تغییرات درصد وزنی K_2O در مقابل SiO_2 برای تفکیک پلازیوگرانیت های اقیانوسی از سایر گرانیتوئیدها (مانیار و پیکولی، ۱۹۸۹)



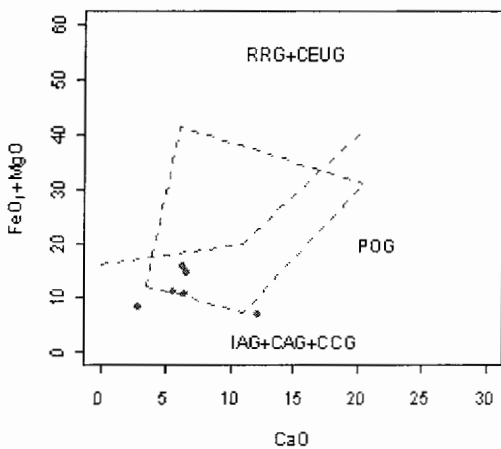
شکل ۴-۱۷ - نمودار Al_2O_3 در مقابل SiO_2 جهت تمایز بین گروههای I، II و III که در آن موقعیت نمونه های مورد مطالعه مشخص است.

در نمودار بعدی درصد وزنی $FeO(T)/[(FeO(T)+MgO)]$ نشان داده شده است (شکل ۴-۱۸). همان طور که ملاحظه می شود این نمودار گرانیتوئیدها را در سه محدوده مجزا کرده است. گرانیتوئیدهای POG که به عنوان گروه III شناخته می شوند محدوده منحصر به فردی را اشغال نمی کنند، بلکه اختصاصات هر دو گروه I و II را نشان می دهند. در این نمودار تمام نمونه ها در محدوده POG (III) قرار گرفته اند.



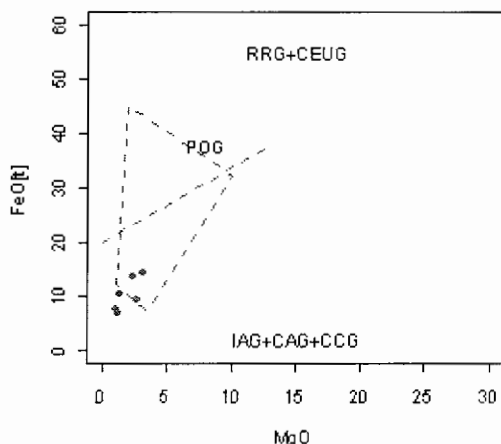
شکل ۴ - ۱۸ - نمودار تغییرات درصد وزنی $[FeO(T)/(FeO(T)+MgO)]$ در مقابل SiO_2 جهت تفکیک گرانیتوئیدهای گروه I، II و III (مانیار و پیکولی، ۱۹۸۹). به موقعیت نمونه های مورد مطالعه توجه کنید.

نمودار ACF یعنی $[Al_2O_3-Na_2O-K_2O]-(CaO)-[MgO+FeO(T)]$ می باشد که به صورت درصد وزنی هستند، برای بکارگیری این نمودار باید سه عضو مذکور را به ۱۰۰٪ برسانیم سپس از دو عضو F و C یعنی CaO و $FeO(T)+MgO$ استفاده کنیم (شکل ۴ - ۱۹). همان گونه که در شکل مشخص است سنگهای منطقه مورد مطالعه در محدوده گروه I (CCG+CAG+IAG) قرار می گیرند.



شکل ۴ - ۱۹ - نمودار تغییرات درصد وزنی $[Al_2O_3-Na_2O-K_2O]-(CaO)-[MgO+FeO(T)]$ جهت تفکیک تکتونیکی گرانیتوئیدها (مانیار و پیکولی، ۱۹۸۹).

➢ نمودار AFM یعنی $[Al_2O_3-Na_2O-K_2O]-(MgO)-[FeO(T)]$ می‌باشد که همگی به صورت درصد وزنی هستند. در اینجا نیز همچون نمودار ACF باید اعضاء سه گانه فوق را به٪ ۱۰۰ برسانیم سپس از دو عضو F و M یعنی MgO و $FeO(T)$ استفاده کنیم(شکل ۴-۲۰). همانگونه که در شکل مشخص است نمونه‌های مورد مطالعه در محدوده گروه I قرار می‌گیرند.



شکل ۴-۲۰ - نمودار تغییرات درصد وزنی $[Al_2O_3-Na_2O-K_2O]-(MgO)-[FeO(T)]$ جهت تفکیک تکتونیکی گرانیتوئیدها (مانیار و پیکولی، ۱۹۸۹).

۴-۹-۲- تقسیم‌بندی باچلور و بودن (۱۹۸۵)

این نمودار که در واقع نمودار کاتیونی است برای تعیین محیط تکتونیکی بسیار مناسب می‌باشد زیرا هم در مورد سنگ‌های نفوذی و هم آتشفسانی می‌تواند کاربرد داشته باشد. باچلور و بودن (۱۹۸۵) با استفاده از دو فاکتور R_1 و R_2 سنگ‌های گرانیتوئیدی را بر حسب محیط تکتونیکی به هفت ردۀ تقسیم کردند.

$$R_1 = 4Si - 11(Na + K) - 2(Fe + Ti)$$

$$R_2 = 6Ca + 2Mg + Al$$

این هفت ردۀ بندی عبارتند از:

۱) گرانیتوئیدهای تفریق یافته گوشته‌ای

۲) گرانیتوئیدهای قبل از برخورد صفحات

۳) گرانیتوئیدهای بالازدگی بعد از برخورد

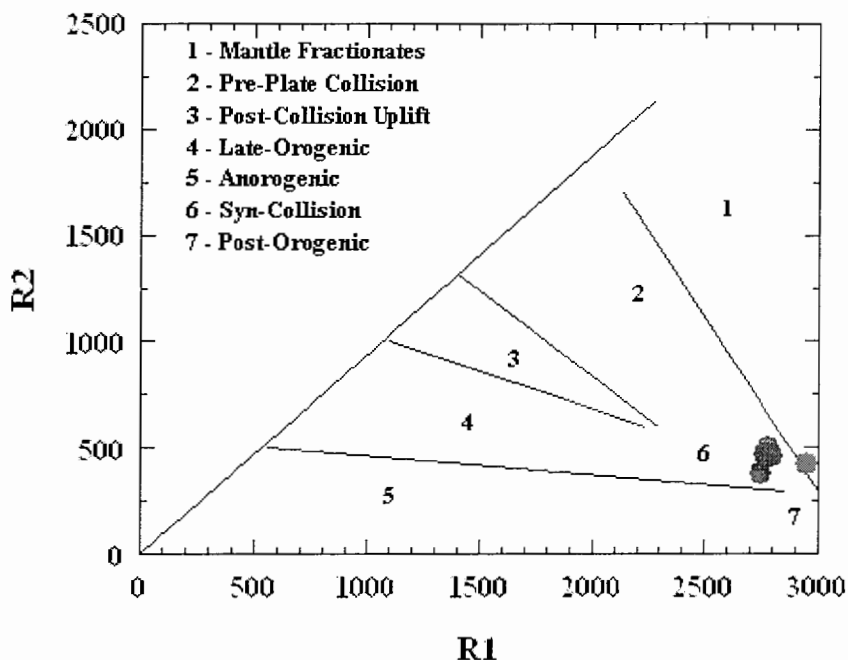
(۴) گرانیتوئیدهای مراحل پایانی کوهزایی

(۵) گرانیتوئیدهای غیرکوهزایی

(۶) گرانیتوئیدهای همزمان با برخورد

(۷) گرانیتوئیدهای بعداز کوهزایی

شکل (۲۱-۴) نمودار $R_1 - R_2$ با چلور و بودن را نشان می‌دهد. طبق این نمودار سنگهای گرانیتوئیدی منطقه مورد مطالعه عمدتاً در رده گرانیتوئیدهای همزمان با برخورد صفحات قرار می‌گیرند.

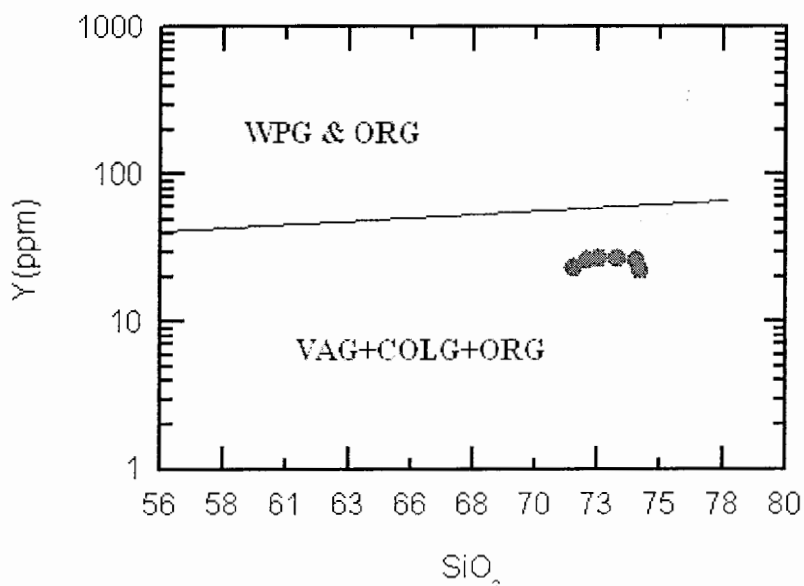


شکل ۴-۲۱- موقعیت نمونه‌های مورد مطالعه در نمودار R_1-R_2 برای تمایز تکتونیکی سنگهای گرانیتوئیدی (با چلور و بودن، ۱۹۸۵).

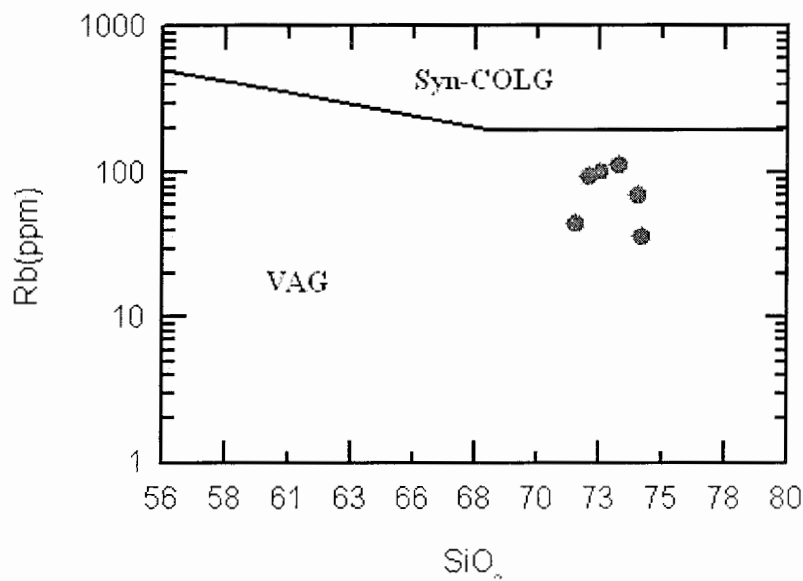
با توجه به تعداد کم نمونه‌ها اگر بپذیریم که نمونه‌های مورد مطالعه در محدوده گروه I قرار می‌گیرند، برای تفکیک هر یک از سه اعضاء سه گانه این گروه می‌توان از نسبت مولکولی $Al_2O_3/CaO+Na_2O+K_2O$ استفاده کرد. چنانچه این نسبت کمتر از ۱,۰۵ باشد توده آذرین مذبور به تعلق دارد و اگر بیش از ۱,۱۵ باشد توده گرانیتوئیدی از نوع CCG خواهد بود و اگر نسبت فوق بین اعداد مذکور باشد دیگر تفکیک امکان پذیر نیست.

در مورد توده گرانیتوئیدی مورد مطالعه این نسبت ۱,۷۲ می‌باشد لذا می‌توان آن را به گروه CCG نسبت داد. البته برای نتیجه گیری نهایی باید به شواهد صحرایی و تکتونیک کلی توجه کرد.

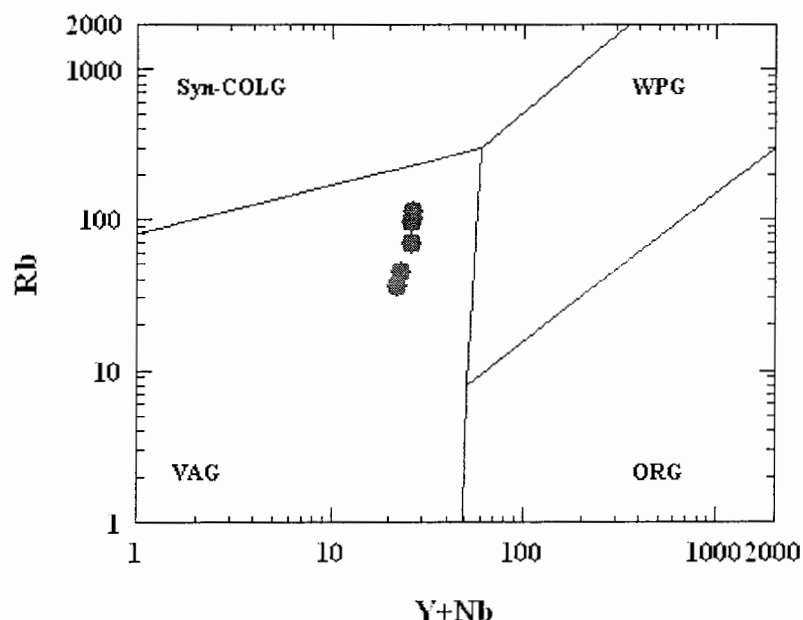
۴-۳-۹-۴- تعیین جایگاه تکتونیکی گرانیتوئیدها با استفاده از نمودارهای عناصر کمیاب
برای تعیین جایگاه تکتونیکی گرانیتوئیدها از نمودارهای عناصر کمیاب نیز استفاده گردید.
در نمودار Y در مقابل SiO_2 گرانیتوئیدهای منطقه مورد مطالعه در محدوده قرار می‌گیرند (شکل ۴-۲۲).
برای تمایز محدوده VAG و COLG از نمودار Rb در مقابل SiO_2 استفاده شده است که بر اساس آن گرانیتوئیدهای منطقه مورد مطالعه در محدوده VAG واقع شده‌اند (شکل ۴-۲۳).
در نمودار Rb در مقابل Y+Nb گرانیتوئیدها باز هم در محدوده VAG قرار می‌گیرند (شکل ۴-۲۴).



شکل ۴-۲۲- نمودار Y در مقابل SiO_2 که در آن موقعیت گرانیتوئیدها مشخص شده است.



شکل ۴ - ۲۳ - نمودار Rb در مقابل SiO_2 که در آن موقعیت گرانیتوئیدها مشخص شده است.



شکل ۴ - ۲۴ - نمودار Rb در مقابل $\text{Y}+\text{Nb}$ برای تمايز محیط تکتونیکی گرانیتوئیدهای منطقه مورد مطالعه (پیرس و همکاران، ۱۹۸۴).

۱۰-۴ - خلاصه

- با توجه به بررسی‌ها و تجزیه و تحلیل آنالیزهای ژئوشیمیابی نمونه‌های گرانیتوئیدی منطقه مورد مطالعه نتایج زیر بدست آمده است:
- ۱- بر اساس دیاگرامهای طبقه‌بندی، نمونه‌های مورد مطالعه در محدوده گرانیت، گرانوودیوریت قرار می‌گیرند.
 - ۲- بررسی روندهای تغییرات اکسیدهای عناصر اصلی در برابر سیلیس، حاکی از افزایش Na_2O و کاهش Al_2O_3 , CaO , Fe_2O_3 , MgO , MnO , TiO_2 می‌باشد. همه این تغییرات بیانگر آن است که تبلور تفریقی در تشکیل و تحول توده نفوذی نقشی اساسی ایفاء نموده است.
 - ۳- تمامی نمونه‌های مورد مطالعه در نمودارهای پترولوزیکی مختلف روند کالک‌آلکالن نشان می-دهند.
 - ۴- تمامی نمونه‌های مورد مطالعه در نمودارهای مختلف تعیین منشأ در محدوده پرآلومین قرار می‌گیرند.
 - ۵- از نظر تقسیم بندی محیطهای تکتونیکی و با توجه به دیاگرامهای ارائه شده و خصوصیات ژئوشیمیابی کلیه نمونه‌های مورد مطالعه، در محدوده گرانیتوئیدهای نوع I واقع می‌شوند.

صلح

پژوهش ای سکهای دگرگونی

فصل پنجم

پتروگرافی سنگهای دگرگونی

۱-۱- مقدمه

مطالعه میکروسکوپی سنگ های دگرگونی منحصر به نامگذاری آنها نیست، بلکه باید به نوع سنگ مادر قبل از دگرگونی، تعیین توالی حواծ دگرگونی، تعیین شرایط فشار و دما و در انتها به نامگذاری سنگ اهمیت داد. در پتروگرافی سنگهای دگرگونی علاوه بر کانی‌ها، فابریک سنگ اهمیت زیادی دارد و در همه تقسیم‌بندی‌ها از پاراژن کانی‌ای و فابریک سنگ استفاده می‌شود. فابریک سنگهای دگرگونی ما را در جریان شرایط فشار و دمای حاکم بر تغییر شکل و تبلور این سنگها قرار می‌دهد و نیز از تاریخچه تکتونیک منطقه آگاه می‌سازد. به علاوه می‌توان در خیلی حالات با توجه به کانی‌های شاخص و فابریک سنگ به شرایط فیزیکی دگرگونی و نوع سنگ مادر پی‌برد.

در این فصل پتروگرافی سنگهای دگرگونی منطقه شرح داده می‌شود، اما قبل از آن به ذکر نکاتی می‌پردازیم که در نامگذاری سنگهای دگرگونی اهمیت دارند.

برای توصیف سنگهای دگرگونی فقط یک ردیبدنی وجود ندارد، بلکه چندین نوع ردیبدنی پیشنهاد شده است. این امر بدین معنی است که کلیه سنگها می‌توانند دارای یک سری نامهای کاملاً صحیح و پذیرفته شده باشند. با این وجود چهار معیار زیر، معیارهای اساسی نامگذاری سنگهای دگرگونی محسوب می‌شوند.

- ۱) ترکیب مودال کانی‌شناسی: کانیهای سازنده سنگهای دگرگونی به صورت زیر رده بندی می‌شوند: ۱- کانی اصلی که بیش از ۵ درصد حجمی باشد و نام آن در جلوی نام سنگ آورده می‌شود. ۲- سازنده فرعی که کمتر از ۵ درصد حجمی است و برای آن از پسوند "دار" (Bearing) استفاده می-

کنیم. ۳- کانی بحرانی و شاخص که معرف شرایط (P-T) تشکیل سنگ است. این کانی می‌تواند معرف ترکیب شیمیایی خاصی از سنگ باشد.

۲) ساخت میکروسکوپی و بافت: رده‌بندی سنگ‌های دگرگونی که بوسیله واژه‌های بافتی صورت می‌گیرد، اساس رده‌بندی اولیه سنگ‌های دگرگونی را تشکیل می‌دهد. مهمترین این واژه‌ها عبارتند از: گنایس، شیست، اسلیت، فیلیت، میلونیت و غیره.

۳) ترکیب و ماهیت سنگ مادر: بعضی از اسامی سنگ‌های دگرگونی می‌تواند به طور مشخصی منعکس کننده ماهیت مواد منشأ (سنگ مادر) آنها باشد. مثالهایی از آن عبارتند از: متاگابرو و ...

۴) اسامی خاص: بعضی از واژه‌های خاص پذیرفته شده، که دارای کاربرد متداولی می‌باشند، عبارتند از: شیست سیز، آمفیولیت، اکلوژیت، گرانولیت و غیره.

در اینجا برای نامگذاری سنگ‌های منطقه مورد مطالعه، از معیارهایی چون سنگ منشأ، کانی-شناسی و بافت سنگ استفاده خواهیم کرد. بدین ترتیب که ابتدا آنها را براساس ماهیت پروتولیت، به گروههای مختلف تقسیم نموده و سپس در هر گروه از بافت و ترکیب کانی‌شناسی، برای نامگذاری جزئی آنها استفاده می‌کنیم. سنگ‌های دگرگونی منطقه مورد مطالعه را بر اساس ماهیت سنگ اولیه می‌توان در چهار گروه جداگانه بررسی نمود که عبارتند از: پلیتی، سمی پلیتی، کربناتی و کوارتز-فلدسباتی. این سنگها از پراکندگی منظمی در منطقه برخوردار نیستند، به همین دلیل بعضی از آنها در مجاورت توده‌های نفوذی رخنمون دارند و علاوه بر دگرگونی ناحیه‌ای تحت تأثیر دگرگونی مجاورتی نیز قرار گرفته‌اند، درحالیکه بعضی دیگر از این سنگها در فواصل دورتری از توده‌های نفوذی رخنمون دارند و کمتر می‌توان تأثیرات دگرگونی مجاورتی را در آنها شاهد بود.

به منظور شناسایی بیشتر کانی‌ها و مقایسه کانی‌های مشابه از آنالیز XRD استفاده شده است. برای ارزیابی حد نهایی شرایط دگرگونی و درجه تعادل آن لازم است که علاوه بر بررسی کانی‌های سازنده سنگ به مطالعه دقیق بافت و ریزساخت آنها بپردازیم. کانی‌ها و ساختهای میکروسکوپی سنگ شدیداً به هم مرتبط بوده و هر دو حاصل مشارکت فرآیندها و شرایطی هستند که سنگ در خلال تحول خود متحمل شده است. آنچه به عنوان کانی‌های جانشینی و محصولات آشکار یک واکنش قابل مشاهده بافتی، دیده می‌شود، تنها واکنش‌هایی نیستند که در خلال دگرگونی سنگ رخ

داده‌اند. در واقع بافت سنگها نتیجهٔ نهایی یک سری واکنش‌های پیچیده جانشینی و تبادل کاتیون است که با برخی فازهای سیستم و بخصوص با یک سیال موجود در مرز دانه‌ها در ارتباط بوده‌اند (بارکر^۱، ۱۹۹۰). به همین علت در این فصل علاوه بر مطالعه کانی‌ها تا حدی به مطالعه بافت‌ها و ریز-ساختهای موجود در سنگ پرداخته شده است.

۲-۵- مرمرها

اصطلاح مرمر در مورد سنگ‌های آهکی دگرگون شده‌ای به کار می‌رود که در آنها برتری با کانی-های کربناته باشد. دگرگونی یک سنگ آهک با CaCO_3 خالص، منجر به تبلور دوباره کلسیت و تشکیل مرمر کلسیتی با دانه‌های هم‌بعد می‌شود و با افزایش درجهٔ دگرگونی، اندازه دانه‌ها درشت‌تر می‌شود که اندازه آنها گاه به چند سانتی‌متر می‌رسد. کربناتهای ناخالصی که دارای مقادیر قابل توجهی از سازنده‌های پلیتی هستند، از نظر شیمیایی حاوی مقدار زیادی Al_2O_3 می‌باشند. این سنگ‌ها معمولاً به هنگام دگرگون شدن، سیلیکات‌های $\text{Ca} - \text{Al}$ داری مانند اپیدوت، گروسولار و وزوویانیت ایجاد می‌نمایند که هیچکدام از این دو دسته، به جز مقدار کمی اپیدوت، در منطقه مشاهده نمی‌شوند. در صورت نبود کانی‌های شاخص دگرگونی در مرمرها، این دسته از سنگ‌ها نمی‌توانند کمک موثری در جهت شناسایی شرایط تشکیل سنگ ارائه دهند، این امر بدان دلیل است که کلسیت جز در فشارهای خیلی بالا، در سایر شرایط پایدار است. در منطقه مورد مطالعه، مرمر اغلب در قسمت شمال غربی و مرکز منطقه، به صورت نوارهایی با امتداد شمال غرب-جنوب شرق رخنمون دارد. در نمونه-دستی این مرمرها سفید تا سفید متمایل به خاکستری هستند.

توصیف میکروسکوپی

در این سنگ‌ها بیش از ۹۵ درصد سنگ را کانی کلسیت به خود اختصاص داده است. این کلسیت‌ها در نور عادی بیرنگ بوده و بلورهای آن شکل‌دار (چند ضلعی) تا نیمه شکل‌دار و با برجستگی بالا می‌باشند. دو دسته رخ لوزی شکل که هم‌دیگر را با زاویه ۷۵ درجه قطع می‌کنند قابل تشخیص هستند (شکل ۱-۵). به دلیل شکل خاص بلورهای کلسیت، مرمرها عمدتاً بافت موزاییکی

نشان می‌دهند، وجود مقدار کمی ناخالصی در مرمرها، موجب تشکیل بلورهای بسیار ریز کلینوپیروکسن، اپیدوت، کوارتز و کانی‌های اپاک شده است که این کانی‌ها فضای بین دانه‌های کلسیت را پر کرده‌اند و شکل بلوری خاصی ندارند.

۳-۵- سنگهای حاصل از دگرگونی ترکیبات کوارتز و فلدسپاتی

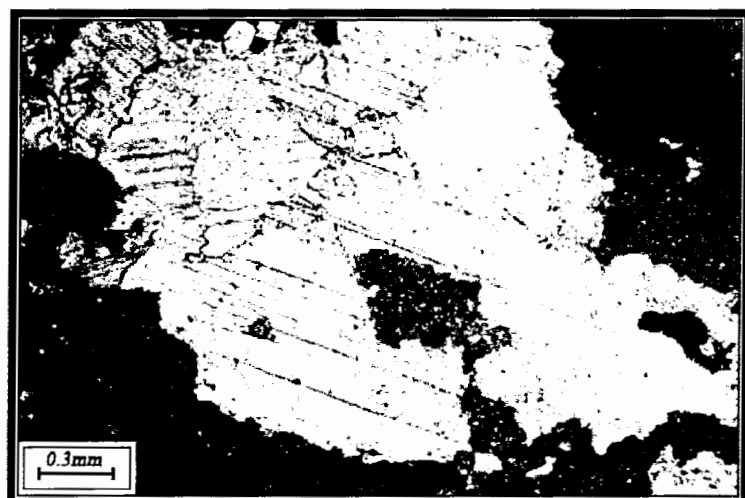
دگرگونی رسوبات آواری مانند ماسه‌سنگها و آرکوزها به پدید آمدن سنگ‌های دگرگونی کوارتز- فلدسپاتی و کوارتزیتی می‌انجامد. معمولاً کانی شناسی ساده رسوبات کوارتز- فلدسپاتی دگرگون شده، کاربرد آنها را برای داوری در باره درجه دگرگونی دشوار می‌سازد. این سنگ‌ها به صورت بین لایه ای با رسوبات پلیتی و سمی پلیتی دیده می‌شوند. این سنگ‌ها دارای رنگ روشن‌تری می‌باشند و تورق در این سنگ‌ها کمتر از سایر سنگ‌های مجاور می‌باشد.

۳-۱- کوارتزیت‌ها یا کوارتز هورنفلس‌های گارنت‌دار

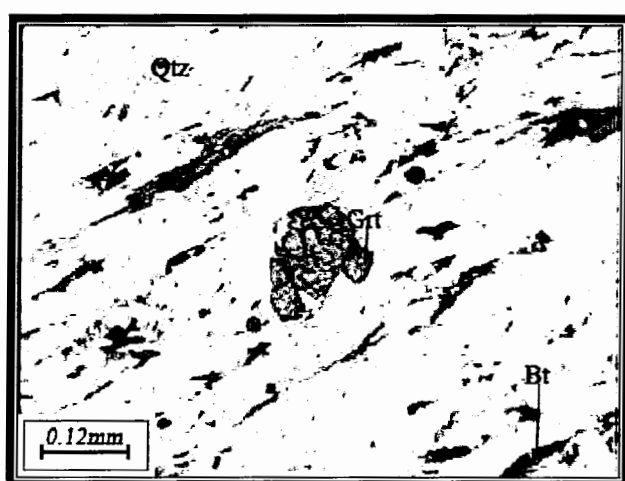
رخنمون این سنگ‌ها را در سراسر محدوده مورد مطالعه می‌توان مشاهده کرد، ولی در قسمت جنوب‌شرقی منطقه بیشتر رخنمون دارند. در این سنگ‌ها بیش از ۹۰ درصد سنگ را کانی کوارتز به خود اختصاص داده است، که به صورت بلورهای بی‌شکل تا نیمه شکل‌دار، اغلب تجدید تبلور یافته، دارای حواشی مضرس و خاموشی موجی دیده می‌شود. گارنت‌های بی‌شکل و اسفنجی به صورت ریز بلور در داخل این سنگ‌ها دیده می‌شود و تنها در مقاطع میکروسکوپی قابل روئیت است. سایر کانیهای موجود در این سنگ‌ها بیوتیت، کلریت و پلازیوکلاز است. پلایوکلاز در این سنگ‌ها به صورت بلورهای ریز و بی‌شکل دیده می‌شود. بافت این سنگ‌ها گرانوبلاستی و موزائیکی است. (شکل ۲-۵)

۳-۲- میکا-کوارتزیت گارنت- سیلیمانیت‌دار

این سنگ‌ها را در سراسر محدوده‌ای که کوارتزیت‌ها رخنمون دارند می‌توان مشاهده کرد. کانی‌های موجود در این سنگ به ترتیب فراوانی شامل کوارتز، بیوتیت، فیبرولیت، پلازیوکلاز و موسکویت است. در این سنگ‌ها بیش از ۸۰ درصد سنگ را کانی کوارتز به خود اختصاص داده است، که به صورت بلورهای بی‌شکل تا نیمه شکل‌دار، اغلب تجدید تبلور یافته، دارای حواشی مضرس و خاموشی موجی دیده می‌شود. گارنت‌های بی‌شکل و اسفنجی به صورت ریز بلور در داخل این سنگ‌ها دیده می‌شود و تنها در مقاطع میکروسکوپی قابل روئیت است. پلایوکلاز در این سنگ‌ها به صورت بلورهای ریز و بی‌شکل دیده می‌شود. بافت این سنگ‌ها گرانوبلاستی است (شکل ۳-۵).



شکل ۱-۵- تصویر میکروسکوپی از بلورهای کلسیت که دارای دو جهت رخ می‌باشند. (XPL)



شکل ۲-۵- تصویر میکروسکوپی کوارتزیت، (PPL) (بلورهای بی شکل و اسفنجی گارنت در زمینه ای از کوارتز)



شکل ۳-۵- تصویر میکروسکوپی میکا- کوارتزیت گارنت- سیلیمانیت دار (PPL).

۵-۴- سنگهای حاصل از دگرگونی ترکیبات پلیتی

سنگهای این گروه بیانگر دگرگون شدگی تهنشستهای رسی (گلسنگها) هستند. این تهنشست-ها به میزان متوسط تا زیاد دارای سیلیس هستند و بسیار بودن Al_2O_3 و K_2O در ترکیب شیمیایی شان نیز از نشانه‌های آنهاست. گذشته از این، غنی‌شدگی MgO , Fe_2O_3 , FeO , CaO و MnO آنها متفاوت و مقدار Na_2O آنها کمتر است. نسبت هر یک از این اکسیدها از سنگ به سنگ دیگر فرق می‌کند و این ترکیب شیمیایی پیچیده، به هنگام دگرگونی کانیهای گوناگونی را پدید می‌آورد.

این سنگها در مقایسه با گروههای دیگر دارای فراوانی و گسترش وسیع‌تری در منطقه می‌باشند و تغییرات بافتی و کانی شناسی زیادی در آنها دیده می‌شود. سنگهایی که در فواصل دورتری از توده‌های نفوذی رخنمون دارند دارای فولیاسیون بیشتری می‌باشند و اثرات دگرگونی ناحیه‌ای در آنها قابل مشاهده است. در حالیکه سنگهای نزدیک به توده‌های نفوذی دارای فولیاسیون ضعیفتری و در بعضی موارد فاقد فولیاسیون بوده و دارای بافت‌های پورفیروبلاستی هورنفلسی می‌باشند. انواع این سنگها که در منطقه مورد مطالعه رخنمون دارند عبارتند از: اسلیت، میکا شیست، آندالوزیت شیست، کوردیریت-آنداوزیت هورنفلس،

۵-۱- اسلیت‌های هورنفلسی

این سنگها دارای گسترش نسبتاً محدودی در منطقه مورد مطالعه می‌باشند و رخنمونهای مشخصی از آنها در قسمت جنوب شرقی منطقه دیده می‌شود. این سنگها به رنگ تیره تا سیاه و دارای بر جستگیهای می‌باشند که از پورفیروبلاستهای آندالوزیت تشکیل شده است و در مقطع میکروسکوپی پورفیروبلاستهای تقریباً درشت آندالوزیت در زمینه‌ای کاملاً دانه ریز مشکل از کوارتز و بیوتیت قرار گرفته است. فولیاسیون به طور متوسط در این سنگها دیده می‌شود.

توصیف میکروسکوپی

کانی‌های موجود در این سنگ به ترتیب فراوانی شامل کوارتز، بیوتیت، آندالوزیت و گارنت است، و در بعضی مقاطع به مقدار خیلی کم پورفیرهای کوردیریت با اشکال منظم شش ضلعی در حال شکل‌گیری است و حاشیه آن را بیوتیت فراگرفته است. بافت اصلی سنگ لپیدوبلاستیک بوده و بافت فرعی آن پوئی کیلوبلاستیک می‌باشد.

الف) آندالوزیت:

بلورهای آندالوزیت حدود ۲۰ درصد سنگ را تشکیل داده‌اند. اندازه این بلورها عمدتاً بزرگتر از یک میلیمتر می‌باشد. بلورهای مذکور شکل دار تا نیمه شکل دار بوده و اکثراً به صورت بلورهای مربعی شکل (قطع عرضی آندالوزیت) مشاهده می‌شود. در قسمت مرکزی بلورهای آندالوزیت تمرکز اینکلوزیونهای کربن قابل رویت است.

بیرفرزانس این بلورها ضعیف بوده و رنگ تداخلی آنها از آبی مایل به خاکستری تا زرد سری اول است.

بیشتر پورفیرهای مشاهده شده در این سنگها با اشکال منظم، در وسط حاوی آندالوزیت می‌باشد و اطراف آن را بیوتیت احاطه کرده است (شکل ۴-۵). در داخل این پورفیروblastها، گاهی گارنت‌های نیمه شکل دار کوچکی مشاهده می‌شود (گارنت در داخل پورفیرها به دام افتاده است)، که به نظر می‌رسد گارنت‌ها در ابتدا تشکیل و سپس آندالوزیت شکل گرفته است. البته لازم به ذکر است که در این سنگها، کیاستولیت‌هایی به چشم می‌خورد که هیچ گونه نشانی از حواشی بیوتیتی ندارد.

ب) گارنت

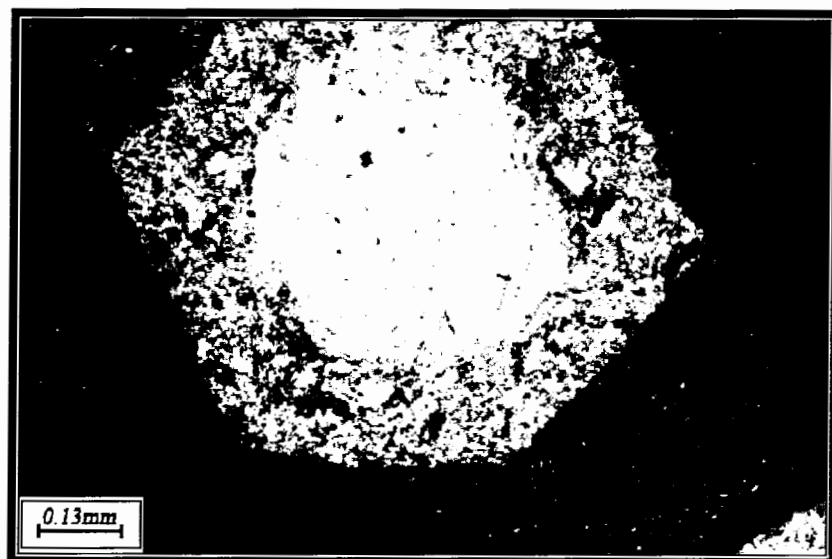
کانی‌های گارنت در نمونه‌های مطالعه شده، عمدتاً ریز بلور هستند. با توجه به آنالیز XRD انجام شده، گارنت‌های این منطقه متعلق به سری پیرالسپیت بوده و ترکیب آلماندینی دارند. در مرکز گارنت‌ها نشانه‌هایی از اکسید آهن، کوارتز دیده می‌شود که به نظر می‌رسد فازهای اضافی و باقی مانده‌ای باشد که در واکنش تشکیل دخالت داشته‌اند اما قبل از مصرف شدن کامل آنها، سطوح جلویی در پورفیروblastهای گارنت تشکیل شده است. کوارتز اگر چه در واکنش‌ها شرکت می‌کند اما به دلیل زیادتر بودن آن، مقدار اضافی آن بصورت انکلوزیون‌هایی در پورفیروblast باقی می‌ماند.

در مرکز بعضی از پورفیروblastهای گارنت موجود در مقاطع میکروسکوپی، انکلوزیون‌هایی از کوارتز مشاهده می‌شود که به آن ظاهر اسفنجی می‌دهد و باعث به وجود آمدن بافت پوئی-کیلوبلاستیک یا غربالی در گارنت می‌شود (شکل ۵-۵). همان طور که قبلاً هم ذکر شد گارنت در این نمونه سنگها در داخل پورفیرها مشاهده می‌شود.

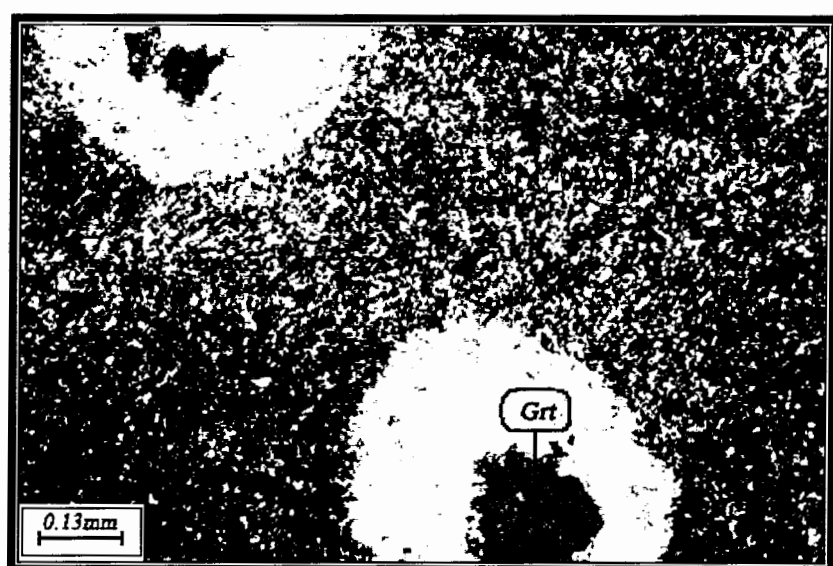
ج) بیوتیت

بلورهای بیوتیت حدود ۵۰ درصد زمینه سنگ را تشکیل داده‌اند. این کانیها عمدتاً ریز بلور بوده و اندازه دانه‌های آن کوچکتر از ۱۰ میلیمتر است که فولیاسیون را می‌سازند. در برخی از قسمت‌ها،

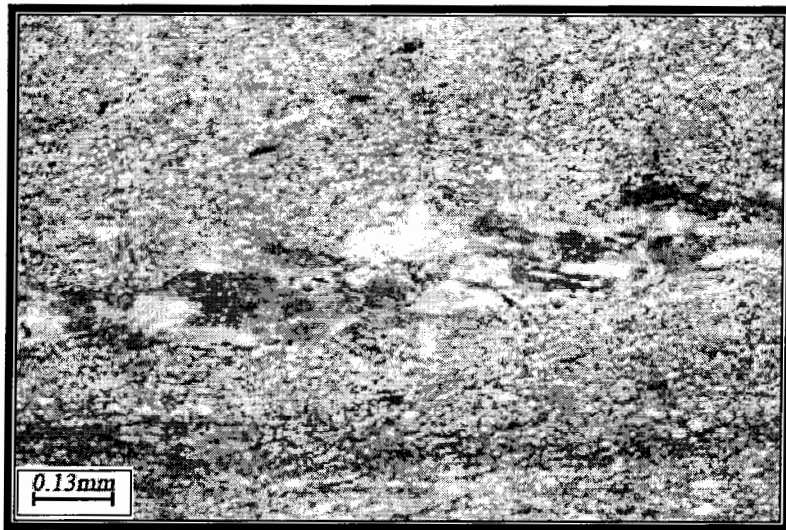
بلورهای بیوتیت گاهاً با موسکویت تشکیل پورفیرهای را داده اند که گارنتها در داخل این پورفیرها به دام افتاده است. در بعضی از این سنگها نیز تجمعات بیوتیتی اولیه سنگ تحت Deformation قرار گرفته است و آنها را می‌توان در راستای شیستوزیت مشاهده کرد (شکل ۵-۶).



شکل ۴-۵ تصویر میکروسکوپی پورفیرهای آندالوزیت در اسلیت‌های هورنفلس (XPL).



شکل ۵-۵- تصویر میکروسکوپی گارنت‌های موجود در اسلیت‌های هورنفلسی (XPL).



(XPL) شکل ۵-۶- تصویر میکروسکوپی تجمعات بیوتیتی که تحت تغییر شکل قرار گرفته است.

۴-۲- کوارتز - میکاشیست های گارنت - سیلیمانیت دار

این سنگها دارای گسترش نسبتاً محدودی در منطقه مورد مطالعه می باشند و رخنمونهای مشخصی از آنها در قسمت میانی منطقه دیده می شود. این سنگها دارای فولیاسیونی می باشند که موازی با حاشیه توءه نفوذی است و به وسیله جهت یابی کانیهای بیوتیت و فیبرولیت مشخص می شود. در نمونه دستی رنگ تقریباً روشنتری نسبت به دیگر سنگهای این گروه دارند. در این سنگها رگچه های باریکی از کوارتز مشاهده شده است.

توصیف میکروسکوپی

کانی های موجود در این سنگ به ترتیب فراوانی شامل کوارتز، بیوتیت، فیبرولیت، پلاژیوکلاز و موسکوویت است. البته در بعضی از این سنگها بلورهای گارنت مشاهده می شود. بافت اصلی سنگ گرانوبلاستیک است (شکل ۷-۵).

الف) کوارتز

کوارتز حدود ۶۵ درصد از متن سنگ را به خود اختصاص داده است. بلورهای کوارتز بی شکل تا نیمه شکل دار بوده و اغلب دانه های کوارتز دارای خاموشی موجی و با حواشی مضرس دیده می شود. ب) بیوتیت

بیوتیت ها حدود ۲۵ درصد سنگ را تشکیل داده اند. بلورهای این کانی به صورت نیمه شکل دار و اکثراً جهت یافته بوده و به رنگ قهوه ای مشاهده می شوند. بلورهای بیوتیت در نور پلاریزه بیرفرازنس

متوسط داشته و رنگ‌های تداخلی آنها تا اواخر سری سوم است. به مقدار خیلی اندک ادخالهایی از زیرکن در بیوتیت‌ها مشاهده می‌شود. به نظر می‌رسد بلورهای بیوتیت به فیبرولیت تبدیل شده‌اند.

ج) فیبرولیت

فیبرولیت‌ها حدود ۵ درصد سنگ را تشکیل داده‌اند. سیلیمانیت در این سنگها به صورت فیبری و در امتداد فولیاسیون دیده می‌شود.

د) سایر کانیها

پلاژیوکلاز اغلب به صورت بی‌شکل، گاهی نیمه شکل‌دار مشاهده می‌شود. موسکویت به صورت اولیه در راستای بیوتیت‌ها و هم به صورت ثانویه (درشت بلور) در این سنگها دیده می‌شود. همان‌طور که قبلاً نیز ذکر شد در بعضی از نمونه‌ها گارنت به صورت ریز بلور گاهی متوسط و ظاهر اسفنجی قابل مشاهده است. از کانیهای فرعی نیز می‌توان به زیرکن و کانیهای اپاک اشاره کرد.

۳-۴-۵- گارنت - آندالوزیت میکا شیست

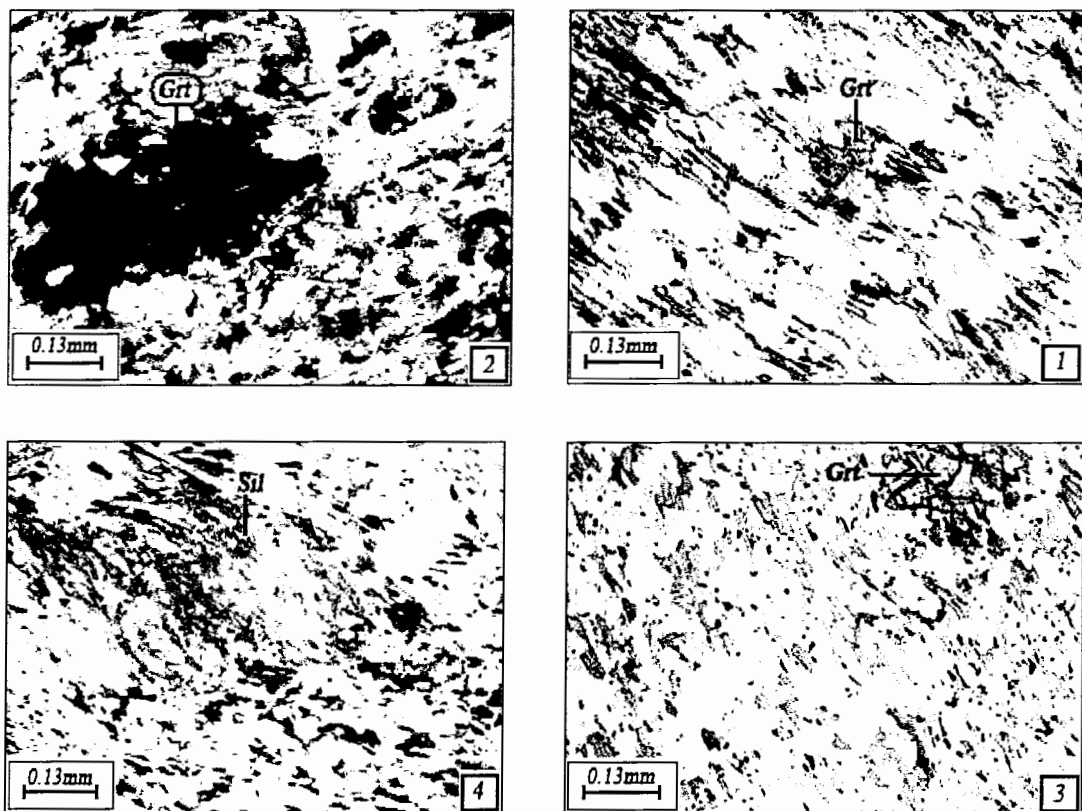
این سنگ‌ها در محل تماس با اسلیت‌های هورنفلسی مشاهده می‌شوند. در حقیقت دگرگونی مجاورتی در سنگ‌های منطقه آثار دگرگونی ناحیه‌ای را از بین نبرده است. در این سنگ‌ها، بلورهای آندالوزیت به آسانی قابل تشخیص هستند. فراوانی بلورهای آندالوزیت بسیار بیشتر از بلورهای گارنت می‌باشد. بلورهای آندالوزیت به صورت شکل‌دار تا نیمه شکل‌دار قابل مشاهده هستند (شکل ۸-۵).

توصیف میکروسکوپی

کانی‌های موجود در این سنگ به ترتیب فراوانی شامل کوارتز، بیوتیت، آندالوزیت و گارنت است. آنالیز XRD این سنگ‌ها این مطلب را تایید می‌کند (شکل ۹-۵-الف ب). بافت اصلی سنگ لپیدوبلاستیک بوده و بافت فرعی آن پوئی‌کیلوبلاستیک می‌باشد. البته در هورنفلس‌ها بافت غالب بسته به ریز یا درشت بلور بودن کانیها هورنفلسی یا گرانوفلسی می‌باشد.

الف) آندالوزیت

بلورهای آندالوزیت حدود ۲۰ تا ۴۰ درصد سنگ را تشکیل می‌دهند. اندازه این بلورها عمدها بزرگتر از یک میلیمتر می‌باشند. بلورهای مذکور شکل‌دار تا نیمه شکل‌دار قابل مشاهده هستند، که بعضی دارای انکلوزیون‌های منظمی از گرافیت می‌باشند (نوع کیاستولیت) (شکل ۱۰-۵). این پورفیروبلاست‌ها دارای انکلوزیون‌هایی از کوارتز و بیوتیت نیز می‌باشند.



شکل ۷-۵

- ۱- تصویر میکروسکوپی گارنت موجود در کوارتز- میکا شیست های سیلیمانیت دار (PPL)
- ۲- تصویر میکروسکوپی گارنت موجود در کوارتز- میکا شیست های سیلیمانیت دار (XPL)
- ۳- تصویر میکروسکوپی گارنت موجود در کوارتز- میکا شیست های سیلیمانیت دار (PPL)
- ۴- تصویر میکروسکوپی کوارتز- میکا شیست های سیلیمانیت دار (PPL)



شکل ۸-۵- تصویر صحرائی گارنت- آندالوزیت شیست

(ب) بیوتیت

بیوتیت در این سنگها از فراوانی بیشتری نسبت به سایر کانی‌ها برخوردار است و به صورت بلورهای شکل دار، تقریباً کشیده و جهت یافته، می‌باشند. به جز بلورهای زمینه یک سری غده‌های بیوتیتی داریم که در داخل آن علاوه بر بیوتیت، موسکویت و گارنت نیز دیده می‌شود. به نظر می‌رسد که گارنت در داخل این غدها به دام افتاده است.(شکل ۱۱-۵). با شواهدی که ذکر شد به نظر می‌رسد که این سنگها حاوی دو نسل بیوتیت هستند: بیوتیت‌های ریز زمینه و دیگری بیوتیت‌هایی که درشت شده و تشکیل غده‌ها را داده اند. البته لازم به ذکر است که بیوتیت‌های زمینه در بعضی از مقاطع، درشت‌تر هستند و جهت‌یابی نشان می‌دهند و سنگ بیشتر حالت شیستی دارد و در مقاطع دیگر ریز بلور بوده و مربوط به زمینه هورنفلسی سنگ هستند. فضای بین بلورهای بیوتیت را کانی‌های بی‌شکل تا نیمه شکل‌دار کوارتز و پلازیوکلاز تشکیل می‌دهد. بلورهای کوارتز در همه مقاطع بی‌شکل تا نیمه شکل‌دار بوده، دارای حواشی مضرس و خاموشی موجی نیز می‌باشند و گاهی تجدید تبلور یافته‌اند، که در ادامه از تکرار این مطلب خودداری می‌گردد.

(ج) گارنت

کانی‌های گارنت در نمونه‌های مطالعه شده، عمدها ریز بلور بوده ولی بلورهای گارنت در بعضی از مقاطع به صورت درشت تر نیز مشاهده می‌شود. این بلورها بی‌رنگ هستند. با توجه به آنالیز XRD انجام شده، گارنت‌های این منطقه متعلق به سری پیرالسپیت بوده و ترکیب آلماندینی دارند. (شکل ۱۲-۵). اشکال غیر عادی گارنت در این سنگها می‌تواند ناشی از تحرک کم بعضی از یونها از قبیل یونهای آلومینیوم و اختلاف ترکیب بین لایه‌های مختلف سنگ باشد که سبب می‌شود بلورهای گارنت بجای تشکیل یک شبکه فشرده و منظم، بیشتر در مرز دانه‌های کوارتز رشد کنند و بلورهای اسکلتی و اسفنجی را ایجاد نمایند(پاسچیر و ترو^۱، ۱۹۹۶) در مرکز بعضی از پورفیروبلاست‌های گارنت موجود، در مقاطع میکروسکوپی، انکلوزیون‌هایی از کوارتز مشاهده می‌شود که به آن ظاهر اسفنجی می‌دهد و

باعث به وجود آمدن بافت پوئی کیلوبلاستیک یا غربالی در گارنت می‌شود. انکلوزیون‌ها بیشتر در مرکز گارنت می‌باشد.

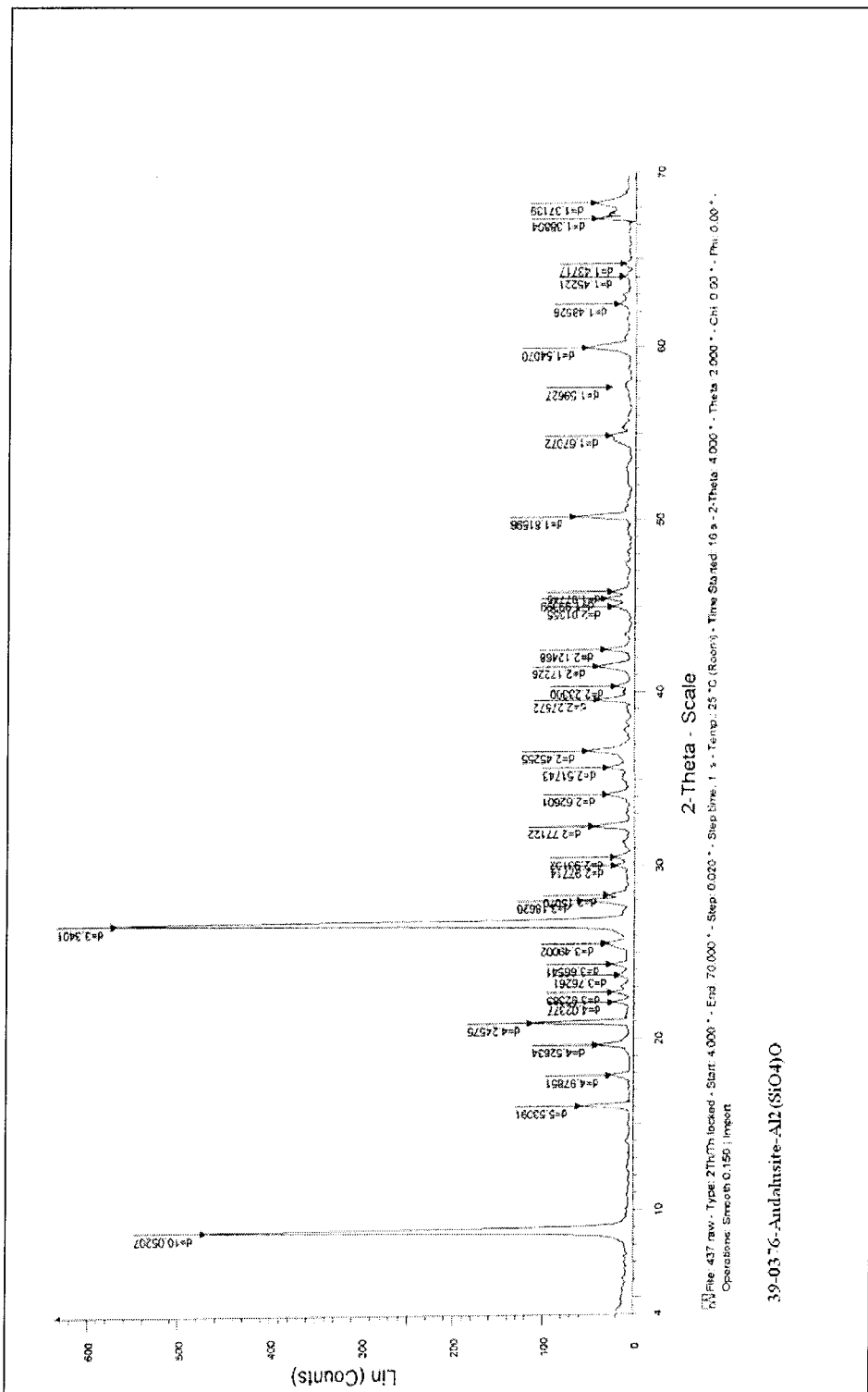
د) سایر کانیها

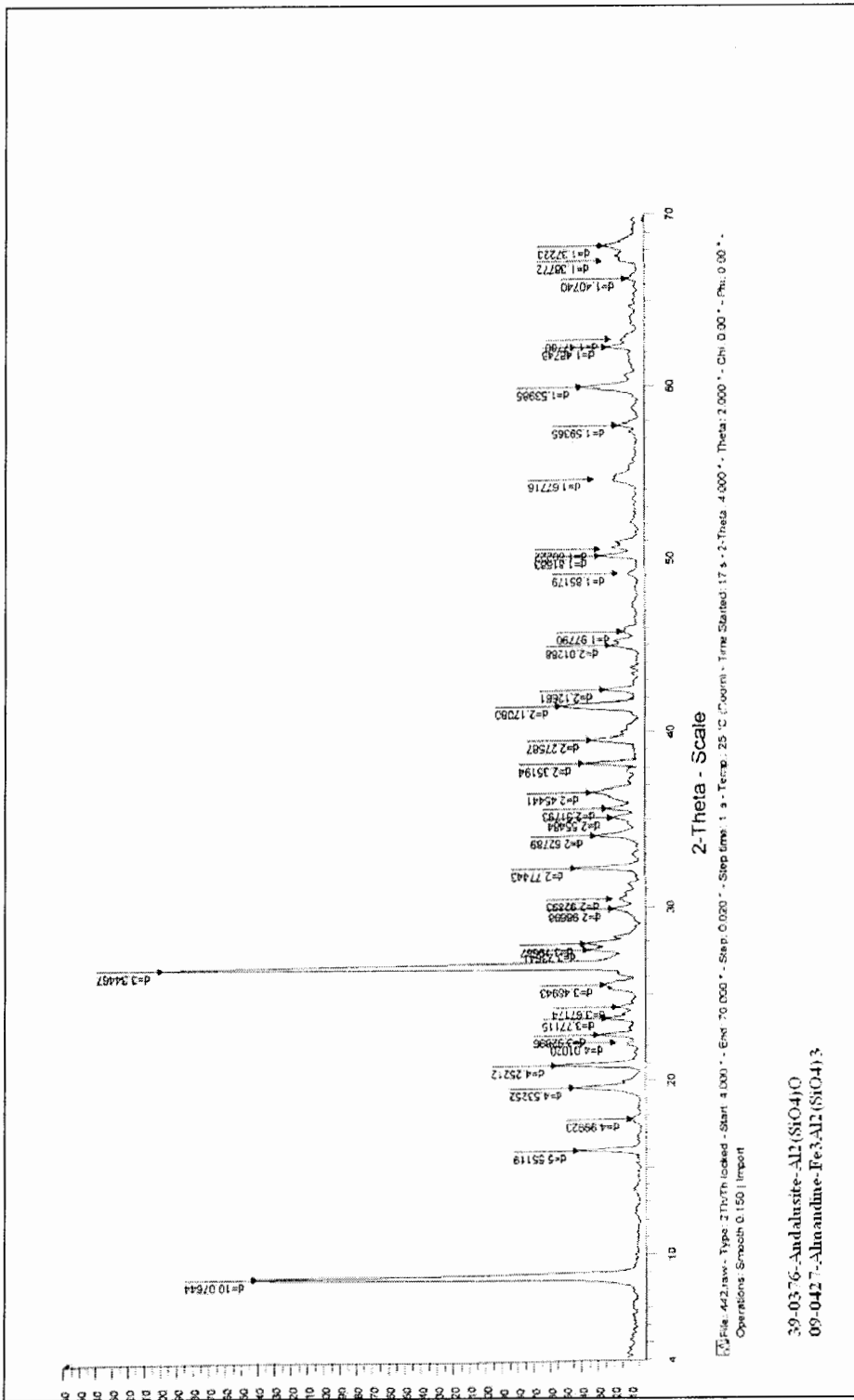
پلاژیوکلاز اغلب به صورت بی‌شکل، گاهی نیمه شکل‌دار مشاهده می‌شود. موسکویت به صورت اولیه در راستای بیوتیت‌ها و هم به صورت ثانویه (درشت بلور) در این سنگها دیده می‌شود. از کانیهای فرعی نیز می‌توان به زیرکن، تورمالین و کانیهای اپاک اشاره کرد.

شکل ۵-۹-الف- نمونه SFB4 که بر اساس تالیف XRD اجام شده دارای کانی آندالوزیت بوده و یک نمونه گازت آندالوزیت شیست می‌باشد.

39-0376-Andalusite-Al₂(SiO₄)O

XRD file: 437 raw - Type: 2Theta/Intensity - Start: 10.000° - End: 70.000° - Step: 0.0020° - Step time: 1 s - Temp: 25 °C (Room) - Time Shaded: 16 s - 2-Theta: 4.000° - Theta: 2.000° - Chi: 0.00° - FWHM: 0.00° . Operations: Smooth 0.150; Import

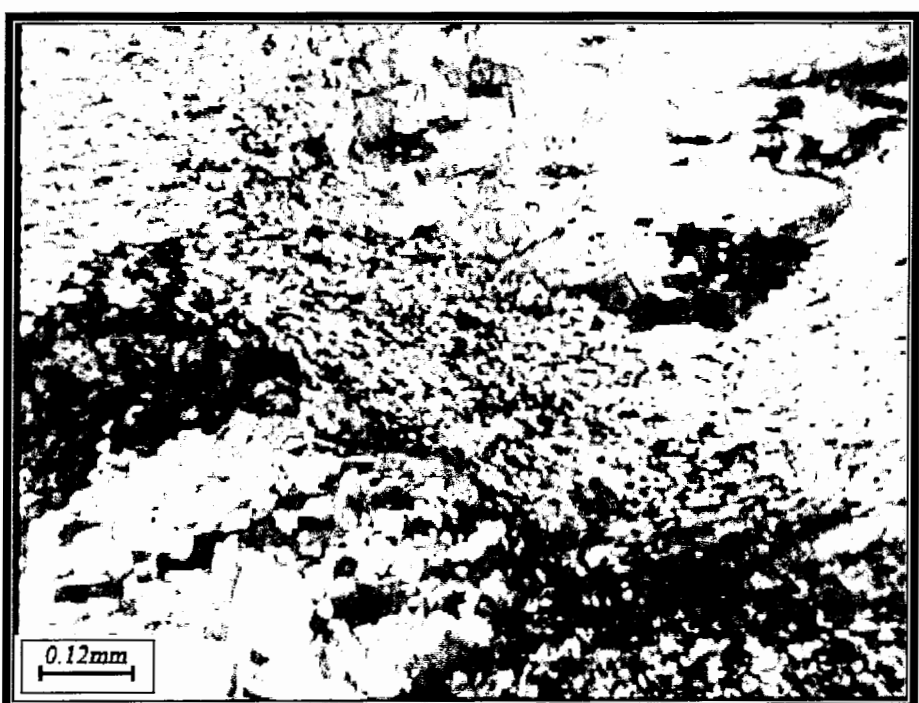




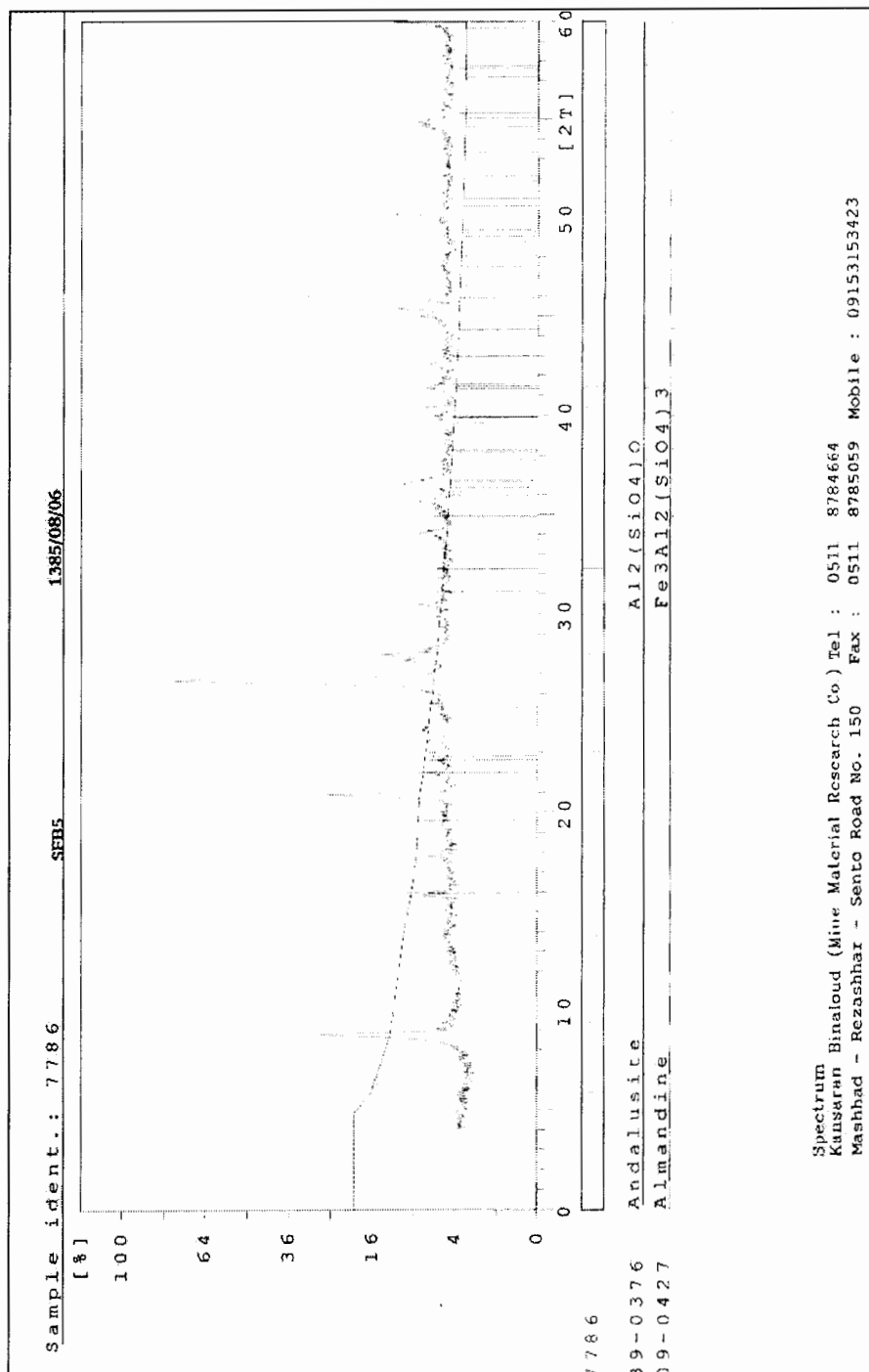
شکل ۵-۹-ب- نمونه ۹ SFB که بر اساس آنالیز XRD انجام شده دارای کانی آندالوزیت بوده و یک نمونه گارت آندالوزیت شیست می‌باشد.



شکل ۱۰-۵ - تصویر میکروسکوپی از مقطع عرضی کیاستولیت(PPL).



شکل ۱۱-۵ - تصویر میکروسکوپی گارنت های موجود در غده های بیوتیتی(PPL).



شکل ۱۲-۵ - نمونه SFB5 که بر اساس آنالیز XRD انجام شده دارای کانی گارنت بوده و از نوع آلماندین است.

۴-۴-۵-گارنت-کوردیریت-آنالوزیت هورنفلس

این سنگها دارای پراکندگی بسیار محدودی در منطقه مورد مطالعه می‌باشند و به صورت پراکنده، منحصراً رخنمونهایی از آنها در قسمت میانی منطقه دیده می‌شود. این سنگها به رنگ تیره و حاوی پورفیروبلاستهای آندالوزیت می‌باشند که به وضوح در زمینه سنگ قابل مشاهده است.

توصیف میکروسکوپی

کانی‌های موجود در مقاطع نازک این سنگها شامل کوارتز، بیوتیت، آندالوزیت، کوردیریت و گارنت است. بعضی از سنگها علاوه بر کانیهای فوق‌الذکر، دارای فیبرولیت نیز می‌باشند. بافت سنگ پوئی کیلوبلاستیک می‌باشد.

(الف) آندالوزیت

بلورهای آندالوزیت حدود ۴۰ درصد سنگ را تشکیل می‌دهند. اندازه این بلورها عمدهاً بزرگتر از یک میلیمتر می‌باشند. بلورهای مذکور شکل‌دار تا نیمه شکل‌دار قابل مشاهده هستند، که بعضی دارای انکلوزیون‌های منظمی از گرافیت می‌باشند (نوع کیاستولیت) علاوه بر این، این پورفیروبلاست‌ها دارای انکلوزیون‌هایی از کوارتز و بیوتیت نیز می‌باشند.

(ب) کوردیریت

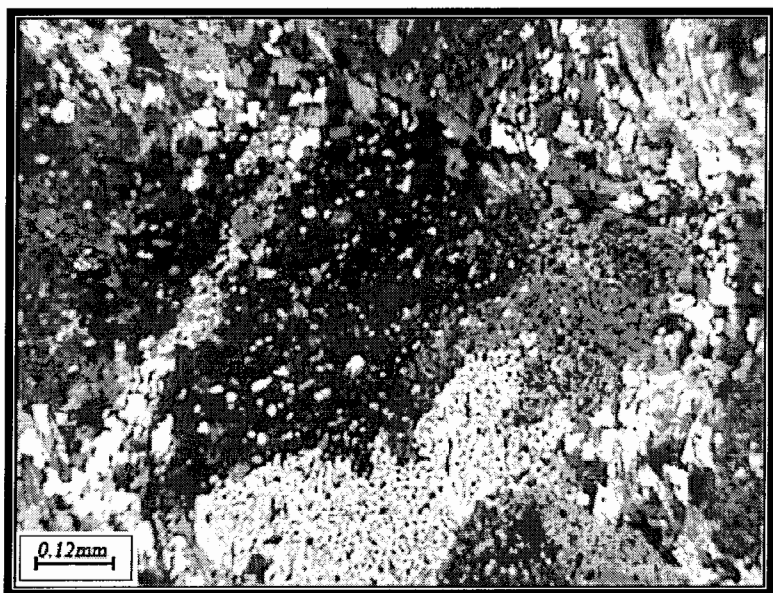
پوئی کیلوبلاست‌های کوردیریت در زمینه‌ای از کوارتز و بیوتیت قرار گرفته است. این پوئی کیلوبلاست‌ها دارای انکلوزیون‌های فراوانی از بیوتیت، کوارتز و کانیهای اپاک می‌باشد (شکل ۱۳-۵).

(ج) بیوتیت

بیوتیت در این سنگها از فراوانی بیشتری نسبت به سایر کانی‌ها برخوردار است و به صورت بلورهای شکل‌دار، تقریباً کشیده و جهت‌یافته، کانی عمده این سنگها را تشکیل می‌دهد. به جز بلورهای زمینه یک سری غده‌های بیوتیتی داریم که در داخل آن علاوه بر بیوتیت، موسکویت و گاهی گارنت نیز دیده می‌شود.

(د) سایر کانیها

حضور گارنت را در تمام سنگها به عنوان کانی شکل گرفته در دگرگونی ناحیه‌ای شاهد هستیم، که میزان فراوانی آن متغیر است. پلازیوکلاز اغلب به صورت بی‌شکل، گاهی نیمه شکل‌دار مشاهده می‌شود. از کانیهای فرعی نیز می‌توان به زیرکن، تورمالین و کانیهای اپاک اشاره کرد.



شکل ۱۳-۵ - تصویر میکروسکوپی پوئی کیلو بلاست کوردیریت (XPL).

۴-۵-۵- گارنت- سیلیمانیت- آندالوزیت- بیوتیت هورنفلس

این سنگها در قسمت شمال غرب منطقه مورد مطالعه رخمنون دارد. این سنگها به رنگ تیره و دانه ریز هستند و پورفیرهای آندالوزیت و گارنت در زمینهای دانه ریز به وضوح قابل رویت است. فراوانی بلورهای آندالوزیت بسیار بیشتر از بلورهای گارنت می باشد. البته لازم به ذکر است که میزان فراوانی گارنت در این منطقه از سایر مناطق بیشتر است. آنالیز XRD این سنگها این مطلب را تایید می کند (شکل ۱۴-۵). این سنگها را می توان اینگونه توصیف کرد: گارنت شیستی که تحت تأثیر دگرگونی مجاورتی تبلور مجدد حاصل نموده است.

توصیف میکروسکوپی

کانی های موجود در این سنگها به ترتیب فراوانی شامل بیوتیت، کوارتز، آندالوزیت، سیلیمانیت و گارنت است. بافت اصلی سنگ گرانوبلاستی هورنفلسی بوده و بافت فرعی آن پوئی کیلو بلاستیک می باشد.

الف) بیوتیت

بیوتیت در این سنگها از فراوانی بیشتری نسبت به سایر کانی ها برخوردار است و به صورت بلورهای شکل دار، تقریباً کشیده و در اندازه متوسط به رنگ قهوه ای روشن تا تیره، کانی عمدۀ این سنگها را تشکیل می دهد. بلورهای بیوتیت زمینه نسبت به سایر سنگها درشت ترشده، که می تواند

ناشی از تأثیر دگرگونی مجاورتی باشد که باعث رشد بیوتیت‌ها شده است. در بعضی از نقاط بیوتیت‌ها به کلریت تبدیل شده است. فضای بین بلورهای بیوتیت را کانی‌های بی‌شکل تا نیمه شکل‌دار کوارتز و پلازیوکلاز تشکیل می‌دهد. آنالیز XRD فراوانی بیوتیت و حضور کلریت را تایید می‌کند (شکل ۵-۱۵).

ب) گارنت

کانی‌های گارنت در نمونه‌های مطالعه شده، عمداً درشت بلور بوده و این بلورها بی‌رنگ هستند. آنالیز XRD حضور و فراوانی گارنت را در محدوده شمال‌غرب منطقه مورد مطالعه اثبات می‌کند (شکل ۵-۱۶). بارگردانی در سال ۱۹۹۰ بیان کرد که اگر در زمان رشد بلور، سطوح خارجی به آن اضافه شوند که دارای ترکیب و جهت‌یافته‌ای ثابتی باشند، بلور یکنواخت می‌شود اما اگر در منبع تامین‌کننده مواد بلور، تغییری ایجاد شود، احتمالاً ترکیب بلور تغییر خواهد کرد. این امر منجر به تشکیل بلوری می‌شود که ساختمان آن از هسته به حاشیه دارای یک منطقه‌بندی است. در تمام پورفیروبلاست‌های گارنت، یکنواختی ترکیب عمومیت دارد.

در پورفیروبلاست‌های گارنت موجود در مقاطع میکروسکوپی، انکلوزیون‌هایی از کوارتز مشاهده می‌شود که به آن ظاهر اسفنجی می‌دهد و باعث به وجود آمدن بافت پوشی کیلوبلاستیک یا غربالی در گارنت می‌شود (شکل ۵-۱۷).

ج) سیلیمانیت

سیلیمانیت در این سنگها هم به صورت فیبری (فیبرولیت) و هم به صورت بلوری دیده می‌شود (شکل ۵-۱۸). البته بیشتر به صورت فیبری قابل مشاهده است و در قسمتهایی که دما بالا رفته بلورهای درشت سیلیمانیت شکل گرفته است (شکل ۵-۱۹).

د) آندالوزیت

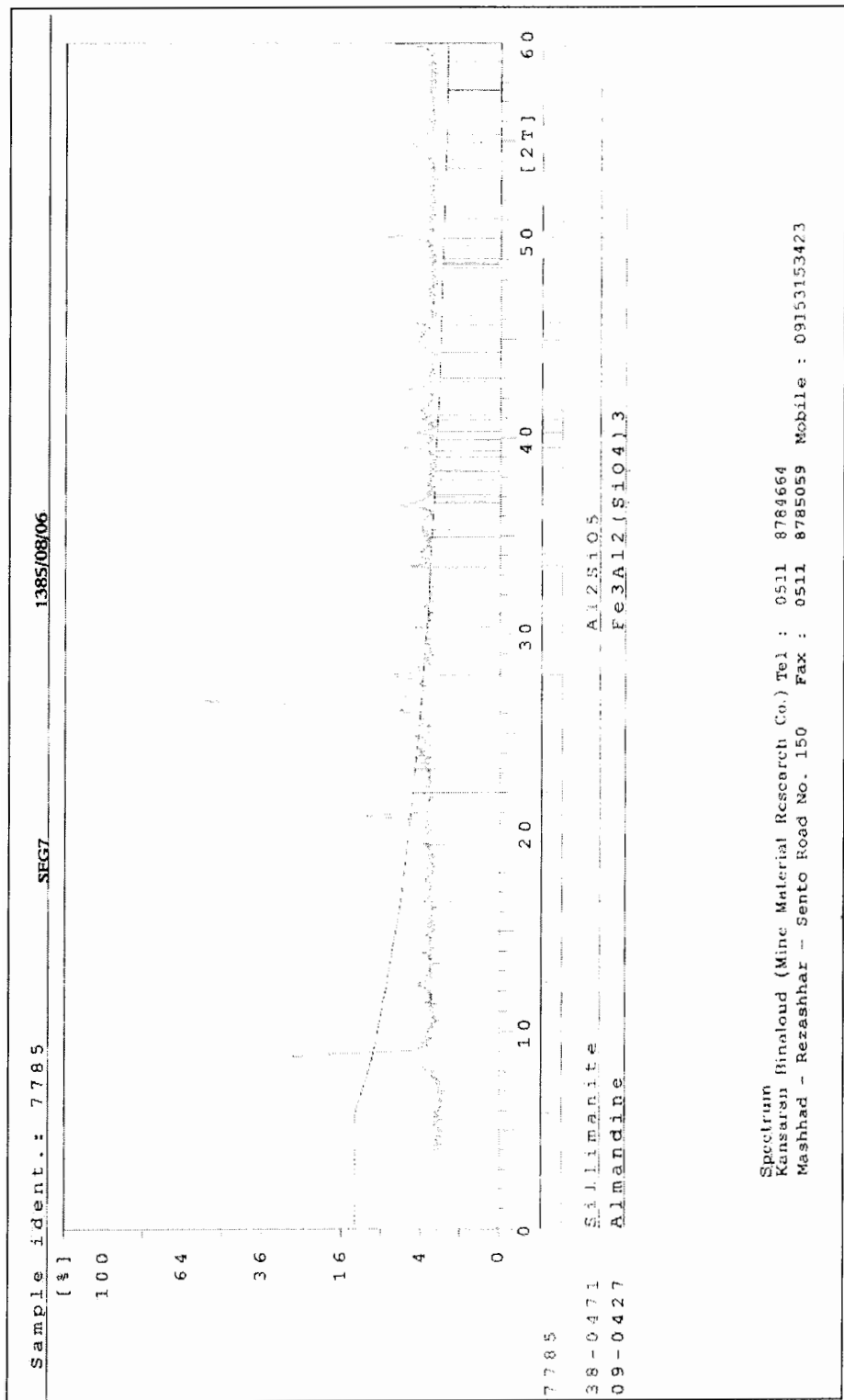
بلورهای آندالوزیت حدود ۲۰ درصد سنگ را تشکیل می‌دهند. البته میزان فراوانی آندالوزیت در این سنگها با افزایش سیلیمانیت، کمتر شده است. اندازه این بلورها عمداً بزرگتر از یک میلیمتر می‌باشند. بلورهای مذکور شکل‌دار تا نیمه شکل‌دار قابل مشاهده هستند، که بعضی دارای انکلوزیون‌های منظمی از گرافیت می‌باشند (نوع کیاستولیت). علاوه بر این، این پورفیروبلاست‌ها دارای انکلوزیون‌هایی از کوارتز و بیوتیت نیز می‌باشند.

ه) سایر کانیها

پتاسیم فلدسپار در این سنگها به فراوانی مشاهده می‌شود. بافت پرتیتی که در فلدسپارهای بسیاری از سنگهای آذرین و دگرگونی درجه بالا معمول است در این سنگها به وضوح قابل رویت است(شکل ۲۰-۵). البته فلدسپارها را می‌توان با ادخالهای کوارتز و بیوتیت نیز مشاهده کرد. از کانیهای فرعی نیز می‌توان به زیرکن، تورمالین و کانیهای اپاک اشاره کرد.

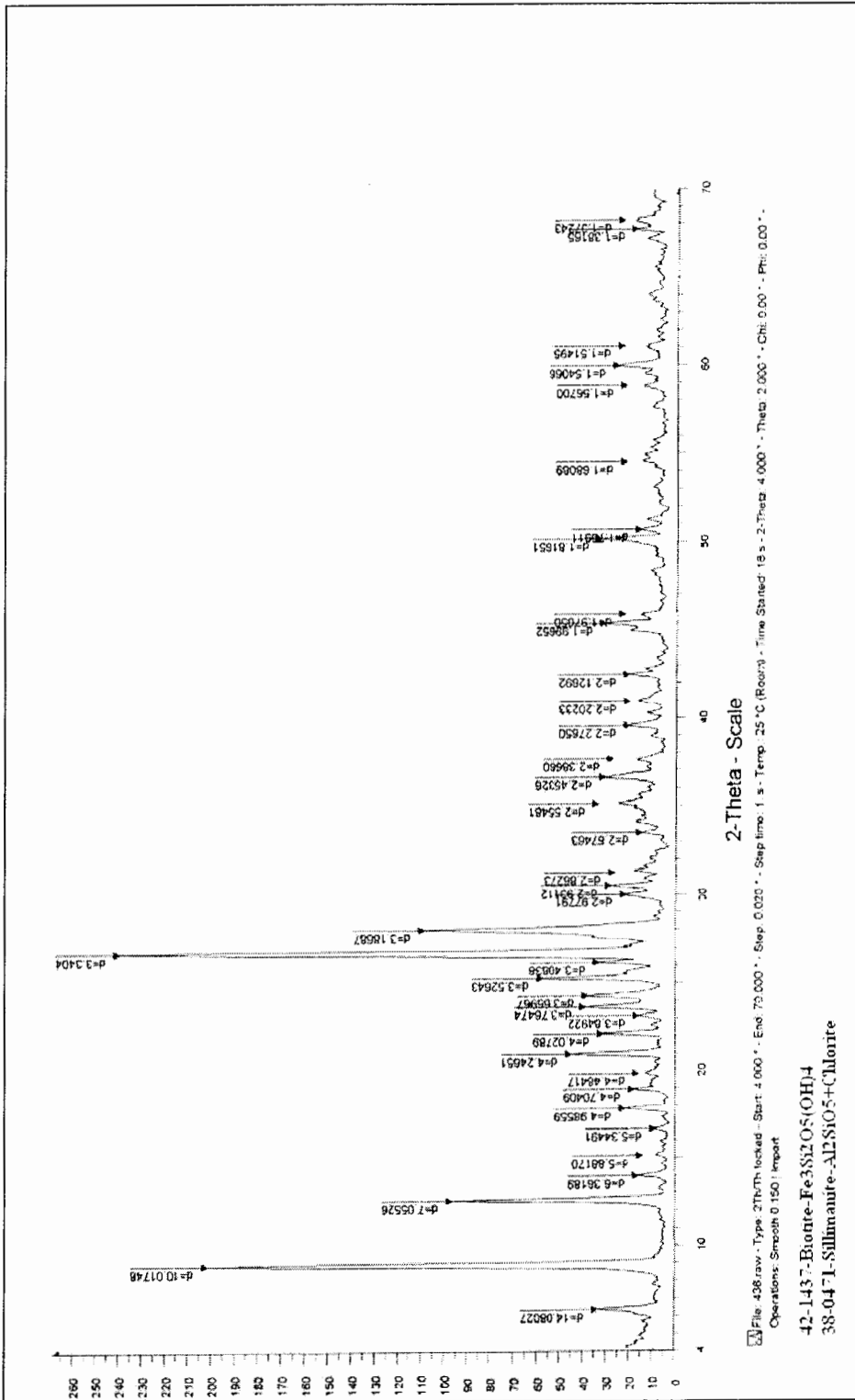
این سنگها در مناطقی به خاطر اعمال تنفس چار دگریختی شده‌اند، و در مقاطع نازک این سنگ‌های دگرگونی دگریخت شده، شناسه‌های گوناگونی از دگریختی را می‌توان مشاهده کرد. به وضوح می‌توان جداستدگی لایه‌های کوارتز و بیوتیت را مشاهده کرد. تبلور مجدد کوارتز نیز به وضوح قابل رویت است(شکل ۲۱-۵). از نظر حضور کانیها تفاوتی با سنگهای توضیح داده شده ندارند و آنالیز XRD آنها این مطلب را تایید می‌کند و می‌توان آنها را هورنفلس میلیونیتی شده نامگذاری کرد (شکل

(۲۲-۵)

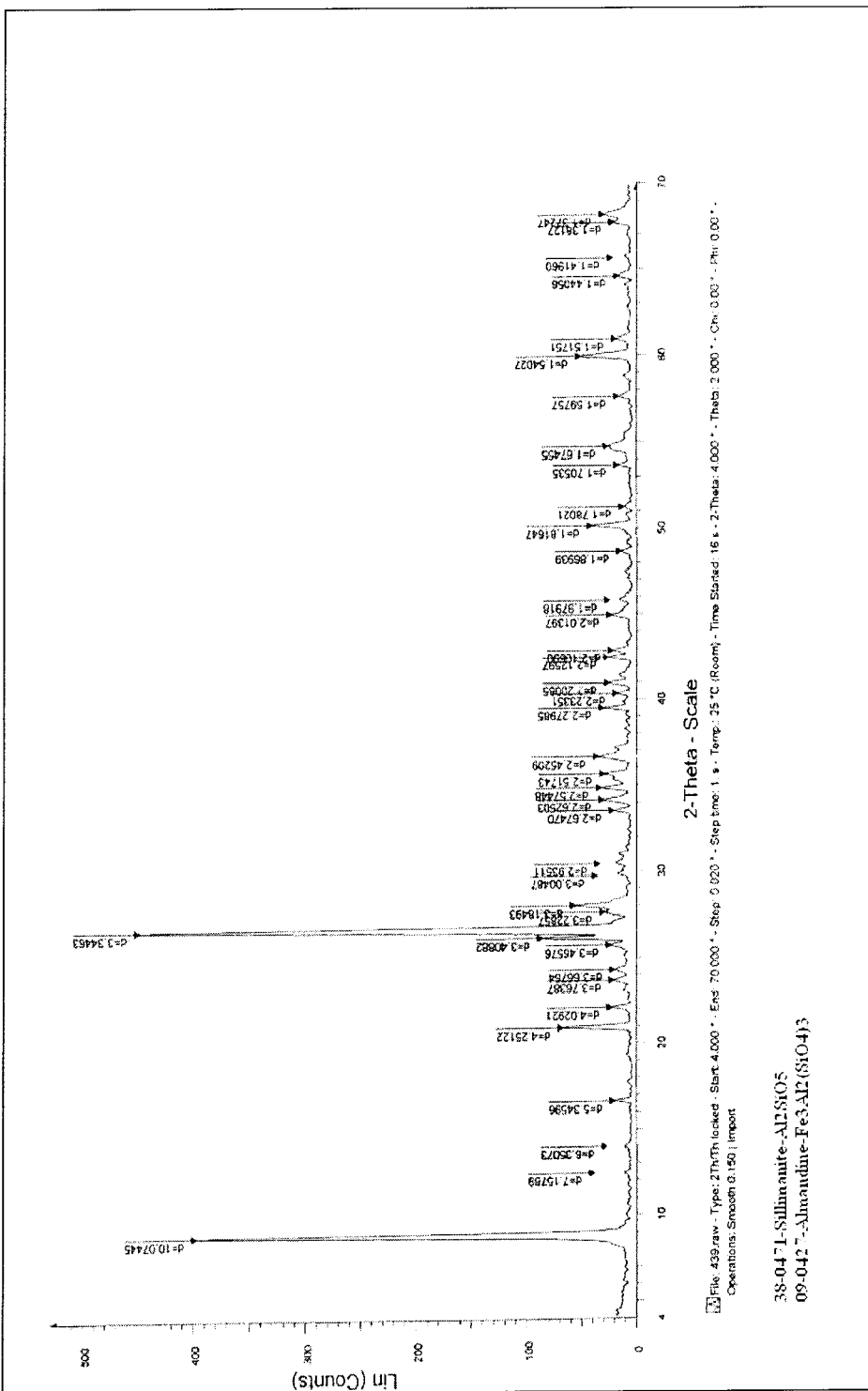


Spectrum
Kansarun Binoloud (Mine Material Research Co.) Tel : 0511 8784664
Mashhad - Rezashhar - Sento Road No. 150 Fax : 0511 8785059 Mobile : 09153153423

شکل ۵-۱۴- نمونه SEG7 که بر اساس آنالیز XRD انجام شده دارای کانیهای گارنت و سیلیمانیت بوده و یک نمونه گارنت- سیلیمانیت- آندالوزیت هورنفلاس است.



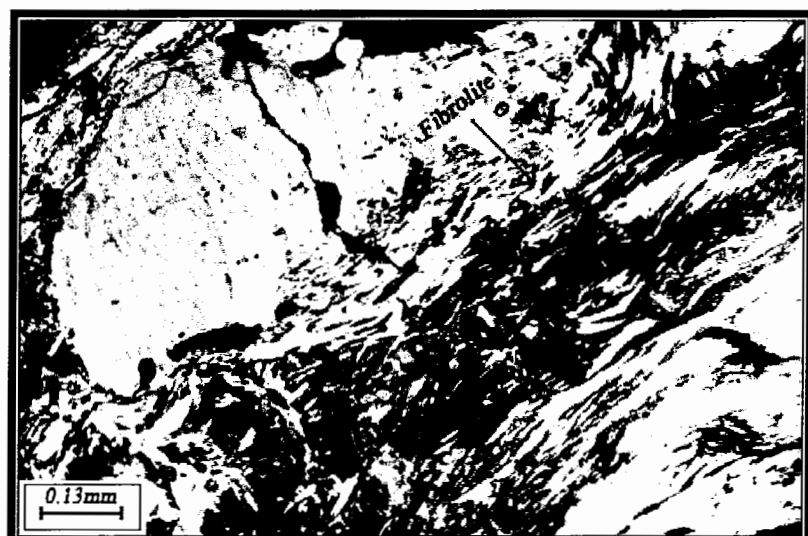
شکل ۵-۵۶- نمونه MZ3 که بر اساس آنالیز XRD انجام شده دارای بیوتیت، کلریت و سیلیمانیت بوده و یک نمونه گارنت- سیلیمانیت- آندالوزیت هورنفلاس است.



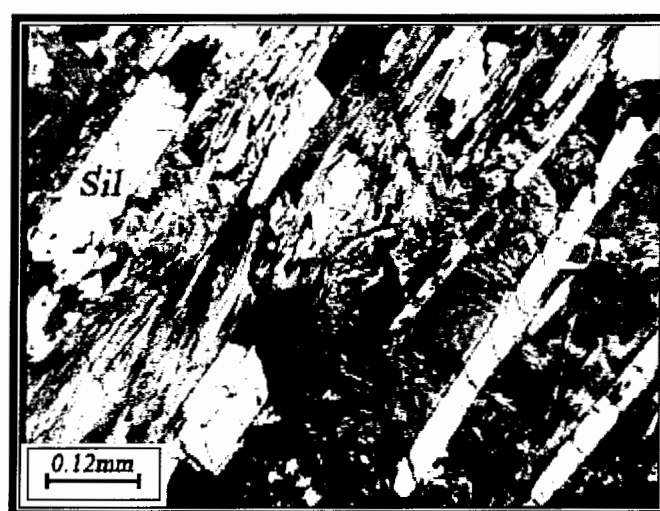
شکل ۵-۶ - نمونه ۶- که بر اساس آنالیز XRD انجام شده دارای گارت و سیلیمانیت بوده و یک نمونه گارت- سیلیمانیت- آندالوزیت هورنفنس می‌باشد.



شکل ۱۷-۵- تصویر میکروسکوپی پورفیروبلاست گارنت (PPL)



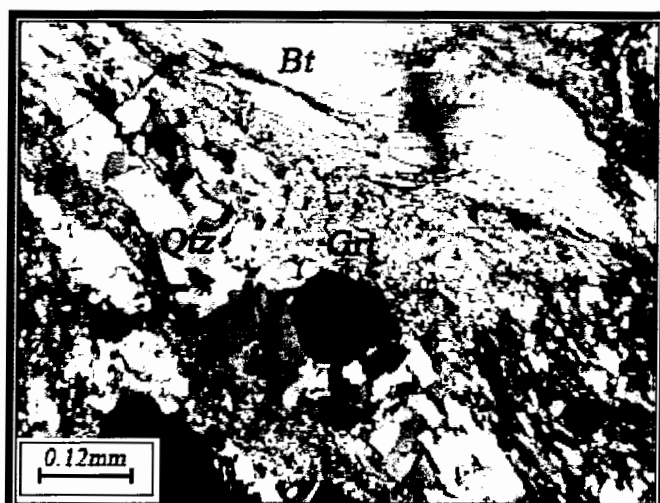
شکل ۱۸-۵- تصویر میکروسکوپی فیبرولیت (XPL)



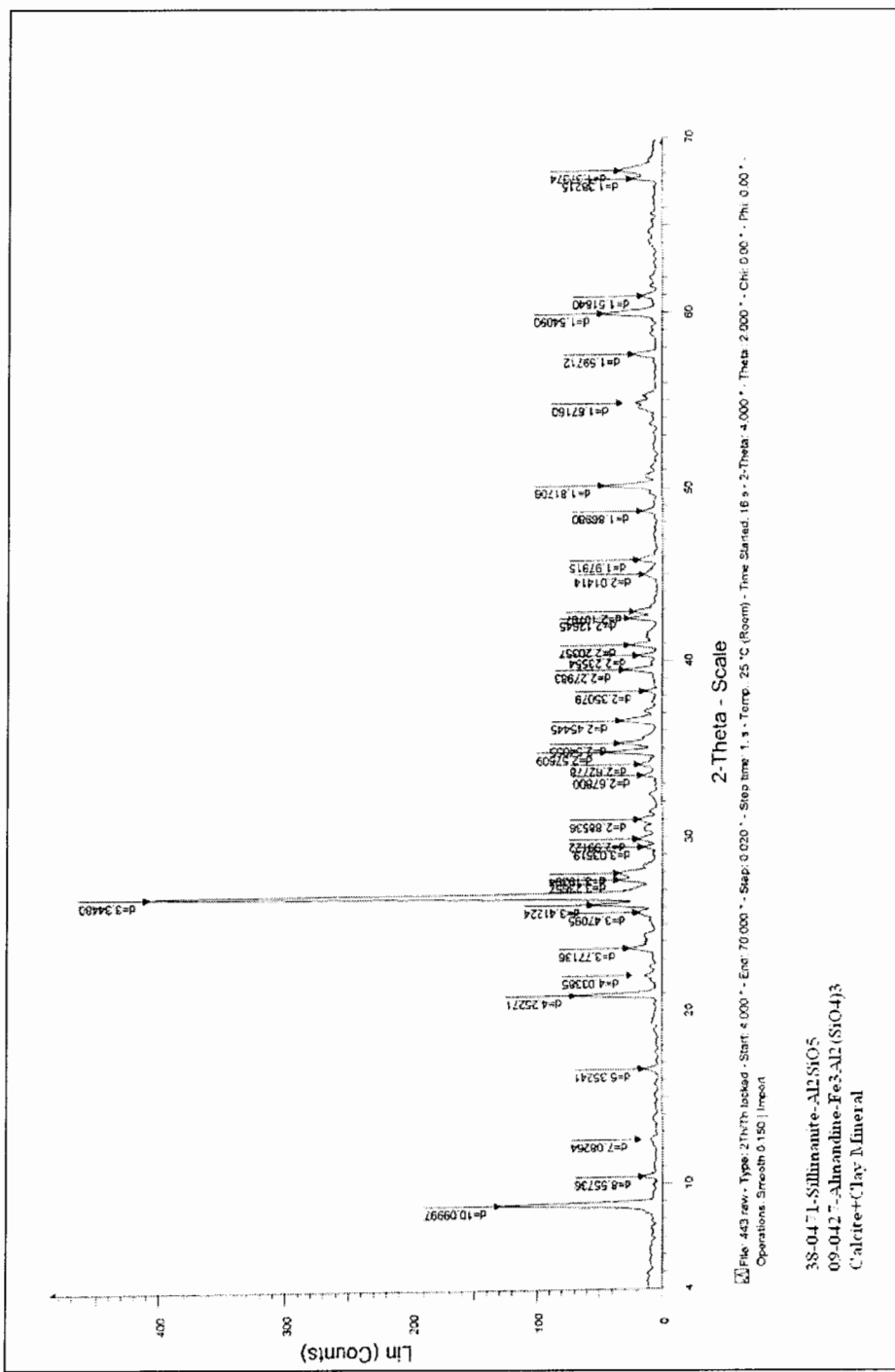
شکل ۱۹-۵- تصویر میکروسکوپی بلورهای سیلیمانیت (XPL)



شکل ۲۰-۵- تصویر میکروسکوپی پرتیت (XPL)



شکل ۲۱-۵- تصویر میکروسکوپی هورنفلس های میلونیتی شده (XPL)



فَصَلِّ
وَكُنْ

فصل ششم

دگرگونی

۱-۶ - مقدمه

دگرگونی را می‌توان سازگاری کانی شناسی، شیمیایی و ساختمانی سنگ‌های جامد با شرایط فیزیکی و شیمیایی تعریف کرد که به طور معمول در عمقی زیر زون سطحی هوازدگی و سیمانی شدن متحمل می‌شوند و این شرایط فیزیکی و شیمیایی با شرایط پیدایش سنگ‌های مورد بحث تفاوت دارد (بیتز و جکسون^۱، ۱۹۸۰). محیط‌های گوناگونی وجود دارند که دگرگونی در آنها رخ می‌دهد و بسیاری از آنها به فعالیت‌های آذرین یا فرایندهایی مربوط می‌شوند که در لبه صفحه‌ها عمل می‌کنند. انواع مهم دگرگونی عبارتند از:

۱- دگرگونی ناحیه‌ای

۲- دگرگونی دفنی

۳- دگرگونی بستر اقیانوس

۴- دگرگونی زون فرورانش

۵- دگرگونی حرارتی یا همبری

۶- دگرگونی گرمابی

۷- دگرگونی پویا^۱ / دگرگونی زون برش^۲

۸- دگرگونی پوسته زیرین و گوشته بالایی

در این مطالعه به لحاظ اینکه منطقه تحت تاثیر دگرگونی ناحیه‌ای و مجاورتی قرار گرفته، به توصیف این گروهها می‌پردازیم.

۶-۲- دگرگونی ناحیه‌ای

عموماً دگرگونی ناحیه‌ای دارای گسترش زیاد بوده و خاص نوارهای کوهزایی است. حد این دگرگونی بسیار وسیع و به چند صد تا چندین هزار کیلومتر می‌رسد و بر خلاف دگرگونی مجاورتی و دینامیکی فرایندهای این نوع دگرگونی واضح و آشکار نیستند. عامل اصلی ایجاد آن، فشارهای جهت-دار است که مسلماً دما نیز در آن نقش دارد. میزان دما در این دگرگونی به ۷۰۰ تا ۸۰۰ درجه سانتی گراد و مقدار فشار نیز بین ۲۰۰۰ تا ۱۰۰۰۰ بار می‌رسد. فشار جهت‌دار موجب جهت یافتنگی کانی‌ها می‌شود، به همین دلیل در این قبیل دگرگونی‌ها از جهت یافتنگی ترجیحی صحبت می‌شود. اصولاً نیروهای کوهزایی در طبقات سطحی زمین موجب خردشدن، چین خوردگی و روراندگی می‌شوند و لی در ترازهای زیرین موجب جابجایی، تبلور مجدد کانیها و فابریک انیزوتربوبی مانند کلیواژ اسلیتی، فولیاسیون و لیناسیون بوجود می‌آید و در نتیجه فابریک اولیه دچار تغییر می‌شود.

مطالعات صحرایی نشان می‌دهند که در این قبیل دگرگونی‌ها می‌توان از سنگ‌های دگرگون نشده تا انواع شدیداً دگرگون شده و حالات حدواتر و تدریجی ملاحظه نمود، که در آن بر شدت درجات دگرگونی افزوده می‌گردد. با افزایش درجه دگرگونی بر اندازه دانه‌ها (کانی‌ها) نیز افزوده می‌شود، و در درجات بسیار شدید آن نیز ذوب بخشی رخ می‌دهد و تدریجی رگه‌های گرانیت و پگماتیت فراوانتر می‌گردد.

1- Dynamic Metamorphism
2- Shear Zone Metamorphism

۶-۳- دگرگونی مجاورتی

واژه دگرگونی مجاورتی (حرارتی) برای اولین بار توسط بارل (۱۹۰۷) برای فرایند شیمیایی که در مجاورت توده نفوذی رخ می‌دهد، بکار برده شد. تغییرات بر اثر مهاجرت عناصر به کمک سیالات از مآگما به سنگ میزبان رخ می‌دهند. این دگرگونی دارای دامنه محدود بوده و منجر به تشکیل سنگ‌های دگرگونی در اطراف توده‌های نفوذی می‌شود. در دگرگونی مجاورتی دما نقش اساسی دارد ولی ترکیب شیمیایی توده نفوذی و سنگ‌های دربرگیرنده و نوع سیالاتی که از مآگما متصاعد می‌شود هم باید در این امر مدنظر باشند، به همین دلیل منطقه دگرگون شده که به آن هاله دگرگونی هم می‌گویند، از نظر بافت و ترکیب کانی‌شناسی حالت منطقه‌ای داشته و در هر منطقه کانی‌های خاصی دیده می‌شوند. غالباً در دگرگونی مجاورتی هورنفلس بوجود می‌آید که به علت فقدان فشارهای جهت‌دار، کانی‌ها بدون نظم و ترتیب و به طور اتفاقی قرار می‌گیرند. گاهی ممکن است بر اثر ورود توده‌های نفوذی تغییر شکل‌هایی در سنگ‌های مجاور بوجود آید. در این حالت بافت آن تا حدودی به بافت سنگ‌های دگرگونی ناحیه‌ای شباهت پیدا می‌کند.

اگر سنگ‌های میزبان توده نفوذی پلیتی باشند دگرگونی حرارتی عمده‌تاً از نوع ایزوشیمیایی بوده و زونها نسبتاً منظم هستند. هرگاه توده نفوذی در افقهای نزدیک سطح زمین جایگزین شده باشد، استقرار توده نفوذی در سنگ‌های نسبتاً سرد با بالاً‌مدگی سقف توده نفوذی و در نتیجه گسل خوردگی امکان پذیر می‌باشد، و یا ممکن است قطعاتی از دیواره به داخل توده مذاب سقوط نمایند.

ضخامت هاله دگرگونی در اطراف توده نفوذی به عوامل زیر بستگی دارد:

الف: وضع هندسی، حجم، نوع توده مذاب و عمق استقرار آن.

ب: در سنگ‌های میزبان به نوع، دما، وضع لایه‌بندی، جهت یافتنگی در سنگ (در صورت وجود سنگ‌های دگرگونی ناحیه‌ای در منطقه)، سیالات یا آب موجود در آن و تراوایی آن.
حجم توده نفوذی هم عامل مهمی در ضخامت هاله دگرگونی به شمار می‌آید.

۶-۴- سنگ منشا

سنگ‌های دگرگونی، ترکیبی بسیار گوناگون دارند که این خود نمایانگر گوناگونی سنگ‌های مادر است. ترکیب شیمیایی سنگ مادر دگرگونی، کنترل کننده ترکیب کانی‌شناسی و حدود بالا و پایین دگرگونی است. از سوی دیگر مشاهدات پتروگرافی که اساساً با شناخت کانیها همراه می‌باشد، ابزار

قدرتمندی برای توصیف جنبه‌های اساسی تاریخ سنگ دگرگونی است. کانیهای موجود در یک سنگ دگرگونی بازگوکنندهٔ ترکیب شیمیایی سنگ مادر هم هستند. برای ساماندهی سنگ‌های مادر دگرگونی، سنگ‌های رسوبی دگرگون شده را به طور کلی می‌توان در سه دسته اصلی، به نام رسوبات دگرگون شدهٔ پلیتی، متاکربنات/کالک سیلیکات و کوارتز-فلدسپاتی جای داد. در میان این سه عضو، گسترهٔ کاملی از سنگ‌ها دیده می‌شود. گذشته از سنگ‌های رسوبی دگرگون شده، سنگ‌های آذرین دگرگون شده با سه عضو پایانه‌ای به نامهای متابازیت، متاگرانیتوئید و متاولترابازیت وجود دارند. یکی از اهداف مطالعات سنگ‌شناسی دگرگونی، تشخیص نوع سنگ مادر در سرزمهین‌های دگرگونی است. در این رابطه، می‌توان از معیارهای زیر استفاده نمود:

(۱) روابط صحرایی: در سنگ‌های دگرگونی درجهٔ پایین، این احتمال وجود دارد که لایه‌بندی رسوبی و ساختمانهای بارز سنگ‌های رسوبی نظیر چینه بندی مورب و دانه‌بندی تدریجی محفوظ مانده باشد، لیکن بیشتر سنگ‌های دگرگونی این ساختمانهای اولیه را از دست می‌دهند. در سنگ‌های با درجهٔ دگرگونی بالا امکان ایجاد لایه‌بندی در طی تفریق دگرگونی وجود دارد، که ممکن است با لایه‌بندی حاصل از سنگ اولیه اشتباه گرفته شود (Symmes & Ferry, Ashworth, 1991).
.(Hyndman, Best

(۲) معیارهای میکروسکوپی: به این ترتیب روابط صحرایی چندان واضح و کافی نیستند و بهترین راهنمای در مقطع نازک، همان ماهیت تنوع لیتولوژیکی است. به طور مثال، لایه‌های نازک غنی از کوارتز، کربناتها و بیوتیت از یک منشأ رسوبی حکایت می‌کند (شلی، ۱۳۷۴). مقدار و نوع کانی‌های دگرگونی، ریزساختها و بافت‌های باقیمانده در زیر میکروسکوپ، معیارهایی برای تعیین نوع سنگ مادر می‌باشند. بافت افیتیک که مشخصهٔ گدازه‌های بازالتی است، ممکن است در سنگ‌های دگرگونی مافیک نیز مشاهده شود، لیکن بیشتر سنگ‌های دگرگونی بافت‌هایی را نشان می‌دهند که مشخصاً دارای منشأ دگرگونی هستند (Ferry, 1991).

(۳) معیارهای شیمیایی: ترکیب شیمیایی سنگ کل یکی از مهمترین معیارها برای تعیین سنگ منشأ در سنگ‌های دگرگونی به حساب می‌رود، که شامل درصد وزنی عناصر اصلی و فرعی می‌شود. یکی از مشکلات اساسی در تجزیه سنگ کل سنگ‌های دگرگونی، ناهمگنی و هتروژن بودن آنهاست که با انتخاب نمونه از قسمت‌های هموژن، می‌توان این مشکل را برطرف نمود (Suk, 1983). براساس

نظریه Best، معیارهای شیمیایی موقعی می‌توانند کاربرد داشته باشند که فرایندهای دگرگونی به صورت ایزوشیمیایی عمل کنند. داده‌های بدست آمده از تجزیه سنگ کل می‌توانند به طور مستقیم و غیر مستقیم در ترسیم نمودارهای تعیین سنگ مادر دگرگونی بکار روند (Suk, 1983). معیارهای شیمیایی مهمی که برای تشخیص نوع پروتولیت اهمیت دارند، متفاوت و فراوانند، اما معمولترین آنها عبارتند از:

الف- استفاده مستقیم در نمودارهای ساده ای مانند $O : Na_2O : K_2O$ برای تعیین سنگ‌های رسوبی از متاولکانیکی (Suk, 1983) و استفاده مستقیم از عناصر اصلی در نمودارهایی نظیر نمودارهای مثلثی دولاروش (De La Roche, 1966).

ب- استفاده از تغییرات سیستماتیک SiO_2 و Al_2O_3 با افزایش درجه دگرگونی

ج- استفاده از تابع تشخیص شاو (DF) که به ترتیب زیر محاسبه می‌شود (Shaw, 1972):

$$DF = 10.44 - 0.21SiO_2 - 0.32Fe_2O_3^t - 0.98MgO + 0.55CaO + 1.46Na_2O + 0.54K_2O$$

مقدار مثبت DF نشانگر سنگ مادر آذرین و مقدار منفی آن، اغلب مشخصه سنگ‌های رسوبی دگرگون شده است. وجود مقادیر مثبت و منفی برای یک سری از سنگ‌های دگرگونی، نشان‌دهنده منشأ رسوبی و آذرین است (Pralhu & Weber, 1984). در مورد نمونه‌های این منطقه مقدار این تابع منفی بدست آمد که منشأ رسوبی این سنگها را تأیید می‌کند.

اغلب سنگ‌های دگرگونی ناحیه‌ای در منطقه فریمان متاپلیت می‌باشند که در حد رخساره آمفیبولیت دگرگون شده‌اند.

۶-۱-۴-۶- پلیتها

بیشترین نسبت سنگ‌های دگرگونی در منطقه مورد مطالعه را سنگ‌های با منشأ پلیتی تشکیل می‌دهند. ماسه سنگ‌ها، کربناتها و سنگ‌های آذرین اسیدی، به خوبی سنگ‌های پلیتی تحت تأثیر تغییرات بافتی قرار نمی‌گیرند (Moorhouse, 1985). شناخت سنگ منشأ از طریق کانی شناسی می‌تواند به راحتی صورت گیرد. سنگ‌های این گروه بیانگر دگرگون شدنگی نهشته‌های رسی (گلسنگها) هستند. این تهنیت‌ها به میزان متوسط تا زیاد دارای سیلیسیس هستند و زیاد بودن Al_2O_3 و K_2O در CaO و MgO و Fe_2O_3 ، FeO آنها کمتر است. نسبت هر یک از این اکسیدها از سنگی به سنگ آنها متفاوت و مقدار MnO و Na_2O آنها کمتر است. سبب پیدایش طیفی از کانیها در خلال دگرگونی دیگر فرق می‌کند و این ترکیب شیمیایی پیچیده، سبب پیدایش طیفی از کانیها در خلال دگرگونی

می‌شود که در تشخیص درجه دگرگونی، حائز اهمیت است (بارکر، ۱۳۷۸). در مورد منطقه مورد مطالعه، آنالیز شیمیایی سنگ‌های پلیتی، مقدار درصد وزنی Na_2O را در حدود ۱,۵ نشان می‌دهد، در حالیکه درصد وزنی K_2O به ۳,۱ می‌رسد (جدول ۱-۶). این ویژگی از مشخصات سنگ‌های رسی است. مقدار Al_2O_3 تقریباً بالا بوده و به حدود ۲۰٪ می‌رسد. این ویژگی‌ها بیانگر منشأ آرژیلیتی برای این سنگها است که فراوانی کانیهای الومینیومدار و میکانیز بر این مسئله تأکید دارند. به دلیل کم بودن تعداد نمونه‌های تجزیه شده، امکان استفاده از نمودارهایی که در این زمینه وجود دارند میسر نشد. سنگ‌های دگرگونی منطقه مورد مطالعه را بر اساس ماهیت سنگ اولیه می‌توان در سه گروه جداگانه بررسی نمود که عبارتند از: ترکیبات پلیتی، ترکیبات کربناتی و ترکیبات کوارتز-فلدسباتی. این سنگها از پراکندگی منظمی در منطقه برخوردار نیستند.

جدول ۱-۶ - نتایج آنالیز ژئوشیمی عناصر اصلی نمونه‌های دگرگونی

شماره نمونه	SiO_2	Al_2O_3	$\text{Fe}_2\text{O}_3(\text{T})$	MgO	CaO	Na_2O	K_2O	MnO	TiO_2	P_2O_5
SFB1	71.8	13.36	4.82	1.13	1.28	1.41	3.21	0.1	0.72	0.32
SFG10	66.75	15.95	8.21	1.88	0.48	1.38	3.16	0.13	0.96	0.22
GL1-7	63.23	20.29	7.83	1.41	0.24	1.35	3.11	0.15	1.17	0

۶-۵-۶- بررسی ویژگیهای متابلیت‌ها در دگرگونی ناحیه‌ای

۶-۵-۶-۱- دگرگونی پلیتها در فشارهای پایین

ممکن است سنگ‌های پلیتی در حرارت‌های مشابه با حرارت زونهای بارووین ولی در فشارهای پایین‌تر از آن گرم شوند که این عمل، هم در دگرگونی مجاورتی و هم در بعضی از انواع دگرگونی ناحیه‌ای که واجد جریانهای حرارتی بالایی هستند صورت می‌گیرد. این نوع دگرگونی به سری آندالوزیت- سیلیمانیت یا سری آبوقوما^۱ (میاشیرو، ۱۹۵۸) معروف است و با کانیهای شاخص آندالوزیت و سیلیمانیت مشخص می‌شود. کوردیریت می‌تواند وجود داشته باشد ولی استارولیت، کیانیت، گلاکوفان و ژادئیت وجود ندارند. اختصاصات دگرگونی متابلیت‌های فشار پایین عبارت است از:

(۱) کیانیت تشکیل نمی‌شود، اما آندالوزیت فراوان است.

(۲) کوردیریت در درجات متوسط (شروع رخساره آمفیبولیت) تشکیل می‌شود.

(۳) گارنت معمولاً کم است و یا وجود ندارد.

(۴) استارولیت وجود ندارد.

منطقه‌بندی دگرگونی براساس کانیهای شاخص و افزایش درجه دگرگونی (افزایش دما) در این سری به شرح زیر است.

منطقه کلریت- بیوتیت

در این منطقه کلریت فراوان بوده، اما مقادیر کمی بیوتیت قهوه‌ای نیز وجود دارد. عمل تبلور مجدد ناقص است و مجموعه‌های کانی شناسی تبلور مجددیافته به قرار زیر می‌باشند که نشان‌دهنده رخساره شیست سبز هستند.

► کوارتز+پلاژیوکلاز+کلریت+مسکویت+اسفن+ایلمنیت+گرافیت

► کوارتز+آلبیت+پلاژیوکلاز سدیک+کلریت+مسکویت+بیوتیت+اسفن+ایلمنیت+گرافیت

منطقه بیوتیت - آندالوزیت

این منطقه با ناپدید شدن کلریت مشخص می‌شود. بیوتیت فراوان شده ولی آندالوزیت تنها در بخش‌های درجه حرارت بالای این زون بوجود می‌آید. مجموعه‌های کانی‌شناسی مشاهده شده در این منطقه عبارتند از:

- کوارتز + پلازیوکلاز سدیک + مسکویت + بیوتیت
- کوارتز + الیگوکلاز + اورتوکلاز + مسکویت + بیوتیت
- کوارتز + الیگوکلاز + اورتوکلاز + مسکویت + بیوتیت + آندالوزیت

منطقه سیلیمانیت

این منطقه با ظهر سیلیمانیت مشخص می‌شود. اگرچه آندالوزیت در بعضی از این سنگها دیده می‌شود، ولی آن را به عنوان یک کانی باقیمانده در نظر می‌گیرند. مجموعه‌های کانی‌شناسی این منطقه عبارتند از:

- کوارتز + الیگوکلاز + اورتوکلاز + مسکویت + بیوتیت + آندالوزیت + سیلیمانیت
- کوارتز + الیگوکلاز + اورتوکلاز + سیلیمانیت + بیوتیت + کوردیریت
- کوارتز + پلازیوکلاز + بیوتیت + گارنت + کوردیریت
- کوارتز + الیگوکلاز + بیوتیت + گارنت + سیلیمانیت + کوردیریت

این مجموعه‌های دگرگونی مربوط به رخساره آمفیبولیت می‌باشند.

منطقه سیلیمانیت - اورتوکلاز

این منطقه با شکست مسکویت در حضور پلازیوکلاز + کوارتز و تشکیل سیلیمانیت و اورتوکلاز مشخص می‌شود. در این منطقه بسته به ترکیب شیمیایی وجود آب (فشار بالای H_2O) ممکن است ذوب بخشی روی دهد. مجموعه‌های کانی‌شناسی این منطقه عبارتند از:

- کوارتز + اورتوکلاز + سیلیمانیت با آندالوزیت \pm پلازیوکلاز + بیوتیت
- کوارتز + اورتوکلاز + سیلیمانیت \pm کوردیریت \pm گارنت آلماندین \pm پلازیوکلاز \pm بیوتیت

این مجموعه‌های کانی‌شناسی مربوط به رخساره گرانولیت می‌باشند.

۶-۵-۲- دگرگونی پلیتها در فشار کم تا متوسط

دگرگونی فشار کم تا متوسط به سری بوچان^۱ (توضیح ۱۹۵۲ Read معرفی شده است) معروف است. کانیهای شاخص آن سیلیمانیت- آندالوزیت و همچنین استارولیت و کوردیریت می‌باشند و کیانیت، ژائیت و گلاکوفان وجود ندارد. اختصاصات دگرگونی متاپلیت‌های فشار کم تا متوسط عبارت است از:

۱) کیانیت تشکیل نمی‌شود ولی آندالوزیت فراوان است.

۲) کوردیریت در درجات متوسط (شروع رخساره آمفیبولیت) تشکیل می‌شود.

۳) گارنت ممکن است موجود باشد.

۴) استارولیت ممکن است وجود داشته باشد.

منطقه‌بندی دگرگونی براساس کانیهای شاخص و افزایش درجه دگرگونی در این سری به شرح زیر می‌باشد.

منطقه بیوتیت

این منطقه با فراوانی بیوتیت مشخص می‌شود. متداولترین مجموعه کانی‌شناسی این منطقه عبارت است از:

► بیوتیت+ کلریت+ مسکویت+ آلبیت+ کوارتز ± کلریتوئید ± اورتوكلاز

این مجموعه مربوط به رخساره شیست سبز می‌باشد.

منطقه کوردیریت

کانی شاخص این منطقه کوردیریت می‌باشد، مجموعه‌های کانی‌شناسی متداول در این منطقه عبارتند از:

► کوارتز+ بیوتیت+ مسکویت+ آلبیت+ کوردیریت ± اورتوكلاز

► کوارتز+ بیوتیت+ مسکویت+ آلبیت+ آندالوزیت ± اورتوكلاز

در این منطقه می‌توان آندالوزیت را با بیوتیت مشاهده نمود، ولی همواره کوردیریت دیده نمی‌شود، (آندالوزیت در قسمت‌های فوقانی این زون ایجاد می‌شود) مجموعه کانی‌شناسی مذکور مربوط به رخساره آمفیبولیت می‌باشد.

منطقه آندالوزیت

این منطقه با همیافتی آندالوزیت و کوردیریت مشخص می‌شود. مجموعه کانی‌شناسی متداول در این منطقه عبارت است از:

► کوارتز + بیوتیت + مسکویت + کوردیریت + آندالوزیت \pm پلازیوکلاز (الیگوکلاز - آندزین) \pm
اور توکلاز

منطقه سیلیمانیت

این منطقه با پیدایش کانی سیلیمانیت مشخص می‌شود. کوردیریت و آندالوزیت نیز ممکن است موجود باشند. مجموعه‌های کانی‌شناسی متداول در این منطقه عبارت است از:

► کوارتز + بیوتیت + مسکویت + کوردیریت + آندالوزیت + سیلیمانیت \pm پلازیوکلاز \pm اور توکلاز
► کوارتز + بیوتیت + مسکویت + کوردیریت + سیلیمانیت \pm پلازیوکلاز \pm اور توکلاز \pm گلرنت
آلماندین

این مجموعه کانی‌شناسی مربوط به بخش‌های درجه بالای رخساره آمفیبولیت می‌باشد.

منطقه سیلیمانیت - اور توکلاز

این منطقه مشابه با منطقه سیلیمانیت - اور توکلاز در سری ابوکوما (فشار پایین) می‌باشد.

۳-۵-۶- دگرگونی ناحیه ای فشار متوسط

این دگرگونی به سری کیانیت - سیلیمانیت یا بارو¹ معروف است. در این سری کانی‌های سیلیمانیت، کیانیت و استارولیت شاخص می‌باشند، ولی ژادئیت، گلاکوفان و کوردیریت وجود ندارند. اختصاصات دگرگونی متابولیت‌های فشار متوسط عبارت است از:

۱) وجود کیانیت و سیلیمانیت و عدم وجود آندالوزیت

(۲) حضور استارولیت و تشکیل آن در درجات متوسط (شروع رخساره آمفیبولیت)

(۳) فراوانی گارنت (آلماندین)

(۴) عدم وجود کوردیریت

منطقه بندی دگرگونی براساس کانیهای شاخص و افزایش درجه دگرگونی (افزایش دما) در این سری به شرح زیر می‌باشد.

منطقه کلریت

سنگهای متداول در این منطقه را اسلیت‌ها تشکیل می‌دهند که اساساً حاوی مجموعه کانی شناسی زیر می‌باشند:

► مسکویت + کلریت + کوارتز + آلبیت + گرافیت

با افزایش درجه دگرگونی، اندازه دانه‌ها افزایش یافته و فیلیت و شیست به وجود می‌آیند که مجموعه کانی شناسی آنها عبارتند از:

► کلریت + مسکویت + آلبیت + کوارتز

آلبیت ممکن است به صورت پورفیروبلاست دیده شود. مسکویت عموماً از نوع فنجیت می‌باشد و در بعضی از سنگها کانی پاراگونیت به صورت پراکنده دیده می‌شود. مجموعه‌های کانی شناسی این منطقه مربوط به رخساره شیست سبز می‌باشند.

منطقه بیوتیت

این منطقه با فراوانی بیوتیت مشخص می‌شود، متداولترین مجموعه کانی شناسی این منطقه عبارت است از:

► بیوتیت + کلریت + مسکویت + آلبیت + کوارتز \pm کلریتوئید

سنگها در این منطقه از نوع شیست بوده و در انواع غنی از FeO و Al_2O_3 کلریتوئید تشکیل می‌شود. مجموعه کانی شناسی این منطقه مربوط به رخساره شیست سبز می‌باشد.

منطقه گارنت آلماندین

این منطقه با ظهور کانی آلماندین مشخص می‌گردد. آلماندین اغلب به صورت پورفیروبلاست بوده و در بعضی مواقع حاوی ادخالهایی از کوارتز و دیگر کانیها می‌باشد. سنگ‌های تشکیل شده در

این منطقه شیستهایی با مجموعه کانی شناسی زیر می‌باشند که این مجموعه مربوط به رخساره اپیدوت-آمفیبولیت می‌باشد.

► آلماندین+بیوتیت+مسکویت+آلبیت+کوارتز±کلریت

منطقه استارولیت-کیانیت

با افزایش درجه دگرگونی کانیهای استارولیت و کیانیت شروع به ظاهرشدن در سنگ نموده، که معمولاً به صورت پورفیروبلاست دیده می‌شوند. البته استارولیت زودتر از کیانیت تشکیل می‌شود و در محدوده پایداری کیانیت نیز مقاوم باقی می‌ماند. سنگ‌های شاخص این منطقه شیستهایی با مجموعه‌های کانی شناسی زیر می‌باشند:

► استارولیت+آلمندین+بیوتیت+مسکویت+پلازیوکلاز (الیگوکلاز-آنزین)+کوارتز

► کیانیت+آلمندین+بیوتیت+مسکویت+پلازیوکلاز (الیگوکلاز-آنزین)+کوارتز±استارولیت

مجموعه کانی شناسی این منطقه مربوط به رخساره آمفیبولیت می‌باشند.

منطقه سیلیمانیت

کانی شاخص این منطقه سیلیمانیت می‌باشد و مرز آن را محدوده پایداری سیلیمانیت-کیانیت نشان می‌دهد. مجموعه کانی شناسی متداول در این منطقه عبارت است از:

► سیلیمانیت+آلمندین+بیوتیت+مسکویت+پلازیوکلاز (الیگوکلاز-آنزین)+کوارتز±کیانیت±استارولیت

مجموعه کانی شناسی فوق در شیستهای و گنایس‌های سیلیمانیت‌دار، رخساره آمفیبولیت دیده می‌شود.

منطقه سیلیمانیت-اورتوکلاز

این منطقه مشابه با سریهای فشارکم می‌باشد.

۶-۵-۴- دگرگونی ناحیه‌ای فشار متوسط تا بالا

این منطقه به سری گلاکوفان- لاوسونیت یا سان باگاوا^۱ معروف است. در این سری کانیهای گلاکوفان و (یا) لاوسونیت، همچنین کیانیت شاخص می‌باشد، ولی ژائیت وجود ندارد. اختصاصات دگرگونی متاپلیت‌های فشار متوسط تا بالا عبارت است از:

- ۱) کیانیت وجود دارد ولی آندالوزیت و سیلیمانیت دیده نمی‌شود.
- ۲) معمول بودن گارنت آلماندین که از نظر مقدار MgO غنی‌تر از گارناتهای سری فشار متوسط است.
- ۳) کوردیریت وجود ندارد.

منطقه‌بندی دگرگونی براساس کانیهای شاخص و افزایش درجه دگرگونی (افزایش دما) در این سری به شرح زیر می‌باشد:

منطقه کلریت

کانی شاخص این منطقه کلریت است. مجموعه کانی شناسی متداول در این منطقه عبارت است از:

► کلریت+مسکویت+آلبیت+کوارتز±اپیدوت±کلسیت±گرافیت±گارنت آلماندین±ایلمنیت±هماتیت

مجموعه کانی شناسی فوق مربوط به رخساره‌های شیست آبی و شیست سبز گلاکوفانیتی می‌باشد (وینکلر، ۱۹۷۶).

منطقه بیوتیت

با افزایش درجه دگرگونی و ورود به رخساره اپیدوت-آمفیبولیت، علاوه بر بیوتیت، گارنت (آلماندین) نیز بسیار معمول شده و مجموعه کانی شناسی زیر پدید می‌آید.

► گارنت آلماندین+کلریت+مسکویت+آلبیت+کوارتز+بیوتیت±اپیدوت±کلسیت±گرافیت

در بالاترین حرارت رخساره اپیدوت- آمفیبولیت، بیوپیت کاملاً متداول شده و کلریت تقریباً ناپدید می‌گردد. مجموعه کانی شناسی متداول در این منطقه عبارت است از:

► بیوپیت + گارنت (آلمندین) + مسکوبیت + آلبیت + کوارتز ± اپیدوت ± کلسیت ± گرافیت

منطقه کیانیت

کانی شاخص این منطقه کیانیت می‌باشد. مجموعه کانی شناسی متداول در این منطقه عبارت است از:

► کیانیت + بیوپیت + گارنت (آلمندین) + مسکوبیت + کوارتز + پلاژیوکلاز سدیک (الیگوکلاز- آندزین)

در بخش‌های حرارت بالای این منطقه سنگها دچار ذوب بخشی می‌شوند (قبل از تشکیل سیلیمانیت). مجموعه کانی شناسی منطقه کیانیت مربوط به بخش‌های فشار بالای رخساره آمفیبولیت می‌باشد.

۶-۵-۵- دگرگونی ناحیه‌ای فشار بالا

این دگرگونی به سری ژادئیت- کوارتز یا آلپی^۱ معروف است. در این سری کانیهای ژادئیت و کوارتز شاخص بوده و کیانیت، گلاکوفان و ژادئیت نیز می‌توانند وجود داشته باشند. در بعضی موارد آرگونیت دیده می‌شود، ولی آندالوزیت و سیلیمانیت وجود ندارد. اختصاصات دگرگونی متاپیلیت‌های فشار بالا عبارت است از:

(۱) عدم حضور بیوپیت

(۲) حضور گسترده مسکوبیت غنی از فنریت

(۳) معمول بودن کانیهای گارنت، کیانیت، کلریت و کلریتوئید (غنی از MgO)

(۴) معمول بودن مجموعه تالک- کلریت

منطقه فریمان با توجه به اختصاصات شرح داده شده جزء سری فشار بالا محسوب نمی‌شود، لذا از شرح منطقه بندی دگرگونی در این سری صرفنظر می‌کنیم.

گرادیان ژئوترمال میانگینی که سبب بوجود آمدن انواع دگرگونی‌های P/T پایین، متوسط و بالا می‌گردد، به ترتیب تقریباً بیشتر از ۳۵، بین ۱۵ و ۳۵ و کمتر از ۱۵ درجه در هر کیلومتر می‌باشند. این ترتیب، سبب می‌شود که کانیهای متفاوتی در طی دگرگونی در این تیپ‌ها تشکیل گردد و این کانی‌ها، معیار مناسبی برای تفکیک انواع دگرگونی از یکدیگر می‌باشد. با توجه به اینکه هر کدام از تیپ‌های دگرگونی در محیط‌های تکتونیکی خاصی تشکیل می‌شوند، بنابراین تشخیص تیپ دگرگونی، می‌تواند ما را از خصوصیات ترمودینامیکی و تکتونیکی منطقه در زمان دگرگونی آگاه سازد. حضور آندالوزیت به مقدار فراوان در متاپیلیت‌ها، فقدان کیانیت و استارولیت، حضور زون‌های بیوتیت، آندالوزیت، کوردیریت، مسیر دگرگونی فشار کم تا متوسط را بیان می‌دارد.

۶-۶- حوادث دگرگونی رخ داده در منطقه مورد مطالعه

در منطقه مورد مطالعه حداقل یک دگرگونی ناحیه‌ای و یک دگرگونی مجاورتی رخ داده است. بررسی تعداد زیادی مقاطع نازک تهیه شده از سنگ‌های دگرگونی که با فاصله از توده نفوذی نمونه برداری شده است، نشان‌دهنده تغییرات بافتی و کانی شناسی متفاوتی در این سنگ‌ها می‌باشد. وجود فولیاسیونهای متفاوت در این سنگ‌ها و مجموعه‌های کانیابی که از نظر درجات دگرگونی با هم سازگاری ندارند، حاکی از آن است که این سنگ‌ها علاوه بر تاثیر دگرگونی ناحیه‌ای تحت تاثیر دگرگونی مجاورتی نیز قرار گرفته‌اند (پلی‌متامورفیسم). دگرگونی ناحیه‌ای، شیسته‌ای پلیتی را در حد رخساره آمفیبولیت ایجاد کرده است. دگرگونی مجاورتی بعد از دگرگونی ناحیه‌ای رخ داده و باعث تشکیل انواع هورنفلس‌ها گردیده است.

سنگ‌های دگرگونی ناحیه‌ای شامل انواع شیسته‌ها از جمله گارنت- آندالوزیت میکاشیسته‌ها می‌باشد. این سنگ‌ها، شیستوزیتۀ واضحی از خود نشان می‌دهند که در نمونه‌های نزدیک به توده نفوذی، شیستوزیتۀ ضعیف می‌شود. از نظر کانی شناسی همان طور که قبلًا در بخش پتروگرافی توضیح داده شد شامل کانی‌های کوارتز، بیوتیت، موسکوویت، پلاژیوکلاز، گارنت، آندالوزیت بوده و گرافیت، تورمالین کانیهای فرعی آنها را تشکیل می‌دهد.

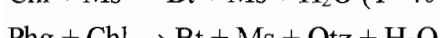
۶-۷- زون‌های دگرگونی

نخستین بار، بارو (۱۹۸۳) موفق به نشان دادن زون‌های کانیایی پیشرونده در مقیاس ناحیه‌ای شد. بعدها تایلی و هارکر کار وی را گسترش داده و یک سری از زون‌های دگرگونی را براساس تغییر کانی در متاپلیت‌ها تعیین نمودند. زون‌های دگرگونی، اکثراً در سنگ‌های پلیتی تعیین می‌شوند، زیرا سنگ‌های پلیتی تغییرات بافتی را به خوبی همراه با افزایش دما از خود نشان می‌دهند (Best, 2003). معمولاً ایزوگراد به عنوان خطی تعریف می‌گردد که در رخنمون، توسط ظهرور و ناپدید شدن یک کانی مشخص گردد. در یک سرزمین دگرگونی، ایزوگرادها، تصویر کلی از توزیع دما را نشان می‌دهند، ولی لزوماً دمای خاصی را نشان نمی‌دهند (Miyashiro, 1981).

در منطقه مورد مطالعه می‌توان دو زون دگرگونی ناحیه‌ای را تشخیص داد، که عبارتند از زون بیوتیت، زون گارنت. با مطالعه مقاطع نازک، حداکثر درجه دگرگونی ناحیه‌ای این سنگها متعلق به زون گارنت تشخیص داده شد که متعلق به رخساره آمفیبولیت می‌باشد و سیلیمانیت صرفاً در هاله دگرگونی مجاورتی وجود دارد.

دمای تشکیل بیوتیت به ترکیب شیمیایی سنگ اولیه بستگی دارد (Miyashiro, 1981). بر اساس نظر یاردلی (۱۹۸۹) دمای ایزوگراد بیوتیت را می‌توان $370 - 400$ درجه سانتیگراد در نظر گرفت.

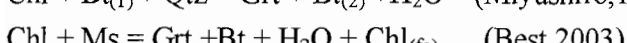
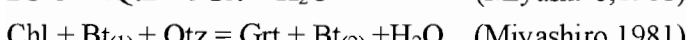
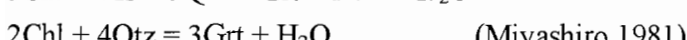
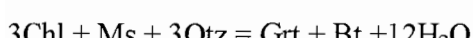
بیوتیت‌های موجود می‌تواند حاصل واکنش‌های ذیل باشد:



درجه حرارتی که به ازاء آن واکنش دوم آغاز می‌شود، به مقدار جانشینی فنریت در میکای اولیه و مقادیر X_{Mg} کلریت، بیوتیت و فریت بستگی دارد.

زون گارنت را می‌توان در کنار زون بیوتیت مشاهده نمود. با توجه به پارازنهای زون گارنت، واکنش‌های زیر را برای تشکیل گارنت می‌توان پیشنهاد داد.

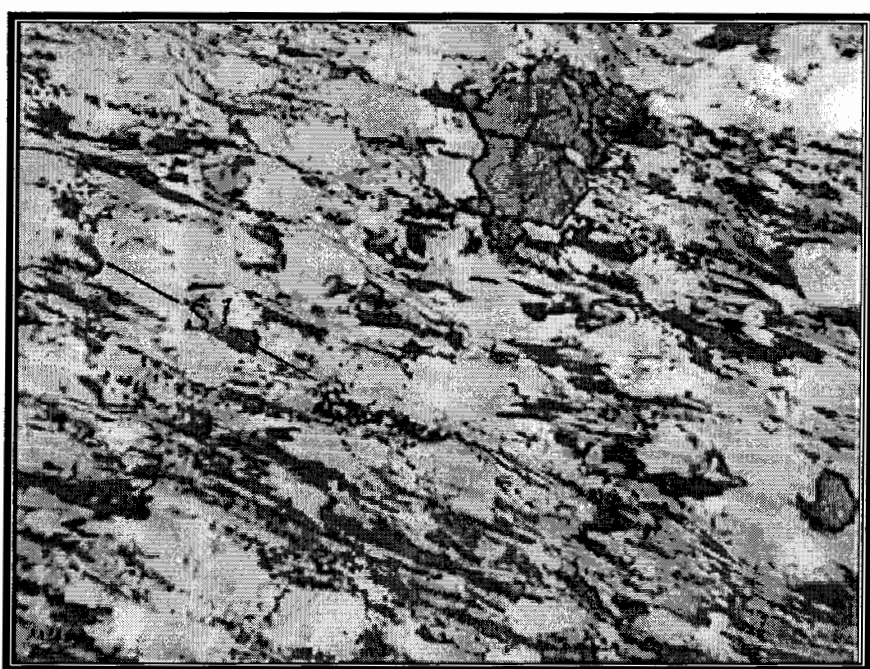
تامپسون و نورتون ۱۹۶۸ و کرتز ۱۹۹۴ برای تشکیل گارنت واکنش ذیل را پیشنهاد کرده‌اند.



واکنش ایزوگراد گارنت، به ترکیب کلی و مقادیر CaO و MnO سنگ بستگی دارد. در سنگهای با مقادیر بالای این اجزاء، گارنت در دماهای زیر ۴۵۰ درجه سانتیگراد نیز ظاهر می‌شود، در حالیکه، گارنت بدون این مقادیر تا ۵۰۰ درجه، نمی‌تواند تشکیل شود (Spear, 1993). در مورد ظهور آندالوزیت در بخش زون‌های دگرگونی مجاورتی توضیح داده می‌شود.

۶-۷-۱- زون‌های دگرگونی مجاورتی

براساس مطالعات انجام شده، هاله دگرگونی در اطراف گرانیتوئید قلندرآباد از وسعت زیادی برخوردار است، ولی به دلیل آنکه جایگیری این توده به صورت همزمان با تکتونیک صورت گرفته است، سنگهای هاله دگرگونی آن خصوصیات سنگهای دگرگونی ناحیه‌ای را دارا هستند. با افزایش فاصله از توده نفوذی که اثر حرارتی توده نفوذی بر سنگها کمتر مشهود است، سنگها دارای یک سطح فولیاسیون می‌باشند، که این سطح فولیاسیون بوسیله جهت‌یابی بلورهای بیوتیت، موسکویت مشخص می‌باشد (شکل ۱-۶).



شکل ۱-۶ - تصویر فولیاسیون غالب در شیستهای گارنت دار (حاشیه گارنت در قسمتهای غنی از میکا شکل دار و در قسمتهای غنی از کوارتز بی شکل می باشد).

همان طور که قبلًا اشاره شد، لیتولوژی سنگ‌های منطقه مورد مطالعه شامل ترکیبات پلیتی دگرگون شده است که دارای بین لایه‌هایی از مرمر می‌باشد. به دلیل آنکه سنگ‌های کربناتی در این منطقه پراکندگی منظمی ندارند و تنها رخنمونهای پراکنده‌ای از آنها دیده می‌شود و همچنین به علت نبود کانی‌های شاخص دگرگونی در مرمرها، زون‌بندی این منطقه براساس ظهور کانی‌های شاخص در سنگ‌های پلیتی و مجموعه‌های کانی در این سنگها صورت گرفته است.

براساس ظهور کانی‌های شاخص و مجموعه‌های کانی در سنگ‌های پلیتی، چهار زون دگرگونی مجاورتی در اطراف این توده نفوذی قابل تفکیک است، که به ترتیب کاهش فاصله از توده نفوذی عبارتند از:

- ۱) زون آندالوزیت
- ۲) زون کوردیریت
- ۳) زون سیلیمانیت
- ۴) زون سیلیمانیت فوقانی

زون آندالوزیت که خارجی‌ترین بخش هاله دگرگونی را تشکیل می‌دهد، شامل تمام سنگ‌هایی است که دارای آندالوزیت می‌باشد. زون کوردیریت شامل سنگ‌هایی هستند که دارای آندالوزیت و کوردیریت می‌باشند و زون سیلیمانیت، که در نزدیکی توده نفوذی ظاهر می‌شود.

۶-۱-۷-۶- مجموعه‌های کانی و روابط آنها در زون آندالوزیت

زون آندالوزیت خارجی‌ترین بخش هاله دگرگونی توده نفوذی منطقه قلندرآباد را تشکیل می‌دهد. مجموعه کانیها در سنگ‌های پلیتی این زون شامل بیوتیت، آندالوزیت، گارنت، موسکویت و کوارتز می‌باشد. کانی‌های فرعی این سنگها نیز گرافیت، تورمالین و کانی‌های اپاک است.

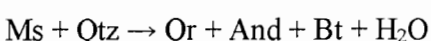
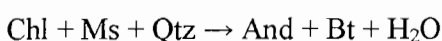
پورفیروبلاستهای آندالوزیت در این زون از نظر شکل، اندازه، فراوانی انکلوزیونها و ارتباط آن با فولیاسیون زمینه سنگ به دو صورت دیده می‌شود. بعضی از پورفیروبلاستهای آندالوزیت به صورت شکل‌دار و دارای انکلوزیونهایی از کانی‌های اپاک و گرافیت می‌باشند. این انکلوزیونها S_i را مشخص می‌کنند که مستقیم یا منحنی بوده و با فولیاسیون غالب در این سنگها موازی نیست. علاوه بر این، فولیاسیون زمینه که به وسیله جهت‌یابی بیوتیتها و موسکویت‌ها مشخص می‌باشد، در اطراف این پورفیروبلاستها چرخیده است(شکل ۶-۲). بنابراین رشد این پورفیروبلاستها نسبت به فولیاسیون سنگ

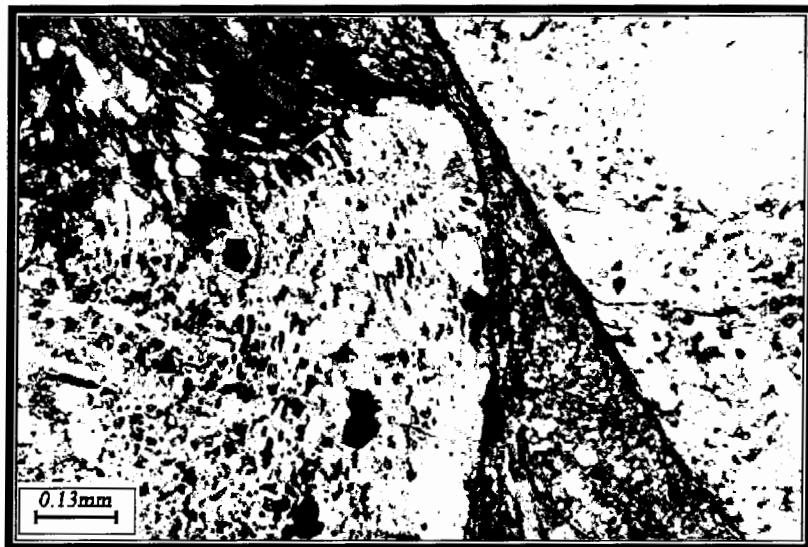
قبل از تکتونیک می‌باشد. پورفیروبلاستهای دیگری از آندالوزیت نیز وجود دارند که به صورت شکل دار تا نیمه شکل دار بوده و دارای انکلوزیونهای فراوانی نیز می‌باشند. هیچگونه خمیدگی فولیاسیون یا سایه‌های فشاری در اطراف این پورفیروبلاستها دیده نمی‌شود(شکل ۳-۶). بنابراین، این پورفیروبلاستها نسبت به فولیاسون سنگ همزمان یا بعد از تکتونیک می‌باشند.

علاوه بر این، ایزوگراد ظهور آندالوزیت در همه قسمتها از رخمنون توده‌های نفوذی تعیت نمی‌کند و در همه قسمتها تا فواصل دور از توده نفوذی نیز ادامه دارد. بنابراین چنین نتیجه می‌شود که پورفیروبلاستهای آندالوزیت نوع اول مربوط به دگرگونی ناحیه ای هستند که قبل از تزریق توده نفوذی بر سنگ‌های این منطقه تاثیر گذاشته است. این آندالوزیتها در طی دگرگونی مجاورتی نیز پایدار مانده‌اند. پورفیروبلاستهای نوع دوم در طی دگرگونی مجاورتی تشکیل گردیده‌اند.

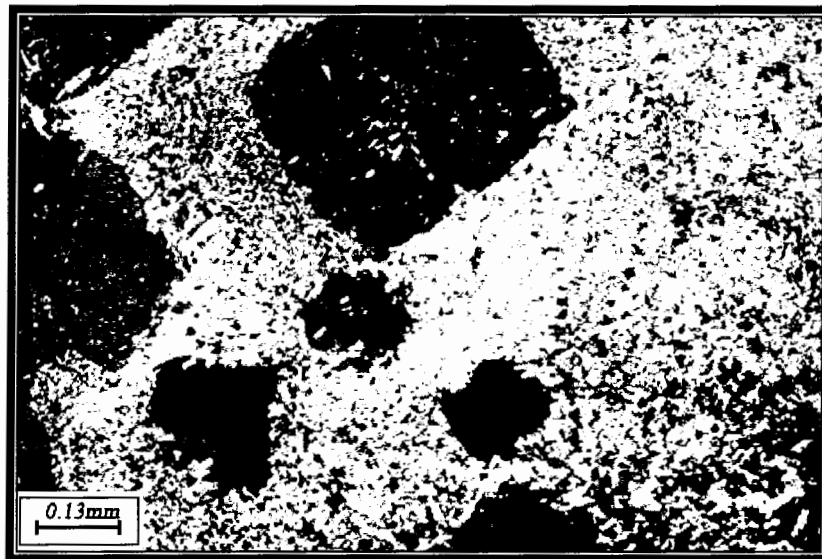
کانی گارنت در سرتاسر زون آندالوزیت حضور دارد. ارتباط آن با فولیاسیون زمینه نشان می‌دهد که رشد آن نسبت به فولیاسیون غالب زمینه سنگ به صورت قبل از تکتونیک صورت گرفته است. پورفیروبلاستهای این کانی به صورت بی شکل تا نیمه شکل دار دیده می‌شوند که در سنگ‌هایی که لایه‌بندی ترکیبی نشان می‌دهند، تجمع این پورفیروبلاستها در لایه‌های غنی از میکا به خوبی مشهود است. پورفیروبلاستهایی که در لایه‌های غنی از میکا تشکیل شده‌اند شکل دارترند.

بنابراین با توجه به توضیحاتی که داده شد، زون آندالوزیت شامل تمام سنگ‌هایی می‌شود که دارای آندالوزیت می‌باشند ولی کوردیریت و سیلیمانیت در آنها حضور ندارد. آندالوزیت برای شرایط فشارکم، شناساگر بسیار خوبی است. آندالوزیت در فشار بیش از ۴,۵ کیلوبار ناپایدار است و بارزترین کانی در فشار کمتر از ۴ کیلوبار می‌باشد. برای تشکیل آندالوزیت در منطقه مورد مطالعه، واکنش‌های ذیل پیشنهاد می‌گردد:





شکل ۲-۶- تصویر میکروسکوپی پورفیروبلاست آندالوزیت



شکل ۳-۶- تصویر میکروسکوپی پورفیروبلاست آندالوزیت (دَگَرَگُونِي مجاورتی)

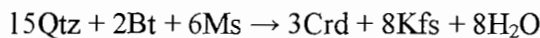
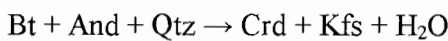
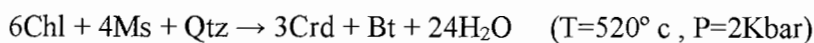
۶-۱-۲- زون کوردیریت

این زون به وسیله اولین حضور کوردیریت مشخص می‌شود. این زون در واقع شامل تمام سنگ‌هایی است که دارای کوردیریت و فاقد سیلیمانیت می‌باشند. سنگ‌های این زون علاوه بر کوردیریت، دارای آندالوزیت نیز می‌باشند.

مجموعه‌های کانی در زون کوردیریت، شامل کوردیریت، آندالوزیت، بیوتیت، گارنت، موسکویت و کوارتز می‌باشد. اغلب کوردیریتها با ماکل ساعت شنی در سنگ حضور دارند و با داشتن ادخال‌های فراوان بیوتیت، بافت پوئی کیلوبلاستیک جالبی را بوجود آورده‌اند، که می‌تواند نشان‌دهنده رشد سریع

کوردیریت‌ها باشد. این ادخال‌ها، ریزتر از بیوتیت‌های زمینه سنگ است، بنابراین می‌توان نتیجه گرفت که بعد از تشکیل پورفیروبلاست‌های کوردیریت، بلورهای زمینه با محیط اطراف، تبادل شیمیایی داشته، رشد کرده و درشت‌تر شده‌اند، ولی ادخال‌های داخل کوردیریت از این امر مصون و به همان اندازه اولیه مانده‌اند (Passchier & Trouw, 2005). حد بالای شرایط تبلور کوردیریت از ۳ کیلوبار (قطب آهندار) تا ۸ کیلوبار (قطب منیزیم‌دار) تغییر می‌کند و دمای شروع تبلور آن ۵۰۰-۵۲۰ درجه سانتی گراد می‌باشد (معین وزیری، ۱۳۷۷).

برای تشکیل کوردیریت در منطقه مورد مطالعه، واکنش‌های ذیل پیشنهاد می‌گردد:



۶-۱-۷-۳- زون سیلیمانیت

زون سیلیمانیت، به وسیله اولین حضور فیبرولیت مشخص می‌شود. مجموعه‌های کانی در زون سیلیمانیت، شامل سیلیمانیت، آندالوزیت، کوردیریت، بیوتیت، گارنت، موسکویت و کوارتز می‌باشد. سیلیمانیت در این زون بیشتر به صورت فیبرولیت دیده می‌شود که به همراه بیوتیت در امتداد فولیاسیون سنگ‌ها جهت یافته شده است و نشان دهنده رشد همزمان آن با تشکیل فولیاسیون سنگ می‌باشد.

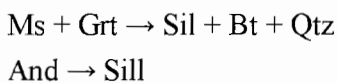
آندالوزیت در این زون به صورت پورفیروبلاست‌های بی‌شکل دیده می‌شود که دارای انکلوزیون‌هایی از بیوتیت و کوارتز می‌باشد. بخش‌هایی از این پورفیروبلاست‌ها به موسکویت تبدیل شده و این موسکویت‌ها با سیلیمانیت هم رشدی نشان می‌دهد. این بافت‌ها ناشی از مکانیسم‌های پیچیده واکنش پلی‌مورفی آندالوزیت = سیلیمانیت می‌باشد.

بیوتیت در این زون به صورت ورقه‌های درشت بی‌شکل تا نیمه شکل‌دار دیده می‌شود که دارای پلی‌کروئیسم قهوه‌ای تا قهوه‌ای تیره می‌باشد.

گارنت نیز به طور پراکنده در بعضی قسمتها این زون حضور دارد، که به صورت بلورهای شکل-دار تا نیمه شکل‌دار دیده می‌شود و دارای انکلوزیون‌هایی از کوارتز می‌باشد.

با توجه به مجموعه کانی‌ها، واکنش‌هایی را که در این زون صورت گرفته می‌توان به صورت زیر

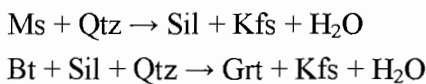
خلاصه کرد:



۶-۱-۷-۴- زون سیلیمانیت فوقانی

در بعضی از قسمتهای بخش بالایی زون سیلیمانیت یک زون فرعی قابل تشخیص است، که بوسیله حضور بلورهای سیلیمانیت، فلدسپات پتاسیم، بیوتیت مشخص می‌شود. این مجموعه را می‌توان در مجاورت بلافصل توده نفوذی مشاهده نمود. بیوتیت در زمینه سنگ دیده می‌شود که دارای پلیکروئیسم قرمز تا قهوه‌ای می‌باشد. فلدسپات پتاسیم در این سنگها به صورت بلورهای بی‌شکل تا نیمه شکلدار دیده می‌شود که گاهی در آنها می‌توان ماکل نیز مشاهده کرد. در این سنگها پورفیرهای درشت گارنت به فراوانی مشاهده می‌گردد، که می‌توان این طور توجیه کرد که احتمالاً این پورفیروبلاست‌ها در زمانی که توده نفوذی هنوز به اندازه کافی داغ بوده به رشد خود ادامه داده‌اند و یا در اثر دگرگونی مجاورتی هم گارنت در زون فوقانی ایجاد شده است.

با توجه به مجموعه کانیها در سنگهای پلیتی این زون، واکنشهای ذیل پیشنهاد می‌گردد:



۶-۸- رخساره دگرگونی

مفهوم رخساره دگرگونی توسط اسکولا^۱ (۱۹۱۵) معرفی گردید. نامبرده تأکید نمود که مجموعه کانی‌های دگرگونی نسبت به کانی‌های منفرد، مبین مشخصات ژنتیکی مهم سنگ‌های دگرگونی می‌باشد. اسکولا اظهار داشت که در درجه دگرگونی معین، رابطه منظمی بین مجموعه‌های کانی‌شناسی و ترکیب سنگ وجود دارد. این اصل بیان می‌کند که در یک گروه سنگ‌های دگرگونی که تحت شرایط دما- فشار یکسانی به تعادل شیمیایی رسیده‌اند، مجموعه‌های کانی‌شناسی سنگ تنها به ترکیب شیمیایی سنگ کل بستگی خواهد داشت. اسکولا بیان داشت که یک رخساره دگرگونی، مجموعه‌های کانی‌شناسی متعلق به اجتماعی از سنگ‌ها را شامل می‌شود که طیف وسیعی را پوشش می‌دهند و همگی تحت شرایط دگرگونی تقریباً مشابهی (P,T) تشکیل شده‌اند. اسکولا در طی دوره زندگی خود،

تعداد رخساره‌های دگرگونی شناخته شده را از پنج مورد به هشت مورد افزایش داد. بعدها، توسط مؤلفین دیگر، تعداد رخساره‌های دگرگونی افزایش پیدا کرد. در این قسمت به شرح رخساره‌های دگرگونی موجود در منطقه مورد مطالعه می‌پردازیم.

با توجه به اینکه سنگ‌های منطقه مورد مطالعه یک دگرگونی ناحیه‌ای و یک دگرگونی مجاورتی را متحمل شده‌اند و دگرگونی مجاورتی بعد از دگرگونی ناحیه‌ای حادث شده است. سنگ‌های دگرگونی ناحیه‌ای که شامل شیسته‌های گارنت- آندالوزیت دار می‌باشد، در رخساره اپیدوت- آمفیبولیت و آمفیبولیت دگرگون شده‌اند.

در دگرگونی مجاورتی، چهار رخساره زیر مشاهده می‌شود:

- ۱- رخساره سانیدینیت
- ۲- رخساره پیروکسن هورنفلس
- ۳- رخساره هورنبلند هورنفلس
- ۴- رخساره آلبیت اپیدوت هورنفلس

سنگ‌های دگرگونی مجاورتی شامل هورنفلس‌هایی می‌باشد که با توجه به مجموعه کانیهای آندالوزیت، کوردیریت و سیلیمانیت در محدوده رخساره‌های هورنبلند- هورنفلس و پیروکسن- هورنفلس قرار می‌گیرند.

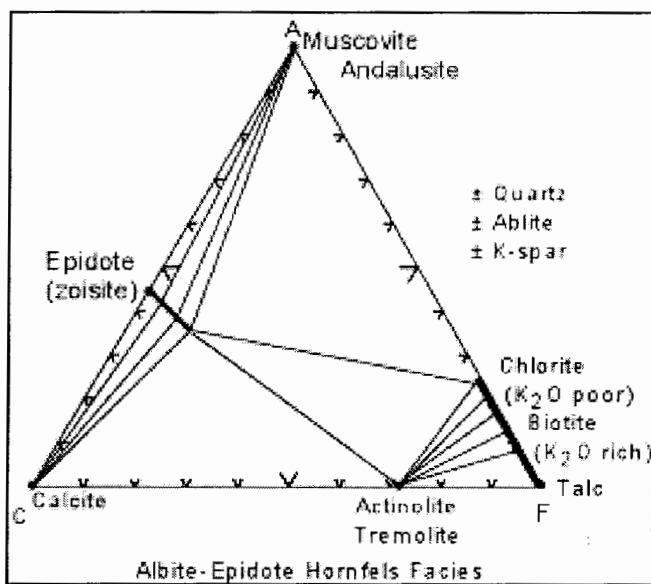
۶-۱-۸- رخساره آلبیت - اپیدوت هورنفلس

این رخساره به پایین‌ترین درجه حرارت رخساره‌های دگرگونی مجاورتی تعلق دارد. برای این رخساره درجه حرارت بیش از ۳۵۰ درجه سانتیگراد و کمتر از ۵۵۰ درجه سانتیگراد را در نظر می‌گیرند. تشکیل کانی پیروفیلیت، مشخص کننده آغاز رخساره آلبیت- اپیدوت هورنفلس می‌باشد. با ازدیاد درجه حرارت، ابتدا کانی پیروفیلیت پایدار می‌ماند، ولی قبل از آغاز رخساره هورنبلند هورنفلس، کانیهای آندالوزیت و کوارتز به جای آن ظاهر می‌شوند.

آب + کوارتز + آندالوزیت → پیروفیلیت

از کانیهای شاخص این رخساره می‌توان از آلبیت، اپیدوت، زوئیت، پیروفیلیت، کلریت و ترمولیت

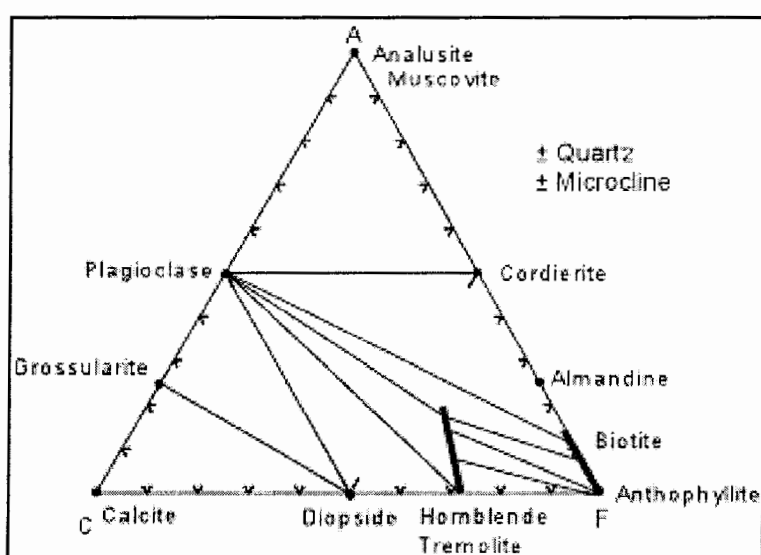
نام برد (شکل ۶-۴)



شکل ۴-۶- رخساره آلبیت - اپیدوت هورنفلس

۴-۸-۲- رخساره هورنبلند هورنفلس

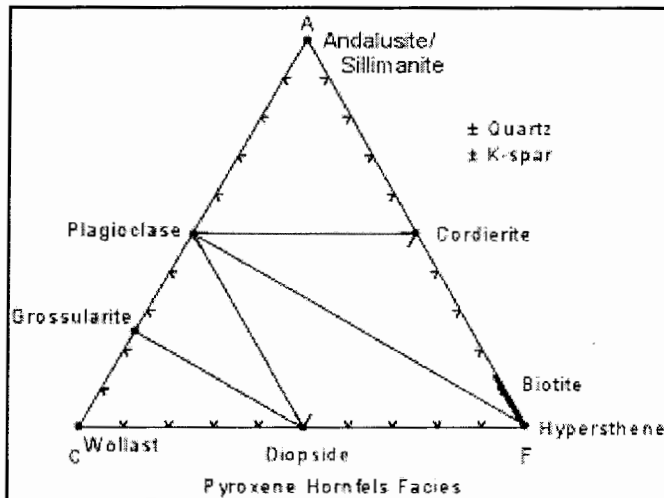
این رخساره در حرارتی بین ۵۰۰ - ۶۵۰ درجه سانتیگراد و فشار بخار آب ۱ تا ۳ کیلوبار به وجود می‌آید. یاردلی (۱۹۸۹) عقیده دارد که رخساره هورنبلند هورنفلس را می‌توان رخساره آمفیبولیت فشار پایین نامید. در منطقه مورد مطالعه مجموعه کانیایی کوارتز، بیوتیت، آندالوزیت، کوردیریت را می‌توان به این رخساره نسبت داد (شکل ۶-۵).



شکل ۶-۵- رخساره هورنبلند هورنفلس

۶-۸-۳- رخساره پیروکسن هورنفلس

این رخساره در حرارتی بین ۷۵۰ تا ۶۵۰ درجه سانتیگراد به وجود می‌آید. مشخصه این رخساره، این است که با آغاز آن، کانی آلکالی فلدوپار با کوردیریت در کنار یکدیگر پدیدار می‌گردند و این بدان علت است که بیوتیت، موسکویت و کوارتز با یکدیگر ترکیب شده تا تمامی موسکویت از بین برود. علاوه بر آن آلکالی فلدوپار Al_2SiO_5 (آنداژیت یا سیلیمانیت) با یکدیگر پدیدار می‌شوند، که یکی دیگر از مشخصات آغاز رخساره پیروکسن هورنفلس می‌باشد. در منطقه مورد مطالعه مجموعه کانیایی آنداژیت، سیلیمانیت، آلکالی فلدوپار، کوردیریت و کوارتز را می‌توان به این رخساره نسبت داد (شکل ۶-۶).



شکل ۶-۶- رخساره پیروکسن هورنفلس

۶-۹- شرایط دگرگونی

تعیین دقیق دما و فشار حاکم بر دگرگونی، مستلزم داشتن آنالیزهای دقیق میکروپروری به منظور استفاده از ژئوتربومترهای مختلف، کالیبره کردن شبکه‌های پتروزنیک و استفاده از داده‌های ترمودینامیک می‌باشد. ولی با توجه به مجموعه‌های کانی و استفاده از شبکه‌های پتروزنیک و بکار بردن بعضی مفروضات، نیز برآورد دما و فشار حاکم بر دگرگونی امکان‌پذیر می‌باشد.

حضور فاز سیال و ترکیب شیمیایی آن یکی از مسائلی است که نقش مهمی در واکنشهای دگرگونی دارد و برای تعیین شرایط دگرگونی، ماهیت فاز سیال باید مشخص باشد. بسیاری از

و اکنشهای دگرگونی که شامل کانیهای آبدار هستند نسبت به فعالیت آب حساسند و دمای آنها تا حدود ۱۰۰ درجه سانتی گراد بین شرایط اشباع از آب و نبود فاز سیال تغییر می‌کند (گوئیلوت^۱ و همکاران، ۱۹۹۵). از طرفی فری (۱۹۷۶) متذکر شد که $X(H_2O)$ از یک لایه به لایه دیگر می‌تواند تغییر کند و این اختلاف ترکیب فاز سیال، ناشی از همچواری با منشأ CO_2 (به طور مثال، لایه‌های کربناتی یا گرافیتی) و H_2O (توده‌های گرانیتی) می‌باشد. از این گفته‌ها چنین نتیجه می‌شود که تعیین دقیق ترکیب شیمیایی فاز سیال نیز در مقیاس وسیع امکان‌پذیر نیست.

در مورد دگرگونی در اطراف توده نفوذی مشاهدات زیر صورت گرفته است: وجود رگه‌های پigmاتیتی در سنگهای درونگیر و هم داخل توده‌نفوذی نشان می‌دهد که ماقمای تولید کننده این توده نفوذی اشباع از آب بوده است.

حضور مجموعه‌هایی از کانیهای آبدار نظیر میکا و تورمالین در سرتاسر هاله دگرگونی نشان‌دهنده حضور یک فاز سیال حاوی عناصر B, F, H, O, C می‌باشد.

تمرکز تورمالین در مجاورت توده نفوذی و حضور آن در سنگهای دگرگونی نشان‌دهنده نفوذ یک سیال آبی غنی از مواد فرار از توده نفوذی به داخل سنگهای درونگیر می‌باشد. بنابراین با توجه به مجموعه مشاهداتی که ذکر شد، می‌توان $(H_2O)X$ را در سنگهای پلیتی نزدیک به یک فرض نمود.

برخی کانیها مانند ژادئیت، کیانیت و آندالوزیت، ما را در برآورد منطقی شرایط فشار کمینه و بیشینه یاری می‌کنند، اما بیشتر کانیها و اکنشها به تغییر دما حساس‌تر هستند. از این‌رو، داوری درست درباره دمای دگرگونی بر پایه یک کانی یا مجموعه کانیها، به میزان چشمگیری، از داوری درباره فشار آسانتر است.

حد پایداری کانیهای Al_2SiO_5 برای تعیین عمقی که دگرگونی رخ داده است، از اهمیت زیادی برخوردار است. اما متأسفانه هنوز در این مورد، شک و تردیدهای زیادی وجود دارد. قلمرو پایداری کیانیت، تقریباً به طور دقیق شناسایی شده است و در این زمینه، بین مطالعات مختلف نیز همانگی

وجود دارد، ولی مرز بین آندالوزیت- سیلیمانیت دقیقاً تعیین نشده است. سالجی^۱ (۱۹۸۶) نشان داده است که علت وجود مرزهای فرضی مختلف، برای آندالوزیت- سیلیمانیت مربوط به اختلاف زیاد بین انرژی آزاد سیلیمانیت منشوری و سیلیمانیت فیبرولیتی است.

براساس نمودار پایداری پلیمورفهای سیلیکات آلومینیوم، حضور آندالوزیت نشان دهنده دمای بین ۴۰۰ تا ۶۰۰ درجه سانتی گراد در فشار ۲ تا ۴ کیلوبار می‌باشد. در حقیقت آندالوزیت، برای شرایط فشار کم، شناساگر بسیار خوبی است، به این دلیل که آندالوزیت در فشار بیش از ۴,۵ کیلوبار ناپایدار است و بارزترین کانی در فشار کمتر از ۴ کیلوبار می‌باشد. با افزایش درجه حرارت آندالوزیت به سیلیمانیت تبدیل می‌گردد، که این جانشینی شبیه جانشینی سیلیمانیت به جای کیانیت در زونهای بارووین است.

در فشارهای خیلی پایین‌تر آندالوزیت تا حرارت‌های بالاتر از شکسته شدن موسکویت نیر پایدار باقی می‌ماند.

در دمای بین ۵۱۵ تا ۵۵۰ درجه سانتی گراد (بسته به فشار) پورفیروبلاست‌های کوردیریت تشکیل می‌شوند.

اگر سنگ‌ها در فشار ۳ کیلوبار دگرگون شوند، خط واکنش آندالوزیت- سیلیمانیت در دمای نزدیک ۵۹۰ درجه منقطع می‌شود. به طور معمول، حتی زمانی که این خط منقطع است، آندالوزیت می‌تواند به حالت نیمه‌پایدار وجود داشته باشد. در دمای بیش از ۶۰۰ درجه سانتی گراد، پیدایش سیلیمانیت فیرولیتی معمول است. بلورهای سیلیمانیت منشوری شکل شاخص دمای زیادترند. معمولاً در پلیتها در دمای بیش از ۶۴۰ درجه سانتی گراد ذوب بخشی رخ می‌دهد، و با توجه به اینکه در مجاورت توده، سنگها آثاری از ذوب بخشی نشان می‌دهند، این امر بیانگر آن است که این سنگها استعداد ذوب بخشی و تشکیل ماقماهایی با ترکیب گرانیت‌وثیدی را نیز دارند.

۶- موقعیت تکتونیکی دگرگونی فشار پایین

با توجه به اینکه هر کدام از تیپ‌های دگرگونی در محیط‌های تکتونیکی خاصی تشکیل می‌شوند، بنابراین تیپ دگرگونی می‌تواند ما را از خصوصیات ترمودینامیکی و تکتونیکی منطقه در زمان دگرگونی آگاه سازد.

میاشیرو (۱۹۷۲) نشان داد که دگرگونی فشار پایین - حرارت بالا در پوسته قاره‌ای ضخیم شده واقع در محل کمان آتشفسانی، ناشی از ورود مقدار زیادی گرما است که در اثر مagmaهای در حال صعود به وجود می‌آید.

بدون شک کمانهای آتشفسانی، جریان حرارتی قابل توجهی را برای دگرگونی فشار پایین به ارمغان می‌آورند. مثالهای متعددی از دگرگونی فشار پایین وجود دارد که از نظر زمانی و مکانی با magmaتیسم در ارتباط هستند. ولیکن ممکن است، دگرگونی فشار پایین در پوسته نازک شده مجاور کمان و خود کمان نیز رخ دهد. مثالی از دگرگونی فشار پایین که در یک مقیاس ناحیه‌ای در مجاورت توده‌های نفوذی وابسته به کمان آتشفسانی گسترش دارد، سنگ‌های دالرادین^۱ منطقه کانمارای^۲ ایرلند است. این سنگها در امتداد سنگ‌های دالرادیان اسکالتلند قرار دارند. یاردلی، باربر و گری (۱۹۸۷) زمان دگرگونی آنها را به اردیسین مربوط دانسته و تشخیص دادند که قبل از حادثه دگرگونی فشار پایین، یک فاز دگرگونی فشار متوسط، در این سنگها اثر گرده و سپس بدون وقفه به دگرگونی فشار پایین تیدیل شده است.

1- Dalradian
2- Connemara

فصل سیم
”
سیمی

۱-۱- نتیجه گیری

- منطقه مورد مطالعه در بخش مرزی ایران مرکزی و زون بینالود (بخشی از البرز)، در ۱۱۰ کیلومتری جنوب شرقی مشهد و ۳۵ کیلومتری شرق شهرستان فریمان، واقع شده است. در منطقه مورد مطالعه سنگ‌های آذرین مشتمل بر توده نفوذی به سن احتمالی پرکامبرین و مجموعه سنگ‌های دگرگونی (متاپیلیت‌ها) وجود دارد.
- سنگ‌های نفوذی منطقه فریمان به صورت یک کمربند باریک گرانیتی در امتداد شمال غرب-جنوب شرق مشاهده می‌شود. این توده‌ها غالباً در اطراف خود یک هاله دگرگونی مجاورتی به وجود آورده‌اند.
- سنگ‌های توده نفوذی فریمان بر اساس طبقه‌بندی مдал، با استفاده از نمودار اشتربیکایزن (۱۹۷۴)، عمدتاً در محدوده گرانیت و به میزان کمتر در محدوده گرانوودیوریت قرار گرفته‌اند. بر اساس مطالعات میکروسکوپی انجام شده، بافت میکروسکوپی سنگ‌های متتشکله توده گرانیتوئیدی بیشتر هیپیدیومورف دانه‌ای است.
- کانیهای اصلی گرانوودیوریت و گرانیت اغلب شامل کوارتز، ارتوز (پرتیت)، میکروکلین، پلازیوکلاز، بیوتیت، هورنبلاند می‌باشد. شایان ذکر است که موسکویت اولیه در آنها وجود ندارد. کانیهای فرعی شامل آپاتیت، زیرکن و اکسیدهای آهن است. بیوتیت در تمام سنگ‌ها به کلریت و موسکویت دگرسان شده است. کانی دگرسان شده موسکویت در محل رخها دیده می‌شود.
- بر اساس بررسیهای ژئوشیمیایی انجام شده، توده نفوذی بر اساس شاخص اشباع از آلومین در محدوده پرآلومین قرار گرفته و در دیاگرامهای سری ماگمایی، کالکوآلکالن بوده و در محدوده سری کالکوآلکالن پتابسیم بالا قرار می‌گیرد. بر اساس خاستگاه ماگمایی، گرانیتهای منطقه به گروه گرانیتوئیدهای نوع I تعلق دارند. سنگ‌های منطقه مورد مطالعه بر اساس نمودارهای عناصر کمیاب، روند تبلور تفریقی نشان می‌دهند و از لحاظ موقعیت تکتونیکی در رده گرانیتوئیدهای همزمان تا بعد از برخورد قرار می‌گیرند.
- بررسی پتروگرافی سنگ‌های دگرگونی منطقه مورد مطالعه نشان می‌دهد که سنگ اولیه این دگرگونیها دارای ترکیب متنوعی بوده و انواع سنگ‌های پلیتی، سمی پلیتی، کربناتی و کوارتز-فلدسباتی در منطقه حضور داشته است.

- بیشترین نسبت سنگهای دگرگونی در منطقه مورد مطالعه را سنگهای با منشأ پیلیتی تشکیل می‌دهند.
- بررسی مجموعه‌های کانی، فولیاسیونها و ارتباط فولیاسیونها با پورفیروبلاست‌های موجود در سنگهای دگرگونی این منطقه نشان می‌دهد که تمامی این سنگها از نوع پلی متامورفیسم هستند و علاوه بر دگرگونی مجاورتی حاصل از تزریق توده‌های نفوذی، تحت تأثیر دگرگونی ناحیه‌ای نیز قرار گرفته‌اند. حداقل درجه دگرگونی ناحیه‌ای در حد رخساره آمفیبولیت و در دگرگونی مجاورتی در حد رخساره پیروکسن هورنفلس می‌باشد. با توجه به همزیستی آندالوزیت و کوردیریت و نبود کیانیت در این دگرگونی چنین نتیجه می‌شود که این دگرگونی از گروه حدواسط فشار پایین (تیپ بوچان) می‌باشد.
- در منطقه مورد مطالعه می‌توان دو زون دگرگونی ناحیه‌ای را تشخیص داد، که عبارتند از زون بیوتیت، زون گارنت. با مطالعه مقاطع نازک، حداقل درجه دگرگونی ناحیه‌ای این سنگها متعلق به زون گارنت تشخیص داده شد که متعلق به رخساره آمفیبولیت می‌باشد و سیلیمانیت صرفاً در هاله دگرگونی مجاورتی وجود دارد.
- براساس ظهور کانیهای شاخص و مجموعه‌های کانی در سنگهای پلیتی، چهار زون دگرگونی مجاورتی در اطراف این توده نفوذی قابل تکمیل است، که به ترتیب کاهش فاصله از توده نفوذی عبارتند از: زون آندالوزیت، زون کوردیریت، زون سیلیمانیت، زون سیلیمانیت فوقانی.
- زون آندالوزیت خارجی‌ترین بخش هاله دگرگونی توده نفوذی را تشکیل می‌دهد. مجموعه کانیها در سنگهای پلیتی این زون شامل بیوتیت، آندالوزیت، گارنت، موسکویت و کوارتز می‌باشد. مجموعه‌های کانی در زون کوردیریت، شامل کوردیریت، آندالوزیت، بیوتیت، گارنت، موسکویت و کوارتز می‌باشد. مجموعه‌های کانی در زون سیلیمانیت، شامل سیلیمانیت، آندالوزیت، کوردیریت، بیوتیت، گارنت، موسکویت و کوارتز می‌باشد. سیلیمانیت در این زون بیشتر به صورت فیبرولیت دیده می‌شود. زون سیلیمانیت فوقانی بوسیله حضور بلورهای سیلیمانیت، فلدسپات پتاسیم، بیوتیت مشخص می‌شود که این مجموعه را می‌توان در مجاورت بلافصل توده نفوذی مشاهده نمود.
- بررسی شرایط دما- فشار با استفاده از مجموعه‌های کانی و شبکه‌های پتروژنیک نشان می‌دهد که فشار به طور متوسط در طی دگرگونی مجاورتی ۳ تا ۴ کیلوبار و دما از ۴۰۰ درجه سانتی گراد در

ابتدای زون آندالوزیت تا بیش از ۶۰۰ درجه در زون سیلیمانیت فوقانی تغییر کرده است. در مجاورت توده نفوذی، سنگها آثاری از ذوب موضعی نشان می‌دهند. این امر بیانگر آن است که این سنگها استعداد ذوب بخشی و تشکیل مagmaهایی با ترکیب گرانیتوئیدی داشته‌اند.

۷-۲- پیشنهادات

به منظور پی بردن به پتانسیل کانی‌سازی و شناخت کاملتر توده نفوذی و سنگ‌های دگرگونی در منطقه، مطالعات تکمیلی زیر پیشنهاد می‌گردد.

- با مطالعه ایزوتوپهای رادیوژنیک توده نفوذی منطقه مورد مطالعه می‌توان علاوه بر تعیین سن مطلق، منشاء احتمالی آن را دقیق‌تر تعیین کرد و فرآیندهای مؤثر بر توده را بررسی کرد.

- بررسی شیمی کانیها با انجام آنالیز الکترون میکروپرور (EPMA) و میکروپرور یونی (SIMS)، که در شناخت صحیح کانیها و واکنش‌های دگرگونه صورت گرفته مؤثر می‌باشد.

- ترسیم نمودارهای AFM بر اساس تجزیه‌های نقطه‌ای گستردہ.

- تجزیه نقطه‌ای گستردہ از سنگ‌های دگرگونی منطقه برای مطالعات دقیق ترموبارومتری، به نحویکه امکان نتیجه‌گیری آماری فراهم شده و مسیر $t-P-T$ با دقت قابل قبول ترسیم شود.

- تعیین سن رادیومتری مراحل مختلف دگرگونی

- انجام مطالعات ژئوفیزیک به منظور تشخیص وجود یا عدم وجود توده‌های نفوذی رخنمون

نیافته

صالح و صالح

- ۱) آسیابانها، عباس، ۱۳۷۴، بررسی میکروسکوپی سنگهای آذرین و دگرگونی (ترجمه)، انتشارات دانشگاه بین المللی امام خمینی، ۶۳۰ صفحه
- ۲) افتخارنژاد، ج، ۱۹۸۰، تقسیم بندی ساختاری ایران در ارتباط با حوضه های رسوی.
- ۳) اکرمی، م؛ ۱۳۷۳، بررسی پترولوزی و ژئوشیمی توده گرانیتیوئیدی تربت جام و هاله دگرگونی آن، پایان نامه کارشناسی ارشد، دانشگاه شهید تهران.
- ۴) بارکر، ا.ج، ۱۹۹۰، مبانی بافتها و ریز ساختهای سنگهای دگرگونی، ترجمه قاسمی، ح؛ انتشارات دانشگاه صنعتی شهرورد، ۲۶۰ صفحه.
- ۵) بوخر، ک؛ فری، م؛ ۱۹۹۴، پتروژنر سنگهای دگرگونی، ترجمه ولی زاده، م. و؛ صادقیان، م؛ انتشارات دانشگاه تهران، ۴۰۴ صفحه.
- ۶) پیغمبری، س؛ ۱۳۸۳، پتروفابریک و پترولوزی سنگهای دگرگونی مجموعه های خواجه و تنبور واقع در جنوب و شرق سیرجان، کرمان، پایان نامه کارشناسی ارشد، دانشگاه شهید باهنر کرمان.
- ۷) درویشزاده، ع؛ ۱۳۷۶، سنگ شناسی دگرگونی، انتشارات دانشگاه پیام نور، ۳۷۰ صفحه.
- ۸) درویشزاده، ع؛ ۱۳۷۶، پترولوزی تجربی و کاربردهای آن، انتشارات دانشگاه تهران، ۵۳۷ صفحه.
- ۹) رولینسون، ه؛ ۱۹۴۹، کاربرد داده های ژئوشیمیایی، ترجمه کریم زاده ثمرين، ع؛ انتشارات دانشگاه تبریز، ۵۵۷ صفحه.

- ۱۰) شلی، د؛ ۱۹۹۳، بررسی میکروسکوپی سنگهای آذرین و دگرگونی، ترجمه آسیابانها، ع؛ انتشارات دانشگاه بین المللی امام خمینی.
- ۱۱) شیرزاده، ب؛ ۱۳۸۱، اکتشاف مقدماتی آندالوزیت در جنوب شرق فریمان، پایان نامه کارشناسی ارشد، دانشگاه فردوسی مشهد.
- ۱۲) عباسی، ح؛ ۱۳۷۷، مطالعه پترولوزیکی هاله دگرگونی مجاورتی توده های گرانیتیوئیدی جنوب و جنوب شرق مشهد، پایان نامه کارشناسی ارشد، دانشگاه تهران.
- ۱۳) کریه پور، م. ح. و سعادت، س؛ ۱۳۸۴، مطالعه و بررسی پتانسیلهای معدنی و تعیین اولویتهای اکتشافی با استفاده از داده های ماهواره ای، آلتراسیون، ژئوشیمی و ژئوفیزیک در محدوده ورقه ۱۰۰۰۰۰ کهربازنو، مرکز تحقیقات ذخایر معدنی شرق ایران.
- ۱۴) گرامونت، ب. د؛ گویلو، ی؛ ۱۹۷۹، نقشه زمین شناسی ۱:۱۰۰۰۰۰ کهربازنو، انتشارات سازمان زمین شناسی و اکتشافات معدنی کشور.
- ۱۵) معین وزیری، ح؛ احمدی، ع؛ ۱۳۸۳، پتروگرافی و پترولوزی سنگهای آذرین، انتشارات دانشگاه تربیت معلم، ۵۴۴ صفحه.
- ۱۶) نبوی، م. ۱۳۵۵، دیباچه‌ای بر زمین‌شناسی ایران. سازمان زمین‌شناسی و اکتشافات معدنی کشور
- ۱۷) نقشه های زمین شناسی ۱:۲۵۰۰۰۰ تربت جام و تربت حیدریه، انتشارات سازمان زمین شناسی و اکتشافات معدنی کشور.

۱۸) نقشه های توپوگرافی ۱:۵۰۰۰۰ چخماق، فریمان، کاریزنو، انتشارات سازمان جغرافیایی نیروهای مسلح جمهوری اسلامی ایران.

۱۹) واعظی پور، م. ج؛ خلقی، م. ح؛ علوی نائینی، م؛ زمین شناسی ناحیه فریمان، ژرف و مروری بر سنگهای دگرگون شده قسمتهایی از شمال خاوری ایران، گزارش سازمان زمین شناسی.

۲۰) وینکلر، گ. ف؛ ۱۹۷۶، پتروژنر سنگهای دگرگونه، ترجمه هوشمندزاده، ع. ر؛ انتشارات دانشگاه شیراز، ۴۰۸ صفحه.

۲۱) یاردلی، ب؛ ۱۹۸۸، مبانی پترولوزی دگرگونی، ترجمه کنعانیان، ع؛ قاسمی، ح؛ آسیابانها، ع؛ مؤسسه انتشارات جهاد دانشگاهی ماجد، ۴۱۱ صفحه.

- 22) Abdel-Rahman, A.F.M., 1990, Petrogenesis of early-orogenic diorites, tonalites and post-orogenic trondjemites in the Nubian shield. *jour. petrol.*, 31, 1285-1312.
- 23) Barker, A.J, 1990, Introduction to metamorphic textures and microstructures, blackie and Sons, Glasgow, 162p.
- 24) Barker, A.J.,1994, An introduction to metamorphism texture and microstructure, Blackie, New York. 126 P.
- 25) Batchelor, R.A. & Bowden, P., 1985, Petrogenetic interpretation of granitoids rocks series using multicationic Parameters, *Chem. Geol.*, 48, 43-55.
- 26) Best, M.G., 1982. Igneous and Metamorphic Petrology. New York: W.H. Freeman and Company, 630P.
- 27) Best, M.G., 2003. Igneous and Metamorphic Petrology. Blackwell Publishing, 729P.
- 28) Carmichael, D.M. 1969. On the mechanism of prograde metamorphic reaction in quartz-bearing pelitic rocks. *Petrol.* 20, 244-267
- 29) Chappell, B.W., Stephens, W.E., 1988. Origin of infracrustal (I-type) granite magmas. *Trans. R. Soc. Edinb. Earth Sci.* 79, 71-86.
- 30) Cox, K.G. Bell, J.D., Pankhurst, R.J., 1979, the interpretation of the Igneous Rocks. Georg, Allen & Unwin, London, 450 P.
- 31) De Laroche H. Leterrier. J. Grandelaude, Pl, Marchal, M.,1980, A Classifications of volcanic and plutonic rocks using R_1R_2 diagrams and major element analyses. It's relationships with current nomenclature. *chemical Geol.*, 29, 183-210.
- 32) Hynd man, D.W.,1985, Petrology of Igneous and metamorphic rocks, MC Graw-Hill, New York. P. 78.
- 33) Holdaway, M.J.,1971, Stability of andalusite and aluminum silicate phase diagram. *Amer.J.Sci.* 271, 97-131.
- 34) Irvine, T.N., Baragar, R.A.,1971, A guide to the chemical classification of the common Volcanic rocks, *Candan. Jour. Earth Sci.* 8, 523-548.

- 35) Ishihara, S.,1977, The magnetite-series and ilmenite-series granitic rocks, *Min. Geol.*, 27, 293, 305.
- 36) Kerrick, D.M.,1987, Fibrolite in contact aureoles of Donegal, Ireland. *Min. Geol.*, 72, 240, 254.
- 37) Le Maitre, R.W (ed),1989, A classification of igneous rocks and glassory of terms. Blackwell, Oxford. 193 PP.
- 38) Maniar, P.D. and piccoli, P.M.,1989, Tectonic determiniation of Granitoids, *Geol. Soc. Am. Bull.*, 101, 635-643.
- 39) Middlemost, E.A.K.,1985, Magmas and magmatic rock. Longman, London.
- 40) Moorhouse, W.W,1985, The Study of Rocks In Thin Section.CBS.Pub.India,514P.
- 41) Novak, J.M.and Holdaway,M.J.1981, Metamorphic petrology , mineral equilibria, and polymetamorphism in the Augusta quadrangle, south- central main. Amer.Mineral.66, 51-69
- 42) O'Connor, J.T., 1965. A classification for quartz-rich igneous rocks based on felespar reactions. US. Geol. Sur.Prof., Paper525:49-84
- 43) Pearce, J.A. Harnis, N.B.U: and Tindle, A.G.,1984, Trace element discrimination diagrams for the tectonic interpretaion of granitic rocks: *Jour. petrol.*, 25, 256-983.
- 44) Pearce, J.A.,1996, Sources and settings, of granitic rocks. Episodes, 19, No. 4, 120-125.
- 45) Pitcher, W.S., 1993. The nature and origin of granite. Blackie Academic and Professional, London. 321pp.
- 46) Passchier, C.W.and Trouw,R.A.J. 1996. Microtectonic.Springer-Verlag, New York. 289 p.
- 47) Pitcher, W.S.,1982, Granite type and tectonic environment, ch. 1-3.

- 48) Prablhu, M.K. and Webber, G.R., 1984, Origin of quartz feldespatic gneisses at Montauban-Les-Mines, Quebec. *Can.j.Earth.Sci.*, v.21, p.336-345
- 49) Rickwood, P.C., 1989. Boundray lines within petrologic diagrams which use oxides of major and minor element. *Lithos* 22, 247-263.
- 50) Rollinson. H.R., 1993. Using geochemical data: Evaluation, Presentation, Interpretation: Essex, England, Longman Scientific and Technical, 352P.
- 51) Shand, S.J., 1951, Eruptive Rocks, New York. J.Wiley.
- 52) Shand, S.Y., 1947, the study of rocks, London thomas. Marby and Co. P. 236.
- 53) Shelly, D., 1993. Igneous and Metamorphic rocks under the microscope, Chapman and Hall. London.
- 54) Streckeisen, A.L., 1974, Classification and nomenclature of plutonic rocks. *Geo. Rundsch.*, No. 63, 773-786.
- 55) Suk, M. <1983, Petrology of Metamorphic Rocks Elsevier Scientific Publishing Company, 322p.
- 56) Symmes, G. H. and Ferry, J.M., 1995, Metamorphism, Fluid Flow and Partial melting in peletic rocks from the Onawa contact Aureole, Central Marine, USA. *J. OF Petrol.* v.36, p.587-612
- 57) Vogt, 1930,1931, in Augustrithis, S.S. (1973); Atlas of the textural Patterns of Granits, Greisses and associated Rock types.
- 58) Wilson, M., 1989, Igneous petrogenesis a global tectonic approach, Department of Earth sciences, university of leeds, London, Unvin Hyman.
- 59) Winkler, H.G.F., 1976, Petrogenesis of Metamorphic Rocks, 4 th Ed. Springer-Verlag, New York onc.
- 60) Yardley, B. W. D., 1989, An Introduction to Metamorphic Petrology.

- 61)-Debon, F. & Le Fort, P.,1983, A chemical mineralogical classification of common plutonic rocks and associations, *R. Soc Edinb Trans*, 73, 135-149.

Abstract

The study area is located between 59° , $50'$ to 60° , $5'$ eastern longitudes and 35° , $25'$ to 35° , $35'$ northern latitude. The area is located in the south-east of Mashhad and east of Fariman, and is part of the Iran-Markazi zone. Metamorphic rocks and granitoid bodies are exposed in this area.

Granitoid bodies of this area are of two major bodies with composition granite and some minor bodies that their composition varies from granodiorite to alkali-granite. All of these granitoids are of orogenic type and belong to the Syn-Collision Granitoids (CCG).

The metamorphic rocks of this area have various mineral assemblages and indicate that their protolith is pelitic, carbonate, and quartz-feldespatic.

Mineral assemblages and matrix-porphyroblast relationship show that these rocks in addition to the contact metamorphism resulted by granitoid plutons are affected by regional metamorphism.

Mineral such as garnet, biotite, muscovite, andalusite, cordierite and sillimanite are visible in pelitic rocks. Based on these index minerals, metamorphic zones are differentiated.

Maximum of regional metamorphism is in the limit of amphibolites facies (andalusite zone in pelitic rocks).

Contact metamorphism is of low pressure intermediate group (Buchan type) and the degree of this metamorphic is in the limit of hornblende hornfels and pyroxene hornfels. Granitoid bodies' emplacement has occurred following the later regional metamorphism, eliminated the regional trace in their host rocks and provide aureole that include andalusite, cordierite, sillimanite and upper sillimanite zones.

Pressure during this contact metamorphism determined to be less than 4 Kb and temperature between 400 - 600°C .